

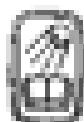
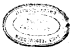
Я. Г. ПАНОВКО

*ВВЕДЕНИЕ
В ТЕОРИЮ
МЕХАНИЧЕСКИХ
КОЛЕБАНИЙ*

Начатое третье, переработанное

Документом Министерства науки СССР
по направлению обновления
и пополнения учебного плана
для обучения учащихся различных учебных заведений

Ук 9092.



МОСКОВСКАЯ ГУМАНИТАРНАЯ
БИБЛИОТЕКА РЕДАКЦИОННО-ГИДРО-МАТЕМАТИЧЕСКОЙ ЛИТЕРАТУРЫ
1991

Павлович, И. Г. Индексы в теории механических колебаний. Учеб. пособие для курса.—3-е изд., перераб.—М.: Наука, Гл. ред. физ.-мат. лит., 1981.—228 с.—ISBN 5-02-04137-2.

Данное изложение основ теории механических колебаний, которое направлено на общий курс температурной механики и изложено на языке радиотехнических и электронных инженеров. Отличительной особенностью изложения является разделение материала по уровням по времени, чтобы обеспечить свободу логической структуры, а не привязку к определенным темам. В соответствии с этим в главах I—IV рассматриваются определенные темы колебаний (линейные колебания, вынужденные колебания, параметрические колебания, автоколебания). Особое внимание уделяется численным методам.

В третьем издании (2-е изд.—1980 г.) добавлены новые примеры анализа нелинейных процессов.

Для студентов и инженеров вузов, а также для инженеров, занятых решением динамических задачами механических систем.

Текст, Б. №. 102. Библиогр. 28 назв.

Редакционно-издательский совет АН ССР В. В. Балашов

ОГЛАВЛЕНИЕ

Предисловие	5
Введение	7
1. Общие задачи и содержание курса (1). 2. Составление математической модели; отыскание числа степеней свободы (11). 3. Квадратичные кинетические колебания; явления, связанные при исследовании (14). 4. Понятие о фазовой плоскости (15).	
Глава I. Свободные колебания	22
1. Линейные системы с одной степенью свободы при отсутствии трения	22
1. Основные дифференциальные уравнения и сто рекомендаций (12). 2. Метод Рунге (12). 3. Задачи о начальных условиях различия от начального состояния (13).	
2. Системы с одной степенью свободы при наличии линейных неизвестных коэффициентов	40
1. Дифференциальное уравнение (13). 2. Нормализация троек (13). 3. Условия эволюции троек (13).	
3. Системы с одной степенью свободы при линейном коэффициенте (13).	53
1. Общая схема (13). 2. Точки речения (13). 3. Переопределение схем (13).	
4. Линейные системы с несколькими степенями свободы	72
1. Способы определения линейных коэффициентов звеньев (13). 2. Решение систем линейных алгебраических уравнений (13). 3. Составление форм (11). 4. Определение собственных форм (11). 5. Решение линейных уравнений (10). 6. Числочные методы и примеры задач (10). 7. Использование таблиц (10).	
Глава II. Вынужденные колебания	101
1. 2. Линейные системы с одной степенью свободы при действующем трении	101
1. Описание трения (14). 2. Стационарные колебания (14). 3. Стационарные колебания вынужденных колебаний (14). 4. Действие гармонического вынуждения на систему (14). 5. Действие гармонического вынуждения на систему (14).	
3. 4. Колебания с одной степенью свободы при наличии линейной распространяющейся коэффициентов	122
1. Действие гармонической вынуждающей силы (15). 2. Действие линейной вынуждающей силы (15). 3. Действие гармонической коэффициентов (15). 4. Влияние коэффициентов (15). 5. Действие стиреозиса (15). 6. Случайные коэффициентов (15).	

6. Системы с одной степенью свободы при нелинейной востановительной силе	163
1. Основные понятия (163). 2. Основные методы (163).	
3. Статическая устойчивость (163). 4. Динамическая устойчивость (163). 5. Особые критические конфигурации для кругово-изогнутых систем (163).	
7. Динамические системы с несколькими степенями свободы	169
1. Общие уравнения (169). 2. Динамика изотропных систем, замкнутых по гармоническому закону; гамильтоновское описание (169). 3. Динамика приводимых изотропных систем: расщепление по собственным формам (169). 4. Динамика изогнутых изотропных систем (169).	
Глава III. Неравномерное колебание	171
8. Общие понятия	171
1. Основные дифференциальные уравнения (171). 2. Неравномерное колебание ядра (неравномерное разложение) (171).	
3. Неравномерное колебание ядра в фазовом пространстве (171).	
9. Неравномерное колебание из первого случая	177
1. Изобиение при неустойчивом притяжении (177). 2. Винкельберговы притяжения (177).	
10. Неравномерное колебание из второго случая	183
1. Сфера скручивания (183). 2. Притяжение (183).	
Глава IV. Устойчивость системной разности и связанных	188
11. Устойчивость состояний разности	188
1. Астеническая теория (188). 2. Системы с одной степенью свободы (188). 3. Системы с двумя степенями свободы без притяжения (188). 4. Системы с двумя степенями свободы с притяжением (188).	
12. Стабильность разности и предельные циклы	203
1. Основные понятия (203). 2. Сборок локального рассмотрения для кругово-изогнутых систем (203). 3. Метод вертикальных балансов (203). 4. Метод циклических параметров (203).	
13. Переходные процессы и устойчивость стационарных режимов	222
1. Переходные процессы (222). 2. Особый переходный закономерности для кругово-изогнутых систем (222). 3. Метод интегрированного решения (224). 4. Метод вертикальных балансов (224). 5. Метод циклических параметров (226). 6. Устойчивость стационарных режимов (227).	
14. Истолкование спиралей	231
1. Интегрированная кинематика (231). 2. Спиралевидные и спиралевидно-изогнутые системы (231). 3. Метод интегрированного решения (231). 4. Метод вертикальных балансов (231). 5. Метод циклических параметров (231). 6. Истолкование спиралей (231).	
15. Истолкование спиралей	231
1. Интегрированная кинематика (231). 2. Спиралевидные и спиралевидно-изогнутые системы (231). 3. Метод интегрированного решения (231).	
16. Страницы астрофизики	236
1. Гравитационные колебания (236). 2. Динамическая гравитационной гравитационной системы (236). 3. Гравитационные колебания (236).	
17. Страницы астрофизики	236
1. Гравитационные колебания (236). 2. Динамическая гравитационной гравитационной системы (236). 3. Гравитационные колебания (236).	
Список литературы	260
Предметный указатель	263

ПРЕДИСЛОВИЕ

Предлагаемая читателю книга входит в серию учебных пособий, выходящих в издательстве «Наука» в качестве дополнений к «Шпаргалке теоретической механики» Н. В. Бутмана, Я. Л. Лунца и Д. Р. Морниха. Эти дополнения рассчитаны на студентов, которым по профилю подготовки нуждаются в базовом подборе сопровождении с рядом избранных проблем механики: теории устойчивости движения, теории циркуляционных колебаний, аналитической механикой, теории гироспектра, теории механического удара и т. д.

Теория механических колебаний особенно важна для инженеров, работающих в области машиностроения, промышленности, авиа- и судостроения, промышленного и транспортного строительства, а также в некоторых других областях техники. Книгия появляется в областях статистики ядра, спиралевидности ряд, соответственных практическим задачам, тесно связанных с проблемой механических колебаний; хотя постановка этих задач почти всегда обладает заметной спецификой, по ее суть, в конечном счете, решаются на основе общих принципов и методов, составляющих содержание теории колебаний.

Важность теории колебаний общеизвестна, и в ряде видущих странах эта теория, или более или менее специализированное ее модифицированное, является самостоятельным элементом учебного плана, обязательной или факультативной дисциплиной; во многих других странах сформированные работают дополнительные комиссии по теории колебаний, привлекающие не только студентов, но также аспирантов и молодых инженеров.

Настоящая книга предназначена служить учебным пособием для любых таких заинтересованных лиц; можно надеяться, что она окажется полезной и для лиц, приступающих к самостоятельному изучению теории механических колебаний.

Эта теория является частью механики, выделенной признаком общности рассматриваемых колебательных явлений. В основном тот же признак накладывает и при дальнейшем выстроении разделения теории в этой книге, где каждая из четырех глав посвящена колебаниям обратного типа (свободные колебания, вынужденные колебания, параметрические колебания, автоколебания).

В начальном курсе авторы теории механических колебаний все больше проясняют понятия, заимствованные из теории электрических цепей и теории автоматического управления (частотные методы, комплексные представления сил и перемещений), а также матричные методы. Эти понятия отражены в настоящей книге, но без особых подробностей — в конце книги, они имеют смысл только в области линейных колебаний.

В книге вкратце снимаются различные приближенные методы анализа величайших систем. Каждый из этих методов выводится в том месте изложения, где изучение его может оказать полезным. Поэтому уже в первой главе можно найти элементарное изложение методов модального анализа спектра, гармонического баланса и др., которые обычно излагаются (если вообще излагаются) лишь в самом конце курса.

По сравнению с другими книгами подобного назначения здесь относительно большое внимание удалено примерам, значительная часть которых — конспекты, в сильно сжатом изложении виде — соответствуют практическим ситуациям.

Автор благодарит всех коллег, которые скромно содействовали письменными помоиля улучшению книги.

Ленинград,
октябрь 1989 г.

Л. Г. Банников

ВВЕДЕНИЕ

1. Общие задачи и содержание теории. Сорок лет назад академик И. Д. Павленко писал: «Не будет, вероятно, преувеличением сказать, что среди процессов, или свободно протекающих в природе, так и используемых в технике, колебания, понимаемые в широком смысле этого слова, занимают не многих отраслей науки, число которых превосходит шесть».

Можно было бы привести множество примеров, иллюстрирующих важность колебательных явлений в технических устройствах. В одних случаях колебания вредны (именно эти случаи чаще всего приводят к низкому пониманию теории колебаний), в других случаях они приносят пользу и непрерывно применяются в современной технике.

Механические колебания могут причинить значительный вред. Часто они создают прямую угрозу прочности весьма ответственным конструкциям, таким, как вспомогательные турбинные машины, воздушные линии, мосты, перекрытия промышленных зданий и т. п.; колебания несущих конструкций причиной многих аварий, а иногда и тяжелых инцидентов. В других случаях колебания способны нарушить нормальные условия эксплуатации, — такие, например, как вибрации стакнов, машины достигающие колебательной чистоты обработки деталей, или колебания приборов, установленных на избирательном основании (например, на автомобиле или на самолете), приводящие к нарушению точности показаний. Наконец, иногда колебания оказывают вредное физиологическое действие на люди, органы которых подвергаются длительным вибрациям (например, работники с ручными инструментами вибрационного типа). Во всех перечисленных случаях теория колебаний решает задачи предвидящих и, по возможности, предотвращающих предполагаемого действия колебаний.

С другой стороны, выше все шире применяются различные технологические процессы, основанные на использовании искусственно возбуждаемых колебаний. В таких процессах отсутствует, например, вибропрессование свай, при котором свая плавно быстро загружается в грунт под действием симметрического собственного вибрационного нагружения; другим примером могут служить вибротранспортеры сыпучих материалов, частные которых перемещаются в одну сторону вдоль несущей ленты («вибротранспортёры»). С помощью теории колебаний удается не только извлечь довольно сложную природу соответствующих физических явлений, но и установить оптимальные параметры режимов колебаний, при которых постулированная производительность технологического процесса.

Таким образом, теория механических колебаний служит научной основой решения множества разнообразных технологических задач большого практического значения.

Часто теория колебаний разделяют на части по числу степеней свободы механической системы; сначала рассматриваются колебания систем с одной степенью свободы, затем колебания систем с несколькими степенями свободы и, наконец, колебания систем с бесконечно большим числом степеней свободы (систем с распределенными параметрами). Такое разделение имеет естественное методологическое основание и долгое время было традиционным.

Однако в последнее время заметна тенденция к, по-видимому, более единообразный принципу, согласно которому отдельные разделы теории колебаний выделяются по признаку физического единства рассматриваемых явлений. Следует этому признать, даже чисто логический линия с точки зрения теории колебаний, легко выделить две достаточно самостоятельные разделы: исследование свободных колебаний и исследование вынужденных колебаний. В первом из этих разделов изучаются колебания автономных систем, происходящие под действием неизменяющихся (и, возможно, дисперсионных) сил около состояния равновесия; такими, например, являются после нарушения равновесия простейших систем, изображенных на рис. 0.1 (а — маятник, б — груз на пружине). Ко второму разделу относятся изучение колебательных процессов, возникающих в подвергаемых вынуждающим силам, т. е. скажем, заданными в виде новых функций

времени и не зависящими от движения системы. Примерами могут служить те же системы — маятник и груз на пружине, но при действии вынуждающих сил $P(t)$ (t — время).

В некоторых случаях вынужденные колебания возникают в результате консервативного воздействия, т. е.

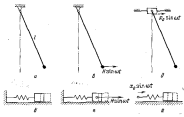


Рис. 0.1

заданного в виде якобы функции времени принудительного движения какой-либо точки (или нескольких точек) механической системы. Такие случаи иллюстрированы рис. 0.1, б, в; в схеме б колебания маятника вызываются заданным колебанием длины конца оси подвеса в горизонтальном направлении, а в схеме в колебания груза возникают вследствие заданного движения левого конца пружины.

При дальнейшем углублении в проблему механических колебаний можно обнаружить существование колебательных явлений иных типов, которые принципиально отличаются от тех, что изложены.

Прежде всего отметим гармонические колебания, возникающие в системах, параметры которых (действие или massa) заданным образом периодически изменяются во времени. Примером гармонического возбуждения может служить маятник, ось подвеса которого совершает заданные колебания в вертикальном направлении (рис. 0.2, а). Если состояние относительного покоя будет каким-либо образом нарушенено, то возникнут устойчивые

волнения, причем в зависимости от сочетания параметров системы упомянутые колебания могут быть как ограниченными, так и неограниченными по времени. В последнем случае говорят о *перманентном* разрывистом состоянии. И во физической сущности, и по математическому описание это задача принципиально отличается от задачи о вынужденных колебаниях маятника при заданном горизонтальном движении оси подвеса (рис. 0.1, б).

Совершенно особое значение представляют *автомобильтемы* — неупругие стационарные колебания, поддерживаемые за счет энергии, которая подводится к системе от источника автомобилетного характера. При этом силы, подводимые к системе от источников энергии, меняются во времени в зависимости от самого движения системы и при отсутствии движения равны нулю.

Простейший пример автомобилетной системы показан на рис. 0.2, б — маятник, который при плавном прохождении через положение равновесия испытывает действие мгновенного импульса δ заданной величины и направления в сторону скорости. Такие импульсы могут поддерживать маятывающие колебания маятника при различиях траектории и системе. Здесь нужно подчеркнуть, что действующую на автомобилетную систему внешнюю силу (в данном случае ударную) не являются вынуждающими силами в обычном смысле этого термина, так как она не задана в виде ящих функций времени, а управляется самим движением.

К изыскательским гравюрам относятся системы с первоначальными параметрами, если эти параметры задачи первоначально функции координат (а не времени). Нагоды такие системы называют *статистическиими*.

Физическое различие можно придать колебаниям упомянутых четырех типов весьма глубоко; в достаточной мере специфично и соответствующие математические методы исследования. Ницкому из этих типов колебаний пока не посвящены отдельными главами.

2. Составление механической модели; ограничение числа степеней свободы. Любая реальная механическая

система представлена в виде бесконечного числа материальных точек, массы которых бесконечно малы; так как силы между этими точками не являются абсолютно известными, то число степеней свободы такой системы бесконечно велико. Точное решение задачи о колебаниях деформируемых систем удается получить в замкнутой форме лишь в немногих, относительно простых случаях (например, задачи о свободных и вынужденных колебаниях упругих стержней постоянного сечения при равномерном распределении массы по длине стержня). В общем случае это сделать невозможно, и приходится упрощать расчетную модель, в частности путем уменьшения числа степеней свободы. Можно указать три основных способа образования неначиленных моделей.

Первый способ состоит в том, что относительно неких износимых частей системы подразумевают некие движимые массы и представляют в виде безмассовых элементов (жестких или деформируемых), а наиболе-

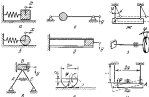


Рис. 0.3

жесткие части конструкции принимаются за абсолютно твердые тела; если размеры последних малы, то их считают материальными точками.

На рис. 0.3, а — в показаны примеры обрезанных тел способом систем с одной степенью свободы. Следует обратить внимание на их характеристические особенности: упругие элементы, изображенные в виде пружин на рис. а, б, в, считаются безмассовыми; то же относится и к упругим стержням на рис. г, д, з и жестким стержням

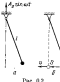


Рис. 0.2

на рис. *а*, *ж*, *и*; в схемах на рис. *б*, *г* излишне не определяются связанные в схеме на рис. *а* грузы считаются статически пренебрежимо малыми. Здесь же, в схеме на рис. *д* горизонтальные перемещения грузов считаются пренебрежимо малыми. И название обобщенной координаты принято: на рис. *а*, *б* — горизонтальное перемещение, на рис. *а*, *г*, *д* — вертикальное перемещение, на рис. *а* — *и* — угол поворота.

На рис. 0.4 показаны образованные таким же образом системы, имеющие более чем одну степень свободы. Конфигурация системы, показанной на рис. *а*, определяется

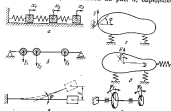


Рис. 0.4

перемещениями x_1 , x_2 , x_3 поступательного движения грузов; эта система обладает тремя степенями свободы. То же относится и к системе на рис. *б*, если считать грузы материальными точками (при учете жестких размеров грузов к линии их повернутов система на рис. *б* имеет шесть степеней свободы). Помимо системы на рис. *а* определяются двумя обобщенными координатами — вертикальным перемещением центра масс груза *у* и углом его поворота φ . Такие две степени свободы имеют твердое тело, показанное на рис. *г*; здесь за обобщенные координаты принят вертикальный изогнутый подвижной опоры и угол поворота тела вокруг этой опоры. В отличие от этого из-за податливости горизонтальной опоры тела на рис. *д* имеют три степени свободы. Если масса тела в системе на рис. *а* пренебрежимо мала, то система

обладает двумя степенями свободы; в качестве обобщенных координат на рисунке показаны угол поворота масивных дисков φ_1 , φ_2 .

Согласно второму способу разобраннные по всему объему системы сплошного податливости находятся в конечном числе точек (или ячейк). При этом системы представляются в виде совокупности упругих (или вязкоупругих) соединенных жесткими элементами. Например, упругая балка с непрерывно распределенной массой

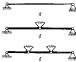


Рис. 0.5

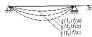


Рис. 0.6

(рис. 0.5, *а*) может быть приближение линейных конечных элементов, соединенных упругими шарнирами. При выборе числа шарниров следует исходить из требуемого уровня точности (см. варианты задачи на рис. 0.5, *б*, *в*).

Третий способ основан на некоторой иерархии предположений об изменениях конфигурации системы в процессе колебаний.

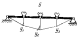
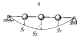
Пусть для определенности речь идет о колебаниях показанной на рис. 0.4, *а* системы с тремя степенями свободы. Согласно этому способу можно принять, что изменения между перемещениями $x_1(t)$, $x_2(t)$, $x_3(t)$ произошли во времени, а числовые значения таких отношений ($x_2/x_1 = \alpha$, $x_3/x_1 = \beta$) заранее известны; разумеется, это имеет элемент произвола в решении. В результате движения системы полностью определяется одной функцией времени, например $x_1(t)$, через которую непосредственно выражаются перемещения всех точек системы; такая система имеет всего одну степень свободы.

Согласование тому же способу, для двухкорневой балки (рис. 0.5, *а*) приводит к тому, что в любой момент процесса колебаний форма изогнутой оси остается измененной и меняется лишь ее масштаб. Если заранее задать форму в виде инкогнитой координатной функции $f(x)$,

то пренебрежь огибающую будет определяться произведением

$$y(x, t) = q(t)f(x), \quad (0.1)$$

в котором $q(t)$ — функция времени, выдающаяся единственной поставленной задачей. Для иллюстрации на рис. 0.6 показана изогнутая ось балки в изображенном моменте процесса колебаний t_1 , t_2 и t_3 ; все краевые имеют одну и ту же форму и различаются лишь масштабом. Таким образом, при фиксированном выборе функции $f(x)$ выражение (0.1) определяет переход к системе с одной степенью свободы, причем $q(t)$ представляет собой обобщенную координату.



Это идея приведенная к системе с одной степенью свободы лежит в основе плавающего метода метода Рэлея (см. стр. 29–33).

Точность решения может быть повышена, если вместо (0.1) выбрать движение балки суммой производных

$$y(x, t) = \sum_{n=1}^{\infty} q_n(t) f_n(x), \quad (0.2)$$



Рис. 0.7

где $f_n(x)$ — заданные координатные функции, $q_n(t)$ — известные функции времени, практическая роль обобщенных координат, x — сохраняемое в модели число степеней свободы системы.

Особенностью, которую следует руководствоваться при выборе изображенных функций, будет следующее явление.

Сами и то же система может быть приведена к системе с идентичными степенями свободы любым из трех способов. В качестве примера на рис. 0.7, а — показаны три варианта приведения для двухупорной балки с равнодействующей массой (рис. 0.7, а).

3. Составляющие механической модели: силы, действующие при колебаниях. В курсах механики указываются основные типы сил, которые могут действовать на материальную точку: силы, зависящие от времени; силы, зависящие от положения точки; силы, зависящие от скорости точки.

В большинстве случаев к этим типам добавятся и те обобщенные силы, которые действуют при колебаниях механических систем. Рассмотрим их подробнее, ограничившись здесь системами с одной степенью свободы.

Обобщенное вынуждающее усилие — это сильы типа $\dot{Q}(t)$, являющиеся заданными функциями времени; такие силы служат причиной вынужденных колебаний. Источники возникновения вынуждающих сил весьма разнообразны: гармонически изменяющиеся силы движений гравией смеси в цилиндрах двигателей внутреннего горения, циркуляционных эффектов в виброподбудовщиках, гармоническое приложение гидромоторов и др. Часто различные и законы их изменения во времени, хотя в практике наиболее часто встречаются периодические вынуждающие силы. Несколько вынуждающие силы не гармонизированы, и представляют собой случайные функции времени (случайные процессы).

В некоторых случаях возбуждение колебаний задается циклическими, когда каким-либо точкам системы предписано некоторое определенное движение — это также может быть гармонизированым или случайным процессом. В частности, циклическим является возбуждение колебаний автомобилей или навигационного маяка при движении по первому пути. Как будет показано ниже, любые колебательные возбуждения могут быть представлены в виде испытываемого движущимся системой возбуждения, т. е. совокупности действующих соответствующих сил.

Обобщенные восстанавливающие силы — силы, зависящие от положения (конфигурации) системы, т. е. от обобщенных координат. Среди подобных сил особое значение имеют восстанавливающие силы, т. е. силы, восстанавливающие при отклонении системы от положения равновесия и направляемые так, чтобы вернуть систему в это положение. Именно восстанавливающие силы обуславливают собственные колебательные свободы механических систем — их способность совершать свободные колебания.

В механических системах с упругими элементами восстанавливающие силы возникают вследствие деформирования этих элементов при колебаниях (упругие силы). В других случаях роль восстанавливающей силы может играть сила тяжести (мантинк) или притяжения силы (корабль).

Зависимости восстанавливающих сил от обобщенных координат, как правило, нелинейны; однако при испы-

действии малых колебаний — что во многих случаях достаточно — часто этого достаточно, линеаризацией таких зависимостей. Для системы с одной степенью свободы линеаризация сводится к виду

$$Q(\varphi) = -cq, \quad (0.2)$$

где φ — обобщенная координата, c — обобщенный коэффициент жесткости. Например, если для маятника (рис. 0.1, а) принять за обобщенную координату угол отклонения от вертикали, то обобщенная сила (момент силы тяжести) равна $-mg\sin\varphi \approx -mg\varphi$, т. е.

$$c = mg.$$

Иногда обобщенная восстанавливающая сила возникает вследствие одновременного действия двух различных причин. Так, например, упруго закрепленный маятник (рис. 0.8, б), для которого

Рис. 0.8

$$c = c_0^2 + mg/l,$$

где c_0 — коэффициент жесткости пружины, т. е. статическая сила, способная вызвать удлинение пружины на единицу длины. Эти действия могут быть противодействующими по направлению; так, для опрокинутого маятника (рис. 0.8, в)

$$c = c_0^2 - mg/l.$$

Если пружина имеет малую жесткость, такую, что $c_0 < mg$, то обобщенный коэффициент жесткости оказывается отрицательным, т. е. суммарная позиционная сила не является восстанавливающей.

Обобщенные силы трения зависят от обобщенных скоростей (но крайней мере от их знака) и направления противодействия движению. Силы трения называются и сопротивлениями и векторами механических систем, а также в материалах ее изготавлив. И этой категории также относятся силы сопротивления среды (жидкости, газа), в которой происходит колебание; такие и им подобные силы также называются силами трения. Особенно значительные трения в демпферах, которые спо-

潜力льно находятся в механических системах для гашения колебаний. Чаще всего силы трения представляют разностью колебаний, например, служат причиной затухания свободных колебаний механических систем, в которых действуют такие силы, называемые диссипативными. В некоторых случаях силы трения оказывают противодействие и возбуждают колебания (в аэродинамических системах — см. главу IV).

Зависимость обобщенной силы трения от обобщенной скорости наиболее часто представляют в одной из следующих форм (для диссипативных систем с одной степенью свободы):

— сила вязкого трения

$$Q(\dot{\varphi}) = -b\dot{\varphi}; \quad (0.4)$$

— нулевое сила трения ^{*)}

$$Q(\dot{\varphi}) = -b \operatorname{sign} \dot{\varphi}; \quad (0.5)$$

— сила полиномиального трения, обычно аппроксимируемая зависимостью

$$Q(\dot{\varphi}) = -b|\dot{\varphi}|^n \operatorname{sign} \dot{\varphi} \quad (0.6)$$

или зависимостью

$$Q(\dot{\varphi}) = -b_0\dot{\varphi} - b_1\dot{\varphi}^2 - b_2\dot{\varphi}^3 - \dots \quad (0.7)$$

В некоторых системах действуют силы скользящего характера. Такими, например, силы $Q(\varphi, \dot{\varphi})$, зависящие от координат и времени, которые нельзя представить в виде суммы позиционной силы и вынуждающей силы; эти силы характерны для параметрических систем, о которых кратко было уже сказано выше. Специальным характером обладают также силы $Q(\varphi, \dot{\varphi})$, зависящие от координат и скоростей в противовес действию в виде суммы позиционной силы и силы трения; иногда такие силы приводят механической системе автоколебательные свойства.

При составлении механической модели большое значение имеют различные пренебрежения, осуществляемые сопротивлениями сил, а для упрощаемых и анализируемых систем — приближенные схематизацию их свойств. Так,

^{*)} Здесь имеется в виду простейший вид диссипативного трения, в котором не учитывается режим, т. е. обобщенное трение некоего в прямом движении.

при определении собственных частот механических систем в большинстве случаев допущено преигнорировать действие сил трения; ими можно пренебречь и при исследовании вынужденных колебаний в достаточно удалении от резонанса. Аналогично этому, если рассматривают малые колебания, то часто можно не учитывать нелинейность взаимодействующих сил.

Впрочем, подобные упрощения нужно делать осторожно, имен и тому, что, казалось бы, малые изменения иногда могут явиться причиной весьма следствий принципиального характера. Так, даже несущие малые силы трения необходимо учитывать при анализе вынуждения свободных колебаний, а также при определении резонансных или оккервельевых амплитуд вынужденных колебаний. Подобно этому нужно помнить, что даже малые параметрические силы могут вызвать весьма сплошные колебания типа параметрического резонанса (см. главу III).

4. Понятие о фазовой плоскости. Обычные численные движения системы с одной степенью свободы в виде зависимости обобщенной координаты от времени $q = q(t)$ не являются единственно возможным. В ряде случаев, особенно при изучении нелинейных механических колебаний, определяемых достаточными обладает представление движения на фазовой плоскости.

Состояние системы в любой фиксированый момент времени t определяется парой соответствующих значений q и \dot{q} и может быть представлено изображающей (фазовой) точкой в плоской декартовой системе координат q, \dot{q} , если откладывать по оси общую обобщенную координату q , а по оси единичную — обобщенную скорость \dot{q} . Такая плоскость называется фазовой.

В процессе движения рассматриваемой системы величины q и \dot{q} изменяются и соответственно меняется положение изображающей точки на фазовой плоскости. Геометрическое место изображающих точек для данного движения называется фазовой траекторией. На рис. 0.9, а, б показаны фазовые траектории для случаев равномерного (а) и разноускоренного (б) движения материальной точки. Положение исходной изображающей точки M_0 определяется начальными условиями.

Для построения фазовой траектории при заданном законе движения $\dot{q}(t)$ нужно путем дифференцирования образовать выражение скорости $\dot{q}(t)$, а затем исключить

время из двух уравнений:

$$\dot{q} = \dot{q}(t), \quad \ddot{q} = \ddot{q}(t). \quad (0.8)$$

Функции

$$\dot{q} = \dot{q}(q) \quad (0.9)$$

и определяют фазовую траекторию данного движения. Вернемся, для построения фазовой траектории переход к какой функции (0.9) не обязательно; фазовую траекторию

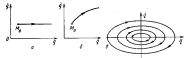


Рис. 0.9

можно строить непосредственно по уравнениям (0.8), которые представляют уравнение фазовой траектории в параметрической форме.

Фазовая плоскость особенно удобна для представления колебательных процессов, когда координата и скорость не выходят за пределы прямых; поэтому если картина движения даже в течение неограниченного времени занимает ограниченную часть фазовой плоскости. Такими, например, свободные гармонические колебания

$$\dot{q} = A \sin(\omega t + \alpha),$$

причем угловая частота ω , в такие зависящие от начальных условий величинам A и α константы. Для скорости имеем

$$\ddot{q} = -A\omega^2 \cos(\omega t + \alpha). \quad (0.10)$$

Изъятие времени из этих двух уравнений, получим уравнение фазовой траектории

$$q^2 + \frac{\dot{q}^2}{\omega^2} = A^2, \quad (0.11)$$

т. е. уравнение эллипса.

В данном случае вся фазовая плоскость заполнена бесконечным множеством эллиптических кругов разных размеров с общим центром в начале координат и отлича-
2*

закоштает друг от друга только параметром A (рис. 0.9, а). Направление движения изображающих точки здоль фазовых траекторий показаны на рисунках стрелками. Все фазовые траектории системы однотипны, в начальных условиях фиксируют определенный набор начальной траектории.

Совокупность фазовых траекторий описывает все возможные движения данной системы и называется фазовой диаграммой (фазовым портретом) данной системы. Структура фазовых диаграмм неподвижно характеризует качественные особенности возможных движений рассматриваемой системы.

Следует иметь в виду, что фазовая диаграмма не только может служить наглядной записью движения, после того как он найден путем интегрирования дифференциального уравнения движения. В принципе фазовая диаграмма может быть построена непосредственно, не это уравнение, без его решения в виде $\dot{q} = q(t)$.

Так, для автономной системы, описываемой линейным дифференциальным уравнением

$$\ddot{q} + \lambda^2 q = L(q, \dot{q}), \quad (0.12)$$

после замены $\ddot{q} = \frac{d\dot{q}}{dt}$ получается уравнение

$$\frac{d\dot{q}}{dt} = f(q, \dot{q}) - \lambda^2 q, \quad (0.13)$$

которое определяет исконную связь между первыми производными \dot{q} и \ddot{q} . В принципе решение этого дифференциального уравнения второго порядка имеет вид

$$\dot{q} = \phi(q, C), \quad (0.14)$$

где постоянная C определяется начальными условиями $\dot{q} = \dot{q}_0$ при $q = q_0$ (q_0 и \dot{q}_0 — начальные значения обобщенной координаты и обобщенной скорости). Каждому значению C соответствует определенная фазовая траектория, а совокупность таких траекторий образует фазовую диаграмму системы.

В некоторых случаях дифференциальное уравнение (0.13) удается решить аналитически в замкнутой форме; в частности, в квадратуре происходит случай, когда выражение $L(q, \dot{q})$ не содержит \dot{q} , и первые члены в (0.13) расходятся. В общем случае для интегрирования урав-

нения (0.13) нужно обращаться к ЭВМ. (В свое время были предложены различные специальные приемы графического интегрирования изложенного уравнения; теперь этими приемами практически не пользуются.)

В состояниях равновесия пусть пусть обобщенная скорость (коэффициент правой части уравнения (0.13)) и обобщенное ускорение (коэффициент правой части уравнения (0.13)). Таким образом, в точках фазовой плоскости, соответствующих состояниям равновесия, производная $d\dot{q}/dt$ не определена и вместе с этим не определено направление касательной к фазовой траектории. Такие точки называются особыми точками дифференциального уравнения. В начальном теории дифференциальных уравнений устанавливается, что через любую особую точку проходит либо больше чем одна фазовая траектория, либо же не проходит ни одной. Например, как мы видели на рис. 0.9, а, через особую точку в начале координат не проходит ни одна из фазовых траекторий (такие точки называются особой точкой типа «центр»; ниже будут рассмотрены особые точки других типов).

Через каждую регулярную точку фазовой плоскости (т. е. не особую точку) проходит одна и только одна фазовая траектория. Изображающие точки, лежащие в верхней полуплоскости, определяют состояние системы с положительными начальными обобщенными скоростями, т. е. состояния, которым соответствует возрастание обобщенной координаты, поэтому такие изображающие точки движутся здоль фазовой траектории слева направо. Согответственно, изображающие точки, находящиеся в нижней полуплоскости, движутся здоль фазовой траектории справа налево. Отсюда также следует, что касательная к фазовой траектории в точках пересечения траектории с осью \dot{q} перпендикулярна этой оси.

определеняется только обобщенной координатой q и не зависит явно от времени, то скорость точки равна

$$\dot{r}_i = \frac{dr_i}{dt} = \frac{dr_i}{dq} \dot{q},$$

и, следовательно,

$$T = \frac{1}{2} \sum_{i=1}^n m_i \left(\frac{\partial r_i}{\partial q} \right)^2 \dot{q}^2 = \frac{1}{2} \dot{q}^2 \sum_{i=1}^n m_i \left(\frac{\partial r_i}{\partial q} \right)^2.$$

Входящая сюда сумма в общем случае является функцией обобщенной координаты q ; обозначив

$$\sum_{i=1}^n m_i \left(\frac{\partial r_i}{\partial q} \right)^2 = A(q) \quad (1.2)$$

и подставив последнее выражение в ряд Маклорена в окрестности начальной $q = 0$, получим

$$A(q) = A(0) + A'(0)q + \frac{A''(0)}{2}q^2 + \dots$$

Здесь штрихи обозначают производные функции $A(q)$ по обобщенной координате q .

В этом параграфе рассматривается частный, но практически очень важный случай малых колебаний в системах некоупругих по отношению к равновесию; отсюда координаты q удобно вести от этого положения. При малых изменениях q в расположении можно удерживать лишь один первый член, который обозначим через ε ; тогда кинетическая энергия примет вид, склонный с выражением кинетической энергии одной материальной точки:

$$T = \frac{1}{2} \dot{q}^2. \quad (1.3)$$

Входящий сюда множитель ε называют коэффициентом инерции или инерционным коэффициентом (штрих его означает также обобщенный для производной масой).

Конечно, для определения широкого класса коэффициентов нет необходимости каждый раз фактически строить сумму (1.3), разложить ее в ряд Маклорена и затем подавать первый член этого ряда. В зависимости от вида механической системы и выбора обобщенной координаты достаточно любым образом получить выражение кинетической энергии террас квадрат обобщенной скорости; при

Глава I

СВОБОДНЫЕ КОЛЕБАНИЯ

§ 1. Линейные системы с одной степенью свободы при отсутствии трения

1. Определение дифференциальное уравнение и его решение. Изучение свободных колебаний представляет определенный интерес в связи с практическими задачами о движении механической системы после некоторого возмущения ее состояния равновесия. Однако не только этим определяются важность темы, которой посвящена настоящая глава. Дело в том, что характеристики свободных колебаний (собственные частоты и собственные формы) полностью определяют индивидуальные линейические свойства механической системы и имеют первостепенное значение при анализе ее импульсовых колебаний.

Рассмотрим в общем виде некоупругую механическую систему с одной степенью свободы, для которой уравнение Лагранжа имеет известную из курса теоретической механики форму:

$$\frac{d}{dt} \left(\frac{\partial T}{\partial \dot{q}} \right) - \frac{\partial V}{\partial q} = - \frac{\partial U}{\partial q}. \quad (1.1)$$

Здесь T — кинетика, q — обобщенная координата, \dot{q} — обобщенная скорость, V — константная энергия, U — потенциальная энергия.

Прежде всего образуем выражение кинетической энергии:

$$T = \frac{1}{2} \sum_{i=1}^n m_i \dot{r}_i^2 = \frac{1}{2} \sum_{i=1}^n m_i v_i^2 t_i. \quad (1.2)$$

Здесь m_i — масса i -й материальной точки, v_i — скорость этой точки. Если r_i — радиус-вектор i -й материальной точки

Этот выражение с ω определяется как коэффициент в выражении (1.4).

Обратимся теперь к определению потенциальной энергии Π , которая представляет собой функцию обобщенной координаты q :

$$\Pi = \Pi(q). \quad (1.5)$$

Если, как это чаще всего бывает, потенциальная энергия обладает свойствами непрерывности и дифференцируемости, то ее можно разложить в ряд Маклорена в окрестности значения $q = 0$:

$$\Pi = \Pi(0) + \Pi'(0)q + \frac{\Pi''(0)}{2}q^2 + \dots \quad (1.6)$$

здесь, как и выше, штрихи обозначают дифференцирование по обобщенной координате q . Постоянному первому члену этого разложения может быть присвоено любое значение, так как потенциальная энергия определяется в точности до произвольного постоянного слагаемого. Поэтому удобно положить $\Pi(0) = 0$. Далее нужно вспомнить

$$\Pi' = -\dot{q}, \quad (1.7)$$

определенное силой потенциальной энергии с обобщенной силой Q . Так как в положении равновесия обобщенная сила равна нулю, то при отсчете координаты q от положения равновесия система производит $\Pi'(0)$ извращение в нуль; при этом разложение (1.6) нарастает с членом, содержащим вторую степень координаты q . Считая первенствующими q малыми, мы сохраним в разложении (1.6) только упомянутый член, так что окончательно получим

$$\Pi = \frac{1}{2}cq^2, \quad (1.8)$$

где постоянная

$$c = \Pi''(0) \quad (1.9)$$

называется обобщенным коэффициентом жесткости или квадратичным изобривием.

Знак постоянной c зависит от устойчивости положения равновесия, от которого зависит отсчет координаты q . Согласно теореме Лагранжа — Дирака потенциальная энергия консервативной системы в положении устойчивого равновесия имеет минимум, т. е. $\Pi''(0) > 0$. Отсюда следует, что $c > 0$ близи устойчивого положения равновесия.

Для определения обобщенного коэффициента жесткости c в каждом конкретном случае достаточно построить выражение потенциальной энергии в виде квадратичной функции обобщенной координаты q , причем отсчет координаты q следует вести от положения равновесия, предполагая, что этому положению соответствует наименее значительное потенциальное значение. Если оказывается, что $c < 0$, то это будет означать неустойчивость соответствующего положения равновесия.

Подставив в уравнение Лагранжа (1.1) выражения (1.4) и (1.8) для кинетической и потенциальной энергии, получим основное дифференциальное уравнение задачи о свободных колебаниях:

$$a\ddot{q} + cq = 0. \quad (1.10)$$

Иногда, в зависимости от вида механической системы, можетоказаться более удобным не метод Лагранжа, а какой-либо иной путь составления дифференциального уравнения задачи; разумеется, что независимо от выбранного способа для рассматриваемых здесь механических систем с одной степенью свободы без труда окончательное дифференциальное уравнение записывается в виде (1.10).

Виды обобщения

$$\ddot{q} = \sqrt{\frac{c}{a}}, \quad (1.11)$$

тогда вместе (1.10) получим

$$\ddot{q} + k^2q = 0. \quad (1.12)$$

Общее решение этого уравнения имеет вид

$$q = C_1 \sin kt + C_2 \cos kt, \quad (1.13)$$

причем постоянные C_1 и C_2 определяются через начальные условия $q(0) = q_0$ и $\dot{q}(0) = \dot{q}_0$ в виде

$$C_1 = \frac{\dot{q}_0}{k}, \quad C_2 = q_0.$$

Окончательно имеем

$$q = \frac{\dot{q}_0}{k} \sin kt + q_0 \cos kt. \quad (1.14)$$

Иногда пользуются иной формой записи:

$$q = A \sin(kt + \alpha), \quad (1.15)$$

$$A = \sqrt{\left(\frac{s_0}{k}\right)^2 + q_0^2}, \quad \omega = \sqrt{k/m}, \quad (1.16)$$

Из выражения (1.16) видно, что движение представляет собой коллатурирующие гармонические колебания с амплитудой A и угловой частотой ω (рис. 1.1). Подчеркнем, что амплитуда колебаний определяется начальными условиями по первой формуле (1.16), а угловая частота колебаний зависит только от параметров системы (см. формулу (1.11)) и не зависит от начальных условий; поэтому пропорциональность k называется собственной частотой системы. Собственная частота представляет собой число свободных колебаний за 2π единиц времени. Время свободных колебаний, т. е. длительность одного полного цикла колебаний, определяется формулой

$$T = 2\pi \sqrt{\frac{m}{k}}. \quad (1.17)$$

Пример 1.1. Определить собственную частоту системы (рис. 1.2), состоящей из упруго закрепленной горизонтальной пружиной рессоры A , которая лежит на упруго закрепленном подшипнике B и катку C . Считать, что трение между рессорой и катком не влияет возможности проскальзывания рессоры.

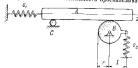


Рис. 1.2

по прямолиней. Обозначения: m — масса рессоры, m_1 — масса катка, c_1 — коэффициент жесткости горизонтальной пружины, c_2 — коэффициент жесткости вертикальной пружины, r — радиус катка, R — расстояние от оси катка до точки приклю-

чия вертикальной пружины, M — масса катка с катком C вместе.

Приемы из обобщенную координату горизонтальное перемещение катка либо точек рессоры; так как рессора движется погнувшись, то выберем этой точки бифуркации. Отсчет координаты x будем вести от положения равновесия, когда обе пружины не деформированы.

Широким концом рессоры, разом с катком, повернутся вокруг узла $q = \theta$. Направление засечки скажено ранее.

$$\ddot{x} = \frac{1}{2} c_1 \dot{\varphi}^2 + \frac{1}{2} c_2 \dot{\varphi}^2,$$

подставив сюда $\lambda_1 = \omega_0^2/2$, $\dot{\varphi} = \dot{x}/r$, получим

$$\ddot{x} = \frac{1}{2} c_1 \dot{x}^2 + \frac{1}{2} c_2 \dot{x}^2 = \frac{1}{2} \left(s_1 + \frac{1}{r^2} s_2 \right) \dot{x}^2,$$

Основываясь на этом можно видеть, что квадратный коэффициент в данном случае равен

$$s = s_1 + \frac{1}{r^2} s_2.$$

Потенциальная энергия определяется деформацией обеих пружин:

$$H = \frac{1}{2} c_1 x^2 + \frac{1}{2} c_2 \left(\frac{x}{r} \right)^2 = \frac{1}{2} \left(s_1 + \frac{r^2}{x^2} s_2 \right) x^2.$$

Таким образом, коэффициент жесткости системы равен

$$s = s_1 + \frac{r^2}{x^2} s_2.$$

Теперь по формуле (1.17) находим собственную частоту:

$$\omega = \sqrt{\frac{s_1 + \frac{r^2}{x^2} s_2}{m_1 + \frac{1}{r^2} m_2}},$$

Пример 1.2. Определить движение системы, изображенной на рис. 1.3, состоящей из горизонтальной пружины A и пружины B , имеющей форму дуги второй квадранта (также на рис. 1.3, а). Обозначения: m — масса блока, m_1 — масса груза, c_1 — коэффициент жесткости горизонтальной пружины, S — величина приведенного к грузу момента инерции пружины.

Процесс этого движения показано на рисунке (рис. 1.3, б). Пусть в этот момент времени угол отклонения горизонтальной пружины θ (рис. 1.3, а). Тогда блок движется со скоростью $\dot{\theta}$ и ускорением $\ddot{\theta}$. На блоке действует сила тяжести $m g$; вес пружин B ; реакция пружины $c_1 \dot{\theta}$; реакция горизонтальной пружины. Для определения угла Φ составим уравнение момента

относительного центра параллельной системы:

$$\Delta \varphi_1 = c_g t \varphi_1 = 0. \quad (1)$$

Следует заметить

$$\tau_1 = \frac{\Delta \varphi_1}{c_g t}.$$

Теперь перейдем к анализу движения в обобщенных через φ узлах колебательного отклонения при движении системы подвеса груза. Тогда линейный угол стояния разности $\varphi_1 + \varphi_2$ в положении равновесия пружины составляет $c_g t \varphi_1 + \varphi_2$.

Составим дифференциальное уравнение приводимого движения обобщенной системы баланс-груза:

$$\begin{aligned} \Delta \varphi_1 - c_g t^2 (\varphi_1 + \varphi_2) &= \\ &= -4m^2 t^2 (\varphi_1 + \varphi_2). \end{aligned}$$



Рис. 1.3

роторидное уравнение для координаты φ , состоящее из двух линейных равновесий:

$$4\varphi_1 + 4\varphi_2 = 0. \quad (2)$$

Также легко заметить, что приведенное выражение равновесного положения оказывается, в сущности, линией единичной кривой. Можно было бы выступить против первого шага — не использовать силы, действующие в системе, когда они находятся в положении равновесия, и оставить в дифференциальном уравнении только момент дополнительной разности $\Delta\varphi$ (тот момент равен — $4m^2 t^2$); при этом сразу получится уравнение (2). Обычно именно так и поступают в подобных случаях.

Составим уравнение (2) с помощью уравнением (1.0), находим, что квадратный коэффициент и коэффициент линейного равновесия равны $a = 4m$, $c = 0$. Тогда по формуле (1.1) находит собственную частоту:

$$\omega = \frac{1}{2} \sqrt{\frac{4}{m}}.$$

Перейдем к формулировке начальных условий, соответствующих движению подвеса баланс-грузом вокруг оси A . В момент, предшествующий следующий за ударом, падающие баланс-грузы остаются

изогнутыми, следовательно, $\varphi_1 = 0$. Скорость груза получает изначальное приведение $\dot{\varphi}_1$, определяемое из теории об изменении величины приведения:

$$2m\dot{\varphi}_1 = 0 - \delta.$$

Следовательно, начальные условия имеют вид:

$$\varphi_1 = 0, \quad \dot{\varphi}_1 = \frac{\delta}{2m}.$$

Сделав решение (1.1) движению движущегося параллелизма

$$\varphi = \frac{\delta}{2m t} \sin 2t,$$

приним изобличное отклонение от положения равновесия разности

$$\varphi_{\text{изм}} = \frac{\delta}{2m t} = \frac{\delta}{\sqrt{c_g m}},$$

а выпадение ударом наибольшую ускорение в пружине

$$(\ddot{\varphi}_{\text{изм}})^2 = 5 \sqrt{\frac{c_g}{m}}.$$

2. Метод Рэлея. Во введении былложен приближенный способ приведения в системе с одной степенью свободы, основанный на априорных соображениях о конфигурации системы при ее колебаниях. После такого приведения можно обратить соответствующие выражения для потенциальной и кинетической энергии и тем самым установить значения коэффициента жесткости c и квадратного коэффициента a . После этого по формуле (1.1) находитася собственная частота.

Рядом данная теорема, согласно которой вычисляемый указаным способом результат всегда приводит к пренебрежимому значению собственной частоты.

Просто, например, для системы из рис. Ф.4, с данным масса нова трех подвесов и размы m , коэффициенты приведения всех трех также одинаковы и равны δ . Следуя методу Рэлея, приведем $\varphi_1 = \varphi_2$, $\varphi_3 = \varphi_1$, где φ — некоторая разумно выбранная форма.

Колебание системы выражается через единственную обобщенную скорость $\dot{\varphi}$:

$$\ddot{\varphi} = \frac{1}{3} \dot{\varphi}_1^2 + \frac{1}{2} \dot{\varphi}_2^2 + \frac{1}{3} \dot{\varphi}_3^2 = \frac{1}{3} \dot{\varphi}_1^2 (1 + \alpha^2 + \beta^2).$$

Скорость повторного движение любой точки оси задано выражением

$$\frac{dy}{dt} = \varphi(t) f(x).$$

Соответствие кинетическая энергия бесконечно малого элемента длиной dx равна

$$\frac{1}{2} m(x) dx \left(\frac{dy}{dt} \right)^2 = \frac{1}{2} m(x) \dot{\varphi}^2(t) f^2(x) dx.$$

Здесь $m(x)$ — интенсивность распределенной массы, $m(x)dx$ — масса рассматриваемого элемента. Интегрируя по всей длине I , получим полную кинетическую энергию балки

$$T = \frac{\dot{\varphi}^2(t)}{2} \int_0^I m(x) f^2(x) dx, \quad (1.23)$$

Сравнив полученный результат с общим выражением (1.4) для кинетической энергии, приходим к заключению, что подынтеграл в (1.23) интеграл представляет собой операторный коэффициент:

$$a = \int_0^I m(x) f^2(x) dx, \quad (1.24)$$

Для определения потенциальной энергии нужно воспользоваться выражением

$$U = \frac{1}{2} \int_0^I EJ \left(\frac{d^2y}{dx^2} \right)^2 dx,$$

которое устанавливается в курсе сопротивления материалов. Представив скобку

$$\frac{d^2y}{dx^2} = \varphi(t) f''(x),$$

находим

$$U = \frac{f'^2(t)}{2} \int_0^I EJ |f''(x)|^2 dx.$$

Из сравнения этого результата с выражением (1.8) сле-

дует, что коэффициент эластичности определяется формулой

$$c = \int_0^I EJ |f''(x)|^2 dx. \quad (1.25)$$

После определения коэффициентов a и c по формулам (1.24) и (1.25) собственная частота изображена со-гласно (1.11) в виде

$$\omega = \sqrt{\frac{\int_0^I EJ(x) |f''(x)|^2 dx}{\int_0^I m(x) f^2(x) dx}}. \quad (1.26)$$

Можно доказать, что если функция $f(x)$ удовлетворяет заданным начальными граничным условиям, то приведенный результат (1.26) всегда больше истинного значения нашей собственной частоты балки.

Метод Ранея может быть использован для приближенного определения плоской собственной частоты любой системы с распределенными параметрами — не только балок, совершающих изгибные колебания, но и стержней при их продольных или кручущих колебаниях, а также — с соответствующей модификацией — рамных конструкций, пакетов и оболочек.

Так, например, в случае продольных колебаний стержня аналогично сказанному принимается, что продольные перемещения $u(x, t)$ определяются тем же производственным (1.19). При этом граничными условиями будут: на свободном конце $f'(x_a) = 0$, на закрепленном конце $f(x_a) = 0$. При помощи прежних рассуждений можно получить собственную частоту в виде

$$\omega = \sqrt{\frac{\int_0^I EJ(x) |f'(x)|^2 dx}{\int_0^I m(x) f^2(x) dx}}, \quad (1.27)$$

где $F(x)$ — площадь сечения стержня.

Пример 1.3. Динамическая система (раз. 1.4, а) определяется следующими параметрами: $m_1 = m_2 = m$, $c_1 = c_2 = c$.

Э. Г. Панченко

Найти собственную частоту по методу Рэлея, приравняв $\lambda_1 = \omega_1$, ($\alpha = \text{const}$), и исследовать, как зависит выбор значения α в выражении (1-3) от величинами ω_1 и собственной частоты.

В данном случае имеем

$$T = \frac{1}{2} m \omega_1^2 + \frac{1}{2} m (\omega_1)^2 = \frac{1}{2} m \omega_1^2 (1 + \alpha^2),$$

$$\Pi = \frac{1}{2} c_0 \omega_1^2 + \frac{1}{2} c_0 (\omega_1 - \omega)^2 = \frac{1}{2} c_0 \omega_1^2 (\omega^2 - 2\omega + 1).$$

Следовательно, $c = \omega_1(1 + \alpha^2)$, $\epsilon = c_0(\omega^2 - 2\omega + 1)$ и собственные частоты равны

$$\omega = \sqrt{\frac{c}{T}} = \sqrt{\frac{c_0}{m}}, \quad T = \sqrt{\frac{\omega^2 - 2\omega + 1}{1 + \alpha^2}}.$$

Зависимость коэффициента β от величины α ($\alpha > 0$) показана на рис. 1.4. Как упоминалось выше, при правильном выборе α максимумом значение оказывается выше нулями; точкой равновесия $\bar{\omega} = 0.618$ (см. также пример 4.3) соответствует точка максимума кривой на рис. 1.4, где $\alpha = 1.618$. Из графика, можно прочитать, что в зоне минимума изменения β довольно слабо влияют на величину β . Поэтому из-за пренебрежения, допущенного при выборе значения α , обычно не возникают большие ошибки в определении собственных частот.

Как правило, то же относится и к другим кинематическим системам — в этом и состоит практическая ценность метода Рэлея.



Рис. 1.4



Рис. 1.4

Рис. 1.5

Пример 1.4. Найти методом Рэлея собственную частоту колебаний консольной балки постоянного поперечного сечения $EI = \text{const}$; считается, что вдоль постоянной интенсивности α со временем (рис. 1.5).

Пусть ω_1 —

$$f(\omega) = \frac{\omega^2}{T}, \quad (1)$$

то уравнение дифференциальных гравитационных условий на концах и единицу из условия условий на правом конце (право-

вое условие $f''(1) = 0$ здесь парусина). Подставляя (1) в (1.28), получаем

$$k = \frac{4.67}{T^2} \sqrt{\frac{EI}{m}}.$$

В качестве формы колебаний лучше принять функцию

$$f(x) = \frac{x^2}{H^2} - \frac{x^3}{3H^2} + \frac{x^4}{12H^2}, \quad (2)$$

которая удовлетворяет всем граничным условиям задачи:

$$\begin{aligned} f(0) &= 0, & f'(0) &= 0, \\ f''(0) &= 0, & f'''(0) &= 0. \end{aligned}$$

Подставив (2) в формулу (1.28), найдем

$$k = \frac{3.41}{T^2} \sqrt{\frac{EI}{m}},$$

что лишь на 3,4 % отличается от известного точного значения

$$k = \frac{3.51}{T^2} \sqrt{\frac{EI}{m}},$$

3. Зависимость устойчивости равновесия от коэффициента жесткости. Во всех рассмотренных выше случаях речь шла о колебаниях около положения равновесия устойчивого равновесия; формальными признаками устойчивости служат последовательность коэффициента жесткости c , раннего значение второй производной $\Pi''(0)$ потенциальной энергии в положении равновесия. В реальных механизмах может оказаться, что $c < 0$.

При $c < 0$ основное дифференциальное уравнение (1.10) можно записать в виде

$$a\ddot{q} - c^2 q = 0, \quad (1.28)$$

где $c^2 = |c|$ — абсолютное значение обобщенного коэффициента жесткости. Решение уравнения (1.28)

$$q = A \sin (\theta^2 t + \phi), \quad (1.29)$$

где $\theta^2 = \sqrt{c^2/a}$, описывает монотонное уединение системы от равновесного положения и следовательно о его неустойчивости.

Знак коэффициента c зависит от параметров системы, т. е. в некоторых случаях состояние равновесия может быть устойчивым или неустойчивым в зависимости от комбинации значений этих параметров.

Обращаясь к рассмотренным таким случаю, будем считать, что существуют линии, одна из которых является параметром S системы, при изменении которого может изменяться знак коэффициента амплитуды $c = c(S)$. Составим равновесие устойчивы в той области значений S , в которой $c(S) > 0$; при $c(S) < 0$ состояния равновесия неустойчивы (случай «внутренней неустойчивости»). Критические значения параметра S являются корнями уравнения

$$c(S) = 0. \quad (1.30)$$

Пример 1.5. Для симметричной системы, изображенной на рис. 1.6, имеем обозначения: σ — вес тела, J — момент инерции тела относительно оси шарнира, c_1 — суммарный коэффициент

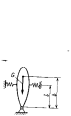


Рис. 1.6

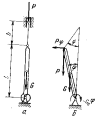


Рис. 1.7

жесткости обеих пружин, δ — кратность расстояния центра тяжести тела, l — расстояние расположения обеих пружин. Найдите критическое значение коэффициента жесткости c_1 .

При малых значениях угла отклонения тела дифференциальное уравнение кинетического движения имеет вид

$$\ddot{\varphi} + (c_1\delta^2 - G\delta)\dot{\varphi} = 0.$$

Таким образом, в данном случае устойчивость равновесия определяется знаком радиуса

$$c = c_1\delta^2 - G\delta.$$

Критическое значение $c_{\text{крит}} = GS\delta^2$.

Пример 1.6. Найдите критическое значение силы P для системы, изображенной на рис. 1.7, если одна из двух сторон пружины, коэффициент жесткости однородной пружины, расположенной выше стойки, равен c_1 (она противодействует своей изгибающей моменту, соответствующий повороту стойки вокруг шарнира на угол, рав-

ный φ), обозначим: l — высота стойки, δ — длина вертикальной стороны, G — вес стойки; силы, действующие на стойку, при ее отклонении на малый угол φ , показаны на рис. 1.7, б.

Запишем дифференциальное уравнение кинетического движения стойки (для малых отклонений)

$$P\ddot{\varphi} + P\dot{\varphi} + \frac{G}{2}\varphi - c_1\varphi = \frac{G\delta^2}{l}\varphi.$$

Так как $G\delta\varphi = l\dot{\varphi}\varphi$, то при малых углах φ и $\dot{\varphi}$ можно принять $\varphi = \dot{\varphi}/l$. Таким образом, обобщенный коэффициент жесткости равен

$$c = c_1 - \frac{G\delta}{2} \left(1 + \frac{l}{\delta} \right).$$

Отсюда непосредственно видно, что критическое значение силы P в соответствии с (1.30) определяется выражением

$$P_{\text{крит}} = \left[c_1 - \frac{G\delta}{2} \right] \left[l \left(1 + \frac{l}{\delta} \right) \right]^{-1}.$$

При увеличении размера δ критическое значение $P_{\text{крит}}$ также увеличивается.

Пример 1.7. Осиевой изгибющий момент на рис. 1.8, а системы имеет константы рамки I , пропорциональны постоянной угловой скорости ω и вокруг вертикальной оси. Горизонтальный стержень 2

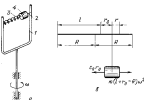


Рис. 1.8

длиной $2l$ служит изгибающей осью для пружины 3 ; один конец пружины соединен с рамкой, а к другому концу пружины присоединена рамка 2 , который может скользить без трения по оси стержня 2 . Коэффициент жесткости пружины равен c_1 , а ее издеформированная длина равна l . Найдите критическое значение угловой скорости.

Некоторые относительные равновесия пружин соответствуют расположению пружин на величину φ , которая может быть

найден в системе сил, дающей на рис. 1.8, б, т. е., из соотношения

$$-m(l + r_0 - K)w^2 = m\ddot{r}_0. \quad (6)$$

Устойчивость этого состояния размножения груза зависит от начальной угловой скорости вращения системы.

Правило системы при этом, по выражению движения, тогда движение груза вдоль стержня будет являться относительным движением. Обозначив через φ дополнительное угловое прережение и пренебрежимый момент промежуточного движения, получим первое уравнение в виде $m(l + r_0 + r - K)w^2$; тогда дифференциальное уравнение относительного движения груза примет вид

$$\ddot{w} = -k_0(r_0 + r) + m(l + r_0 + r - K)w^2,$$

или, при учете (6),

$$\ddot{w} + (c_0 - m\omega^2)r = 0.$$

Справедливое, обобщенный коэффициент дampedости равен $c = -c_0 - m\omega^2$, и критическая начальная угловая скорость составляет $\omega_{cr} = \sqrt{c_0/m}$. Отметим, что она не зависит от величины l и r и совпадает со значениями собственной частоты вращения груза за пружину при ее статическом вращении. При $c > \omega_{cr}$ система относительного движения груза неустойчива.



Рис. 1.8

График следующие обозначения:

1 — длина стержня, m — масса груза, φ — начальный угол относительного вращения стержня от вертикали (рис. 1.8, б). В дифференциальном уравнении относительного движения матрица кинетики имеет вид

$$-m\ddot{r}_0 + m\omega^2\dot{\varphi} = m\ddot{r}_0,$$

(Кориолисова сила вектора параллельного силы под действием вращения момента не входит.) Таким образом, мы приходим к уравнению

$$\ddot{\varphi} + \left(\frac{l}{r_0} - \omega^2 \right) \varphi = 0,$$

из которого немедленно видно, что критическая угловая скорость не зависит от массы груза и равна

$$\omega_{cr} = \sqrt{g/l}.$$

При $\omega < \omega_{cr}$ система устойчива, причем частота свободных колебаний определяется формулой

$$\lambda = \sqrt{\omega_{cr}^2 - \omega^2}.$$

При $\omega > \omega_{cr}$ система относительного движения неустойчива.

В рассмотренных простых примерах не существует неизбежности в составлении дифференциальных уравнений движения, так как для существования об устойчивости и для определения критического значения параметра было достаточно построить выражение $c(\beta)$. Однако для систем с нестационарными степенями свободы — даже находящимися под действием только поглощающих сил — последование устойчивости требует предварительного составления дифференциальных уравнений движения (см. гл. IV).

Устойчивость состояний размножения удобно исследовать также с помощью фазовых диаграмм. Отметим, что их можно построить и во время задания дифференциального уравнения движения, т. е. не разыскавши закон движения $\varphi = \varphi(t)$ в явной форме.

С помощью записи $\ddot{\varphi} = -\frac{d^2\varphi}{dt^2}$ из (1.12) получается дифференциальное уравнение фазовых траекторий

$$\frac{d\dot{\varphi}}{d\varphi} = -\frac{E_\varphi}{\varphi}, \quad (1.21)$$

После интегрирования мы можем прийти к уравнению (0.11) и к семейству траекторий, показанному на рис. 0.9, в. Если $c < 0$, то после замены $E_\varphi = -c\dot{\varphi}$ получим вместо (1.21) дифференциальное уравнение фазовых траекторий

$$\frac{d\dot{\varphi}}{d\varphi} = -\frac{E_\varphi}{\varphi} = -\frac{c\dot{\varphi}}{\varphi}.$$

Его решение имеет вид

$$\varphi^2 - \frac{c^2}{\varphi^2} = A^2,$$

Фазовые траектории для этого случая показаны на рис. 1.10. Они состоят из семейства гипербол и четырех полуокружностей, являющихся асимптотами этих гипербол.

Заданное возмущение состояния равновесия определяет начальное положение изображающей точки. С течением времени эта точка будет конически удаляться от начала вдоль соответствующей криволинейной фазовой траектории; это означает монотонный уход системы от состояния равновесия. Изменение состояния изображающей точки, движущиеся на прямой $\dot{\phi} = -k^2 q$; если в начальный момент задано такое возмущение, что $\dot{\phi}(0) = -k^2 q(0)$, то система будет стремиться к состоянию равновесия. Но это не может изменить существо состояния равновесия или неустойчивого; достаточно любого сколь угодно малого нарушения указанного специального наблюдаемого возмущения, и система станет неограниченно удаляться от состояния равновесия. В данном случае изображающая криволинейная равновесия особая точка $(0, 0)$ называется седлом.

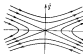


Рис. 1.10

Чтобы: достаточно любого сколь угодно малого нарушения указанного специального наблюдаемого возмущения, и система станет неограниченно удаляться от состояния равновесия. В данном случае изображающая криволинейная равновесия особая точка $(0, 0)$ называется седлом.

§ 2. Системы с одной степенью свободы при наличии линейной восстанавливающей силы и трения

1. Линейное трение. Для изучения свободных колебаний системы с одной степенью свободы при наличии линейного трения будем исходить из уравнения Лагранжа

$$\frac{d}{dt} \left(\frac{\partial T}{\partial \dot{q}} \right) - \frac{\partial T}{\partial q} = - \frac{\partial U}{\partial q} + Q_0, \quad (2.1)$$

в котором Q_0 — обобщенная сила линейного трения. Для ее определения приведем, что во всякой точке системы действует сила линейного трения

$$R_i = -\beta v_i, \quad (2.2)$$

где β — коэффициент трения. Возьмем основное выражение обобщенной силы

$$Q = \sum_{i=1}^n R_i \frac{\partial v_i}{\partial q}$$

и известное соотношение

$$\frac{\partial v_i}{\partial q} = \frac{v_i}{r_i^2} \frac{\partial r_i}{\partial q}$$

будем иметь

$$Q_0 = - \sum_{i=1}^n \beta_i v_i \frac{\partial r_i}{\partial q} = - \sum_{i=1}^n \beta_i v_i \frac{\partial v_i}{\partial q}$$

Но так как

$$\frac{\partial v_i}{\partial q} = \frac{1}{2} \frac{\partial}{\partial q} (v_i v_i) = \frac{1}{2} \frac{\partial v_i^2}{\partial q}$$

то

$$Q_0 = - \sum_{i=1}^n \frac{\beta_i}{2} \frac{\partial v_i^2}{\partial q} = - \frac{\beta}{\partial q} \sum_{i=1}^n \frac{\partial v_i^2}{\partial q}.$$

Входящая сюда сумма

$$\Phi = \sum_{i=1}^n \frac{\partial v_i^2}{\partial q} \quad (2.3)$$

формально сходна с выражением кинетической энергии и ее называют диссипативной функцией Ранка. Слово, использованное выше при построении выражения (1A) для кинетической энергии, в данном случае также применяется к кинетической выражению

$$\Phi = \frac{1}{2} k q^2, \quad (2.4)$$

где k — обобщенный коэффициент эластичности.

Окончательно приходим к следующему выражению для обобщенной силы трения:

$$Q_0 = - \frac{\partial \Phi}{\partial q} = - k \dot{q}. \quad (2.5)$$

Так как по-прежнему $T = \frac{1}{2} \dot{q}^2$, $\Pi = \frac{1}{2} q^2$, то уравнение Лагранжа (2.1) примет вид

$$\ddot{q} + k\dot{q} + \epsilon q = 0. \quad (2.6)$$

При не слишком больших значениях обобщенного коэффициента эластичности, когда $k < 2\pi/\omega_c$, общее решение

дифференциального уравнения (2.6) имеет вид

$$q = e^{-\lambda t}(C_1 \sin k_0 t + C_2 \cos k_0 t), \quad (2.7)$$

где

$$\lambda = \frac{k}{2\alpha}, \quad k_0 = \sqrt{k^2 - b^2}, \quad (2.8)$$

а постоянные C_1 и C_2 определяются из начальных условий

$$q(0) = q_0, \quad \dot{q}(0) = \dot{q}_0,$$

в форме

$$C_1 = \frac{\dot{q}_0 + k_0 q_0}{k_0}, \quad C_2 = q_0.$$

Другая форма решения имеет вид

$$q = Ae^{-\lambda t} \sin(k_0 t + \alpha), \quad (2.9)$$

где

$$A = \sqrt{\frac{(\dot{q}_0 + k_0 q_0)^2}{k^2 - b^2} + q_0^2}, \quad \operatorname{tg} \alpha = \frac{q_0 \sqrt{k^2 - b^2}}{\dot{q}_0 + k_0 q_0}.$$

Как видно из (2.7) или (2.9), движение представляет собой затухающие колебания с постоянной частотой, то

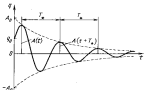


Рис. 2.1

постепенно убывающими амплитудами, так что процесс в целом характеризуется экспоненциальным убыванием амплитуд (старого говоря, этот термин относится только к изотунующему процессу гармонических колебаний) — см. рис. 2.1.

Ошибочность этого процесса определяется функцией

$$A = \pm A_0 e^{-\lambda t}, \quad (2.10)$$

где A_0 — начальная амплитуда ошибки.

Частота свободных затухающих колебаний определяется выражением

$$k_0 = \sqrt{k^2 - b^2} = \frac{\sqrt{4\alpha^2 - b^2}}{2\alpha}, \quad (2.11)$$

соответственно длительность одного цикла составляет

$$T_0 = \frac{2\pi}{k_0} = \frac{4\pi\alpha}{\sqrt{4\alpha^2 - b^2}}.$$

Чему этого времени трения не собственную частоту преобразование мало, т. е. можно пренять $k_0 \approx k$, $T_0 \approx T$.

Последовательность максимальных отклонений следует закону геометрической прогрессии, так как согласно (2.10) отношение двух последовательных максимальных отклонений $A(t)/A(t+T_0)$ разделяют интервалом времени T_0 , является постоянной величиной, равной $e^{-\lambda T_0}$. Натуральный логарифм этого отношения называется логарифмическим дескрементом; он равен

$$\Lambda = bT_0 = \frac{2\pi b}{\sqrt{4\alpha^2 - b^2}} \approx \frac{ab}{\sqrt{4\alpha^2}}, \quad (2.12)$$

Логарифмический дескремент служит удобной количественной характеристикой темпа затухания свободных колебаний.

При достаточно больших значениях коэффициента трения, когда $b > 2\sqrt{4\alpha^2}$, общее решение дифференциального уравнения (2.6) вместо (2.7) записывается в виде

$$q = C_1 e^{\frac{b}{2\alpha} t} + C_2 e^{\frac{-b}{2\alpha} t}, \quad (2.13)$$

где

$$C_{1,2} = \frac{-b \pm \sqrt{b^2 - 4\alpha^2}}{2\alpha}.$$

Постоянные интегрирования определяются через начальные условия выражениями

$$C_1 = \frac{-c_1 c_2 + \dot{c}_1}{c_2 - c_1}, \quad C_2 = \frac{-c_1 \dot{c}_2 + \dot{c}_1}{c_2 - c_1}.$$

Движение, описываемое выражением (2.13) — это волнообразное (рис. 2.2); при любых начальных условиях волна в $\dot{\varphi}$ колебательно сдвигается к пулю.

В случае, когда $b = 2\sqrt{c}$ (критическое затухание), решение дифференциального уравнения (2.6) имеет вид

$$\dot{\vartheta} = e^{-\alpha t} [\vartheta_0 + (\dot{\vartheta}_0 + \dot{\vartheta}_0 \alpha)t] \quad (2.14)$$

и по характеру не отличается от показанного на рис. 2.2.

Обратимся к представлению рассматриваемого движения на фазовой плоскости и пытаемся со случая спиралей, только малого трения (см. выражение (2.8)). Образуется выражение скорости

$$\dot{\vartheta} = Ae^{-\alpha t} [k_a \cos(\delta_a t + \alpha) - k_b \sin(\delta_a t + \alpha)] \quad (2.15)$$

и будем рассматривать систему (2.9), (2.15) как уравнение фазовых траекторий в параметрической форме. На рис. 2.3,а изображены для типичных фазовых траекторий они представляют собой спирали, захватывающие

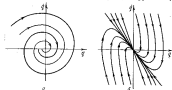


Рис. 2.3

на начало координат — особую точку, которая в данном случае называется устойчивым фокусом.

В случае относительно большого трения, когда движение описывается равнением (2.13), для скорости находим:

$$\dot{\vartheta} = C_1 \vartheta^M + C_2 \vartheta^M. \quad (2.16)$$

Рассматривая (2.13) и (2.16) или уравнение фазовых траекторий в параметрической форме, приходим к фазовой диаграмме, показанной на рис. 2.3,б. В данном случае начало координат является особой точкой типа неустойчивого узла.

Пример 2.1. По экспериментальной наборограмме свободных колебаний некоторой системы с одинаковыми свободами установим, что за один цикл амплитуда уменьшается на 40 %. Определить, в какой мере трение в системе является на частоту колебаний.

Предположим, что изображенная на рисунке 2.4

$$A = M_0 - \ln \frac{1}{1 - bT_0} = 0,51,$$

точка

$$A = \frac{0,51}{T_0} = \frac{0,51}{2\pi} \sqrt{k^2 - b^2}.$$

Решив это уравнение, находим, что значение k^2 весьма мало по сравнению с b^2 :

$$k^2 = 0,000012,$$

Соответственно частота колебаний

$$\omega_0 = \sqrt{k^2 - b^2} = 0,00012$$

отличается от собственной частоты системы без трения всего на 0,3 %.

На рисунке видно, что даже при значительном затухании колебаний (значительном уменьшении амплитуды за один цикл) сила трения неизменно влияет на частоту колебаний.

2. Периодическое трение. При обработке опытных наборограмм свободных затухающих колебаний чаще всего обнаруживается, что убывание амплитуды не следует закону геометрической прогрессии; это служит признаком того, что трение отличается от линейного.

Нелинейная зависимость силы трения от скорости может быть описана различными аналитическими выражениями. Примем, что общепринята сила трения Φ , пропорциональна $\dot{\vartheta}^n$ степени скорости, причем показатель степени $n > 1$ зависит от конкретных свойств силы трения; эту зависимость записываем в форме (0.6) или в канонической форме

$$\Phi_n = -b|\dot{\vartheta}|^{n-1}\dot{\vartheta}. \quad (2.17)$$

В таком случае основное дифференциальное уравнение имеет вид

$$a\ddot{\vartheta} + b|\dot{\vartheta}|^{n-1}\dot{\vartheta} + c\vartheta = 0. \quad (2.18)$$

Точное решение этого нелинейного дифференциального уравнения получать в замкнутой форме невозможно, но существует ряд способов, позволяющих построить приближенное аналитическое описание движения. Изложим некоторые из них.

Метод гармонического баланса. Согласно этому методу предполагается, что изначальное движение близко к гармоническому, но характеризуется медленно изменяющейся амплитудой и постоянной частотой, для которой можно принять значение $\bar{\omega}$, соответствующее консервативной системе без трения. Таким образом, рассматриваемой может быть одна кривая колебаний в синусоиде начального состояния

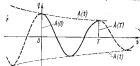


Рис. 2.4

времени с момента, когда отклонение достигает максимума (рис. 2.4), можно приближенно принять, что движения описываются функцией

$$\varphi = A(t) \cos \bar{\omega}t, \quad (2.19)$$

где $A(t)$ — модулево меняющаяся функция времени, т. е. $\dot{A}T \ll A$, $\ddot{A} \ll \bar{\omega}^2 A$. Тогда в выражении обобщенной скорости

$$\dot{\varphi} = -\bar{\omega} A \sin \bar{\omega}t + \dot{A} \cos \bar{\omega}t$$

можно пренебречь вторым слагаемым и приближенно принять

$$\dot{\varphi} = -\bar{\omega} A \sin \bar{\omega}t.$$

По выражению (2.17) образуем обобщенную силу трения:

$$Q_s = b(\bar{\omega}k)^n |\sin \bar{\omega}t|^{n+1} \sin \bar{\omega}t.$$

Работа силы трения за рассматриваемый цикл равна

$$B = \int Q_s dt = -\bar{\omega}k^{n+1} \int_{0}^{T} |A \sin \bar{\omega}t|^{n+1} dt.$$

В этом вычислении можно приближенно принять, что в течение рассматриваемого периода колебания A постоянны. Тогда получим

$$B = -4b(\bar{\omega}k)^{n+1} \int_0^{\pi/2} \sin^{n+1} \theta d\theta = -4b(\bar{\omega}k)^{n+1} k^n \int_0^{\pi/2} \sin^{n+1} \psi d\psi.$$

Входящий сюда интеграл обозначен буквой I ; он выражается через гамма-функцию Γ (обзором интеграла второго рода), для которой имеются готовые таблицы:

$$I = \int_0^{\pi/2} \sin^{n+1} \psi d\psi = \frac{\pi^{n+2} \Gamma(n+2)}{(n+1) \Gamma(n)}. \quad (2.20)$$

С помощью таких таблиц можно вычислить следующие значения I в зависимости от показателя n :

n	0	0,5	1,0	1,5	2,0	2,5	3,0
I	1,000	0,975	0,768	0,718	0,657	0,624	0,580

Однократные колебания

$$U = -4b(\bar{\omega}k)^n k^n I(n). \quad (2.21)$$

Полученное выражение равно изменению энергии системы за рассматриваемый цикл. Так как в начале и конце рассматриваемого цикла кинетическая энергия равна нулю, то изменение полной энергии определяется изменением потенциальной энергии U ; конечно, при вычислении этого изменения необходимо учесть разницу между максимальными отклонениями $A(0)$ и $A(T)$.

В начале цикла $U(0) = \frac{1}{2} c A^2(0)$. В конце цикла

$$U(T) = \frac{1}{2} c A^2(T).$$

Следовательно, прращение (отрицательное) потенциальной энергии равно

$$\Delta U = \frac{1}{2} c [A^2(T) - A^2(0)] = \frac{1}{2} c [A(T) + A(0)][A(T) - A(0)].$$

Сумму, стоящую в правой части равенства в первых сносках, приближенно заменим через $\Delta A(0)$, а разности, введенную во вторые скобки, обозначим через ΔA . Тогда

будет

$$\Delta \Pi = c A \Delta A. \quad (2.22)$$

(Здесь вместо $A(0)$ можно писать просто A .) Применив работу (2.21) к выражению (2.22), получим уравнение в конечных разностях

$$-\beta b A^{n+1} k^2 f(n) = c A \Delta A,$$

или

$$\Delta A = -\frac{c A (A)^n f(n)}{\beta b}. \quad (2.23)$$

Это уравнение называют приращения (отрицательное) амплитуды за один цикл со значением амплитуды в начале этого цикла. Рассмотрим отображение наше изображение кривую, определяемую дифференцирующей функцией времени $A = A(t)$, приближенно при этом

$$\Delta A = T \frac{dA}{dt} = \frac{3a}{k} \frac{dA}{dt}.$$

Тогда уравнение в конечных разностях (2.23) примет вид дифференциального уравнения для отображения:

$$\frac{dA}{dt} = -\frac{3b(n+1)f(n)}{\beta c} A^n. \quad (2.24)$$

При интегрировании этого уравнения нужно различать два случая: когда $n=1$ и когда $n \neq 1$.

В случае $n=1$ (линейное трение) осенное (2.24) $f=n/3$, и уравнение (2.24) принимает форму

$$\frac{dA}{dt} = -k A. \quad (2.25)$$

Здесь $k = \frac{3b}{2c} = \frac{b}{2a}$. Решение линейного уравнения (2.25) имеет вид

$$A = A_0 e^{-kt}, \quad (2.26)$$

где A_0 имеет смысл начальной амплитуды отображения. Таким образом, при $n=1$ мы приходим к прежнему (точному) результату (2.10). Хотя это сопоставление относится только к отображению (из-за различия между k и k_0 , графики движений будут неодинаковыми), но это убедительно свидетельствует в пользу приемлемости метода энергетического баланса.

В случае $n \neq 1$ уравнение (2.24) нелинейно, но его точное решение затруднений не вызывает, так как переменные разделяются:

$$\frac{dA}{A^n} = -\frac{3b(n+1)f(n)}{\beta c} dt. \quad (2.27)$$

После интегрирования при начальном условии $A(0)=A_0$ имеем зависимость $A(t)$:

$$A = \frac{A_0}{\sqrt[n-1]{1 + \frac{3b(n-1)f(n)}{\beta c} t}}. \quad (2.28)$$

Конкретный вид этой зависимости определяется значением показателя n .

Прежде всего остановимся на случае, когда $n=2$ (квадратичное трение); при этом из (2.28) получаем

$$A = \frac{A_0}{1 + \frac{4nb^2 A_0}{3ac} t} \quad (2.29)$$

т. е. отображения имеет вид гиперболы.

С помощью решения (2.28) можно получить отображение и для другого важного частного случая, когда $n=0$. Согласно (2.17) этому случаю соответствует выражение

$$Q_0 = -b \frac{t}{1+t}, \quad (2.30)$$

определяющее силу краевого трения, величина которой не зависит от величины скорости. Подставив $n=0$ в общее решение (2.28), получим

$$A = A_0 - \frac{3b}{\beta c} t, \quad (2.31)$$

т. е. убывание амплитуд следует линейному закону, а величины образуют арифметическую прогрессию; этот результат также соответстует точному решению.

На рис. 2.5 показаны верхние отображения для трех указанных выше значений n . Общий вид фазовых траек-

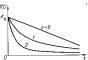


Рис. 2.5

торий также же, как и в случае линейного тренда (рис. 2.3, а).

Отметим, что при $n \neq 1$ отношение двух соседних наибольших отклонений неconstитутивно: отсюда можно заключить, что логарифмический дисперсионный спектр оказывается по времени нелинейным, зависящим от амплитуды:

$$\Lambda = \ln \frac{A_{i+1}}{A_{i+1-i}}$$

где i — номер рассматриваемого цикла. Если, так же предполагалось выше, разность $\Delta A_i = A_{i+1} - A_i$ мала по сравнению с A_i , то можно записать

$$\Lambda = \ln \frac{A_{i+1} - \Delta A_i}{A_{i+1}} = \ln \left(1 - \frac{\Delta A_i}{A_{i+1}} \right) \approx -\frac{\Delta A_i}{A_i}.$$

Подставив сюда выражение (2.23), получим зависимость логарифмического дисперсионного спектра от амплитуды:

$$\Lambda = \frac{\delta A^p f(s)}{s} A^{n-1}.$$

Отсюда непосредственно видно, что лишь при $n = 1$ логарифмический дисперсионный спектр не зависит от амплитуды колебаний и является постоянным в процессе колебаний. При $n = 2$ в процессе затухающих колебаний логарифмический дисперсионный спектр убывает вместе с убыванием амплитуды, а при $n = 0$ (пуковом тренде), наоборот, он увеличивается с уменьшением амплитуды.

Зависимости логарифмического дисперсионного спектра от амплитуды колебаний качественно показаны на рис. 2.6.

Метод медленно меняющихся амплитуд. Этот приближенный метод был предложен Ван дер Польем для широкого класса задач о колебаниях систем со слабой нелинейностью, когда дифференциальные уравнения движения можно представить в виде

$$\ddot{\varphi} + k_0^2 \varphi = f(\varphi, \dot{\varphi}) \quad (2.32)$$

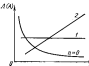


Рис. 2.6

где $f(\varphi, \dot{\varphi})$ — функция, состоящая из относительно малых нелинейных членов. Например, в задаче о затухающих свободных колебаниях систем с нелинейным трендом нужно перенести уравнение (2.18) в виде (2.32), получив

$$f(\varphi, \dot{\varphi}) = -\frac{k}{2} |\dot{\varphi}|^{n-1} \dot{\varphi}. \quad (2.33)$$

Рассмотрим решение уравнения (2.32) по методу малых нелинейных амплитуд для общего случая, а затем вернемся к частному случаю (2.33).

Решение дифференциального уравнения (2.32) разделяется в виде

$$\varphi = A \cos(k_0 t - \psi), \quad (2.34)$$

но предполагается, что A и φ — функции времени.

В зависимости от выбора типа начальных функций $A(t)$ и $\varphi(t)$ зависимость (2.34) может оказаться более или менее близкой к гармоническим колебаниям с частотой k_0 . При постоянных A и φ выражение (2.34) совершенно точно описывает гармонические колебания. В случае, когда A и φ — нечто постоянное, т. е. модулем неизменные функции времени, выражение (2.34) описывает колебания с медленно меняющимися амплитудой и фазой; этот случай типичен для систем со слабой нелинейностью, в частности для рассматриваемых здесь систем.

Важно подставить выражение (2.34) в основное уравнение задачи (2.32), то получится уравнение, содержащее две неизвестные функции A и φ . Для определения замены одной функции φ двумя функциями A и $\dot{\varphi}$ нужно указать какие-либо дополнительные соотношения между последними; Вы дадите право принять в качестве такого соотношения следующее:

$$A \cos(k_0 t - \psi) + A \dot{\varphi} \sin(k_0 t - \psi) = 0. \quad (2.35)$$

Если теперь проинтегрировать выражение (2.34), то с учетом (2.35) получится весьма простое выражение для скорости:

$$\dot{\varphi} = -k_0 A \sin(k_0 t - \psi), \quad (2.36)$$

— такое же, как если бы величины A и φ были постоянными. Поэтому и выражение для ускорения окажется относительно простым и не будет содержать вторых

производных \dot{A} и $\dot{\varphi}$

$$\ddot{\varphi} = -\dot{A}k_0 \sin(k_0 t - \varphi) - Ak_0^2 \cos(k_0 t - \varphi) + \\ + Ak_0 \dot{\varphi} \cos(k_0 t - \varphi). \quad (2.37)$$

Подставив выражения (2.34), (2.36) и (2.37) в линейное уравнение (2.32), получим уравнение первого порядка

$$-\dot{A}k_0 \sin \varphi + Ak_0^2 \cos \varphi = f[A \cos \varphi, -Ak_0 \sin \varphi], \quad (2.38)$$

где $\varphi = k_0 t - \varphi_0$.

Из соотношений (2.35) и (2.38) можно найти следующие выражения для производных A и φ :

$$\begin{aligned} \dot{A} &= -\frac{1}{k_0} f[A \cos \varphi, -Ak_0 \sin \varphi] \sin \varphi, \\ \dot{\varphi} &= \frac{1}{Ak_0} f[A \cos \varphi, -Ak_0 \sin \varphi] \cos \varphi. \end{aligned} \quad (2.39)$$

До сих пор все выкладки были вполне строгими, и лишь теперь делается упрощение, вносящее некоторую приближенность в решение. Предположим, что рассматриваемая система близка к линейной, мы можем считать, что производные A и φ не вызывают появления заменных производных за один цикл $2\pi/k_0$, и что производные A и φ постоянны в течение любого одного цикла. Поэтому, хотя эти производные выражаются сложными полиномами функций времени (2.39), не позволяет большой ошибкой заменить этих функций их средними за период $2\pi/k_0$ значением:

$$\begin{aligned} \dot{A} &= -\frac{1}{2\pi k_0} \int_0^{2\pi} f(A \cos \varphi, -Ak_0 \sin \varphi) \sin \varphi d\varphi, \\ \dot{\varphi} &= \frac{1}{2\pi Ak_0} \int_0^{2\pi} f(A \cos \varphi, -Ak_0 \sin \varphi) \cos \varphi d\varphi. \end{aligned} \quad (2.40)$$

Конечно, при интегрировании в правых частях величина A считается постоянной. Именно эта операция усреднения и составляет существо метода медленно меняющихся амплитуд.

Уравнения (2.40), записаны в более коротком виде:

$$\dot{A} = \frac{\Phi(A)}{2\pi k_0}, \quad \dot{\varphi} = \frac{\Psi(A)}{2\pi k_0 A} \quad (2.41)$$

(укороченные уравнения Бан дюр Поля), причем

$$\Phi(A) = - \int_0^{2\pi} f(A \cos \varphi, -Ak_0 \sin \varphi) \sin \varphi d\varphi, \quad (2.42)$$

$$\Psi(A) = \int_0^{2\pi} f(A \cos \varphi, -Ak_0 \sin \varphi) \cos \varphi d\varphi.$$

Таким образом, нужно прежде всего вычислить интегралы (2.42) в предположении, что A — постоянная величина. После этого интегрируются дифференциальные уравнения (2.41); конечно, на этом этапе написание уже признается, что величина A — гармоника.

Возьмем A и φ для свободных колебаний системы с нелинейной тряской, образуем с помощью (2.33) выражения (2.42):

$$\begin{aligned} \Phi(A) &= - \int_0^{2\pi} \left(-\frac{1}{4} [Ak_0 \sin \varphi]^{n-1} (-Ak_0 \sin \varphi) \right) \sin \varphi d\varphi = \\ &= -\frac{Ak_0^n k_0^n}{2} \int_0^{2\pi} \sin^{n+1} \varphi d\varphi, \end{aligned}$$

$$\Psi(A) = 0.$$

Интеграл, входящий в выражение $\Phi(A)$, уже встречался выше и был обозначен через $I(n)$ (см. (2.20)); следовательно

$$\Phi(A) = -\frac{4k_0^n k_0^n I(n)}{n}.$$

Теперь согласно (2.41) получаем укороченное уравнение

$$\dot{A} = -\frac{2k_0^n k_0^{n-1} I(n)}{na}.$$

Если теперь заменить $a = c/k_0^2$, то мы можем прийти к уравнению (2.34). Полученному выше методом звонетического баланса в предположении, что $k = k_0$. Следовательно, дальнейшее решение приводит нас к уравнению для амплитуд (2.28).

Хотя в данном случае метод медленно меняющихся амплитуд не для новых результатов, но выше мы увидим, что он оказывается весьма полезным при решении других колебательных задач.

3. Гистерезисное трение. При циклическом деформировании упругого тела, даже при малых напряжениях, наблюдается некоторое нарушение закона Гука, выражющееся в появление потерь гистерезиса; на рис. 2.7 показана такая петля в координатных осях напряжение σ — деформация ϵ . Расположение внутри петли гистерезиса площадь диаграммы определяет энергию, рассеянную за один цикл колебаний в единице объема материала. Так как расстояние между ветвями обычно весьма мало, точную форму петли в экспериментах установить затруднительно. В то же время площадь петли может быть определена достаточно надежно. Установлено, что площадь петли гистерезиса для большинства конструкционных материалов практически не зависит от частоты деформирования (т. е. от частоты процесса), но зависит от амплитуды деформации.

Связанное сопротивление и по отношению к цепи конструкции: рассеиваемая за один цикл в конструкции энергия Ω не зависит от частоты колебаний, но связана с ее амплитудой. Эта зависимость обычно принимается в форме

$$\Omega = \alpha A^{n+1}, \quad (2.43)$$

где α и n — постоянные, определяемые из эксперимента.

Такая зависимость принципиально отличается от известной сходной с ней зависимости (2.21), в которую входит амплитуда колебаний тоже в степени $n+1$, однако в выражении (2.21) входит также и частота ω , от которой не зависит коэффициент α выражение (2.43).

Для определения законов, описывающих загухание колебаний при гистерезисном трении, зная восполнимуемое уравнением энергетического баланса и пренебрегая рассеиваемую энергией (не следует забывать со знаком минус)

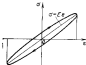


Рис. 2.7

последнее выражение (2.22) за один период:

$$-\alpha A^{n+1} = \omega \Delta A.$$

Отсюда следует уравнение в конечных разностях

$$\Delta A = -\frac{\alpha}{\omega} A^n,$$

погоре, или в (2.23), можно заменить дифференциальным уравнением

$$\frac{dA}{dt} = -\frac{\alpha}{\omega \pi} A^n. \quad (2.44)$$

После интегрирования этого уравнения при начальном условии $A(0) = A_0$ получим

$$A = \frac{A_0}{\sqrt[n+1]{1 + \frac{\alpha(n-1)A_0^{n-1}}{\omega \pi}}}. \quad (2.45)$$

Отметим, что в частных случаях $n=0$, $n=1$, $n=2$ здесь снова получаются результаты, схематически показанные выше на рис. 2.5. Любопытно, что при гистерезисном трении также может получиться экспоненциальная зависимость $A(t)$ (если $n=1$), которая типична для случая линейного вязкого трения.

Напомним, что вязкое трение можно считать не только частным случаем линейного трения (2.17), но и частным случаем приведенной здесь основной зависимости (2.43); в обоих случаях оно характеризуется индексом $n=0$.

4. Ударное демпфирование. В некоторых системах основной причиной загухания колебаний является не непрерывное действие сил трения, а мгновенные потери энергии при соударениях. Рассмотрим случай, когда такие соударения происходят эпизодически, когда система проходит через положение равновесия, причем мгновенная потеря энергии пропорциональна квадрату системы перед соударением. В этом случае мгновенная потеря энергии удобно представить через скорость системы и перед соударением;

$$\Omega = b v^2, \quad (2.46)$$

где b — некоторый постоянный коэффициент, имеющий размерность массы.

Рассмотрим какой-либо подиумиколебаний, который возникает при максимальном отклонении $A(0)$.

В течение первой четверти цикла система движется с постоянной энергией $\frac{1}{2}A^2(0)$, и имеет скорость в конце этой четверти цикла равна $v^2 = \frac{c}{a} A^2(0)$. После этого происходит сокращение в последствии этого — потенциальная энергия на величину (2.46); далее система начинает движение, обладая энергией

$$\frac{A^2(0)}{2} - \frac{bc}{a} A^2(0) = \frac{c A^2(0)}{2} \left(1 - \frac{bc}{a}\right), \quad (2.47)$$

которая остается постоянной в течение всей второй четверти цикла. Поэтому, в момент, завершающий эту четверть цикла, потенциальная энергия равна величине (2.47):

$$\frac{c A^2(\pi/2)}{2} = \frac{c A^2(0)}{2} \left(1 - \frac{bc}{a}\right).$$

Отсюда находим отношение отклонений в начале и конце первого полуцикла:

$$\text{Рис. 2.8} \quad \square \quad \frac{A(0)}{A(\pi/2)} = \frac{1}{\sqrt{1-2b/a}}.$$

Для следующего полуцикла аналогично можно получить

$$\frac{A(\pi/2)}{A(\pi)} = \frac{1}{\sqrt{1-2b/a}}.$$

Сравнивая изображение отклонения $A(0)$ и $A(\pi)$, находим

$$\frac{A(0)}{A(\pi)} = \frac{1}{1-2b/a}, \quad (2.48)$$

т. е. отношение последовательных наибольших отклонений является постоянной величиной. Отсюда можно заключить, что огибающая кривой затухающих колебаний представляет собой экспоненту

$$A = A_0 e^{-bt},$$

которая характеризуется логарифмическим декрементом

$$\Lambda = bT = \ln \frac{1}{1-2b/a}.$$

При малых отклонениях $2b/a$ можно принять

$$\Lambda \approx 2b/a, \quad (2.49)$$

Фазовая диаграмма для рассматриваемого процесса представлена на рис. 2.8; она состоит из отрезков окт. φ и гиперболических дуг.

§ 3. Системы с одной степенью свободы при нелинейной восстанавливающей силе

1. Общие понятия. В некоторых случаях колебания при колебаниях могут быть настолько значительными, что в выражении потенциальной энергии (1.6) необходимо учитывать не только член, содержащий q^2 , но и последующие члены. Используя разложение (1.6) вообще не содержит квадратичного члена в потенциале с членами выше второй степени. Отметим также, что в некоторых системах потенциальная энергия, соответствующая положению равновесия, не имеет аналитического минимума и вообще неопределенна в виде (1.6).

Во всех этих случаях обобщающая восстанавливающая сила называется нелинейной и соответствует нелинейному дифференциальному уравнению движения.

Простейшим примером может служить задача о бояльных колебаниях математического маятника (рис. 3.1).

Если принять за обобщающую координату φ угол отклонения маятника от вертикали, то переменная высоты h , на которой висит маятник, равна

$$h = l(1 - \cos \varphi),$$

соответственно потенциальная энергия определяется выражением

$$P = mg h = mg(l - \cos \varphi).$$

При весьма малых значениях φ можно принять

$$\cos \varphi \approx 1 - \frac{\varphi^2}{2},$$

после чего потенциальная энергия оказывается квадратичной функцией обобщенной координаты φ , и мы приходим к линейной задаче.

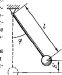
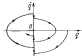


Рис. 3.1

Такое представление становится недостаточно точным при значительных углах отклонения. Для точного решения нужно подставить в уравнение Лагранжа (1.1)

$$\frac{d\varphi}{dt} = \omega_0^2 \sin \varphi.$$

Так как кинетическая энергия равна

$$T = \frac{m\dot{\varphi}^2}{2},$$

то согласно (1.1) получится нелинейное дифференциальное уравнение

$$\ddot{\varphi} + \frac{\omega_0^2}{2} \sin \varphi = 0.$$

В более общем случае дифференциальное уравнение имеет вид

$$\ddot{\varphi} + F(\varphi) = 0, \quad (3.1)$$

где

$$F(\varphi) = \frac{d\varphi}{dt}$$

представляет собой визитную с обратным знаком обобщенную восстанавливающую силу, являющуюся нелинейной функцией координаты φ .

Зависимость $F(\varphi)$ называют *характеристикой* гармонической, или *характеристикой жесткости*. На рис. 3.2 показаны некоторые нелинейные системы с одной степенью свободы и соответствующие им характеристики жесткости. Среди приведенных здесь характеристик можно выделить характеристики симметричные (рис. 3.2, а, б, в) и несимметрические (рис. 3.2, г), характеристики с разрывами (рис. 3.2, е), характеристики гладкие (рис. 3.2, з) и логарифмические (рис. 3.2, б, я, я).

2. Точные решения. В отмеченных выше случаях из следения свободных колебаний сводится к интегрированию нелинейного дифференциального уравнения (3.1). Выразив обобщенное ускорение через обобщенную скорость $\dot{\varphi} = \varphi \frac{d\varphi}{dt}$, получим вместо (3.1) уравнение первого порядка, связывающее скорость $\dot{\varphi}$ с координатой φ :

$$\dot{\varphi} \frac{d\dot{\varphi}}{d\varphi} + F(\varphi) = 0. \quad (3.2)$$

Предположим, что система совершает колебательное движение, и выберем за начало отсчета времени момент, когда обобщенная скорость равна нулю и достигается

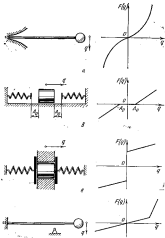


Рис. 3.2

максимальное отклонение системы от положения равновесия ($\varphi_{max} = A$)⁴⁾.

⁴⁾ При компонентных зависимостях $F(\varphi)$ с большими начальными константами может оказаться, что обобщенная скорость в нуль никогда не обращается. Так, например, если воспроизводится

Рядомки перемножив в уравнении (3.2) и интегрируя его, имеем:

$$\int_{\bar{q}}^{\bar{q}'} \dot{q} dq = - \frac{1}{2} \int_{\bar{q}}^{\bar{q}'} F(q) dq,$$

или

$$\frac{\dot{q}^2}{2} = - \frac{1}{2} \int_{\bar{q}}^{\bar{q}'} F(q) dq = \frac{1}{2} \int_{\bar{q}}^{\bar{q}'} F(q) dq. \quad (3.3)$$

Это соотношение выражает закон сохранения энергии: кинетическая энергия в произвольный момент равна убылью потенциальной энергии при переходе системы из крайнего положения в рассматриваемое. Из (3.3) находим обобщенную скорость в функции координаты:

$$\dot{q} = \frac{dq}{dt} = - \sqrt{\frac{2}{\pi} \int_{\bar{q}}^{\bar{q}'} F(q) dq}. \quad (3.4)$$

Знак минус перед первым выбором потому, что в рассматриваемом интервале движения (первый полупериод) обобщенная скорость отрицательна.

Дальнейшее интегрирование соотношения (3.4) дает время в функции обобщенной координаты φ :

$$t = - \int \frac{dq}{\sqrt{\frac{2}{\pi} \int_{\bar{q}}^q F(s) ds}} = \int \frac{dq}{\sqrt{\frac{2}{\pi} \int_{\bar{q}}^q F(s) ds}}. \quad (3.5)$$

Если характеристика восстанавливающей силы симметрична, т. е. функция $F(q)$ четная, то время перехода системы из крайнего положения ($q_{\text{ни}} = -A$) в положение равновесия ($q = 0$) составляет четверть периода; следова-

тельно, в устойчивом положении равновесия матрицу сообщить достаточно большую начальную скорость $v > 2\sqrt{g}$, то значение бессвязанного производного начального положения с минимальным значением обобщенной скорости. Вероятно, и в этом положении пройдет можно занять максимальные отметки, так как значение обобщенной скорости волны будет около некоторого среднего значения,

также,

$$\frac{T}{4} = \int_{\bar{q}}^{\bar{q}'} \frac{dq}{\sqrt{\left(\frac{2}{\pi}\right) \int_{\bar{q}}^q F(s) ds}},$$

соответствующее частоте свободных колебаний определяется формулой

$$k = \frac{2\pi}{T} = \pi \cdot 2 \int_{\bar{q}}^{\bar{q}'} \frac{dq}{\sqrt{\left(\frac{2}{\pi}\right) \int_{\bar{q}}^q F(s) ds}}. \quad (3.6)$$

Наличное решение не дает возможности найти в замкнутом виде закон движения $q(t)$, но проводят задачу определения частоты свободных колебаний в квадратуре. Во всех случаях для вычислений по формуле (3.6) эффективно использование ЭВМ, хотя иногда их можно завершить в аналитической форме.

Остается лишь в частном случае чисто коллинейной характеристики, которая не содержит плавного члена,

$$F(q) = \beta q^{2m}, \quad (3.7)$$

где β и m — постоянные. Последовательно находим

$$\int_{\bar{q}}^{\bar{q}'} F(q) dq = \frac{\beta}{2m} (A^{2m} - \bar{q}^{2m}),$$

$$\int_{\bar{q}}^{\bar{q}'} \frac{dq}{\sqrt{\frac{2}{\pi} \int_{\bar{q}}^q F(s) ds}} = \sqrt{\frac{\pi}{2}} A^{m-1} \int_{\bar{q}}^{\bar{q}'} \frac{dq}{\sqrt{1 - q^{2m}}}.$$

Заменив здесь $q^{2m} = \psi$, получим для находимого сюда интервала следующее выражение через гамма-функции:

$$\int_{\bar{q}}^{\bar{q}'} \frac{dq}{\sqrt{1 - q^{2m}}} = \frac{1}{2m} \int_0^1 \frac{1}{\psi^{m-1}} (1 - \psi)^{-\frac{1}{2}} d\psi = \frac{\sqrt{\pi} \Gamma\left(\frac{1}{2m}\right)}{2m \Gamma\left(\frac{1}{2m} + \frac{1}{2}\right)}.$$

Окончательно по формуле (3.6) находим

$$k = J_m(n) \sqrt{\frac{\pi}{2} A^{m-1}}, \quad (3.8)$$

$$I_n(x) = \sqrt{\frac{\pi}{2x}} \frac{\Gamma\left(\frac{1}{2x} + \frac{1}{2}\right)}{\Gamma\left(\frac{1}{2x}\right)}. \quad (3.9)$$

Значения $I_n(x)$ даны в следующей таблице:

n	0,5	1	1,5	2	2,5
I^n	0,6111	1,0000	0,5939	0,3472	0,2023

Из формулы (3.8) видно, что при $\omega \neq 0$ частота свободных колебаний зависит от их амплитуды.

Типичные для линейных систем зависимости частоты от амплитуды не позволяют считать частоту параметром самой системы; поэтому для линейных систем обычно пользуются по термином «коэффициент частоты», а термином «частота свободных колебаний».

Как мы видели, даже при сравнительно небольшом виде зависимости (3.7) начальная частота приводит к нелинейностям функционала. Чему же это вычисления

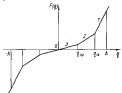


Рис. 3.3

приходится делать приближенно, так как интеграл в формуле (3.6) интегриал не сводится к табулированным функциям. Однако в некоторых случаях, когда линейная характеристика нестационарной силы состоит из линейных участков (рис. 3.3), можно получить нелинейное от (3.6) точное решение задачи о свободных колеба-

ниях, используя способ метода малого интегрирования (дискретизации).

Способ основан на последовательном решении ряда линейных задач, относящихся к отдельным участкам. Поступативы интегрирования определяются из начальных условий, разной перехода от этапа к этапу и условий периодичности.

Чтобы кусочно-линейная характеристика системы симметрична и состоит из k участков, границы которых определяются единичными координатами $\varphi_1, \varphi_2, \dots$ (в индексах указаны номера симметричных участков, причем нумерация идет от крайнего участка к началу). Задаваясь, например, начальными условиями $\dot{\varphi}(0) = A, \ddot{\varphi}(0) = 0$ и интегрируя линейное дифференциальное уравнение, относящееся к первому этапу, мы можем найти время движения на первом этапе t_1 и соответствующую концу этапа скорость $\dot{\varphi}_1$. Принимая известные значения $\dot{\varphi}_1$ и $\ddot{\varphi}_1$ за начальные условия движения на втором этапе, можно найти время движения t_2 и скорость $\dot{\varphi}_2$ в конце этапа. Наконец, на k -м этапе, которому соответствует предыдущий через начало симметричных участков характеристики, можно найти время t_k , прохождение k -го этапа (от его начала $\varphi_{k-1,0}$ до $\varphi = 0$). В данном случае на этом можно остановиться, так как виду симметричности характеристики и симметрии движения сумма найденных промежутков времени равна четырем периода свободных колебаний:

$$\frac{T}{4} = t_1 + t_2 + \dots + t_k.$$

Отсюда можно определить частоту свободных колебаний:

$$k = \frac{2\pi}{T} = \frac{\pi}{2(t_1 + t_2 + \dots + t_k)}. \quad (3.10)$$

В случаях несимметричной характеристики необходимо проделать определение отрезков времени t_i , соответствующих отрицательным значениям координаты φ . Вычисления начинаются в момент времени, когда обращается в нуль скорость $\dot{\varphi}$; суммы вычисляемых таким образом отрезков времени раза полупериоду свободных колебаний.

Конечно, уже при трех-четырех участках аналитические выражения становятся громоздкими и необходимо обращаться к минимуму счету на ЭВМ.

Изложенный способ, в принципе, можно применить и в тех случаях, когда заданы характеристики частоты приводимой силы; для этого нужно заменить ее линией, состоящей из достаточно большого числа промежуточных отрезков. Поскольку для дальнейших выкладок потребуются ЭВМ, здесь уместно напомнить, что с помощью ЭВМ можно организовать и воспроизведение вычисление частоты свободных колебаний по рабочему полуциклическому выражению (3.6).

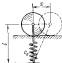


Рис. 1.4

Пример 1.1. Найти частоту малых свободных горизонтальных колебаний круглого однородного диска, управляемого пружинами при помощи пружин с вертикальной осью (рис. 1.4). Края диска по горизонтальной плоскости движутся без сопротивления. При горизонтальном расположении все пружины, т. е. в положении равновесия, настолько пружинены, чтобы не было, т. е. висела, J — момент инерции диска, c_0 — коэффициент жесткости.

Применим к обобщенному изображению с горизонтальным первоначальным положением центра диска, выражение кинематического отображения:

$$T = \frac{m^2}{2} + \frac{J^2}{2M^2}$$

Подставляя $T = m\bar{x}^2/2$, имеем

$$\bar{x} = \frac{3}{4} \sqrt{\frac{m}{J}},$$

т. е. изопараметрический коэффициент равен

$$\alpha = \frac{3}{2} \sqrt{\frac{m}{J}}. \quad (a)$$

Для определения изопараметрической энергии пружин приведем ее выражение при горизонтальном смещении центра массы

$$M = \sqrt{\bar{x}^2 + \bar{z}^2} - L.$$

Следовательно,

$$M = \frac{1}{2} c_0 \left[\sqrt{\bar{x}^2 + \bar{z}^2} - L \right]^2.$$

Радикал полученного выражения в ряд в убывании один первый член разложения, находим

$$M = \frac{c_0 \bar{x}^2}{2L^2}.$$

тогда следует, что характеристика восстанавливающей силы чисто кубическая:

$$F(x) = \frac{c_0}{2L} \frac{x^3}{x^2}.$$

Полученное выражение соответствует зависимости (3.7), в которой амплитуда $A = c_0/(2L)$, $\omega = 2$. Теперь по формуле (3.8) и таблице значений $J_{0.1}(x)$ находим изопараметрическую частоту свободных горизонтальных колебаний:

$$\bar{\omega} = 0,8472 \sqrt{\frac{c_0}{2m}} \frac{A}{L} = 0,4201 \sqrt{\frac{c_0}{m}} \frac{A}{L}.$$

Пример 1.2. Найти способом колебаний изотермированной системы между движущейся в частичной свободных колебаний системой с излучением (рис. 1.2, б). Симметричная пустотелая кольцевая изотермическая система передает горизонтальные уравнения

$$F(x) = c_0(x + A_0), \quad x < -A_0,$$

$$F(x) = 0, \quad -A_0 < x < A_0,$$

$$F(x) = c_0(x - A_0), \quad x > A_0.$$

На первом участке при $x > A_0$ дифференциальное уравнение движения имеет вид

$$\ddot{x} + \frac{c_0}{m}(x - A_0) = 0,$$

и это общее решение содержит выражение

$$x = C_1 \sin \lambda_0 t + C_2 \cos \lambda_0 t + A_0,$$

в котором $\lambda_0 = \sqrt{c_0/m}$ (m — масса груза). Постоянные C_1 и C_2 определяются по начальных условиях

$$x(0) = A_0, \quad \dot{x}(0) = 0$$

и равны

$$C_1 = 0, \quad C_2 = A - A_0.$$

Таким образом,

$$x = A \cos \lambda_0 t + A_0(1 - \cos \lambda_0 t), \\ \dot{x} = -(A - A_0)\lambda_0 \sin \lambda_0 t.$$

Время t_1 превращения первого участка найдем из условия, что при $t = t_1$ должно быть $x = A_0$:

$$t_1 = \frac{\pi}{2\lambda_0}.$$

При этом скорость в конце первого участка равна

$$\dot{x}_1 = -(A - A_0)\lambda_0.$$

Следующее движение на втором участке описывается дифференциальным уравнением

$$\ddot{x} = 0,$$

имеющим решения

$$x = B_1 + B_2 t.$$

Соединяя между собой константы времени в моменте перехода системы с первого участка на второй, определяем постоянные B_1 и B_2 по условию, что $x = A_1$, $\dot{x} = -(A - A_0)k_0$, при $t = 0$. Следует заметить

$$B_1 = A_1,$$

$$B_2 = -(A - A_0)k_0,$$

так что из второго уравнения

$$\dot{x} = A_1 - (A - A_0)k_0.$$

Теперь найдем время, необходимое для перехода системы из положения, характеризуемого координатой x_0 , в положение, соответствующее координате $x = 0$:

$$t_0 = \frac{A_0}{(A - A_0)k_0}.$$

Таким образом, частота свободных колебаний равна

$$\nu = \frac{2\pi}{T_0^{1/2}} = \frac{k_0}{\sqrt{1 + \pi^2/(A/A_0 - 1)}}.$$

3. Приближенные способы. Из-за громоздкости интеграла, входящего в точную формулу (3.6), для определения частоты свободных колебаний часто пользуются приближенными способами. Конечно, их ценность исключительно из-за возможностей, которые они предоставляют современным ЭВМ; однако эти способы не сих пор являются никакими полезными средствами для выявления общего характера изменения частоты колебаний от их амплитуды, а также для прикладных расчетов.

Рассмотрим несколько приближенных способов применительно к случаю симметричной характеристики $F(q)$. Отметим, что некоторые из них разработаны для значительно более широкого круга задач, чем рассматриваемые в этом параграфе, и будут неоднократно встречаться в последующем изложении.

Простейший способ. Наиболее прост, хотя не всегда достаточно точен, следующий прием. Примем, что колебания в механической системе с симметричной характеристикой описываются законом

$$q = A \sin(\omega t + \alpha), \quad (3.41)$$

подобно тому как это происходит в линейных системах. Выражение (3.11) является точным решением только

тогда, когда характеристика $F(q)$ линейна. В общем случае подстановка (3.11) в дифференциальное уравнение (3.1) по обращает его в тождество.

Отметим, что в моменте прохождения через положение равновесия уравнение (3.1) удовлетворяется выражением (3.11), и потребуется, кроме того, чтобы уравнение (3.1) удовлетворялось также в те моменты, когда обобщенная координата q достигает максимума, т. е. рода A . При этом обобщенное уравнение (3.1) также максимальные по модулю:

$$\ddot{q}_{max} = -A\dot{q}_0^2.$$

Следовательно, в указанные моменты должно выполняться равенство

$$-A\dot{q}^2 + F(A) = 0,$$

т. е.

$$k^2 = \frac{F(A)}{\dot{q}^2}, \quad (3.12)$$

Последнее выражение позволяет легко получить достаточно простое общее представление о связи частоты ν с амплитудой A .

Так, если линейная характеристика имеет вид (3.7), то из формулы (3.12) находим для частоты выражение

$$k = \sqrt{\frac{\pi A^{n-1}}{a\dot{q}}} = \sqrt{\frac{E}{a}} A^{n-1},$$

которой содержит первую степень амплитуды (см. точное решение (3.8)), но лишь приближенно отражает значение коэффициента при A^{n-1} ; если, например, $n=2$, то из формулы (3.8) находим $k = 0.8472 \sqrt{\frac{E}{a}} A$, а из приближенной формулы $k = \sqrt{\frac{E}{a}} A$ (ошибка составляет 18 %).

Способ прямой линеаризации. Способ основан на непосредственной (прямой) замене полиномий характеристики $F(q)$ некоторым эквивалентным линейным выражением. Так, при симметричной характеристике вместо $F(q)$ применяется

$$F_s(q) = cq, \quad (3.13)$$

где c — коэффициент линеаризации, значение которого выбирается из следующих соображений. Указанные за-

минимум характеристике (3.13) от зависимости характеристики $F(q)$ зависит от координаты q (рис. 3.5):

$$r(q) = F(q) - cq.$$

В задачах о колебаниях, очевидно, более существенны уменьшения r при больших значениях координаты q ; поэтому в выражении интегрального уравнения естественно усилить роль разностей r при больших значениях координаты q . Приняв за меру уменьшения производство

$$rt = |F(q) - cq|q$$

и рассмотрим интегральное квадратичное уравнение

$$S = \int_{-A}^A (rq)^2 dq,$$

Рис. 3.5.

которое, очевидно, зависит от выбора параметра c . Для минимизации этого уравнения воспользуемся условием

$$\frac{dS}{dc} = 0, \quad (3.14)$$

из которого и может быть найдено минимизирующее значение c . После этого задачу можно считать, в сущности, решенной, так как она приведена к линейному уравнению.

Итак, задача сводится к минимизации интеграла

$$S = \int_{-A}^A ((F(q) - cq)q)^2 dq, \quad (3.15)$$

т. е. к определению минимизирующего значение c . Выполнив операции, указанные в (3.14) и (3.15), получим

$$c = \frac{5}{2M} \int_{-A}^A F(q) q^4 dq = \frac{5}{A^2} \int_0^A F(q) q^2 dq. \quad (3.16)$$

Так, например, при характеристике (3.7) находим

$$c = \frac{5}{A^2} \int_0^A [q^2 dq] = \frac{5}{7} \beta A^2.$$

Соответственно для частоты получится

$$k = 0,8432 \sqrt{\frac{F}{\rho}} A.$$

Погрешность этого результата составляет всего 0,23 %. Использование интегрального квадратичного уравнения можно распространять и на случай несимметричных характеристик.

Метод гармонического баланса. Этот приближенный метод является одним из наиболее распространенных при решении многих нелинейных задач теории колебаний. Применительно к рассматриваемому здесь дифференциальному уравнению (3.1), когда $F(q) = -F(-q)$, его простейший вариант состоит в следующем.

Как и выше, примем решение этого уравнения в виде (3.11) и подставим его в левую часть дифференциального уравнения (3.1). Второе слагаемое $F[A \sin(M + \alpha)]$ является периодической функцией периода $2\pi/k$, и это можно разложить в ряд Фурье. Сократив в этом разложении один первый член, представим же

$$F[A \sin(kt + \alpha)] = b_1 A \sin(kt + \alpha), \quad (3.17)$$

где b_1 — коэффициент Фурье, определяемый выражением

$$b_1 = \frac{1}{\pi} \int_0^{2\pi} F(A \sin \psi) \sin \psi d\psi, \quad \psi = kt + \alpha. \quad (3.18)$$

Подстановка выражений (3.11) и (3.18) в уравнение (3.1) приводит к соотношению

$$-aAk^2 + b_1(A) = 0,$$

из которого следует первое приближение для квадрата частоты:

$$k^2 = \frac{b_1(A)}{aA}. \quad (3.19)$$

Пусть, например, функция $F(q)$ определяется выражением (3.7). Тогда по формуле (3.18) находим

$$b_1 = \frac{1}{\pi} \int_0^{2\pi} \beta A^2 \sin^2 \psi \sin \psi d\psi = \frac{3}{4} \beta A^2,$$

$$\mu = 0.75 \frac{\theta}{\omega} A^2, \quad k = 0.8660 \sqrt{\frac{2}{\omega}} A.$$

с ошибкой 2.2 %.

Метод медленно меняющихся амплитуд. Для того чтобы применить к рассмотриваемой задаче изложенный выше метод медленно меняющихся амплитуд (см. стр. 30), нужно прежде всего выделить из заданной функции $F(\varphi)$ линейную часть от (если функция $F(\varphi)$ чисто вещественная, т. е. не содержит линейного слагаемого, то метод и принцип определения) и представить дифференциальное уравнение (3.1) в виде (2.32), положив

$$f(\varphi, \dot{\varphi}) = -\frac{F(\varphi)}{\omega} + k_0^2 \varphi \quad (3.20)$$

(здесь $k_0^2 = \omega^2/a^2$ — квадрат собственной частоты аппроксимированной системы). Далее образуются выражения (2.42);

$$\Phi(A) = - \int_{-\pi}^{\pi} \left[-\frac{F(A \cos \varphi)}{\omega} + k_0^2 A \cos \varphi \right] d\varphi \quad (3.21)$$

$$\Psi(A) = \int_{-\pi}^{\pi} \left[-\frac{F(A \cos \varphi)}{\omega} + k_0^2 A \cos \varphi \right] \sin \varphi d\varphi. \quad (3.22)$$

Рассматривая выражение (3.21), можно заметить, что под знаком интеграла переносимые члены и начальную функцию угла φ в видимом произведении интегрирования это функция ортогональна, так что $\Phi(A) = 0$. Отсюда, согласно первому уравнению (2.41), следует $A = 0$, или $A = \text{const}$ — результат, который можно было предвидеть для рассматриваемой задачи о свободных колебаниях консервативной системы.

После того, как будет начислено значение $\Psi(A)$, по второму выражению (2.41) образуется величина φ . Важно отметить, что эта величина постоянна, так что $\varphi = \varphi_0 + \varphi_0$ и аргумент в решении (2.34) принимает вид

$$\psi = k_0 t - \varphi = (k_0 - \dot{\varphi}_0)t - \varphi_0.$$

Таким образом, частота свободных колебаний заданной колебательной системы определяется выражением

$$k = k_0 - \dot{\varphi} = k_0 - \frac{\Psi(A)}{\Im k_0 A}. \quad (3.23)$$

Пример 3.3. Составить с точным значением значение частоты свободных колебаний системы с изгибом, заданного прямой зависимостью и способом прямой аппроксимации (рис. 3.2, б). Характеристика системы описывается выражениями, данными в начале примера 3.2.

По приведенным формулам (3.12) находим

$$g^2 = k_0^2 \left(1 - \frac{A_0}{A} \right), \quad (3.24)$$

где $k_0^2 = \omega^2/a^2$.

Для выполнения по способу прямой аппроксимации нужно использовать формулы (3.10), разделен общий интегрированием

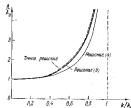


Рис. 3.6

при $x > 0$ на два участка. На первом участке ($0 \leq x \leq A_0$) $F(x) = -\theta$ и интегрирование дает нуль. Поэтому

$$c = -\frac{\theta}{A_0^2} \int_{A_0}^A c_0 (x - A_0)^2 dx = c_0 \left(1 - \frac{3A_0}{4A} + \frac{A_0^2}{4A^2} \right), \quad (3.25)$$

$$b^2 = k_0^2 \left(1 - \frac{3A_0}{4A} + \frac{A_0^2}{4A^2} \right).$$

На рис. 3.6 показаны зависимости (5) и (6), в таких изображениях в примере 3.2 результат точного решения,

Пример 3.4. Для системы с кубической характеристикой

$$F(\varphi) = c_1 + \beta\varphi^3$$

найдите частоту свободных колебаний линейками гармонического баланса в мгновенно меняющемся амплитуде.

Первое приближение по методу гармонического баланса найдем по выражению (3.23), подставив туда

$$\dot{\varphi}_1 = \frac{1}{\beta} \int_{0}^{2\pi} (\alpha \sin \varphi + \beta \varphi^3 \sin \varphi) \sin \varphi d\varphi = \alpha + \frac{3}{4} \beta \varphi^2.$$

Таким образом, получим

$$k^2 = k_0^2 + \frac{3\beta A^2}{4\alpha}. \quad (3)$$

Для решения по методу мгновенно меняющейся амплитуды позади по выражению (3.23)

$$\Psi(A) = \int_{0}^{2\pi} \left(-\frac{\beta A^2 \cos^2 \varphi}{\alpha} \right) \cos \varphi d\varphi = -\frac{\beta}{4} \frac{A^3}{\alpha}$$

В соответствии со выражению (3.23)

$$k = k_0 + \frac{3}{2} \frac{\beta A^2}{\alpha k_0},$$

или

$$k^2 = k_0^2 + \frac{3\beta A^2}{4\alpha} + \frac{9}{16} \frac{\beta^2 A^4}{\alpha^2 k_0^2}. \quad (4)$$

Как видно, результаты (3) и (4) совпадают в точности до первого слагаемого в выражении (3).

Здесь, конечно, очевидно, что выражение (4) является оценкой погрешностью, так как характеристики системы часто полиномиальны, т. е. когда $c = \Pi$ и соответствующий $k_0 = \Phi$. В этом случае надо уделить внимание и тому, что метод мгновенно меняющейся амплитуды в принципе применим только к системам с малыми погрешностями.

3.4. Линейные системы с ненулевыми степенями свободы

1. Способы составления дифференциальных уравнений движения. Наиболее общий вид дифференциальных уравнений движения может быть получен в форме уравнений Лагранжа, которые при консервативных силах имеют вид

$$\frac{d}{dt} \left(\frac{\partial T}{\partial \dot{q}_j} \right) - \frac{\partial T}{\partial q_j} = - \frac{\partial U}{\partial q_j}. \quad (4.1)$$

где T и U — кинетическая и потенциальная энергии, q_j и \dot{q}_j — обобщенные координаты и обобщенные скорости, $j = 1, 2, \dots, r$ — номер координаты, r — число степеней свободы.

На курсе теоретической механики известно, что при малых движениях гелиоцентрической системы со стационарными спутниками около положения равновесия кинетическая и потенциальная энергия следующим образом выражаются через обобщенные координаты:

$$T = \frac{1}{2} \sum_{j,k=1}^r a_{jk} \dot{q}_j \dot{q}_k, \quad U = \frac{1}{2} \sum_{j,k=1}^r c_{jk} q_j q_k. \quad (4.2)$$

Здесь $j = 1, 2, \dots, r$; $k = 1, 2, \dots, r$; $a_{jk} = a_{kj}$ — каскодиагональные коэффициенты, $c_{jk} = c_{kj}$ — каскодиагональные коэффициенты, называемые также обобщенными коэффициентами жесткости.

К выражению (4.2) можно прийти путем рассуждений, аналогичных изложенным выше при выводе выражений (1.4) и (1.8), относящихся к системе с одной степенью свободы.

Если соответствующие каскодиагональные координаты величины равновесия устойчивы, то потенциальная энергия в этом положении имеет квадратичный минимум, а второе из выражений (4.2) есть положительно определенная квадратичная форма. Для этого необходимо и достаточно, чтобы выполнялись следующие неравенства (Критерий Сильвестра):

$$c_{11} > 0, \quad \begin{vmatrix} c_{11} & c_{12} \\ c_{21} & c_{22} \end{vmatrix} > 0,$$

$$\begin{vmatrix} c_{11} & c_{12} & c_{13} \\ c_{21} & c_{22} & c_{23} \\ c_{31} & c_{32} & c_{33} \end{vmatrix} > 0, \dots, \quad \begin{vmatrix} c_{11} & c_{12} & \dots & c_{1r} \\ c_{21} & c_{22} & \dots & c_{2r} \\ \vdots & \vdots & \ddots & \vdots \\ c_{r1} & c_{r2} & \dots & c_{rr} \end{vmatrix} > 0. \quad (4.3)$$

Применительно к системам с нескользящими степенями свободы эти неравенства имеют тот же смысл, как и условие $c > 0$ для системы с одной степенью свободы (см. § 1). При выполнении неравенств (4.3) система, выведенная по положению равновесия, совершает свободные колебания.

Подставив выражение (4.2) в уравнение (4.1), получим следующую систему линейных однородных диффе-

рекциональных уравнений с постоянными коэффициентами:

$$\sum_{k=1}^3 (m_k \ddot{x}_k + c_k \dot{x}_k) = 0, \quad j = 1, 2, \dots, n. \quad (4.4)$$

Конечно, фактическое составление системы уравнений (4.4) не отличается вести по схеме Лагранжа. Но многих задач с колебаниями удобно пользоваться более прямодейственными способами — прямым и обратным.

Согласно прямому способу из системы выделяются скредоточенные массы (или твердые тела) и каждую из них рассматривается как свободная материальная точка (или соответственно как свободное тело), находящаяся под действием покинутых (восстановляемых) сил, которые выражаются через выбранные обобщенные координаты: после этого записываются соответствующие дифференциальные уравнения движения для материальных точек (таких тел).

Обратный способ противоположен прямому: после отделения скредоточенных масс (или твердых тел) рассматриваются оставшиеся безмассовыми системы жесткого и упругих связей, т. е. «бесмассовый скелет» системы, который находится под действием кинетических

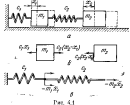


Рис. 4.1

рекций отведенных частей системы, причем кинетические реакции (силы инерции) выражаются через обобщенные ускорения. Затем формулируются статические соотношения для неравенств балансового (безмассового) скелета системы.

Проделав особенности названных способов на примере системы с двумя степенями свободы, состоящей из двух тел с массами m_1 и m_2 , соединенных двумя пружинами, жесткости которых равны c_1 и c_2 (рис. 4.1).

За обобщенные координаты приложим горизонтальные перемещения x_1 и x_2 грузов, отсчитывая эти перемещения от состояния равновесия, которое пружины в деформированном состоянии. Удлинение пружин в процессе движения равно $\Delta_1 = x_1$, $\Delta_2 = x_2 - x_1$.

Основной способ (уравнения Лагранжа). Прежде всего находим кинетическую энергию грузов

$$T = \frac{m_1 \dot{x}_1^2}{2} + \frac{m_2 \dot{x}_2^2}{2}$$

и потенциальную энергию деформации пружин

$$U = \frac{c_1 \Delta_1^2}{2} + \frac{c_2 (\Delta_2)^2}{2}.$$

Далее образуем производные, необходимые для подстановки в уравнение Лагранжа (4.1):

$$\frac{d\dot{x}}{dt} = m_1 \ddot{x}_1, \quad \frac{d\dot{x}}{dx_1} = m_1 \dot{x}_1,$$

$$\frac{d}{dt} \left(\frac{d\dot{x}}{dx_1} \right) = m_1 \ddot{x}_1, \quad \frac{d}{dt} \left(\frac{d\dot{x}}{dx_2} \right) = m_2 \ddot{x}_2,$$

$$\frac{dU}{dx_1} = c_1 \Delta_1 = c_1 (x_1 - x_0), \quad \frac{dU}{dx_2} = c_2 \Delta_2 = c_2 (x_2 - x_1).$$

Теперь запишем уравнение (4.1):

$$m_1 \ddot{x}_1 + c_1 x_1 - c_2 (x_2 - x_1) = 0, \quad (4.5)$$

$$m_2 \ddot{x}_2 + c_2 (x_2 - x_1) = 0.$$

Правой способ. Выделим пружину и рассмотрим ее как свободное тело под действием сил упругости N_1 и N_2 , определяемых удлинениями Δ_1 и Δ_2 обеих пружин (рис. 4.1, б):

$$N_1 = c_1 \Delta_1 = c_1 x_0,$$

$$N_2 = c_2 \Delta_2 = c_2 (x_1 - x_0).$$

Дифференциальные уравнения движения грузов имеют вид

$$m_1 \ddot{x}_1 = -N_1 + N_2,$$

$$m_2 \ddot{x}_2 = -N_2.$$

Подставив сюда выражения для сил N_1 и N_2 , проходящих в разрез полученной системы уравнений:

$$\begin{aligned} m\ddot{x}_1 + c_1x_1 - c_2(x_2 - x_1) &= 0, \\ m\ddot{x}_2 + c_2(x_2 - x_1) &= 0. \end{aligned}$$

Обратный способ. Определим грузы и рассматриваемую упругий балансовую систему под действием кинетических реакций $-m_1\ddot{x}_1$ и $-m_2\ddot{x}_2$ (рис. 4.1, а). В этой схеме первая пружина измеряется силой $-m_1\ddot{x}_1 - m_2\ddot{x}_2$, а вторая пружина — силой $-m_2\ddot{x}_2$. Перемещение x_1 изолированной первой пружины, равное ее удлинению, можно записать в виде

$$x_1 = \frac{-m_1\ddot{x}_1 - m_2\ddot{x}_2}{c_1}.$$

Перемещение левого конца второй пружины x_2 равно сумме удлинений обеих пружин, т. е.

$$x_2 = \frac{-m_1\ddot{x}_1 - m_2\ddot{x}_2}{c_2} + \frac{-m_1\ddot{x}_1}{c_2}.$$

Из двух последних соотношений получаем

$$\begin{aligned} m_1\ddot{x}_1 + m_2\ddot{x}_2 + c_1x_1 &= 0, \\ \frac{c_1}{c_2}m_1\ddot{x}_1 + m_2\left(1 + \frac{c_1}{c_2}\right)\ddot{x}_2 + c_2x_2 &= 0. \end{aligned} \quad (4.7)$$

Подставив вышепо описанному и прямому способам форму записи схемы потому, что при этом выборе обобщенных координат кинетическая энергия имеет каноническую форму:

$$T = \frac{1}{2} \sum_{j=1}^k c_j \dot{x}_j^2, \quad (4.8)$$

т. е. не содержит произведенияй скоростей $\dot{x}_j\dot{x}_l$ при $j \neq l$. При этом каждое из уравнений Лагранжа содержит только по одному обобщенному ускорению, как это подтверждено и при использовании прямым способом. Если обобщенные координаты были выбраны так, чтобы каноническую форму имела потенциальная энергия

$$\Pi = \frac{1}{2} \sum_{j=1}^k c_j x_j^2, \quad (4.9)$$

то уравнения Лагранжа должны бы с уравнениями, полученными с помощью обратного способа. Сопоставляя полученные выражения записи по прямому и обратному способам, можно сделать следующие общие заключения относительно структуры дифференциальных уравнений: при составлении системы уравнений по прямому способу $c_2 = 0$ при 1^{st} , в при составлении по обратному способу $c_2 = 0$ при 1^{st} . Таким образом, пользуются прямым способом, или прибегают вместо (4.4) к системе

$$a\ddot{x}_j + \sum_{i=1}^k c_{ij}\dot{x}_i = 0 \quad (j = 1, 2, \dots, k), \quad (4.9)$$

и применение обратный способ — к системе

$$\sum_{i=1}^k a_{ij}\ddot{x}_i + c_i\dot{x}_i = 0 \quad (j = 1, 2, \dots, k) \quad (4.10)$$

(место a_{ij} в уравнениях (4.7) и (4.9) записано c_2 , так как второй индекс способом данным; аналогично, вместо c_{ij} в уравнениях (4.8) и (4.10) записано c_1).

При实用性ально важно, что специальным выбором обобщенных координат можно привести каноническую форму как кинетической, так и потенциальной энергии. Такие координаты ξ_j ($j = 1, 2, \dots, k$) называются мордальными или глаузами. При этом

$$T = \frac{1}{2} \sum_{j=1}^k c_j \dot{\xi}_j^2, \quad \Pi = \frac{1}{2} \sum_{j=1}^k c_j \xi_j^2 \quad (4.11)$$

и уравнения Лагранжа пробразуют наиболее простой вид

$$a\ddot{\xi}_j + c_j \dot{\xi}_j = 0 \quad (j = 1, 2, \dots, k). \quad (4.12)$$

Каждое из них интегрируется независимо от других. Но если говорят, при использовании глаузов изображают систему или бы представили собой совокупность канонических парциальных систем с одной степенью свободы. Члены этого выражения трудно увидеть, так как кинематические параметры (или их комбинации) являются главными координатами, и для перехода к ним требуются общирные выкладки, объем которых не уступает объему выкладок при решении задачи в производстве принятых (не глаузов) обобщенных координат. Поэтому предложенное попытка глаузов изображает практический не облегчает решение задачи о свободных колебаниях, но усложняет

полезно для углубленного понимания ис закономерностей и для теоретического анализа.

Связь между коэффициентами (4.9) и (4.10) удобно проследить, исходя из фундаментального соотношения, определяющего статические перемещения в упругой линейной системе общего вида:

$$\{q\} = \sum_{k=1}^n \delta_{kj} F_k, \quad (j = 1, 2, \dots, n), \quad (4.13)$$

в которой δ_{kj} — коэффициент жесткости для перемещения j , т. е. значение j -й обобщенной координаты, соответствующее действию статически пропорциональной k -й обобщенной силы, равной единице (в строительной механике величина δ_{kj} называется единичным перемещением). В канонической форме соотношение (4.13) имеет вид

$$\{q\} = [\delta] \{F\}, \quad (4.14)$$

где

$$\{q\} = \begin{bmatrix} q_1 \\ q_2 \\ \vdots \\ q_n \end{bmatrix} \quad (4.15)$$

представляет собой матрицу-столбец (вектор) обобщенных координат,

$$[\delta] = \begin{bmatrix} \delta_{11} & \delta_{12} & \dots & \delta_{1n} \\ \delta_{21} & \delta_{22} & \dots & \delta_{2n} \\ \vdots & \vdots & \ddots & \vdots \\ \delta_{n1} & \delta_{n2} & \dots & \delta_{nn} \end{bmatrix} \quad (4.16)$$

— матрицу коэффициентов записи для перемещений,

$$\{F\} = \begin{bmatrix} F_1 \\ F_2 \\ \vdots \\ F_n \end{bmatrix} \quad (4.17)$$

— матрицу-столбец (вектор) обобщенных сил.

Введем матрицу

$$[\delta]^{-1} = [r] = \begin{bmatrix} r_{11} & r_{12} & \dots & r_{1n} \\ r_{21} & r_{22} & \dots & r_{2n} \\ \vdots & \vdots & \ddots & \vdots \\ r_{n1} & r_{n2} & \dots & r_{nn} \end{bmatrix}, \quad (4.18)$$

т. е. системы с ненулевыми стоящими строками 73

обратную матрице (4.10), и умножим каноническое соотношение (4.14) на матрицу (4.18). Тогда получим

$$[r] [\delta] \{q\} = \{F\}. \quad (4.19)$$

Для того чтобы выяснить физический смысл элементов r_{kj} матрицы (4.18), представим себе, что за все точки системы введенны дополнительные силы, обращающие в нуль все обобщенные перемещения, кроме перемещения q_k при этом последнему придано значение $q_k = 1$. Тогда r_{kj} представляет собой реакцию j -й дополнительной силы, соответствующую перемещению $q_k = 1$ (в строительной механике величины r_{kj} называют единичными реакциями).

Из соотношения (4.19) следуют дифференциальные уравнения прямого метода, а из соотношения (4.14) — уравнения обратного метода. В самом деле, в задачах о свободных колебаниях $F_j = -m_j \ddot{q}_j$, так что если известна динамическая матрица

$$[m] = \begin{bmatrix} m_1 & 0 & \dots & 0 \\ 0 & m_2 & \dots & 0 \\ \vdots & \vdots & \ddots & \vdots \\ 0 & 0 & \dots & m_n \end{bmatrix}, \quad (4.20)$$

то можно записать

$$\{F\} = -[m] \ddot{\{q\}}. \quad (4.21)$$

Подставив (4.21) в (4.19), получим

$$[r] [\delta] \{q\} = -[m] \ddot{\{q\}}, \quad (4.22)$$

т. е. уравнения типа (4.2); после подстановки (4.21) в (4.14) пайдем

$$\{q\} = -[\delta] [m] \ddot{\{q\}}, \quad (4.23)$$

т. е. уравнения типа (4.10).

Хотя уравнения (4.9) и (4.10) в принципе эквивалентны, однако объемы выражий, связанных с вычислением коэффициентов, могут оказаться различными.

Приведенный способ особенно удобен для систем цепной структуры, если в таких системах упругие связи исключено выражаются через перемещения двух соседних тел. Такими, например, системами изображены на рис. 4.2. Пусть q_j — обобщенная координата, представляющая горизонтальное перемещение j -го тела в системе на-

рис. 4.2, а или узловое измешение j -го диска в схеме на рис. 4.2, б. При этом сумму упругих сил, действующих на груз (рис. 4.2, а), или сумму упругих моментов, действующих на диск (рис. 4.2, б), можно представить в единой форме:

$$Q_j = -c_j(q_j - q_{j-1}) + c_{j+1}(q_{j+1} - q_j), \quad (4.24)$$

где c_j — жесткость упругой связи, расположенной между грузами (дисками) $j-1$ и j ; c_{j+1} — жесткость упругой



а



б

связи, расположенной между грузами (дисками) j и $j+1$. Соответствующее дифференциальное уравнение движения j -го груза в схеме а имеет вид

$$m_j \ddot{q}_j = -c_j(q_j - q_{j-1}) + c_{j+1}(q_{j+1} - q_j), \quad (4.25)$$

т. е. соответствует форме (4.9). Тогда же будет и дифференциальное уравнение движения j -го диска в схеме б, если заменить инерционный коэффициент m , на момент инерции диска J_p .

Отметим, что в краевом же уравнении (4.25) содержатся только две неизвестные функции, а для крайних тяжей (дисков) уравнение будет содержать только две неизвестные функции. При этом коэффициенты уравнения легко вычисляются по исходным данным задачи. Применение обратного способа в данном случае приведет к значительно более сложным уравнениям, так как здесь неизвестных функций, поддающихся дифференцированию уравнения, возрастает с удалением от левого конца системы, и последние уравнения содержат все \dot{q} функций q . При расчетах круговых колебаний волны обычно пользуются прямым способом.

С другой стороны, для балочной систем с сопротивлениями насыщены удобнее обратный способ. Так, для системы, показанной на рис. 4.3, а, приходим к кинетостатической схеме из рис. 4.3, б. В данном случае, пользуясь коэффициентами влияния b_{ij} , получаем уравнения типа (4.10):

$$\ddot{q}_i = -m_i b_{i1} \ddot{q}_1 - m_i b_{i2} \ddot{q}_2 - \dots - m_i b_{in} \ddot{q}_n \quad (i = 1, 2, \dots, n), \quad (4.26)$$

соответствующие матричному уравнению (4.23). Обратный способ особенно часто используется в динамике супругов.

Пример 4.4. Составить дифференциальные уравнения свободных колебаний маятника, изогнувшегося из свободного состояния, обладающего конечным моментом инерции (рис. 4.4, а); считать, что

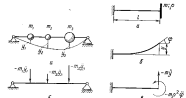


Рис. 4.3

а

б



в

массой m_p можно пренебречь по сравнению с массой груза. Обозначим: l — длина маятника, M — изгибающий момент, θ — угол груза, r — радиус изогнутости.

Рассматриваемая система имеет две степени свободы, и из обобщенных координат удобно выбрать прогиб u и угол поворота φ конца маятника (рис. 4.4, б). Для составления дифференциальных уравнений движения воспользуемся обратным способом и рассмотрим шаги: выделение первого оссеса, показанного на рис. 4.4, а.

Возможные оссесы являются для маятника груз — u и момент сил изгиба — φ . Тогда

$$u = -\varphi r \ddot{\theta}, \quad \varphi = -\frac{u}{r} \ddot{\theta} = -\frac{u}{r} \ddot{\theta}^2.$$

Коэффициенты влияния можно найти методами сопротивления изгиб. С. Панкова

периода, например с окончанием формулы Берцгольфа. В линейных терминах, например с окончанием формулы Берцгольфа. В линейных терминах, например с окончанием формулы Берцгольфа. В линейных

$$\delta_{11} = \frac{1}{2k_1^2}, \quad \delta_{12} = \delta_{21} = \frac{1}{2k_1 k_2}, \quad \delta_{22} = \frac{1}{2k_2^2}.$$

Таким образом, дифференциальные уравнения движения приведены к виду

$$-\frac{x''}{2k_1^2} + \omega_0^2 \frac{x'}{2k_1 k_2} + y = 0, \quad -\frac{y''}{2k_2^2} + \omega_0^2 \frac{y'}{2k_1 k_2} + x = 0.$$

Движение ядра системы см. выше, из стр. 52 и 53.

2. Решение системы дифференциальных уравнений. Если условия (4.3) удовлетворяются системой равновесия движущимися, то частное решение системы дифференциальных уравнений (4.26) можно записать в виде

$$q_j = A_j \sin(\delta t + \alpha_j) \quad (j = 1, 2, \dots, r). \quad (4.27)$$

Эти же выражения относятся к одномермодонимической колебательной системе с частотой k , общей для всех коэффициентов φ .

Подставив (4.27) в уравнения (4.4), получим систему алгебраических уравнений

$$\begin{aligned} -k^2 a_{11} A_1 - k^2 a_{12} A_2 - \dots - k^2 a_{1r} A_r + c_{11} A_1 + \\ + c_{12} A_2 + \dots + c_{1r} A_r = 0, \\ -k^2 a_{21} A_1 - k^2 a_{22} A_2 - \dots - k^2 a_{2r} A_r + c_{21} A_1 + \\ + c_{22} A_2 + \dots + c_{2r} A_r = 0, \end{aligned} \quad (4.28)$$

$$\begin{aligned} \dots \\ -k^2 a_{rr} A_1 - k^2 a_{r2} A_2 - \dots - k^2 a_{rr} A_r + c_{r1} A_1 + \\ + c_{r2} A_2 + \dots + c_{rr} A_r = 0, \end{aligned}$$

относительно относительных амплитуд A_1, A_2, \dots, A_r . При колебаниях ядра они не могут равняться нулю; поэтому, согласно общему способу однородных систем, должны равняться нулю определители, составленные из коэффициентов этой системы:

$$\begin{vmatrix} c_{11} - a_{11} k^2 & c_{12} - a_{12} k^2 & \dots & c_{1r} - a_{1r} k^2 \\ c_{21} - a_{21} k^2 & c_{22} - a_{22} k^2 & \dots & c_{2r} - a_{2r} k^2 \\ \vdots & \vdots & \ddots & \vdots \\ c_{r1} - a_{r1} k^2 & c_{r2} - a_{r2} k^2 & \dots & c_{rr} - a_{rr} k^2 \end{vmatrix} = 0. \quad (4.29)$$

После разыгрывания определяющих подчините алгебраическое уравнение r -й степени относительно k^2 ; наименее это частное уравнение в виде

$$b_0 - b_1 k^2 + b_2 k^4 - b_3 k^6 + \dots + (-1)^r b_r k^{2r} = 0; \quad (4.30)$$

при указанной расстановке знаков все коэффициенты b_j являются положительными. Число корней частного уравнения равно r ; эти корни, обозначенные через $k_1^2, k_2^2, \dots, k_r^2$, принадлежат в порядке возрастания. Для рассматриваемых систем, совершающих движение из-за состояния установившего равновесия, все эти корни вещественны и положительны^{4).} Таким образом, для чистоты k определяются в значении:

$$k_1 < k_2 < k_3 < \dots < k_r, \quad (4.31)$$

образующих спектр собственных частот системы. (Отрицательные частоты можно не рассматривать, так как соответствующие им частные решения типа $A' \sin(-\delta t)$ по-прежнему сливаются с частными решениями $A \sin(\delta t)$.)

Для системы с двумя степенями свободы частное уравнение называется биквадратным:

$$\begin{aligned} (c_{11} a_{11} - a_{11}^2) k^4 - (a_{11} c_{12} + c_{12} c_{11} - 2a_{12} c_{11}) k^2 + \\ + (c_{11} c_{12} - c_{12}^2) = 0. \end{aligned} \quad (4.32)$$

Имеет два положительных корня k_1^2 и k_2^2 , лежащих в интервалах

$$0 < k_1^2 < \frac{\omega_0^2}{c_{11}}, \quad \frac{\omega_0^2}{c_{11}} < k_2^2 < +\infty.$$

Если обобщенные координаты — главные, т. е. выбраны так, что $a_{11} = 0, c_{12} = 0$, то корни частного уравнения оказываются равными

$$k_1 = \sqrt{\frac{c_{11}}{a_{11}}}, \quad k_2 = \sqrt{\frac{c_{12}}{a_{11}}}.$$

Возвращаясь к рассмотрению общего случая, напомним, что к ядру соответствует частное решение типа (4.27), следовательно, общее решение представляет собой сумму

⁴⁾ Если любое решение уравнения (4.30) является пропорциональным решению (4.2), т. е. является состоянием равновесия.

таких решений:

$$\begin{aligned} \varphi_1 &= A_{11} \sin(k_1 t + \alpha_1) + A_{12} \sin(k_2 t + \alpha_2) + \dots \\ &\quad \dots + A_{1n} \sin(k_n t + \alpha_n) \quad (i = 1, 2, \dots, n), \end{aligned}$$

где буквы A теперь приведены для ясности: первый индексу обозначает номер координаты, а второй — номер собственной частоты. Короткое решение можно записать в виде

$$\varphi_1 = \sum_{i=1}^n A_{1i} \sin(k_i t + \alpha_i) \quad (i = 1, 2, \dots, n). \quad (4.33)$$

Таким образом, если вспомним (т. е. при произвольных начальных условиях), изменение каждой из обобщенных координат спровоцирует гармоническую колебанию, причем число гармонических составляющих равно числу степеней свободы системы. Отметим, что если собственные частоты неодинаковы (как это всегда бывает в реальных задачах), то процесс, описываемый выражением (4.33), строго говоря, не периодический.

При близости этих двух собственных частот общий закон движения называется *всесмы синеобразными*. Рассмотрим систему с двумя степенями свободы, причем $k_1 \approx k_2$. Тогда, например, для первой обобщенной координаты имеем

$$\varphi_1 = A_{11} \sin(k_1 t + \alpha_1) + A_{12} \sin(k_2 t + \alpha_2). \quad (4.34)$$

Если известны обозначения

$$\begin{aligned} B_{1,2} &= \frac{1}{2} (A_{11} \cos \alpha_1 \pm A_{12} \cos \alpha_2), \\ B_{2,4} &= \frac{i}{2} (A_{11} \sin \alpha_1 \pm A_{12} \sin \alpha_2), \end{aligned} \quad (4.35)$$

то вместо (4.34) можно записать

$$\begin{aligned} \varphi_1 &= B_1 (\sin k_1 t + \sin k_2 t) + B_2 (\sin k_1 t - \sin k_2 t) + \\ &\quad + B_3 (\cos k_1 t + \cos k_2 t) + B_4 (\cos k_1 t - \cos k_2 t). \end{aligned} \quad (4.36)$$

Заменяя суммы и разности тригонометрических функций произведениями таких функций, получим

$$\begin{aligned} \varphi_1 &= 2B_1 \sin \frac{k_1 + k_2}{2} t \cos \frac{k_1 - k_2}{2} t + 2B_2 \sin \frac{k_1 - k_2}{2} t \times \\ &\quad \times \cos \frac{k_1 + k_2}{2} t + 2B_3 \cos \frac{k_1 + k_2}{2} t \cos \frac{k_1 - k_2}{2} t - \\ &\quad - 2B_4 \sin \frac{k_1 + k_2}{2} t \sin \frac{k_1 - k_2}{2} t. \quad (4.37) \end{aligned}$$

Заметим, что функции аргумента $\frac{k_1 + k_2}{2} t$ и $\frac{k_1 - k_2}{2} t$ медленно по сравнению с функциями аргумента $\frac{k_1 + k_2}{2} t$. Поэтому можно (4.37) упростить записать

$$\varphi_1 = D_1 \sin kt + D_2 \cos kt, \quad (4.38)$$

где

$$k = \frac{k_1 + k_2}{2}, \quad (4.39)$$

— среднее значение двух близких частот k_1 и k_2 .

$$\begin{aligned} D_1 &= 2 \left(B_1 \cos \frac{\Delta k}{2} t - B_2 \sin \frac{\Delta k}{2} t \right), \\ D_2 &= 2 \left(B_2 \sin \frac{\Delta k}{2} t + B_3 \cos \frac{\Delta k}{2} t \right) \end{aligned} \quad (4.40)$$

— медленно меняющиеся гармонические функции времени; их частота $\frac{\Delta k}{2} = \frac{k_1 - k_2}{2}$.

Окончательно выражение вместо (4.34)

$$\varphi_1 = A_{11} \sin(k_1 t + \alpha_1), \quad (4.41)$$

где

$$A_{11} = \sqrt{D_1^2 + D_2^2}, \quad \alpha_1 = \arctg \frac{D_2}{D_1} \quad (4.42)$$

— медленно колеблющаяся функция времени. Таким образом, движение несет *ангуляционный* характер с

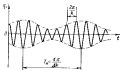


Рис. 4.5

Периодически колебание минимальной амплитудой; график этого движения показан на рис. 4.5. Период изменения амплитуды составляет

$$T_s = \frac{2\pi}{\Delta k/2} = \frac{4\pi}{k_1 - k_2}. \quad (4.43)$$

и тем больше, чем больше частоты k_1 и k_2 . Такие колебания называются басовыми.

Движение, соответствующее второй обобщенной координате φ_2 , также представляет собой волны, но сдвинутые по фазе относительно движений φ_1 .

Из рис. 4.2, находим собственные частоты для системы, рассмотренной выше в примере 4.1.

Полагая равенство (4.21) в избранные рамы дифференциальные уравнения (стр. 82), получим однородную систему

$$\begin{aligned} \left(\frac{m^2}{2EJ} \varphi^2 - 1 \right) A_1 + m\varphi^2 \frac{\partial}{\partial J} \varphi^2 A_2 = 0, \\ \frac{m^2}{2EJ} k^2 A_1 + \left(\frac{m\varphi^2}{EJ} k^2 - 1 \right) A_2 = 0. \end{aligned}$$

Данная система имеет определитель:

$$\begin{vmatrix} \frac{m^2}{2EJ} \varphi^2 - 1 & \frac{m\varphi^2}{EJ} k^2 \\ \frac{m^2}{2EJ} k^2 & \frac{m\varphi^2}{EJ} k^2 - 1 \end{vmatrix} = 0,$$

когда развернуты матрицы получим частотное уравнение

$$\frac{m^2 \varphi^2 k^4}{42(EJ)^2} k^4 - \left(\frac{m\varphi^2}{EJ} + \frac{m^2}{3EJ} \right) k^2 + 1 = 0.$$

Его корни (для $\varphi \ll 1$) имеют вид:

$$k_1^2 = \frac{mEJ}{m^2} \left(1 - \frac{m\varphi^2}{4EJ} \right), \quad k_2^2 = \frac{mEJ}{m^2} \left(1 + \frac{m\varphi^2}{4EJ} \right).$$

3. Собственные формы. Если вернуться к системе уравнений (4.28) и подставить в нее какой-либо из первых частотного уравнения, то одно из уравнений станет одновременно линейным, т. е. неизвестных уравнений останется только $x-1$; следовательно выпадает из общих решений однородных систем алгебраических уравнений. Эти уравнения связывают между собой x амплитуды A_1, A_2, \dots, A_n и называют выражают все амплитуды через некую-либо одну из них, например через первую. Совокупность отношений

$$x_{21} = \frac{A_{21}}{A_{11}}, \quad x_{31} = \frac{A_{31}}{A_{11}}, \quad \dots, \quad x_{n1} = \frac{A_{n1}}{A_{11}} \quad (4.44)$$

передает относительные амплитуды рассматриваемой 1-й гармоники, т. е. определяет конфигурацию системы в процессе свободных колебаний с 1-й собственной частотой; эта конфигурация определяется с точностью

до окончания производственного циклопеда, т. е. масштаб конфигурации остается неизмененным.

Такие конфигурации системы зависят только от свойств самой системы и называются собственными формами; изображая корень частотного уравнения соответствующей собственной формы, определяем отношением (4.44), т. е. число собственных форм равно числу степеней свободы системы.

Число x_k называется коэффициентом собственных форм; они определяются только параметрами самой системы (коэффициентами формы не обязательно физические величины, так как обобщенные координаты могут иметь различную размерность). Так как общий масштаб лежит на собственных формах производный, можно оценить (любой) коэффициент формы различным образом. Число остальных коэффициентов x_k равно $s-1$ для каждой собственной формы, т. е. составляет $s(s-1)$ для всех собственных форм.

Общее решение (4.33) с помощью коэффициентов форм записывается в виде

$$q_i = \sum_{j=1}^s x_{kj} A_{ji} \sin(k_j t + \alpha_j) \quad (i=1, 2, \dots, s; x_{0j}=1; j=1, 2, \dots, r), \quad (4.45)$$

т. е. содержит $2s$ постоянных (j амплитуд A_{ji} и столь же начальных фаз α_j); для определения этих постоянных служат $2s$ начальных условий, выражаемых значениями обобщенных координат и обобщенных скоростей в начальный момент.

Если действовать какое-либо 4-е частное решение в систему (4.39), то получим следующую связь:

$$-m\varphi^2 k_{21} + \sum_{i=1}^s c_{ik} x_{ki} = 0 \quad (4.46)$$

$$(j=1, 2, \dots, r; i=1, 2, \dots, s).$$

Аналогично, после подстановки 4-го частного решения в систему (4.40) найдем

$$-k_{21}^2 \sum_{i=1}^s a_{ik} x_{ri} + c_{jk} x_{ji} = 0 \quad (4.47)$$

$$(j=1, 2, \dots, r; i=1, 2, \dots, s).$$

Эти соотношения будут использованы ниже, в гл. 3 § 3.

Пример 4.3. Найти собственные частоты и собственные формы для системы, изображенной на рис. 4.1, приведенной в задаче 4.1, пренебрегая массой пружин. Решение уравнения (4.27) и полученные этим дифференциальными уравнениями (4.3), позволяют $\eta_1 = \eta$, $\eta_2 = \eta_3$; тогда получим

$$\begin{aligned} (2\zeta_0 - m\delta^2)A_1 - c_0 A_2 &= 0, \\ -c_0 A_1 + (c_0 - m\delta^2)A_2 &= 0. \end{aligned} \quad (4.5)$$

На решение этого уравнения

$$\begin{vmatrix} 2\zeta_0 - m\delta^2 & -c_0 \\ -c_0 & c_0 - m\delta^2 \end{vmatrix} = 0$$

следует частотное уравнение

$$\delta^2 = 2 \frac{c_0}{m} \delta^2 + \frac{c_0^2}{m^2} = 0.$$

Отсюда находим для частот:

$$\delta_1^2 = \frac{c_0}{2m} (0 \pm \sqrt{3}),$$

т. е.

$$\delta_1^2 = 0,182 \frac{c_0}{m}, \quad \delta_2^2 = 2,018 \frac{c_0}{m}.$$

Положим $x_{11} = x_{22} = 1$. Для определения соответствующих собственных форм воспользуемся формулами из табл. 4.2 (то же можно получить и из первого уравнения):



(4.1)

$$x_{11} = \frac{2\zeta_0 - m\delta^2}{c_0} = 1,618,$$



(4.1)

$$x_{22} = \frac{2\zeta_0 - m\delta^2}{c_0} = -0,618.$$

Рис. 4.3

Соответствующие собственные формы показаны на рис. 4.2, а, б.

Изучение выше приведенных соотношений можно заняться первым вилем общего соответствия между записью в матричной форме.

Вместо уравнения (4.4) имеем

$$[\varepsilon] [\dot{\eta}] + [\varepsilon] [\eta] = 0, \quad (4.43)$$

где $[\eta]$ — матрица-столбец (4.15).

$$[\varepsilon] = \begin{bmatrix} \varepsilon_{11} & \varepsilon_{12} & \dots & \varepsilon_{1n} \\ \varepsilon_{21} & \varepsilon_{22} & \dots & \varepsilon_{2n} \\ \vdots & \vdots & \ddots & \vdots \\ \varepsilon_{n1} & \varepsilon_{n2} & \dots & \varepsilon_{nn} \end{bmatrix} \quad (4.44)$$

в. системы с использованием ступенчатых свободных

— симметричная матрица инерционных коэффициентов,

$$[\varepsilon] = \begin{bmatrix} \varepsilon_{11} & \varepsilon_{12} & \dots & \varepsilon_{1n} \\ \varepsilon_{21} & \varepsilon_{22} & \dots & \varepsilon_{2n} \\ \vdots & \vdots & \ddots & \vdots \\ \varepsilon_{n1} & \varepsilon_{n2} & \dots & \varepsilon_{nn} \end{bmatrix} \quad (4.45)$$

— симметричная матрица коэффициентов жесткости.

Решение уравнения (4.43) будем искать в виде

$$[\eta] = [A] \sin(\delta t + \alpha), \quad (4.51)$$

где

$$[A] = \begin{bmatrix} A_1 \\ A_2 \\ \vdots \\ A_n \end{bmatrix} \quad (4.52)$$

— матрица-столбец амплитуд. Подставляя (4.51) в (4.43), получаем матричное уравнение

$$-[\varepsilon] [A] \delta^2 + [\varepsilon] [A] = 0, \quad (4.53)$$

т. е.

$$([\varepsilon] - [\varepsilon] \delta^2) [A] = 0. \quad (4.54)$$

Отсюда видно, что матрица-столбец $[A]$ отлична от нуля только при условии

$$\det([\varepsilon] - [\varepsilon] \delta^2) = 0, \quad (4.55)$$

которое совпадает с частотным уравнением (4.29). Пере- писав равенство (4.53) в виде

$$[\varepsilon]^{-1} ([\varepsilon] [A]) = \delta^2 [A], \quad (4.56)$$

замечаем, что $[A]$ является собственным вектором матрицы $[\varepsilon]^{-1} [\varepsilon]$, а δ^2 — собственные значения этой матрицы.

4. Ортогональность собственных форм. Между ампли- тудами A_m и A_n , определяемыми для каких-либо соб- ственных форм (m и n), существует соотношение, вы- ражающее важное свойство ортогональности собственных форм. Установим это соотношение исходя из общей фор- мы уравнений (4.28) для амплитуд. При $\delta^2 = \delta_m^2$ каждую из строк этой системы, записанной для m -й ча- стоты, может быть представлена в виде

$$A_m^T \sum_{i=1}^k a_{ij} A_m = \sum_{i=1}^k c_{ij} A_m, \quad (j = 1, 2, \dots, k). \quad (4.57)$$

Умножив равенство (4.57) на амплитуду A_{jm} и суммируя все уравнения, получим

$$k_m^2 \sum_{j=1}^J A_{jm} \sum_{r=1}^R a_{jr} A_{rm} = \sum_{j=1}^J A_{jm} \sum_{r=1}^R c_{jr} A_{rm}, \quad (4.58)$$

или, после изменения порядка суммирования в обеих частях равенства,

$$k_m^2 \sum_{r=1}^R A_{rm} \sum_{j=1}^J a_{jr} A_{jm} = \sum_{r=1}^R A_{rm} \sum_{j=1}^J c_{jr} A_{jm}. \quad (4.59)$$

Так как $c_{jr} = c_{rm}$, можно записать

$$\sum_{j=1}^J c_{jr} A_{jm} = \sum_{j=1}^J c_{rj} A_{jm}. \quad (4.60)$$

Но согласно (4.57)

$$\sum_{j=1}^J c_{rj} A_{jm} = k_m^2 \sum_{j=1}^J a_{rj} A_{jm}, \quad (4.61)$$

следовательно, соотношение (4.59) принимает вид

$$k_m^2 \sum_{r=1}^R A_{rm} \sum_{j=1}^J a_{rj} A_{jm} = k_m^2 \sum_{r=1}^R A_{rm} \sum_{j=1}^J a_{jr} A_{jm} \quad (4.62)$$

(при этом правой части мы воспользовались равенством $a_{jr} = a_{rj}$). Но, поскольку частоты k_r и k_m различны, то равенство (4.62) следует

$$\sum_{r=1}^R A_{rm} \sum_{j=1}^J a_{jr} A_{jm} = 0. \quad (4.63)$$

Последнее соотношение выражает свойство ортогональности любых двух r -й и m -й собственных форм.

Свойство ортогональности, выраженное соотношением (4.63), формулируется более компактно в случаях, когда $a_{jr} = 0$ при $j \neq r$. Именно в такой форме обычно получается краевые коэффициенты при использовании прямого способа сопоставления дифференциальных уравнений. При этом соотношение (4.63) упрощается и принимает вид (вместо a_{jr} достаточно писать a_j)

$$\sum_{r=1}^R a_{rj} A_{rm} A_{jm} = 0. \quad (4.64)$$

+, системы с несколькими степенями свободы 91

Согласно (4.64) вместо (4.63) можно также записать

$$\sum_{r=1}^R A_{rm} \sum_{j=1}^J c_{rj} A_{jm} = 0. \quad (4.65)$$

Если $c_{rj} = 0$ при $j \neq r$, как это получается по обратному способу, то соотношение (4.65) упрощается:

$$\sum_{r=1}^R c_{rj} A_{rm} A_{jm} = 0. \quad (4.66)$$

Отметим, что любую конфигурацию системы можно разложить по собственным формам колебаний; это свойство является полезным при поиске зонутийных колебаний.

Пусть некоторая начальная конфигурация системы определяется единичными значениями обобщенных координат B_1, B_2, \dots, B_n ; для этих значений можно записать

$$B_i = d_1 A_{i1} + d_2 A_{i2} + \dots + d_n A_{in}, \quad (i = 1, 2, \dots, n) \quad (4.67)$$

и рассматривать (4.67) как систему уравнений, определяющих коэффициенты линейного преобразования d_1, d_2, \dots, d_n . Для того чтобы найти эти коэффициенты, нет необходимости решать систему (4.67), удобнее использовать следствие ортогональности собственных форм. Имея в виду случаи, для которых указанное свойство формулируется в виде (4.63), умножим каждую строку системы (4.67) на соответствующее ее номеру j произведение $a_{rj} A_{jm}$ (m — номер локального коэффициента d_m), а затем сложим все строки. Тогда в левой части образуется сумма $\sum_{r=1}^R R_{mj} A_{jm}$, а в правой части — сумма надеж

$$d_1 \sum_{j=1}^J a_{1j} A_{jm} + d_2 \sum_{j=1}^J a_{2j} A_{jm} + \dots + d_n \sum_{j=1}^J a_{nj} A_{jm}.$$

Согласно (4.63) среди этих членов отсутствует только член $d_m \sum_{j=1}^J a_{mj} A_{jm}$, и в результате мы получим компактное выражение

$$d_m = \frac{\sum_{j=1}^J a_j B_j A_{jm}}{\sum_{j=1}^J a_j A_{jm}^2}. \quad (4.68)$$

Пример 4.4. Найти собственные формы для системы, рассмотренной в примерах 4.1 и 4.2.

Для определения собственных форм будем отыскивать A_2/A_1 из первого уравнения, данного в примере 4.2 (стр. 86):

$$\frac{A_2}{A_1} = \frac{1 - \frac{m^2}{M^2} t^2}{\frac{m^2}{M^2} \frac{t^2}{2EJ} l^2}.$$

Подставив сюда выражение найденные выше значения t_1^2 и t_2^2 , получим

$$\kappa_{12} = \frac{A_2}{A_{12}} \approx \frac{3}{2}, \quad \kappa_{22} = \frac{A_2}{A_{12}} \approx -\frac{3}{2}.$$

Это означает характеристическую обобщенную форму (рис. 4.7, а, б). Как видно из рисунка, первая собственная форма характеризуется равномерным падением уровня изгиба гибкого стержня, а вторая форма — относительно побольшому притяжению конца.

Можно убедиться в ортогональности этих форм. Подставим в уравнение пропорциональности (4.60) $\alpha_1 = \pi$, $\alpha_2 = \pi/2$, в табл. значение коэффициента A_{12}/A_{11} , A_{22}/A_{12} . Тогда получим

$$\begin{aligned} m A_{11} A_{12} + m^2 A_{22} A_{12} &= \\ &= -m A_{12} A_{12} \left[1 + t^2 \frac{3}{2} \left(-\frac{2l}{M^2} \right) \right] = 0. \end{aligned}$$

Рис. 4.7
5. Роль начальных условий. Для определения 2x постоянных, входящих в общую формулу (4.65), воспользуемся значениями обобщенных координат $\varphi(0)$ и обобщенных скоростей $\dot{\varphi}(0)$ в момент $t = 0$. Подставим эти значения в общую формулу (4.65) и в соответствующие выражения для скоростей, получим систему уравнений относительно постоянных A_{12} и α_2 :

$$\begin{aligned} \varphi_1(0) &= \sum_{i=1}^k \kappa_{1i} A_{1i} \sin \alpha_i, \\ \dot{\varphi}_1(0) &= \sum_{i=1}^k \kappa_{1i} A_{1i} k_i \cos \alpha_i, \\ (i &= 1, 2, \dots, k). \end{aligned} \quad (4.66)$$

Соотношение между амплитудами гармонических составляющих A_{11} , A_{12} , ..., A_{1k} , входящих в закон изменения любой координаты φ_1 , зависит от начальных условий.

При произвольных начальных условиях изменение любой обобщенной координаты будет происходить по закону гармоническому закону, так что отношения между обобщенными координатами будут непрерывно меняться во времени. Но этот процесс экспериментальная запись (анализограммы, осциллограммы) реального процесса свободных колебаний, как правило, не представляет собой синусоиду, характерную для процесса свободных колебаний системы с одинаковой степенью свободы. Однако при специальном выборе начальных условий можно добиться того, что движение будет описываться только какой-либо одной, например t -й, составляющей:

$$\varphi_i = A_{1i} \sin (k_i t + \alpha_i) \quad (i = 1, 2, \dots, k). \quad (4.70)$$

В этом случае отношения между обобщенными координатами будут оставаться постоянными во времени и соответствуют t -й собственной форме. В частности, для реализации этого t -го гибкого изгибания достаточно, чтобы в начальный момент обобщенными скоростями равнялись нули, а обобщенным координатам были приданы значения, определяющие t -ю собственную форму.

Пример 4.5. Найти плавание системы, рассмотренной в примере 4.1, если состоящее равномерное вращение приводится к центру массы гибкого изгибаля S .

В данном случае начальные условия должны быть сформулированы следующим образом:

$$\varphi(0) = \Phi, \quad \dot{\varphi}(0) = \frac{B}{m}, \quad \ddot{\varphi}(0) = 0, \quad \dddot{\varphi}(0) = 0.$$

Общее решение имеет вид

$$\begin{aligned} \varphi &= A_{11} \sin (k_1 t + \alpha_1) + A_{12} \sin (k_2 t + \alpha_2), \\ \dot{\varphi} &= A_{11} \sin (k_1 t + \alpha_1) + A_{12} \sin (k_2 t + \alpha_2). \end{aligned}$$

Подставляя склоны подвижных в промежутке 4.5 отыскавшие амплитуды, получим

$$\begin{aligned} \varphi &= A_{11} \sin (k_1 t + \alpha_1) + A_{12} \sin (k_2 t + \alpha_2), \\ &\quad - \frac{3}{2} A_{11} \sin (k_1 t + \alpha_1) - \frac{2l}{M^2} A_{12} \sin (k_2 t + \alpha_2). \end{aligned}$$

Для определения четырех неизвестных A_{11} , A_{12} , α_1 , α_2 используем условия ниже начальных условий:

$$A_{11} \sin \alpha_1 + A_{12} \sin \alpha_2 = \Phi, \quad \frac{3}{2} A_{11} \sin \alpha_1 - \frac{2l}{M^2} A_{12} \sin \alpha_2 = 0,$$

$$A_{11} k_1 \cos \alpha_1 + A_{12} k_2 \cos \alpha_2 = \frac{B}{m}, \quad \frac{3}{2} A_{11} k_1 \cos \alpha_1 - \frac{2l}{M^2} A_{12} k_2 \cos \alpha_2 = 0$$

Система изолирована

$$A_{11} = \frac{\delta^2}{V\omega_0^2 EJ}, \quad A_{12} = \frac{\alpha \rho^2}{V\omega_0^2 EJ}, \quad a_1 = 0, \quad a_2 = 0.$$

Следовательно, движение описывается уравнением

$$\ddot{\psi} = \frac{\delta^2}{V\omega_0^2 EJ} \left[\frac{1}{V_0^2} \sin k_1 t + \frac{\alpha \rho^2}{V_0^2} \sin k_2 t \right],$$

$$\dot{\varphi} = \frac{\delta t}{V\omega_0^2 EJ} \left[\frac{V_0^2}{2} \sin k_1 t - \frac{\alpha \rho^2}{2} \sin k_2 t \right].$$

и имеет дурачественный характер.

6. Случай кратных и нулевых корней. До сих пор, говоря о корнях частотного уравнения, мы считали их простыми и не равными нулю. Однако в некоторых случаях частотное уравнение может иметь как нулевые, так и кратные корни.

Убедимся в возможности этого на примере механической системы с двумя степенями свободы. Из частотного уравнения (4.32) видно, что при выполнении равенства

$$(a_{11}c_{11} + a_{12}c_{12})^2 - 4(a_{11}c_{11} - c_{12}^2)(a_{12}c_{12} - c_{11}^2) = 0, \quad (4.71)$$

две корни частотного уравнения будут равны друг другу, а при выполнении равенства

$$c_{12}c_{21} = c_{11}^2 \quad (4.72)$$

одна из корней частотного уравнения обращается в нуль. Не следует думать, что равенства (4.71) или (4.72)



Рис. 4.8

выполнются при каких-то исключительных обстоятельствах; в действительности системы с кратными или нулевыми корнями нетривиальны довольно часто.

В качестве примера рассмотрим свободные колебания плоской системы с двумя степенями свободы, показанной на рис. 4.8. Обозначим через c_1 и c_2 коэффициенты жесткости

пружин, а через m и ρ — массу и радиус инерции тела относительно оси, проходящей вертикально через плоскость чертежа через центр тяжести. За обобщенные координаты примем горизонтальное перемещение центра тяжести тела ψ и угол поворота тела φ . Тогда кинетическая и потенциальная энергии запишутся в виде

$$T = \frac{\rho}{2} (\dot{\psi}^2 + \rho^2 \dot{\varphi}^2),$$

$$U = \frac{c_1}{2} (\psi + l_1 \varphi)^2 + \frac{c_2}{2} (\psi - l_2 \varphi)^2.$$

Соответственно этому уравнения Лагранжа примут форму

$$m\ddot{\psi} + (c_1 + c_2)\psi + (l_1 l_2 - c_1 l_2)\varphi = 0, \quad (4.73)$$

$$m\rho^2 \ddot{\varphi} + (c_1 l_1^2 + c_2 l_2^2)\varphi + (c_1 l_2 - c_2 l_1)\psi = 0.$$

Теперь предположим, что параметры рассматриваемой системы удовлетворяют двум простым (и реальным осуществимым) соотношениям:

$$c_1 l_1 = c_2 l_2, \quad \rho^2 = l_1 l_2 \quad (4.74)$$

тогда вместо полученных дифференциальных уравнений имеем

$$m\ddot{\psi} + (c_1 + c_2)\psi = 0, \quad (4.75)$$

$$m\rho^2 \ddot{\varphi} + (c_1 + c_2)\varphi = 0.$$

Следовательно, линейные коэффициенты и обобщенные коэффициенты жесткости в данном случае определяются формулами

$$a_{11} = a_{22} = m, \quad a_{12} = a_{21} = 0,$$

$$c_{11} = c_{22} = c_1 + c_2, \quad c_{12} = c_{21} = 0$$

и условие (4.71) выполняется, т. е. обе частоты рассматриваемой системы равны одна другой. Видим, это видно непосредственно из уравнений (4.75), так как

$$k_1 = k_2 = \sqrt{\frac{c_1 + c_2}{m}}.$$

Ввиду тождественности уравнений (4.75) постоянные интегрирования одного уравнения не связаны с постоянными

интегрирования другого уравнения:

$$\begin{aligned} y &= A_1 \sin(kt + \alpha_1), \\ \phi &= A_2 \sin(kt + \alpha_2). \end{aligned}$$

Для определения постоянных A_1 , A_2 , α_1 , α_2 служат четыре начальных условия.

В общей теории линейных дифференциальных уравнений установлено, что обычно (но не всегда) при кратных корнях характеристического уравнения и решении возникают слагаемые типа $t \sin kt$ и $t^2 \sin kt$, содержащие аргумент t в знаменателе тригонометрических функций; в наших задачах или корням соответствовали бы неравнозначные положения. Однако в рассматриваемых здесь случаях свободных колебаний консервативных систем такие слагаемые появляться не могут — это противоречило бы сохранению полной механической энергии (так бывает это относится к диссилиптивным системам).



x



Рис. 49

Простые примеры систем с одной пульской собственной частотой показаны на рис. 4.9, а, б. Подробнее остановимся на системе, изображенной на рис. 4.9, б и обозначенной: c — жесткость ядра по кручению*, J_1 , J_2 — моменты инерции дисков относительно продольной оси системы.

Принимая за обобщенные координаты углы поворота φ_1 и φ_2 дисков относительно некоторого начального положения (в этом положении вал не закручен), получим следующие выражения для кинетической и потенциальной энергии системы:

$$T = \frac{J_1 \dot{\varphi}_1^2}{2} + \frac{J_2 \dot{\varphi}_2^2}{2}, \quad \Pi = \frac{c(\varphi_2 - \varphi_1)^2}{2}.$$

Согласно этому уравнению Лагранжиан имеет вид

$$\begin{aligned} J_1 \ddot{\varphi}_1 - c(\varphi_2 - \varphi_1) &= 0, \\ J_2 \ddot{\varphi}_2 + c(\varphi_2 - \varphi_1) &= 0, \end{aligned} \quad (4.79)$$

* В сопротивлении материала учитывается; $c = GJ_0/l$, где G — модуль сдвига, J_0 — полный момент инерции ядра, l — длина вала.

7. в.

$$\begin{aligned} a_{11} &= J_1, \quad a_{21} = J_2, \quad a_{12} = a_{22} = 0, \\ c_{11} &= c_{22} = c, \quad c_{12} = c_{21} = -c. \end{aligned}$$

При этом выполняется условие (4.72) и одна из корней частотного уравнения равна нулю. Действительно, подставив найденные значения коэффициентов в частотное уравнение, получим

$$-(J_1 c + J_2 c) k^2 + J_1 J_2 k^4 = 0,$$

откуда

$$k_1 = 0, \quad k_2 = \sqrt{c \frac{J_1 + J_2}{J_1 J_2}}, \quad (4.77)$$

Для того чтобы понять физический смысл пульской частоты, вернемся к системе дифференциальных уравнений (4.78). Из гидродинамики известно, что они допускают не только частное решение колебательного типа

$$\begin{aligned} \varphi_1 &= A_1 \sin(kt + \alpha), \\ \varphi_2 &= A_2 \sin(kt + \alpha), \end{aligned} \quad (4.78)$$

но также частное решение вида

$$\varphi_1 = \varphi_2 = C_1 + C_2 t,$$

которое описывает равномерное вращение всей системы или ядра целиком (без сорвигания упругого вала). Этому частному решению и соответствует пульская корень частотного уравнения $k_1 = 0$.

Частному решению (4.78) соответствует отягнутая от ядра частота k_2 , данная в формуле (4.77), а также определенное отношение амплитуд колебательного движения

$$x_{12} = \frac{A_2}{A_1} = -\frac{J_1}{J_2}.$$

Таким образом, общее решение представляется в виде

$$\begin{aligned} \varphi_1 &= A_1 \sin(kt + \alpha) + C_1 + C_2 t, \\ \varphi_2 &= x_{12} A_1 \sin(kt + \alpha) + C_1 + C_2 t \end{aligned} \quad (4.79)$$

и содержит четыре постоянные: A_1 , α , C_1 и C_2 , определяемые из начальных условий.

Движение, записанное формулой (4.79), представляет собой колебания, наложенные на режим равномерного вращения.

7. г.

го пренебрежим. Чисто колебательную составляющую движение легко выделить путем выделения новой переменной

$$\varphi = \varphi_2 - \varphi_1,$$

которая представляет изменение угла наклона длины, т. е. угол закручивания вала. Если теперь записать уравнение (4.76) в виде

$$\ddot{\varphi}_1 - \frac{c}{J_1}(\varphi_2 - \varphi_1) = 0,$$

$$\ddot{\varphi}_2 + \frac{c}{J_2}(\varphi_2 - \varphi_1) = 0$$

и затем вычесть первое уравнение из второго, то получим одно дифференциальное уравнение для функции φ

$$\ddot{\varphi} + \left(\frac{c}{J_1} + \frac{c}{J_2} \right) \varphi = 0.$$

Отсюда видно, что колебания угла φ следуют одноточечному закону

$$\varphi = A \sin(\omega t + \alpha).$$

Можно сказать, что рассматриваемая система имеет одну степень свободы, которой соответствуют вращение системы как жесткого тела, и одну колебательную степень свободы. Аналогично, в более сложном случае, когда в валу сжатие с длиной, число колебательных степеней свободы равно $r - 1$.

7. Важным тряски. Дифференциальные уравнения движения изменяются, если учесть, что при колебаниях механической системы возникают силы тряски. В случае, когда они никак не зависят от скорости точки системы, дифференциальные уравнения движения вместо (4.4) примут вид

$$a_1 \ddot{q}_1 + a_2 \ddot{q}_2 + \dots + a_r \ddot{q}_r + b_{11} q_1 + b_{12} q_2 + \dots + b_{1r} q_r + \\ + c_{11} q_1 + c_{12} q_2 + \dots + c_{1r} q_r = 0 \quad (j = 1, 2, \dots, r) \quad (4.80)$$

или, в матричной форме,

$$[a] \{ \ddot{q} \} + [b] \{ q \} + [c] \{ q \} = 0, \quad (4.81)$$

где матрицы $[a]$ и $[c]$ определяются выражениями

(4.49) и (4.50), а

$$[b] := \begin{bmatrix} b_{11} & b_{12} & \dots & b_{1r} \\ b_{21} & b_{22} & \dots & b_{2r} \\ \vdots & \vdots & \ddots & \vdots \\ b_{r1} & b_{r2} & \dots & b_{rr} \end{bmatrix} \quad (4.82)$$

— матрица демпфирования.

Решение уравнений (4.80) следует исходить в форме, отличающейся от (4.27), а именно

$$q_j = A_j e^{\lambda_j t} \quad (j = 1, 2, \dots, r). \quad (4.83)$$

После подстановки (4.83) в (4.80) получается однородная система алгебраических уравнений относительно A_j , в матричной форме эта система имеет вид

$$([a]\lambda^2 + [b]\lambda + [c]) \{A\} = 0. \quad (4.84)$$

Для того чтобы все A_j однозначно вы обрелись в ходе, необходимо, чтобы различалась путь определяль системы (4.84); это приведет к характеристическому уравнению

$$\det([a]\lambda^2 + [b]\lambda + [c]) = 0. \quad (4.85)$$

Всем же элементам матрицы (4.82) положительные, то вещественные части всех корней характеристического уравнения — отрицательны. При этом среди корней уравнения (4.85) могут оказаться отрицательные вещественные корни, из которых согласно (4.83) соответствуют конечное затухающие движения механического характера. Наряду с этим среди корней могут оказаться и комплексные сопряженные корни пода $\lambda = -\alpha + i\beta$, $\lambda' = -\alpha - i\beta$ ($\alpha > 0$). Им соответствует затухающие колебательные движения, называемые изображением

$$q_j = e^{-\alpha t} (B_j \cos \beta t + C_j \sin \beta t). \quad (4.86)$$

Общее решение (4.80) получится как результат наложения всех частных решений.

Пример 4.8. Показанная на рис. 4.10 система состоит из изогнутого бруска массой m со скользящими грузами M и m , двух шариков R и S с коэффициентами демпфирования c_1 и c_2 и изогнутого элемента B , характеризующего коэффициентом жесткости k . Наши общий характер движения системы, который выражает эл-



Рис. 4.10

сам паруванням скосом відносини груза. Намагаючи δ статичні балансиробудівки.

Облаштуємо через x_1 і x_2 опорні точки відносини і груза від положення рівноваги. Тоді для елементів діївим

$$-c_1x_1 - b x_2 + c_2(x_2 - x_0) = 0, \quad (4)$$

для груза —

$$-c_2[x_2 - x_0] = m\ddot{x}_2. \quad (5)$$

Положини $x_1 = A_1e^{i\lambda t}$, $x_2 = A_2e^{i\lambda t}$, отримуємо одновідну систему

$$(c_1 + c_2 + 2\lambda)x_0 - c_2A_2 = 0; \quad -c_2A_2 + (c_2 + m\lambda^2)x_0 = 0.$$

Прирівнявши проінтегровані

$$\begin{vmatrix} c_1 + c_2 + \lambda & -c_2 \\ -c_2 & c_2 + m\lambda^2 \end{vmatrix} = 0,$$

представимо характеристичне уравнення

$$m\lambda^3 + m(c_1 + c_2)\lambda^2 + bc_2\lambda + c_1c_2 = 0. \quad (6)$$

К тому ж результату можна було дійти, якщо виключити координату x_1 из рівнянь (4) і (5) і записати уравнення третього порядку для x_2 :

$$m\ddot{x}_2 + mx_2 + c_2x_2 + bc_2x_2 + c_1c_2 = 0. \quad (7)$$

Соотвітсвівши кореням уравнення (6), розглянуту вище механічну систему можна назвати системою з 1/3 ступенем свободи. Представлена в цей раз число степенів свободи було задане А. А. Аргономом в приведених в міжнародних системах. В нашому варіанті достатньо було умісти відмінно в b , щоби система диференціальних уравнень имала обертальні діяльнісні, тобто механічна система обладнана діївими елементами свободи.

Среди коренів характеристичного уравнення (6) є трийма пари одинакових за величинами отриманих. Чтоби убратись від цього, розглянемо другу чисту уравнення. Для $\lambda = 0$ має, очевидно, ненулевий відмінно від нуля відповідний відповідний x_2 що становить отриманий. Слід відзначити, що такі супутні корені $\lambda_i = -a_i$ ($a_i > 0$).

После того як відібралося п'ять (для видалення додаткової чистої преселі), можна другу частину уравнення (6) розглядати за розміщені $\lambda = \lambda_i$ в різних положеннях та використовувати методи розв'язання. При цьому подібно до основних варіантів, в обидвох частинах видається, що $A_{20} = -a_0 \pm i\beta$ ($a_0 > 0$).

Таким чином, діївими групами означені виразами

$$x_2 = A_{20}e^{-a_0 t} + e^{-a_0 t}(A_{21}\sin \beta t + A_{22}\cos \beta t),$$

передбачають три постулати. Для яких належноїв треба викликати три відповідні рівняння, відповідності $x_1(0)$, $\dot{x}_1(0)$ і $\ddot{x}_1(0)$ в певному моменті времени. Останнім, що після виконання $x_1(0)$ можна ввести після — це відрізняється від співвідношення (4).

ГЛАВА II

ВІДБУДЖЕННІ ПОЛЕВАННЯ

§ 3. Ланцюгові системи з однією степенною свободи при відсутності тріння

1. Основне уравнення при силовому відбужданні. Розглянемо в главі I механічну систему характеризуючу діївими елементами та, як в аналогіях случаю динамічних сил. Ці сили не тільки впливають на діївність системи, але і самі управлюють її діївністю, посільки вони залежать від обобщених координат і обобщених скоростей.

Всі умови, які по видах, відносять відбуждання обирають супутніми сили, т. є. сили, які не відповідають, співідношенню заданим функціям времени і не залежать від діївністі системи. Колегіально, підівнімавши відбуждання сили, називають відбужданнями. Незалежно від фізическої природи відбуждання сили вони будуть називати за тою, що майданюють їх видах в виде якогото явної функції времени:

$$P_i = P_i(t), \quad (3.1)$$

де $i = 1, 2, \dots, n$ — порядковий номер матеріальної точки.

Всі механічні системи мають одну степень свободи в приложенні в точках системи північні сили задані в видах (3.1), то обобщенна відбуждання сила визначається за вираження зведенкої роботи

$$\delta A = \sum_{i=1}^n P_i \delta r_i = \sum_{i=1}^n P_i \frac{\partial r_i}{\partial t} \delta t, \quad (3.2)$$

в видах

$$Q(t) = \sum_{i=1}^n P_i \frac{\partial r_i}{\partial t}. \quad (3.3)$$

Составляем уравнение Лагранжа приводит вид (при отсутствии трения)

$$\frac{d}{dt} \left(\frac{\partial T}{\partial \dot{\varphi}} \right) - \frac{\partial T}{\partial \varphi} + \frac{\partial Q}{\partial \dot{\varphi}} = Q(\varphi), \quad (5.4)$$

Порядковые сюда выражения (1.4) и (1.8) для динамической и потенциальной энергии, приводим к дифференциальному уравнению задачи о вынужденных колебаниях

$$\ddot{\varphi} + \omega^2 \varphi = Q(t), \quad (5.5)$$

которое будем записывать в виде

$$\ddot{\varphi} + M^2 \varphi = \frac{Q(t)}{\omega}. \quad (5.6)$$

Здесь через $M^2 = \omega^2$ по-прежнему обозначена квадрат собственной частоты рассматриваемой системы.

Рассмотрим, например, действие горизонтальной силы $P(t)$ на маятник (рис. 5.1, а). Примем за обобщенную

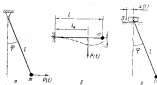


Рис. 5.1

координату угол φ отклонения маятника от вертикали и обозначим через m массу маятника, а через I — его момент инерции относительно оси вращения. Тогда при малых углах отклонения

$$T = \frac{m \dot{\varphi}^2}{2}, \quad U = \frac{mg^2 \varphi^2}{2}, \quad Q = P(t)I \quad (5.7)$$

и уравнение вынужденных колебаний (5.6) примет вид

$$\ddot{\varphi} + \frac{P(t)}{M} \varphi = \frac{P(t)}{M}, \quad (5.8)$$

Иногда удобнее составлять дифференциальное уравнение вынужденных колебаний по законами выше приведенному или обратному способом. Пусть, например, в точке $x = l_1$ балка приложена вынуждающая сила $P(t)$ (рис. 5.1, б); будем считать, что массой m были можно пренебречь по сравнению с массой M сопредотущенного груза, закрепленного на конце балки $x = l$. Для составления дифференциального уравнения колебаний удобно пользоваться обратным способом. Рассмотрим балку под действием силы $P(t)$ и силы инерции — $m\ddot{x}$, можем записать

$$y = P(t)\delta(l, l_1) - m\ddot{x}(l, l_1),$$

где $\delta(l, l_1)$ и $\delta(l, l)$ — соответствующие коэффициенты падения, определяемые методами теории сопротивления материалов.

$$\delta(l, l_1) = \frac{(M-l_1)^2}{8EI}, \quad \delta(l, l) = \frac{l^2}{8EI}.$$

Таким образом, дифференциальное уравнение колебаний груза записывается в виде

$$\frac{m\ddot{x}^2}{M} + y = \frac{P(t)(M-l_1)^2}{8EI}.$$

Вынужденные колебания балки возникнут и в том случае, когда вертикальная сила не меняется по модулю ($P = \text{const}$), но только ее направление изменяется вдоль балки. При этом обобщена l_1 , а вместе с этим и коэффициент падения $\delta(l, l_1)$ становятся функциями времени, так что дифференциальное уравнение примет вид (если $l_1 = \omega t$):

$$\frac{m\ddot{x}^2}{M} + y = \frac{P(M-\omega t)^2}{8EI}. \quad (5.9)$$

Решение этого уравнения мы пишем в примере 5.3.

2. Случай кинематического возбуждения. К дифференциальному уравнению (5.6) следится не только задачи о силовом возбуждении, но также задачи о кинематическом возбуждении, когда колебания маятниковой системы вызываются некоторым заданным (частицей, колебательным) движением каких-либо ее точек.

Так, например, если к грузу маятника не приложена сила, но ось шарнира обладает горизонтальной подвиж-

истою и в заданы колебания $x = x(t)$, то они вызывают подобание и самого маятника (рис. 5.1, а). Для того чтобы получить дифференциальное уравнение абсолютного движения, напишем (сравните с выражением (5.7)):

$$T = \frac{m(\dot{x} + \dot{\varphi})^2}{2}, \quad \Pi = \frac{m\dot{x}\dot{\varphi}}{2}, \quad Q = 0; \quad (5.10)$$

следовательно для угла φ следует уравнение Лагранжа

$$\ddot{\varphi} + \frac{I}{J} \dot{\varphi} = -\frac{\ddot{x}}{J}. \quad (5.11)$$

Как видно, оно совпадает с основным дифференциальным уравнением (5.8), составленным для случая гибкого подвешенного, если вместо начальной импульсующей силы $Q(t) = -m\ddot{x}$.

Возможно несколько иных трактовок этой задачи, если рассматривать движение маятника как сложное, состоящее из заданного поступательного вертикального движения вместе с ширинкой и некоторого относительного вращательного движения. Дифференциальное уравнение относительного движения следуют составить с учетом переносной силы инерции $-m\ddot{x}$, момент которой составляет $-m\ddot{x}\dot{\varphi}$. При этом придется уравнивать момента

$$-m\ddot{x}\dot{\varphi} = m\ddot{x}_\varphi, \quad (5.12)$$

которое совпадает с уравнением (5.11).

Формализм системы, изображенный на рис. 5.1, а, в, обладает различным числом степеней свободы, так как подобные системы на рис. 5.1, в, характеризуются двумя координатами — углом φ и линейным перемещением x . На координатах $x(t)$ задача, она же изображена, так что второй степенью свободы системы в сущности не обладает; координата φ задана, т. е. наклонной фиксированной плоскости, являющей только среду отслеживания x , как мы видели, для этого достаточно достаточно одного дифференциального уравнения (5.6).

Нельзя, в этой задаче попытаться спрятать в второе уравнение Лагранжа, содержащее выделение \dot{x} . Но такого уравнения определяется приведенная к ее ширинке сила, необходимая для создания заданного движения ширинки; ширинка, впрочем об определении этой силы не знает и не может.

На рис. 5.2 показаны способы примера системы с кинематическим возбуждением колебаний. В первом случае вертикальные колебания узкого подвешенного груза J вызываются гармоническими вертикальными колебаниями платформы P ; во втором случае крутильные колебания

диска J возникают из-за вращательных колебаний спортивного диска Z , которые здесь считаются заданными.

В подобных случаях удобнее составлять дифференциальные уравнения относительного движения груза, обозначенных на рисунках цифрами 1. Результаты решения такой задачи позволяют сразу определить усилия в других элементах.

Пример 5.1. Составить дифференциальное уравнение вертикальных колебаний узкого подвешенного груза при боковом относительном движении колеса по вертикальному участку пути (рис. 5.3). Профиль участка задан уравнением

$$y = h(1 - e^{-|x|}),$$

где h — радиус, к которому стремится выйти вершина; x — параметр, характеризующий профиль профиля. Кроме того, даны: m — масса груза, I — масса расстояния центра тяжести груза при его относительном вспомогательном движении, c — коэффициент восприятия узкого подвеса, v — постоянная горизонтальная скорость груза. Радиус колеса пренебречь.

Рассмотрим движение груза относительно приступательных движущихся осей 1, 2, которые вместо связей с центром колеса, Ось 2 связывает с вертикальной осью подвеса, а горизонтальную ось 1 проводят из центра профиля. Тогда при движении по вертикали абсолютная вертикальная координата маятника измеряется координатой y относительной координатной системы, определяемой выражением

$$y_1 = h(1 - e^{-|x|}) + l.$$

Подставляя сюда $x = vt$ в линии дифференцируем по времени, находим переносные вертикальные разности

$$x_{vt} = -h v^2 t^2 e^{-|vt|}$$

и подавшую силу инерции узкого подвешенного груза

$$F_x = m h^2 v^2 t^2 e^{-|vt|}.$$

Дифференциальное уравнение относительного движения груза имеет вид

$$\ddot{y} = -c\dot{y} + m h^2 v^2 t^2 e^{-|vt|}.$$

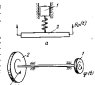


Рис. 5.2

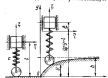


Рис. 5.3

правда это в форме (5.6), иначе

$$\ddot{q} + k^2 q = \frac{F}{m} \sin \omega t.$$

Решение этого уравнения сх. идем в примере 5.4 (стр. 694–695).

3. Действие гармонической вынуждающей силы. Обратим теперь к решению линейного дифференциального уравнения (5.6) в начальном виде случаю, когда обобщенная вынуждающая сила изменяется по гармоническому закону. Такова, например, переменная сила, передаваемая по фундаменту машины с периодическимением ротором (рис. 5.4). При заданном выборе начальных отсчета времени этот закон можно записать в виде

$$Q = H \sin \omega t,$$

где H и ω — амплитуда и частота вынуждающей силы. Следует иметь в виду, что во многих случаях (как и в случае показанный на рис. 5.6) амплитуда вынуждающей силы связана с ее частотой. Решение дифференциального уравнения

$$\ddot{q} + k^2 q = \frac{H}{m} \sin \omega t \quad (5.13)$$

состоит из двух частей: 1) решения однородного уравнения $\ddot{q} + k^2 q = 0$, в именно: $C_1 \sin kt + C_2 \cos kt$; 2) частного решения уравнения (5.13), которое при $m \neq 0$ имеет вид $A \sin \omega t$. Подставив это выражение в (5.13), найдем, что $A = \frac{H}{m(k^2 - \omega^2)} \sin \omega t$. Таким образом, решение уравнения (5.13) при произвольных начальных условиях имеет вид

$$q = C_1 \sin kt + C_2 \cos kt + \frac{H}{m(k^2 - \omega^2)} \sin \omega t.$$

В случае нуевых начальных условий, когда $q(0) = 0$, $\dot{q}(0) = 0$, получаем

$$C_1 = -\frac{\omega H}{m(k^2 - \omega^2)}, \quad C_2 = 0.$$

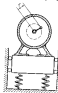


Рис. 5.4

Следовательно,

$$q = \frac{H}{m(k^2 - \omega^2)} \left(\sin \omega t - \frac{\omega}{k} \sin kt \right). \quad (5.14)$$

Полученное решение представляет разность двух гармонических составляющих с различными частотами. В действительности этот процесс можно наблюдать лишь в самом начале, так как неустойчивые при составлении уравнения силы тормозят появление затухающей колебаний с собственной частотой k (см. выше § 6). Поэтому по истечении некоторого времени колебания становятся практически моногармоническими с частотой ω .

Если частоты ω и k близки между собой, то колебание будет медленным, или же всегда при склонении двух гармонических колебаний (см. § 4, рис. 4.5); однако в этом случае в течение времени t постоянным (поступательным) движением одной из гармоник (с частотой k) движение будет все больше приближаться к моногармоническому с частотой ω .

Таким образом, наиболее существенная, стационарная часть процесса (устойчивых вынужденных колебаний) определяется первым членом выражения (5.14)

$$q = \frac{H}{m(k^2 - \omega^2)} \sin \omega t. \quad (5.15)$$

Амплитуда этих колебаний, происходящих с частотой ω , определяется выражением

$$A = \frac{H}{m(k^2 - \omega^2)} = \frac{H}{m - \omega^2}, \quad (5.16)$$

коэффициент которого (динамическая жесткость) характеризует эффективную жесткость системы при гармоническом возбуждении. Выражение $1/(m - \omega^2)$ определяет амплитуду вынужденных колебаний при единичной амплитуде вынуждающей силы (амплитудно-частотная характеристика, для обозначения которой в технической литературе пользуются обозначением АЧХ).

Выражение (5.16) можно предать вид

$$A = \bar{m}\omega.$$

Здесь

$$\bar{m} = \frac{1}{|1 - \omega^2/k^2|} \quad (5.17)$$

— коэффициент динамичности, показывающий, во сколь-

ко раз амплитуда установившихся вынужденных колебаний больше неравенства $\varphi_0 = H/c$, называемого статической предельной силой H . Для случая, когда H не зависит от ω , зависимость коэффициента динамичности от соотношения частот ω/k представлена графиком на рис. 5.5 (так называемая кривая).

Как видно, с возрастанием частоты ω от нуля коэффициент динамичности уменьшается и при $\omega/k \rightarrow \infty$ стремится к бесконечности. При дальнейшем возрастании

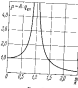


Рис. 5.5

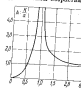


Рис. 5.6

частоты коэффициент динамичности постепенно убывает и при $\omega/k > \sqrt{2}$ становится меньше единицы; в этой области динамический эффект вынуждающей силы слабее, чем при ее статическом действии. Этим свойством часто пользуются в технике, а именно, для уменьшения колебаний объектов, подверженных действию гармонических вынуждающих сил, уменьшая частоту широких связей; при этом собственная частота уменьшается, а вместе с тем возрастает отношение ω/k . Нужно отметить, что согласно (5.13) при $\omega/k < 1$ перемещение находится в фазе с вынуждающей силой, а при $\omega/k > 1$ — в противофазе.

Если $H = K\omega^2$, где K — постоянная (например, в машинах с погружаемыми роторами $K = Mr$, где M — масса ротора, r — расстояние от центра тяжести), согласно формуле (5.16) амплитуда колебаний единичным образом связана с соотношением частот ω/k :

$$A = \frac{K}{4[1-k^2/\omega^2]}.$$

Соответствующая зависимость кривая показана на рис. 5.6. В отличие от резонансной кривой на рис. 5.5 при изограниченном возрастании частоты ω амплитуда колебаний стремится к нулю, а к значению H/k .

Особое состояние системы при $\omega = k$ называется резонансом; для этого состояния решением (5.14) является решение вида, так как оно было получено в предположении, что $\omega \neq k$. В рассматриваемом случае вместо (5.13) нужно вспоминать из дифференциального уравнения

$$\ddot{\varphi} + k^2\varphi = \frac{H}{c} \sin kt,$$

решение которого при пулевых начальных условиях имеет вид

$$\varphi = -\frac{H}{2k} [kt \cos kt - \sin kt].$$

Здесь нужно обратить внимание на появление членов $kt \cos kt$, содержащего время или знания косинуса, т. е. неограниченное возрастание по времени; этот член является резонансным (весьма). Ниже, в § 6, будет установлено, что сила трения ограничивает это возрастание, так что амплитуда колебаний остается конечной и при $t \rightarrow \infty$.

Пример 5.2. Едва ли скрециальная пребора

$$x_1 = A_1 \sin \frac{\pi t}{T} \quad (5)$$

(рис. 5.7) с постоянной горизонтальной скоростью v движется тяжелый подвешенный груз массы m . Определить избыточные коэффициенты коэффициента трения c , если требуется, чтобы амплитуда обобщенных колебаний груза не превышала 0,05А.

Положение в (5) $x = 0$, подъем ордината y показывает положение конца пружины и функцию времени:

$$y_1 = A_2 \sin \frac{\pi t}{T}.$$



Рис. 5.7

Обозначим через \bar{y} абсолютные вертикальные перемещения груза, соответствующие от равновесного уравнения, систему дифференциальное уравнение $-\bar{c}(y - y_0) = \bar{m}\bar{y}$, или

$$\bar{m}\ddot{y} + \bar{c}y = \bar{c}y_0.$$

Следовательно, что максимальная выпускающая сила составляет выражение (5.18) которого amplitude абсолютных колебаний групп:

$$\frac{A_0}{\left|1 - \left(\frac{\omega}{k}\right)^2\right|} = \frac{A_0}{\left|1 - \frac{\omega^2}{k^2}\right|},$$

которая по условиям задачи не должна превышать величины $0.05A_0$. Следовательно,

$$\frac{1}{\frac{\omega^2}{k^2} - 1} < 0.05,$$

т. е.

$$\omega < \frac{0.47\omega_0 k}{l}.$$

Пример 5.3. Для указанной предыдущего примера коррекции допустимые значения коэффициента жесткости k , если требуется, чтобы максимальная выпускающая сила в 10 раз меньше ее амплитуды, равна A_0 .

При прочих обстоятельствах наибольшая динамическая информация подается ради $A = A_0$, в наибольшем возможном количестве раз.

$$\epsilon(A = A_0) = \frac{\epsilon A_0}{\left|1 - \frac{\omega^2}{k^2}\right|}.$$

По условиям должно быть

$$\frac{\epsilon A_0}{\left|1 - \frac{\omega^2}{k^2}\right|} < 0.05\omega_0 k,$$

где $\omega = \omega_0 k$. Следовательно, что коэффициент жесткости должен быть либо достаточно велик, удовлетворяющим неравенству

$$\epsilon < \frac{\omega_0^2}{1 + 20.4\omega_0^2/k}.$$

(При любых начальных фазовых группах приблизительно $20.4\omega_0^2/k$, либо достаточно больших, удовлетворяющих неравенству

$$\epsilon > \frac{\omega_0^2}{1 + 20.4\omega_0^2/k}$$

(при $20.4\omega_0^2/k < 0$).

4. Действие произвольной выпускающей силы. Решение дифференциального уравнения (5.5) при произвольной правой части может быть получено с ис-

пользованием известного из курса математики метода вариации произвольных постоянных. Однако более изящен иной путь решения, к изложению которого мы и переключим.

Продолжим рассмотрение экспоненциальную задачу. Пусть в момент $t = t_0$ в показательной системе приложены обобщенные импульсы δ ; согласно (5.14) при $t > t_0$ решение имеет вид

$$q = q(t_0) \sin k(t - t_0) + \frac{i(t_0)}{k} \sinh k(t - t_0).$$

Входящие сюда значения обобщенной координаты и обобщенной скорости определяются после приложения импульса размы $\delta(t_0) = 0$, $q(t_0) = \frac{1}{k}$. Следовательно, движение описывается выражением

$$q = \frac{1}{k} \sinh k(t - t_0). \quad (5.18)$$

Функция

$$R(t, t_0) = \frac{\sinh k(t - t_0)}{k},$$

описывающая движение, вызываемое единичным импульсом, называется единичной реакцией системы.

Теперь будем рассматривать произвольную выпускающую силу $Q = Q(t)$ или бесконечную последовательность взаимоотносимых импульсов $Q(t_i)\delta t_i$, изображенных на рис. 5.8. Подставив в выражение (5.18) $\delta = -Q(t_i)\delta t_i$, мы найдем колебания, вызываемые действием одного из таких взаимоотносимых импульсов. Чтобы определить движение, которое описывается заданной силой, необходимо сложить влияния всех взаимоотносимых импульсов; таким образом, при нужных начальных условиях находим

$$q = \frac{1}{k} \int Q(t) \sinh k(t - t_0) dt. \quad (5.19)$$

Если кроме рассмотренной здесь силы $Q = Q(t)$ в заданные моменты времени t_1, t_2, \dots, t_n (здесь $t_n < t$) на-

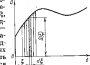


Рис. 5.8

систему действуют конечные моментные импульсы S_1, S_2, \dots, S_n , то вместо (5.19) будет

$$q = \frac{1}{\pi} \left[\int_0^t Q(\xi) \sin k(t-\xi) d\xi + \sum_{i=1}^n S_i \sin k(t-\xi_i) \right].$$

Наряду с (5.19) существует другой вариант решения, который иногда оказывается более удобным. Преобразование (5.19) с помощью правила интегрирования по частям

$$\int v dv = uv - \int u dv.$$

Полагая здесь $Q'(t) = u$ и $\sin k(t-\xi)d\xi = dv$, находим $du = Q'(\xi)d\xi$ и $v = \frac{1}{k} \cos k(t-\xi)$. Согласно (5.19) преобразуется в виду

$$q = \frac{1}{\pi k} \left[Q(\xi) \cos k(t-\xi) - \int Q'(\xi) \cos k(t-\xi) d\xi \right]_{\xi=0}^t = \\ = \frac{1}{\pi} \left[Q(t) - Q(0) \cos kt - \int Q'(\xi) \cos k(t-\xi) d\xi \right]. \quad (5.20)$$

Этим выражением можно пользоваться только в тех случаях, когда при $t > 0$ функция $Q(t)$ не имеет разрывов, т. е. производная $Q'(t)$ конечна во всем промежутке интегрирования.

Если сила $Q(t)$ простирает конечные разрывы $\Delta Q_1, \Delta Q_2, \dots, \Delta Q_n$ в заданные моменты времени t_1, t_2, \dots, t_n ($t_n < t$) (см. рис. 5.9), то вместо (5.20) будем иметь

$$q = \frac{Q(t)}{\pi} - \frac{1}{\pi} \int_0^t Q'(\xi) \cos k(t-\xi) d\xi - \\ - \frac{1}{\pi} \sum_{i=1}^n \Delta Q_i \cos k(t-t_i).$$

Рис. 5.9

Основанные на двух важных частных случаях.

1. Действие кратковременной силы. Пусть сила $Q = Q_0$ занесена непрерывно в момент $t = 0$, действует в течение малого промежутка времени t_s , а затем

занесено повторно (рис. 5.10). Если t_s меньше полуperiода свободных колебаний $T/2$, то наибольшее отклонение системы достигается после исчезновения силы. Тогда для $t > t_s$ согласно решению (5.19)

$$q = \frac{Q_0}{\pi k} \int_0^t \sin k(t-\xi) d\xi = \frac{Q_0}{\pi} \sin \frac{kt}{2} \sin k \left(t - \frac{t_s}{2} \right).$$

Наибольшее отклонение равно

$$q_{\max} = \frac{Q_0}{\pi} \sin \frac{kt_s}{2},$$

где $\omega = t_s/T$. Коэффициент динамичности, равный отношению q_{\max} к статическому перемещению $q_0 = Q_0/\omega$,

$$\mu = 2 \sin \frac{kt_s}{2},$$

определяется только значением ω (рис. 5.11) и не зависит от величины Q_0 .

Нужно заметить, что если постоянные силы действуют в течение малой доли периода свободных колебаний, то

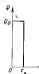


Рис. 5.10

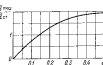


Рис. 5.11

действие такой силы во много раз меньше статического; например, при $t_s/T = 0.01$ можно найти $\mu = 0.062$ — динамический эффект в 16 раз меньше статического. Воздействие кратковременной силы определяется не столько ею самой, сколько значением ее импульса. В самом деле,

$$q = \frac{1}{\pi k} \int_0^t Q(\xi) \sin k(t-\xi) d\xi = \\ = \frac{1}{\pi k} \left[\sin kt \int_0^t Q(\xi) \cos k\xi d\xi - \cos kt \int_0^t Q(\xi) \sin k\xi d\xi \right]. \quad (5.21)$$

В гл. I, § 10

Так как $M_0^2 = \frac{2\pi}{T} \frac{v}{c}$ меньше, чем величина $\frac{2\pi}{T} v_0^2$, которую здесь следует считать малой, то M_0^2 — малое число. Поэтому можно принять что $M_0^2 = 0$, сю $M_0^2 = 1$ и вместо (5.21) получим



$$q = \frac{\sin k t}{k}, \quad Q(0) d_k^2 = \frac{\sin k t}{k},$$

где $S = \int_0^t Q(0) d_k^2$ — импульсные силы.

Таким образом, движение приближенно определяется импульсом кратковременной силы, под действием ее изменения в промежутке времени t_0 мало влияют на результаты вычислений.



Рис. 5.12. 1. Действие линейного в

2. Всплеск всплеска в времени силы $Q(t) = \beta t$ ($t \geq 0$);

здесь β есть скорость изменения силы (рис. 5.12, а). По формуле (5.20) находим

$$q = \frac{1}{c} \left[\beta t - \int_0^t \cos k(t - \tau) d_k^2 \right] = \frac{\beta t}{c} - \frac{\beta}{ck} \sin kt,$$

График движения показан на рис. 5.12, б и выражает сумму линейного и спускающегося слагаемых. Линейное слагаемое предполагает изменение обобщенной координаты, рассчитанное в предположении бесконечности системы (математическое дробление), а спускающееся слагаемое отражает колебательную часть решения; амплитуда этих колебаний, равная β/ck , увеличивается с возрастанием скорости изменения силы β .

Пример 5.4. Найти относительные колебания груза в системе, рассмотренной выше в примере 5.1 (стр. 96—105).

Изменение движения должно быть найдено путем решения дифференциального уравнения, составленного выше в примере 5.1. Но из-за этого уравнения видно, что вынуждающая сила (то есть переносная сила инерции) равна

$$Q(t) = m \ddot{x}_0 \delta_{00} \sin \omega t,$$

Подставив это выражение в равнение (5.13), находим

$$\ddot{x} = k \frac{v^2 \omega^2}{k^2 + v^2 \omega^2} \left(e^{-\imath \omega t} + \frac{v \omega}{k} \sin \omega t - \cos \omega t \right),$$

При додаточном большом значении времени можно пренебречь первым членом в скобках и рассматривать только процесс установившихся колебаний:

$$\ddot{x} = k \frac{v^2 \omega^2}{k^2 + v^2 \omega^2} \left(\frac{v \omega}{k} \sin \omega t - \cos \omega t \right).$$

Амплитуда этих колебаний равна

$$A = k \left(\frac{v \omega}{k} \right)^2 / \sqrt{1 + \left(\frac{v \omega}{k} \right)^2}.$$

В случае, если $v \omega < k$ (что соответствует реальным условиям), находим

$$A = \left(\frac{v \omega}{k} \right)^2 k,$$

т. е. амплитуда относительных колебаний пропорциональна квадрату скорости v^2 .

Пример 5.5. Найти движение груза, находящегося на конце консольной балки, если сила P сохраняет постоянное значение, но точка ее приложения движется от левого конца балки вправо с постоянной скоростью v (рис. 5.13, а).

Дифференциальное уравнение движения груза было получено выше в виде (5.3), т. е.

$$\ddot{x} + \omega^2 y = \frac{P v^2 (M - m)}{2 m k^2},$$

где $M^2 = 3 M_0^2 / m^2$. Согласно (5.13) находим при $t < 0$:

$$y = \frac{1}{m k^2} \int_0^t \frac{P v^2 (M - m)}{2 m k^2} \sin k(t - \tau) d\tau,$$

или, после вычислений,

$$y = \frac{P v^2}{2 m k^2 M^2} \left[-v^2 t^2 + 2 M^2 + \frac{6}{M^2} (M - 1 + t \cos kt) - \frac{6v}{M^2} \sin kt \right].$$

Для вертикальной скорости груза находим

$$\dot{y} = \frac{P v^3}{2 m k^2 M^2} \left[2 M - v^2 t^2 + \frac{6v}{M^2} \left(1 - \frac{M}{v} \sin kt \right) - \cos kt \right],$$

Полученные выражения можно представить следующую форму:

$$\begin{aligned} x &= p_{ct} \left[\frac{\omega^2 - \tau^2}{2} + \frac{3}{4\pi} (\tau - 1 + \cos \alpha) - \frac{3}{\pi^2} \sin \alpha \right], \\ y &= q_{ct} \left[\frac{3(2\tau - \tau^2)}{2\pi} + \frac{3}{\pi^2} (1 - \cos \alpha - \sin \alpha) \right]. \end{aligned}$$

При $\tau = P/(im\omega)$ — простой частоте балки при статическом действии приложенной из конца силы P , $m = M/l$ и $\tau = t/T$ — безразмерные параметры, и можно видеть, когда сила сходит с балки, $\tau = 1$ и мы получим

$$\begin{aligned} x_1 &= p_{ct} \left[1 + \frac{3 \cos \alpha - \sin \alpha}{\pi^2} \right], \\ y_1 &= \frac{3q_{ct}}{\pi^2} \left[\frac{\omega^2}{2} + 1 - \cos \alpha - \sin \alpha \right]. \end{aligned}$$

Так как в момент исчезновения силы колебания балки x и скорость \dot{x} блоков не претерпевают, то последующие движение системы будут производиться по закону свободных колебаний

$$V = p_1 \cos \delta Q + \frac{p_1}{T} \sin \delta Q.$$

(с корнем времени t от момента, когда сила сходит с балки). Наибольшее отклонение составляет

$$x_{\max} = \sqrt{p_1^2 + \left(\frac{p_1}{T}\right)^2}.$$

Выполнения показывают, что это максимум превышает значение статической прогиба не более чем на 14–15 %.

5. Действие периодической вынуждающей силы. Во многих технических приложениях возникает задача



Рис. 5.13

о колебаниях, вызываемых действием периодической, но периодической силы (рис. 5.13)

$$Q(t) = Q(t+T), \quad (5.22)$$

где T — период изменения силы. На стр. 107 в связи со случаем гармонического возбуждения колебаний было отмечено, что вследствие неизбежных сопротивлений постепенно исчезают колебания, происходящие с собственной частотой, и можно принять, что по истечении некоторого времени обобщенная координата меняется в притом изменении вынуждающей силы по закону (5.15). Те же соображения позволяют и в рассматриваемом здесь случае периодического возбуждения ограничиться учетом только устанавлившихся вынужденных колебаний. Для решения этой задачи можно воспользоваться двумя путями.

Первый из них основан на разложении функции (5.22) в ряд Фурье:

$$Q(t) = \frac{a_0}{2} + \sum_{n=1}^{\infty} (G_n \cos n\omega t + H_n \sin n\omega t), \quad (5.23)$$

коэффициенты которого определяются формулами

$$G_n = \frac{2}{T} \int_0^T Q(t) \cos n\omega t dt, \quad H_n = \frac{2}{T} \int_0^T Q(t) \sin n\omega t dt \quad (5.24)$$

$$(n = 0, 1, 2, \dots).$$

Записав уравнение (5.5) в виде

$$\ddot{x} + \omega^2 x = \frac{a_0}{2} + \sum_{n=1}^{\infty} (G_n \cos n\omega t + H_n \sin n\omega t),$$

учтем, что система линейна; это значит, что можно рассмотреть по отдельности действие каждого из слагаемых вынуждающей силы и найти устанавливающиеся вынужденные колебания, а затем складывать полученные результаты:

$$q = \frac{1}{c} \left[\frac{a_0}{2} + \sum_{n=1}^{\infty} \frac{G_n \cos n\omega t + H_n \sin n\omega t}{1 - n^2 \omega^2 / \Omega^2} \right]. \quad (5.25)$$

Таким образом, движение, вызываемое полигармонической вынуждающей силой, также является полигармоническим. Конечно, отношение между амплитудами гармоник этого движения не равно отношениям между амплитудами соответствующих гармоник вынуждающей силы; в частности, может случиться, что наименьшие n -и

составляющая выпущающей силы с относительно небольшой амплитудой называетя особенно начальными колебаниями. Это будет тогда, когда частота по этой гармонике близка к собственной частоте Λ , так как при этом амплитуда соответствующего члена суммы (5.23) близка к нулю. При разности частот $\omega - k$ наступает резонанс (за исключением случаев, когда соответствующие величины C_0 и S_0 равны нулю).

Описанный способ отнюдь не является оптимальным для различных режимов, но он очень удобен, так как приводит в бесконечном ряду, некоторые из членов которого не всегда достаточно быстро сходятся.

Рассмотрим теперь иной способ, который приводит к замкнутому выражению для установившихся выпущдающих колебаний. Рассматривая действие гармонической силы (5.22), будем рассматривать решение $q = q(t)$, имеющее тот же период T , что и у силы, т. е. оно должно удовлетворять условию гармоничности:

$$\dot{q} = q(0) = q(T), \quad \ddot{q} = \ddot{q}(0) = \ddot{q}(T), \quad (5.26)$$

где q и \dot{q} — обобщенная координата и обобщенная скорость в момент, принятый за начало отсчета времени t . Движение в интервале $[0, T]$ описывается выражением

$$q = q_0 \cos kt + \frac{q_0}{k} \sin kt + \frac{1}{ak} \int_0^T Q(\xi) \sin k(t - \xi) d\xi, \quad (5.27)$$

которое является обобщением решения (5.19) на случай ненулевых начальных q_0 и \dot{q}_0 .

Для дальнейшего необходимо образовать выражение обобщенной скорости \dot{q} . При дифференцировании по времени T выражения, входящего в (5.27), должно получиться два слагаемых: первое представляет производную по времени пределу T и равно политеинеральной функции при $\xi = T$, а второе — результат дифференцирования по t , содержащую как параметр под знаком интеграла. Но первое из этих слагаемых равно нулю и, таким образом,

$$\dot{q} = -q_0 k \sin kt + \dot{q}_0 \cos kt + \frac{1}{a} \int_0^T Q(\xi) \cos k(t - \xi) d\xi, \quad (5.28)$$

Для момента времени $t = T$ выражения (5.27) и (5.28) дают

$$q(T) = q_0 \cos kT + \frac{q_0}{k} \sin kT + \frac{1}{ak} \int_0^T Q(\xi) \sin k(T - \xi) d\xi, \quad (5.29)$$

$$\dot{q}(T) = -q_0 k \sin kT + \dot{q}_0 \cos kT + \frac{1}{a} \int_0^T Q(\xi) \cos k(T - \xi) d\xi.$$

Теперь instead окончательное обозначение для постоянных величин:

$$\int_0^T Q(\xi) \cos k\xi d\xi = C_0, \quad \int_0^T Q(\xi) \sin k\xi d\xi = S_0, \quad (5.30)$$

и перепишем выражение (5.29) в виде

$$\begin{aligned} q_0 &= q_0 \cos kT + \frac{q_0}{k} \sin kT + \frac{\sin kT}{ak} C_0 - \frac{\cos kT}{ak} S_0, \\ \dot{q}_0 &= -q_0 k \sin kT + \dot{q}_0 \cos kT + \frac{\cos kT}{a} C_0 + \frac{\sin kT}{a} S_0. \end{aligned} \quad (5.31)$$

В левых частях этих соотношений заменим $q(T)$ на $\dot{q}(T)$ и $\dot{q}(T)$ на \dot{q}_0 , так что следует из условия периодичности решения (5.28). Для сокращения (5.31) представляют собой простую систему двух алгебраических уравнений относительно неизвестных q_0 и \dot{q}_0 : решив ее, находим

$$q_0 = \frac{1}{2ak} \left[C_0 \operatorname{ctg} \frac{kT}{2} + S_0 \right], \quad \dot{q}_0 = \frac{1}{2a} \left[S_0 \operatorname{ctg} \frac{kT}{2} - C_0 \right]. \quad (5.32)$$

Теперь с помощью выражения (5.27) можно окончательно получить

$$\begin{aligned} q(t) &= \frac{1}{2} \left[\left(C_0 \operatorname{ctg} \frac{kT}{2} + S_0 \right) \cos kt + \right. \\ &\quad \left. + \left(S_0 \operatorname{ctg} \frac{kT}{2} - C_0 \right) \sin kt + 2 \int_0^t Q(\xi) \sin k(t - \xi) d\xi \right]. \end{aligned} \quad (5.33)$$

Это решение представляет движение в промежутке времени $[0, T]$, и в него нельзя формально продолжить $t > T$. Однако, измени график $q(t)$ для $0 \leq t \leq T$, можно

Вследствие периодичности решений без особых изысканий считать это в сопоставе промежутки $[T, 2T]$, $[2T, 3T]$, ...

Пример 5.3. Найти уравнение колебаний консервативной, изолированной в замкнутой системе с одной степенью свободы



Рис. 5.15

Периодический пульсирующий изолированный закон $Q(t+T) = Q(t)$ (рис. 5.14):

$$Q(t)=Q_0 \text{ при } 0 < t < \frac{T}{2}, \quad Q(t) = -Q_0 \text{ при } \frac{T}{2} < t < T.$$

Пользуясь разложением в ряд Фурье, по формулам (5.24) находим

$$B_n = 0 \quad (n = 0, 1, 2, 3, \dots);$$

$$B_0 = \frac{4Q_0}{\pi n} \quad (n = 1, 3, 5, \dots); \quad B_n = 0 \quad (n = 2, 4, 6, \dots),$$

и согласно (5.25) последовательные колебания представляются суммой нечетных гармоник:

$$q = \frac{4Q_0}{\pi n} \sum_{k=1,3,5,\dots}^{\infty} \frac{\sin k\omega t}{k^2 - (n\omega)^2}.$$

При $k\omega = n$ ($n = 1, 3, 5, \dots$) появляются резонансы.

Беспыльными такие виды колебаний решения. Для этого предпримем вычисления по формулам (5.20):

$$C_0 = \frac{2Q_0}{k} \sin \frac{kT}{2} \left(1 - \cos \frac{kT}{2} \right), \quad D_0 = -\frac{2Q_0}{k} \cos \frac{kT}{2} \left(1 - \cos \frac{kT}{2} \right).$$

Тогда выражение (5.23) примет вид

$$\begin{aligned} r &= \frac{Q_0}{k} \left(1 - \cos kt - \frac{kT}{4} \sin kt \right) \quad \left(0 < t < \frac{T}{2} \right), \\ q &= -\frac{Q_0}{k} \left[1 - \cos k \left(t - \frac{T}{2} \right) - \frac{kT}{4} \sin k \left(t - \frac{T}{2} \right) \right] \\ &\quad \left(\frac{T}{2} < t < T \right). \end{aligned}$$

Как видно, этот результат значительно более удобен для последующих вычислений, чем ряд, полученный выше по первому способу. Отметим, что в этой записи сразу можно видеть практическое значение выражения $kT/4 = \pi/2$ ($n = 1, 3, 5, \dots$).

Пример 5.4. Найти наибольшее отклонение замкнутой системы с одной степенью свободы от положения равновесия, если на нее действует гармоническое под воздействием односторонних поперечных нагрузок, имеющих вид S , имеющие период чередования T , здесь $\min S = 0$, $\max S = S_0$.

В данном случае разложение в ряд вообще неэффективно из-за его медленной сходимости. Выполним это иным способом

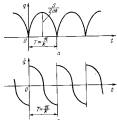


Рис. 5.16

решения и примем за начало отсчета времени момент, когда действует единственный из моментов времени из каждого-либо контура. По формуле (5.20) найдем

$$C_0 = S_0, \quad D_0 = 0.$$

Кроме того, в данном случае

$$\int Q(t) \sin k(t - \tau) dt = S \sin kt.$$

Подставляя это в выражение (5.23) и учитывая, что $kT = \pi$, получим

$$q(0) = \frac{S \sin(\pi/2)}{2\pi k}.$$

Наибольшее отклонение равно $S\sqrt{1/k}$, т. е. квадрат корня из S , так как в других выражениях оно выражено в квадрате. График движения показан на рис. 5.16, а. На графике спектра (рис. 5.16, б) можно видеть разрывы спектра, обусловленные вращением контуров.

§ 6. Системы с одной степенью свободы при наличии линейной восстанавливающей силы и трения

Влияние трения на вынужденные колебания, происходящие вдали от резонансных режимов, обычно незначительно и в практических расчетах им чаще всего пренебрегают. Однако müssen различать учет трения становится необходимым; без этого ошибки в определении амплитуд вынужденных колебаний становятся подчас чрезвычайно большими.

При произвольно заданной вынуждающей силе анализ колебаний относительно прост при условии, что трение в системе — линейное. Значительное сложение исследование колебаний систем с нелинейным трением — даже в простейших случаях часто гармонической вынуждающей силы приводится доводиться лишь приближенными решениями.

1. Действие гармонической вынуждающей силы. Если трение в системе линейное, то в случае вынужденных колебаний дифференциальное уравнение (3.6) должно быть дополнено членом, выражющим действие вынуждающей силы; здесь примем ее в виде

$$Q(t) = H \sin \omega t, \quad (6.1)$$

так что получим

$$a\ddot{q} + b\dot{q} + cq = H \sin \omega t. \quad (6.2)$$

Введем прежние обозначения

$$k = \frac{b}{2a}, \quad k^2 = \frac{c}{a}, \quad (6.3)$$

придадим к уравнению в следующей форме:

$$\ddot{q} + 2b\dot{q} + k^2 q = \frac{H}{a} \sin \omega t. \quad (6.4)$$

Его общее решение имеет вид

$$q = e^{-kt} (C_1 \sin k_0 t + C_2 \cos k_0 t) + \\ + \frac{H}{a \sqrt{(k^2 - \omega^2)^2 + 4b^2 \omega^2}} \sin (\omega t - \psi), \quad (6.5)$$

где

$$k_0 = \sqrt{k^2 - \omega^2} \quad (6.6)$$

есть частота затухающих колебаний системы, а угол ψ , характеризующий отставание фазы перемещения от фо-

зы силы, определяется выражением

$$\tan \psi = \frac{2b\omega}{k^2 - \omega^2}; \quad (6.7)$$

постоянные C_1 и C_2 находятся из начальных условий.

Первая часть полученного решения представляет собой колебания с частотой k_0 , которые с течением времени затухают и вскоре после начала процесса становятся

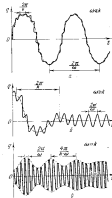


Рис. 6.1

практически несущественными. Основное значение имеет вторая часть общего решения

$$q = \frac{H}{a \sqrt{(k^2 - \omega^2)^2 + 4b^2 \omega^2}} \sin (\omega t - \psi), \quad (6.8)$$

описывающая затухающие установившиеся колебания, происходящие с частотой вынуждения.

Поступательное установление стационарного колебательного процесса с частотой ω иллюстрировано на рис. 6.1 для трех случаев (рис. 6.1, а), когда $\omega \ll k$, в начале движения основные колебания частоты ω сопровождаются затухающими колебаниями более высокой частоты. В противоположном случае, когда $\omega \gg k$ (рис. 6.1, б) из общей колебания с частотой ω выделяются затухающие колебания с меньшей частотой k . Наконец, при близких значениях частот k и ω движение имеет характер биений, потому постепенно затухают (рис. 6.1, в).

Амплитуда устанавливающихся колебаний определяется выражением

$$A = \frac{\bar{F}}{\sqrt{(\bar{F}^2 - \omega^2)^2 + \omega^2 k^2}} = \frac{\bar{F}}{\sqrt{(1 - \frac{\omega^2}{k^2})^2 + \frac{4\omega^2 k^2}{\bar{F}^2}}}. \quad (6.2)$$

Отношение амплитуды A к статическому перемещению $q_0 = \bar{F}/k$ равно

$$\mu = \frac{1}{\sqrt{(1 - \frac{\omega^2}{k^2})^2 + \frac{4\omega^2 k^2}{\bar{F}^2}}}, \quad (6.10)$$

и представляет собой коэффициент динамичности. Зависимость коэффициента динамичности от отношения частот ω/k показана на рис. 6.2, а для различных значений $2\pi/k$, характеризующих демпфирующее действие либо бояка, либо трения; эти графики дополнены рис. 6.2, б, который относится к системам без трения.

Минимумы кривых $\mu(\omega/k)$ лишь незначительно смещены влево от значения $\omega/k = 1$; поэтому различные значения динамического коэффициента обычно определяют при $\omega = k$ по выражению

$$\mu_{\text{рас}} = \frac{k}{\bar{F}}. \quad (6.11)$$

Согласно (2.12) это значение выражается через логарифмический динометр:

$$\mu_{\text{рас}} = \frac{x}{X}. \quad (6.12)$$

Иногда различное значение коэффициента динамичности называют добробытостью системы: чем больше добробытость, тем острее реинициальный пик.

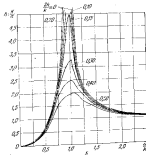
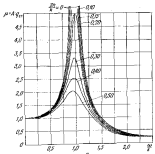


Рис. 6.2

В этом параграфе мышь предполагается, что амплитуда вынуждающей силы имеет заданное постоянное значение, но зависящее от частоты ω . Если амплитуда H вынуждающей силы пропорциональна квадрату частоты ($H = K\omega^2$), то, подобно (6.9), находим

$$A = \frac{K\omega^2}{\omega^2 \sqrt{\left(1 - \frac{\omega^2}{k^2}\right)^2 + \frac{4K^2\omega^2}{k^2}}} \quad (6.13)$$

На рис. 6.2, б показаны графики зависимости относительной амплитуды A_0/K от частоты ω/k при различных значениях отношения $2k/k$.

Пример 6.1. Вертикальная вынуждающая сила (6.1) действует на тело массы m , которое входит в систему пружин и демпферов (рис. 6.3, а); c — коэффициент жесткости системы пружин; b — коэффициент вязкости демпферов. Определить

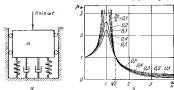


Рис. 6.3

амплитуду силы, передаваемой по основанию пружинами и демпферами при установившихся вынужденных колебаниях системы. Весовая сила, передаваемая по основанию, обозначим как разностью

$$N = kq + cq,$$

в которой q — вертикальное перемещение тела, считающееся от основания (раздел III).

Подставляя сюда согласно (6.8) — (6.10)

$$q = \frac{\mu H}{c} \sin(\omega t - \psi),$$

получим после замены $\bar{k} = 2k/c^2$

$$N = \mu H \left[\sin(\omega t - \psi) + \frac{2k\omega}{c^2} \cos(\omega t - \psi) \right].$$

Максимальное значение силы N равно

$$N_{\max} = \mu H \sqrt{1 + \frac{4k^2\omega^2}{c^4}}.$$

Более подробные описания N_{\max}/H , называемые коэффициентом передачи силы, определяют, во сколько раз наибольшая сила, передаваемая основанию, больше амплитуды заданной вынуждающей силы, или равна

$$\mu_s = \frac{N_{\max}}{H} = \mu \sqrt{1 + \frac{4k^2\omega^2}{c^4}} = \sqrt{\frac{1 + \frac{4k^2\omega^2}{c^4}}{\left(1 - \frac{\omega^2}{k^2}\right)^2 + \frac{4k^2\omega^2}{c^4}}}.$$

На рис. 6.3, б изображен график зависимости коэффициента передачи силы от отношения ω/k при различных значениях $2k/c$. Помимо заметить, что все кривые, независимо от коэффициента жесткости k , пересекаются в точке с координатами $(2k/c, 1)$; при $\omega/k < 1/2$ кривые демпферов способствуют снижению силы, передаваемой на основание, а при $\omega/k > 1/2$ (как это бывает в реальных электромеханических системах) — эту силу увеличивают.

2. Действие производящей вынуждающей силы. В общем случае, когда вынуждающая сила представлена собой произведение заданной функции времени $Q(t)$, следует исходить из дифференциального уравнения

$$m\ddot{q} + b\dot{q} + cq = Q(t), \quad (6.14)$$

общее решение которого можно получить способом, которым мы пользовались в § 5 при выводе формулы (5.19).

Пусть в системе в момент $t = 0$ приложится импульсный импульс передачи S . Последующий процесс представляют собой затухающие колебания, сопровождаемые вынуждением (2.9). Постановка A в (6.14) определяется из условия в начале движения, — при $t = 0$ должно быть $q = 0$ и $\dot{q} = S/m$:

$$A = \frac{S\dot{q}_0}{m}, \quad a = -k_s.$$

Таким образом, движение, вызванное однократным импульсом, описывается законом

$$q = \frac{S e^{-k_s t}}{m k_s} \sin k_s(t - b). \quad (6.15)$$

Рассматривая вынуждающую силу как последовательность элементарных импульсов $Q(t)dt$, к интегриру-

(6.15), получим для пульсовых начальных условий решение

$$q = \frac{1}{\omega} \int_0^t Q(\xi) e^{-i(t-\xi)} \sin k_s(t-\xi) d\xi. \quad (6.16)$$

В некоторых случаях удобно пользоваться решением в этом виде, подобное выражению (5.20). Если функция $Q(t)$ дифференцируема, то получим, как в § 5, получим

$$\begin{aligned} q = & \frac{1}{\omega} \left\{ Q(0) - Q(0) e^{-i t} \left(\cos k_s t + \frac{i}{k_s} \sin k_s t \right) - \right. \\ & \left. - \int_0^t Q'(\xi) e^{-i(t-\xi)} \left[\cos k_s(t-\xi) + \frac{i}{k_s} \sin k_s(t-\xi) \right] d\xi \right\}. \quad (6.17) \end{aligned}$$

Если же сила $Q(t)$ претерпевает конечные разрывы $\Delta Q_1, \Delta Q_2, \dots$ в заданные моменты времени t_1, t_2, \dots , то

$$\begin{aligned} q = & \frac{1}{\omega} \left\{ Q(0) - \right. \\ & - \int_0^t Q(\xi) e^{-i(t-\xi)} \left[\cos k_s(t-\xi) + \frac{i}{k_s} \sin k_s(t-\xi) \right] d\xi - \\ & \left. - \sum_{i=1}^r \Delta Q_i e^{-i(t-t_i)} \left[\cos k_s(t-t_i) + \frac{i}{k_s} \sin k_s(t-t_i) \right] \right\}. \quad (6.18) \end{aligned}$$

Пример 6.1. Найти колебание системы, имеющее действительные характеристики по времени синус, график которой показан на рис. 6.12, а, учитывая начальное состояние, характеризуемое коэффициентом i_0 .

В данном случае удобно воспользоваться решением в форме (6.17). Подставляем $\hat{\psi} = \lambda$, находим

$$q = \frac{p}{\omega} = \frac{p e^{-i t} \sin k_s t}{\omega k_s}$$

Колебания колебания запрещают и движение приближаются к движению изолированной батарейной системы $v = 50V$ (рис. 6.4).

3. Действие периодической причудливой силы. Если сила задана в виде периодической функции времени периода T , то, как и в § 5 п. 3, называемые со установившими

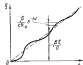


Рис. 6.4

шими вынужденные колебания можно найти двумя способами.

Чтобы этого избежать из тела, что периодическую функцию $Q(t)$ можно разложить в ряд Фурье в виде суммы простых дampeding, вычисление которых из гармоники. Тогда на основе решения (6.8) можно, подобно (5.23), записать для установившихся колебаний

$$q = \frac{1}{\omega} \left[\frac{a_0}{2} + \sum_{n=1}^{\infty} \frac{a_n \cos(n\omega t - \gamma_n) + b_n \sin(n\omega t - \gamma_n)}{\sqrt{\left(1 - \frac{n^2 \omega^2}{k^2}\right)^2 + \frac{4 I^2 n^2}{k^2}}}. \quad (6.19) \right]$$

Безусловно, изложенных выше в связи с выражением (5.25), здесь обозначено:

$$a_n \gamma_n = \frac{2 I a_n}{\omega^2 - n^2 \omega^2}. \quad (6.20)$$

Как уже указывалось, ряд (6.19) иногда считают достаточно быстро и для достаточно точного написания решения проходит упрощение стационарного числа членов ряда. От этого недостатка способен другой способ, который основан на сущности периодичности установившихся процессов движения.

Примем некоторый момент за начало отсчета времени и обозначим, как обычно, q_0 — начальное значение обобщенной координаты, \dot{q}_0 — начальное значение обобщенной скорости. Тогда, подобно (5.27) и (5.28), найдем

$$\begin{aligned} q = & e^{-i t} \left(\frac{i_0 + \dot{q}_0}{k_s} \sin k_s t + q_0 \cos k_s t \right) + \\ & + \frac{1}{\omega k_s} \int_0^t Q(\xi) e^{-i(t-\xi)} \sin k_s(t-\xi) d\xi, \\ \dot{q} = & e^{-i t} \left(-\frac{i^2 i_0 + \dot{q}_0}{k_s} \sin k_s t + \dot{q}_0 \cos k_s t \right) + \\ & + \frac{1}{\omega} \int_0^t Q(\xi) e^{-i(t-\xi)} \cos k_s(t-\xi) d\xi - \\ & - \frac{i}{\omega k_s} \int_0^t Q(\xi) e^{-i(t-\xi)} \sin k_s(t-\xi) d\xi. \end{aligned} \quad (6.21)$$

Подставив сюда $t = T$, получим выражение для $\varphi(T)$ и $\dot{\varphi}(T)$. Далее в соответствии с условиями периодичности и линейности членов $\varphi(T)$ и $\dot{\varphi}(T)$ можно представить соответственно φ и $\dot{\varphi}$. Это приведет к двум алгебраическим уравнениям относительно φ_0 и $\dot{\varphi}_0$ уравнений:

$$\begin{aligned} q_1 (e^{jT} - \cos k_a T) &= \frac{j_k + k_a}{k_a} S_a T = \\ &= \frac{1}{2k_a} (C_a \sin k_a T - S_a \sin k_a T), \\ q_2 \sin k_a T + \frac{j_k + k_a}{k_a} (e^{jT} - \cos k_a T) &= \\ &= \frac{1}{2k_a} (C_a \cos k_a T + S_a \sin k_a T), \end{aligned} \quad (8.22)$$

в которых для краткости введены обозначения

$$\begin{aligned} C_a &= \int Q(t) e^{jt} \cos k_a t dt, \\ S_a &= \int Q(t) e^{jt} \sin k_a t dt. \end{aligned} \quad (8.23)$$

Из уравнений (8.22) находим значения φ_0 и $\dot{\varphi}_0$ и, вернувшись к первому из выражений (8.21), получаем окончательное решение задачи:

$$\begin{aligned} \varphi &= \frac{e^{jAT}}{ak_a (1 - 2e^{jT} \cos k_a T + e^{j2T})} \times \\ &\times [(e^{jT} (C_a \sin k_a T - S_a \cos k_a T) + S_a) \cos k_a t + \\ &+ |e^{jT} (C_a \cos k_a T + S_a \sin k_a T) - C_a| \sin k_a t] + \\ &+ \frac{1}{ak_a} \int Q(t) e^{-j(A-t)} \sin k_a (t - \bar{t}) dt. \end{aligned} \quad (8.24)$$

Уравнение (8.24) описывает закон движения системы в интервале времени $[0, T]$. Этот закон затем повторяется в следующих интервалах времени: $[T, 2T]$, $[2T, 3T]$ и т. д. Если построить график функции (8.24), то синтезим его на период, для периода и т. д., получим график движения для следующих (или предыдущих) интервалов времени.

В частном случае, когда трение в системе отсутствует, т. е. $A = 0$, выражение (8.24) переходит в ранее найденное выражение (5.33).

Пример 8.3. Имеется движение, которое вызывается действием одновременно гармонических импульсов A . Первая из них имеет форму T и значение коэффициентов a , b с будем считать заданными.

Система начала отчета времени с момента, соответствующего началу импульса, получим по формуле (8.23), так как в примере 5.6, $C_a = S_a = 0$. При этом выражение (8.24) приобретает вид

$$\varphi = \frac{je^{-jAT} - j [a \sin k_a (T - t) + e^{jT} \sin k_a t]}{ak_a (1 - 2e^{jT} \cos k_a T + e^{j2T})}.$$

При малых отклонениях периода T импульса и собственной частоты $2\pi/k_a$ (высокочастотное возбуждение) зависимость $\varphi(t)$ имеет вид, показанный на рис. 8.5, а; при этом за один период T

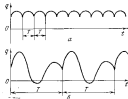


Рис. 8.5

упоминает осуществимой лишь часть одного цикла свободных колебаний в разы выше периода собственного колебания. В противоположном случае, когда условие отрывания пересекает условие высокочастотного возбуждения, зависимость $\varphi(t)$ выглядит иначе, как показано на рис. 8.5, б. Здесь за один период T происходит более одного цикла свободных колебаний и стоятковая амплитуда резко затухает.

Собственный случай реализуется, когда период T импульса в разы выше или раз больше периода $2\pi/k_a$ свободных колебаний. Собственно упомянутые члены будут с. время $T = 2\pi/k_a$. В этом случае из $k_a T = 0$, из $k_a T = 1$ движение описывается выражением

$$\varphi = \frac{je^{-jT} \sin k_a t}{ak_a (1 - e^{-jT})^2}.$$

Вспомним, что однократный импульс вызывает дampedий

$$\ddot{\varphi}_1 = \frac{M_1}{M_1 + m_1} M_1 \delta(t),$$

изделия, что в случае разрывов, вызываемого первоначальным ударом, движение описывается тем же выражением, но с дополнительным коэффициентом:

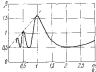


Рис. 68

т. е. 1. Зависимость коэффициента β от времени частоты импульса $\omega = 2\pi/T$ с собственной частотой ω_1 , показана на рис. 68 для случая $M_1 = \Phi_1$.

4. Комплексная форма решения. При анализе установившихся вынужденных колебаний часто пользуются различными комплексными единицами — комплексной обобщенной силой \tilde{Q} и комплексным обобщенным гармоническим (комплексной) координатой $\tilde{\varphi}$. Хотя комплексные функции тоже могут описывать некоторые искусственные, но они очень удобны, в частности, тем, что любые линейные операторы под функциями типа гармонических колебаний (дифференцирование, интегрирование, решение линейных уравнений и т. д.) выполняются гораздо проще, когда эти функции представляются не в виде синусов и косинусов, а в комплексной форме в виде экспонент (показательных функций).

Переход к комплексной форме может выполниться различным. Например, при гармоническом возбуждении колебаний в подавшем выборе начала отсчета времени гармоническую вынуждающую силу можно описать выражением $\tilde{Q} = N e^{i\omega t}$ (такой выбор начала отсчета времени не обязательен; можно будут рассмотрены иные варианты). Далее имеется комплексная вынуждающая сила $\tilde{Q} = N e^{i\omega t}$, минима часть которой равна заданной вынуждающей силе: $\operatorname{Im} \tilde{Q} = Q$ ($e^{i\omega t} = \cos \omega t + i \sin \omega t$), и комплексное перемещение $\tilde{\varphi}$, минима часть которого

представляет собой искомую обобщенную координату: $\operatorname{Im} \tilde{\varphi} = \varphi$. Таким образом, дифференциальное уравнение (6.2) можно переписать в виде

$$\operatorname{Im} (\tilde{q} + \tilde{b}_2 + \tilde{c}_2) = \operatorname{Im} (N e^{i\omega t}),$$

а отсюда — переход к уравнению, связывающему комплексные величины \tilde{q} и $\tilde{\varphi}^{(2)}$:

$$\tilde{a} \tilde{q} + \tilde{b} \tilde{\varphi} + \tilde{c} \tilde{\varphi}^{(2)} = N e^{i\omega t}, \quad (6.26)$$

Частное решение этого уравнения имеет вид

$$\tilde{q} = A e^{i\omega t}, \quad (6.26)$$

Представив (6.26) в (6.23) и сократив на общий множитель $e^{i\omega t}$, получим уравнение относительно комплексной амплитуды A , из которого находим

$$A = \frac{N}{\tilde{a} - \tilde{m}^2 + i\tilde{\omega}}, \quad (6.27)$$

Знаменатель правой части

$$\tilde{s} = \tilde{a} - \tilde{m}^2 + i\tilde{\omega} \quad (6.28)$$

называется комплексной динамической жесткостью. Таким образом, знаменатель амплитуды вынужденных колебаний равен отношению комплексной гармонической вынуждающей силы и комплексной динамической жесткости системы. Константа, обратная комплексной динамической жесткости

$$W = \frac{1}{\tilde{s} - \tilde{m}^2 + i\tilde{\omega}} \quad (6.29)$$

представляет собой частотную характеристику (комплексную динамическую податливость) системы. Как видно, частотная характеристика системы определяет комплексную амплитуду вынужденных колебаний при единичной амплитуде вынуждающей силы.

*) Находя вместо уравнения (6.25) синус

$$\tilde{q}'' + \tilde{b}\tilde{q}' + \tilde{c}\tilde{q} = N e^{i\omega t},$$

мы будем подразумевать, что с комплексной гармонической и имеет в виду, что между \tilde{q} и подавшим выражением $\tilde{\varphi}$ будет удержана только одна минима часть (об этом говорят на стр. 114).

Комплексная амплитуда (6.27) может быть представлена также в виде показателя. Для этого нужно прошить все обобщиться от множества в показателе, умножив числитель и знаменатель (6.27) на выражение $s - \omega^2 - i\beta\omega$. Тогда получим

$$\tilde{A} = \frac{B[(s - \omega^2) - i\beta\omega]}{(s - \omega^2)^2 + (\beta\omega)^2}.$$

Отсюда непосредственно следует, что

$$\tilde{A} = A e^{i\omega t}, \quad (6.30)$$

где

$$A = |\tilde{A}| = \frac{B}{\sqrt{(s - \omega^2)^2 + (\beta\omega)^2}}, \quad \gamma = \operatorname{arg} \left[\frac{\tilde{A}}{s - \omega^2} \right]. \quad (6.31)$$

Таким образом, согласно (6.26) и (6.30) комплексное выражение определяется в виде

$$\tilde{q} = \tilde{A} e^{i\omega t} = A e^{i(\omega t - \gamma)}, \quad (6.32)$$

а это мгновенная частота, т. е. изменение перемещения — в виде

$$q = A \sin(\omega t - \gamma). \quad (6.33)$$

Естественно, полученные результаты совпадают с полученным выше (см. выражения (6.7) и (6.8)).

Правильный выбор начала отсчета времени, конечно, не имеет принципиального значения. Так, при другом специальном выборе начала отсчета времени ту же вынужденную силу можно записать в виде $\tilde{Q} = -H e^{i\omega t}$. Тогда комплексные величины будут так, чтобы было $\tilde{Q} = B e^{\tilde{q}}$, $q = -\tilde{B}$. Для этих величин получится уравнение (6.25)*), и останутся справедливыми все соотношения (6.26)–(6.32); лишь вместо (6.33) вспомогательно получится

$$q = A \cos(\omega t - \gamma).$$

Наконец, если начало отсчета времени принять произвольно, то вынужденная сила представляется в виде $B \sin(\omega t + \varphi)$. Вместо уравнения (6.25) будет

$$\frac{d}{dt} + \frac{A}{B} + \frac{\omega}{\beta} = H e^{i(\omega t + \varphi)}$$

*). В этом случае всегда поступают, как правило, в способе из гл. 133, но упрощают в решении ее задачу, в действительности же.

и вместо частного решения (6.26) нужно принять

$$\tilde{q} = A e^{i(\omega t + \varphi)}.$$

При этом окажутся справедливыми выражения (6.27)–(6.31), но вместо (6.32) получим

$$\tilde{q} = A e^{i(\omega t + \varphi - \varphi)}.$$

и вместо (6.33) —

$$q = A \sin(\omega t + \varphi - \gamma).$$

Как и должно было получиться, общие характеристики колебаний (амплитуда, частота) совпадают с тем, что было найдено выше для случая, когда вынужденная сила записывалась в виде $H e^{i\omega t}$.

Комплексная форма удобна и при анализе действия произвольной периодической вынуждающей силы, которую можно представить в виде разложения в ряд Фурье (5.23). В данном случае в комплексной форме удобно писать начальные величины, так что были сделаны выше.

В каждый член ряда (5.23) подставим

$$\cos \omega t = \frac{1}{2} (e^{i\omega t} + e^{-i\omega t}), \quad \sin \omega t = \frac{1}{2i} (e^{i\omega t} - e^{-i\omega t}).$$

Тогда число перетрансформаций слагаемых вынуждающих силы меняется в виде

$$Q(t) = \frac{G_0}{2} + \sum_{n=1}^{\infty} \frac{1}{2} [(G_n - iH_n) e^{i\omega t} + (G_n + iH_n) e^{-i\omega t}]. \quad (6.34)$$

Входящую в эту сумму можно представить в виде двух сумм. Пер первую из них запишем в виде $\sum_{n=1}^{\infty} B_n e^{i\omega t}$, где $B_n =$

$$= \frac{1}{2} (G_n - iH_n), \text{ а вторую — в виде } \sum_{n=1}^{\infty} B'_n e^{-i\omega t}, \text{ где } B'_n =$$

$$= \frac{1}{2} (G_n + iH_n). \text{ Заменив вторую сумму эквивалентным выражением } \sum_{n=1}^{\infty} B'_n e^{i\omega t}, \text{ приходим к тому, что уравнение (6.33) компактнее формуле}$$

$$Q(t) = \sum_{n=1}^{\infty} B_n e^{i\omega t}, \quad (6.35)$$

в которой

$$B_n = \begin{cases} \frac{1}{2}(G_0 - iH_0) & \text{при } n > 0; \\ \frac{1}{2}G_0 & \text{при } n = 0; \\ \frac{1}{2}(G_0 + iH_0) & \text{при } n < 0. \end{cases}$$

Отметим, что каждое из слагаемых $B_n e^{int}$ — комплексная величина (кроме вещественного слагаемого B_0), по сумме любой пары слагаемых с номерами n и $-n$ — вещественна. Составляя вспомогательную ведущую сумму (6.35), получим $|2B_n|$, представляющую амплитудный спектр силы $Q(t)$.

Опираясь на представление (6.35), запишем дифференциальное уравнение вынужденных колебаний

$$\ddot{q} + \delta\dot{q} + cq = \sum_{n=-\infty}^{\infty} B_n e^{int}, \quad (6.36)$$

и будем рассматривать его решение в виде

$$q = \sum_{n=-\infty}^{\infty} \tilde{A}_n e^{int}. \quad (6.37)$$

Подставляя (6.37) в (6.36) и почленно пренебрегая коэффициенты при одинаковых членах e^{int} , находящихся обе части равенства, найдем комплексные амплитуды

$$\tilde{A}_n = B_n W_n. \quad (6.38)$$

Здесь

$$W_n = \frac{1}{c - \alpha(n\omega)^2 + i\delta\omega} \quad (6.39)$$

— частотная характеристика, полученная (6.29), но с заменой ω на $n\omega$. Основательно нарисуем

$$q = \sum_{n=-\infty}^{\infty} B_n W_n e^{int}. \quad (6.40)$$

Отметим, что здесь, как и в (6.36), константу слагаемому номера n соответствует комплексное сопряженное слагаемое номера $-n$, так что сумма любой пары слагаемых вещественна.

Соединивность величины $|2B_n|W_n|$ образует амплитудный спектр перемещения $q(t)$. Составляя (6.35) и (6.40),

можно условно сказать, что амплитудный спектр перемещений (точнее, амплитудному спектру вынуждающей силы, «супонированному» на частотную характеристику системы). Так как частотная характеристика зависит от номера n , то соотношения между амплитудами гармоник перемещения отличаются (еще worse, существенно отличаются) от соотношений между амплитудами гармоник

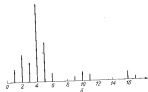
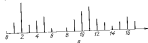


Рис. 6.7

вынуждающей силы. Естественно, что, как правило, особенно значительными окаживаются амплитуды тех гармоник перемещения, частота которых близка к собственной частоте системы.

Одни из примеров такого рода показаны на рис. 6.7, который относится к случаю, когда на систему с собственной частотой ω действует первоначально вынуждающая сила с периодом $8\pi/\omega$. Частоты гармоник этой системы равны $\frac{1}{4}, \frac{1}{2}, \frac{3}{4}, \frac{5}{4}, \dots$, т. е. частота четвертой гармоники совпадает с собственной частотой системы. На рис. 6.7, а (изображены амплитуды гармоник вынуждающей силы), а на рис. 6.7, б — амплитуды гармоник перемещения.

Таким образом, переход к комплексной форме следает определенным удобством при анализе колебаний, вызывает

жет не только гармонической, но и произвольной периодической вынуждающей силой. Более того, комплексные формы также позволяют удачно изучать колебания, вызываемые действием непериодических вынуждающих сил $Q(t)$. Такую силу можно представить в виде интеграла Фурье

$$Q(t) = \int_{-\infty}^{\infty} F(\omega) e^{i\omega t} d\omega, \quad (6.41)$$

который можно рассматривать как обобщение суммы дискретных слагаемых, данной в выражении (6.35). В (6.41) сила $Q(t)$ представлена совокупностью экспоненциальных гармонических составляющих со всеми частотами, измеримыми распределенными в бесконечных пределах $[-\infty, \infty]$, причем малому интервалу частот от ω до $\omega + d\omega$ соответствует элементарная гармоническая составляющая с амплитудой $F(\omega)d\omega$. Соответственно спектру, $F(\omega)$ можно рассматривать как интегрированный амплитудный спектр силы $Q(t)$. Для него справедливо выражение

$$F(\omega) = \frac{1}{2\pi} \int_{-\infty}^{\infty} Q(t) e^{-i\omega t} dt, \quad (6.42)$$

которое называется преобразованием Фурье или фурье-образом функции $Q(t)$. Фурье-образ $F(\omega)$ — комплексная функция частоты.

$$F(\omega) = A(\omega) + iB(\omega), \quad (6.43)$$

з которой $A(\omega)$ и $B(\omega)$ — вещественные функции частоты. Поскольку $Q(t)$ — вещественная функция, то из (6.42) следует, что

$$A(\omega) = \frac{1}{2\pi} \int_{-\infty}^{\infty} Q(t) \cos \omega t dt, \quad B(\omega) = -\frac{1}{2\pi} \int_{-\infty}^{\infty} Q(t) \sin \omega t dt, \quad (6.44)$$

а интеграл Фурье (6.41) для $Q(t)$ примет вид

$$Q(t) = 2 \int_0^{\infty} A(\omega) \cos \omega t d\omega - 2 \int_0^{\infty} B(\omega) \sin \omega t d\omega. \quad (6.45)$$

Согласно (6.38) элементарная вынуждающая сила $F(\omega)e^{i\omega t}$ вызывает колебания той же частоты, а их

амплитуда равна $F(\omega)W(\omega)d\omega$. Следовательно, колебания, вызываемые всеми элементарными воздействиями, т. е. заданной вынуждающей силой $Q(t)$, определяются в виде интеграла

$$q(t) = \int_{-\infty}^{\infty} F(\omega) W(\omega) e^{i\omega t} d\omega, \quad (6.46)$$

где $W(\omega)$ — частотная характеристика (6.29), которая в данном случае является непрерывной функцией частоты. Однако перемещение $q(t)$ также можно представить в виде, аналогичном (6.41):

$$q(t) = \int_{-\infty}^{\infty} f(\omega) e^{i\omega t} d\omega, \quad (6.47)$$

где $f(\omega)$ — амплитудный спектр перемещения. Составляя выражения (6.46) и (6.47), видим, что

$$f(\omega) = F(\omega)W(\omega). \quad (6.48)$$

Таким образом, можно сказать, что амплитудный спектр перемещения равен амплитудному спектру вынуждающей силы, умноженному на частотную характеристику системы.

Рассмотрим пример. Положим, что на линейную систему с одной степенью свободы, начиная с момента $t = 0$, действует произвольная вынуждающая сила $Q(t)$, lastingшаяся в некоторый заданный момент T , так что при $t > T$ сила равна нулю. Как будет происходить движение системы после исчезновения силы, т. е. при $t > T$?

Перемещение системы при $t > T$ можно определить с помощью (5.19) в виде

$$\begin{aligned} q &= \frac{1}{m} \int_0^T Q(t) \sin k(t-t') dt' = \\ &= \frac{1}{m} \left[\sin kt \int_0^T Q(t) \cos kt' dt' - \cos kt \int_0^T Q(t) \sin kt' dt' \right]. \end{aligned}$$

Так как при $t < 0$ и $t > T$ сила $Q(t)$ равна нулю, то последнее выражение можно записать, формально расширив

предели интегрирования:

$$q = \frac{1}{2k} \left[\sin k t \int_{-\infty}^{\infty} Q(\xi) \cos k\xi d\xi - \cos k t \int_{-\infty}^{\infty} Q(\xi) \sin k\xi d\xi \right].$$

Согласно (6.42) можно записать

$$q = \frac{2\pi}{ak} [A(k) \sin kt + B(k) \cos kt].$$

Здесь $A(k)$ и $B(k)$ — составляющие амплитудного спектра вынуждающей силы, соответствующие частоте $\omega = k$. Амплитуда колебаний величины $q(t)$ определяется выражением

$$q_{\max} = \frac{2\pi}{ak} \sqrt{A^2(k) + B^2(k)} = \frac{2\pi}{ak} |F(k)|, \quad (6.43)$$

Отсюда видно, что при любой вынуждающей силе амплитуда постоянных колебаний зависит только от модуля величины $F(k)$ при $\omega = k$.

3. Влияние нелинейного трения при гармонической вынуждающей силе. Замкнутое решение задачи о вынужденных колебаниях при пренебрежимо малых силах трения затруднительно даже в простейшем случае действия моногармонической вынуждающей силы, когда дифференциальное уравнение движения имеет вид

$$a\ddot{q} + B(q) + cq = H \cos \omega t. \quad (6.54)$$

Для приближенного решения этого уравнения воспользуемся методом энергетического баланса, т. е. заменим заданную гармоническую силу $H(j)$ эквивалентной в энергетическом отношении линейной силой $b_0 j$; коэффициент b_0 будем разрабатывать на основе равенства, разбитого, совершающих обеими силами за один период:

$$\int_0^T H(j) q dt = \int_0^T b_0 q dt. \quad (6.55)$$

Далее приближенно примем, что в общем случае нелинейного трения стационарный колебательный процесс описывается, как в случае линейного трения, выражением

$$q = A \sin (\omega t - \varphi). \quad (6.56)$$

При этом уравнение энергетического баланса (6.55) можно записывать для полупериода колебаний, в течение ко-

торого скорость (а вместе с этим и сила B) не меняется. Подставив (6.52) в (6.55), найдем

$$-\int_0^{\pi} B(-Aa \sin \varphi) A \sin \varphi d\varphi = \frac{\pi}{2} A^2 ab_0, \quad (6.57)$$

где $\varphi = \omega t - \varphi_0$. Отсюда следует формула, определяющая эквивалентный коэффициент линейного трения:

$$b_0 = -\frac{2 \int_0^{\pi} B(-Aa \sin \varphi) \sin \varphi d\varphi}{\pi ab_0}. \quad (6.58)$$

Пусть, например, сила трения задана экспоненциальной зависимостью (2.17). При этом

$$B(j) = b_0 |j|^{n-1}$$

и числитель выражения (6.58) равен

$$2 \int_0^{\pi} B(-Aa \sin \varphi)^n \sin \varphi d\varphi = -4A^n b_0^n \int_0^{\pi} \sin^{n+1} \varphi d\varphi.$$

Входящий сюда интеграл был выше обозначен через I (см. § 2, (2.20)), так что окончательно получаем

$$b_0 = \frac{4bI}{\pi} (Ab)^{n-1}. \quad (6.59)$$

Аналогично можно определить эквивалентный коэффициент b_0 и в других случаях нелинейного трения.

После того как коэффициент b_0 найден, задача сводится к рассмотрению линейизированной линейной системы, движение которой определяется дифференциальным уравнением (6.4). Заданным соответствующей этой задаче выражением (6.3) для амплитуды колебаний, подставив $b = b_0/a$ и $c = ak^2$,

$$A = \frac{\pi}{4} \sqrt{\left(1 - \frac{\omega^2}{k^2}\right)^2 + \left(\frac{b_0}{a} \frac{H}{k}\right)^2}. \quad (6.60)$$

Здесь известная амплитуда A входит не только в первую часть равенства, но и в пропорцию его части, так как коэффициент b_0 зависит от той же амплитуды A . В связи с этим соотношение (6.56) следует рассматривать не в виде формулы, а как уравнение для определения амплитуды A .

Для построения резонансной кривой удобнее разрешить уравнение (6.56) относительно ω/k :

$$\frac{\omega}{k} = \sqrt{1 - \frac{B^2}{\omega^2 k^2}} \pm \sqrt{\left(\frac{\omega^2 k^2}{B^2}\right)^2 - \frac{B^2}{\omega^2} + \left(\frac{\mu}{A}\right)^2}.$$

в этом, задаваясь значениями A , вычислить $b_0(A)$ и определить соответствующие отклонения ω/k .

Для определения резонансной амплитуды положим в (6.56) $\omega = k$; тогда уравнение примет вид

$$b_0(A) = \frac{\mu}{Ak}.$$

В частности, если коэффициент b_0 определяется формулой (6.55), можно найти $A = \frac{1}{k} \sqrt{\frac{\mu B}{4B^2}}$; например, при $n = 2$ ($I = 0,667$) получим $A = \frac{1,083}{k} \sqrt{\frac{\mu}{B}}$.

Нужно отметить, что в рассматриваемых задачах амплитуда вынужденных колебаний не пропорциональна амплитуде силы.

6. Влияние гистерезиса. То же соотношение гистерезисного баланса может быть получено в случае исследований вынужденных колебаний при наличии чистото-независимого гистерезиса. Для этого нужно приложить плавающую гистерезис, определяемую формулой (2.43)

$$Q = \omega A^{n+1},$$

работая, совершающей за один период одинаковую силу линейного трения. Это работа вдвое большая правой части соотношения (6.53), вычисленной для полуупругости, так что получаем равенство

$$\omega A^{n+1} = \pi d^2 \omega b_0.$$

Отсюда находим коэффициент эквивалентного линейного трения в виде

$$b_0 = \frac{\pi d^{n+1}}{\mu B},$$

и уравнение (6.56) принимает вид

$$A = \sqrt{\sqrt{\left(1 - \frac{\mu}{B}\right)^2} + \left(\frac{\pi d^{n+1}}{\mu B}\right)^2} \quad (6.57)$$

Решение этого квадратичного алгебраического уравнения несложно при значениях $n = 0$ (сухое трение) и $n = 2$; для начальных при иных значениях n удобнее пользоваться обратной зависимостью

$$\frac{\omega}{k} = \sqrt{1 \pm \frac{N}{\pi A} \sqrt{1 - \left(\frac{\mu B^2}{\omega^2}\right)^2}}.$$

Для резонансных условий ($\omega = k$) из (6.57) сразу находим $A = \sqrt{\pi B/\mu}$.

Отметим, что гистерезисную силу трения при исследовании гармонических колебаний удобно записывать соотношением

$$R = \frac{\pi A^n}{n} \sqrt{1 - \frac{q^2}{A^2}} \operatorname{sign} \dot{q}, \quad (6.58)$$

(эллиптическая петля гистерезиса — см. рис. 6.6), которое соответствует выражению (2.43) для рассматриваемой за один цикл энергии. Если воспользоваться выражением (6.58), то можно найти установившиеся вынужденные колебания, по приблизительной методике изложенной выше, и методу гиперболического баланса, непосредственно из дифференциального уравнения движения

$$\ddot{q} + \frac{\mu A^n}{\omega} \sqrt{1 - \frac{q^2}{A^2}} \operatorname{sign} \dot{q} +$$

$$+ N q = \frac{\mu}{d} \sin \omega t. \quad (6.59)$$



Рис. 6.6

Это, казалось бы, сложное, колхозное уравнение имеет весьма простое точное решение

$$q = A \sin (\omega t - \psi). \quad (6.60)$$

Для определения A и ψ подставим решение (6.60) в уравнение (6.59), получим

$$- A \omega^2 \sin (\omega t - \psi) + \frac{\mu A^n}{\omega} \cos (\omega t - \psi) \\ + A B^2 \sin (\omega t - \psi) = \frac{\mu}{d} \sin \omega t. \quad (6.61)$$

Второй член в левой части записан без множителя $\operatorname{sign} \dot{q}$, так как нужна для уравнений смена знака силы трения

или (при изменении знака скорости) здесь обозначается изменением знака коэффициента. Приведем соответствующее (6.61), получим

$$\begin{aligned} \left[A(k^2 - \omega^2) \cos \gamma + \frac{\alpha A^2}{m} \sin \gamma - \frac{H}{a} \right] \sin \alpha \dot{\gamma} = \\ - \left[A(k^2 - \omega^2) \sin \gamma - \frac{\alpha A^2}{m} \cos \gamma \right] \cos \alpha \dot{\gamma} = 0. \end{aligned}$$

Для тождественного выполнения этого равенства необходимо, чтобы выражения, стоящие в квадратных скобках, были разные разы нулю, т. е.

$$A(k^2 - \omega^2) \cos \gamma + \frac{\alpha A^2}{m} \sin \gamma = \frac{H}{a},$$

$$A(k^2 - \omega^2) \sin \gamma - \frac{\alpha A^2}{m} \cos \gamma = 0.$$

Отсюда находим

$$A = \frac{H}{\epsilon \sqrt{\left(1 - \frac{a^2}{k^2}\right)^2 + \left(\frac{\alpha A^2 - H}{m}\right)^2}}, \quad \tan \gamma = \frac{\alpha A^2 - H}{m(k^2 - \omega^2)}. \quad (6.62)$$

Заметим, что первое из соотношений (6.62) совпадает с ранее найденным соотношением (6.37).

7. Случайные колебания*. Виду выше было приведено, что вынуждающие силы заданы как *стационарные* функции времени. Такие же условия имеют место при вынуждающих колебаниях приложима, когда случайные составляющие внешних сил (простически всегда небольшие) относительно малы по сравнению с основными, детерминированными составляющими. Но в ряде приложений имеют весьма значительные вынуждающие силы и принцип не поддается удовлетворительному детерминистическому описанию и должны считаться *случайными* функциями времени. Такими, например, нагрузки на рабочие органы многих строительных и сельскохозяйственных машин, внезапные нагрузки на здания и инженерные сооружения и т. п. Со случайными функциями процесса приходится иметь дело и в некоторых задачах физики —

* Предполагается, что членыль связан с основными понятиями теории вероятностей.

техническом возбуждении, например при анализе колебаний автомобиля, движущегося по изогнутой дороге, или при различных конструкциях из сейсмических нагрузок.

Теория случайных вынужденных колебаний посвящена решению задач следующих четырех типов:

1) отыскание вероятностных характеристик движения системы по заданным вероятностным характеристикам внешнего воздействия (однократное);

2) отыскание вероятностных характеристик внешних воздействий по известным (экспериментально найденным) вероятностным характеристикам избранных (обратных задач);

3) определение свойств системы (ее оператора и параметров) по известным (экспериментально найденным) вероятностным характеристикам на входе и выходе системы (задача идентификации);

4) синтез системы, обладающей заданными свойствами по отношению к некоторому классу внешних воздействий (задача синтеза, часто движущаяся задачей оптимизации).

Очень кратко остановимся по первой задаче применительно к вынужденным колебаниям линейной механической системы с одной степенью свободы.

В практических условиях случайные вынуждающие силы передко обнаруживают определенную однородность относительно времени, они подобны описанию среднего квадратичного значения, причем ли их средняя амплитуда, ли общий характер вынужденных колебаний во времени не прогрессирует. Однородно во времени и некоторую задачу случайного вынужденского возбуждения, как, например, воздействию вероятностей передко не движущейся по кривой автомобиль, конечно, при условии, что на большом протяжении качественное покрытие остается практически неизменным, а автомобиль движется с постоянной скоростью.

Такие воздействия с постоянными вероятностными характеристиками относятся к категории стационарных случайных процессов. В эту категорию входят и результаты таких воздействий, т. е. вызванные ими колебания механических систем (имеются в виду колебания около устойчивого состояния равновесия).

На стационарной случайной функции, описываемой вынуждающую силу, всегда можно надавить и вычесть ее математическое ожидание, постоянное вследствие стационарности.

ционарности функции; после этого рассматривается перенесенный «оголоток» — дифференциальная случайная функция $\hat{\Phi}(t)$. Выражение этой характеристики во свойствах служит корреляционной функцией — математическое выражение произведения $\hat{\Phi}(t)\hat{\Phi}(t+t)$, коэффициент которого относится к двум моментам времени, разделенным временем t . Эта функция описывает степень взаимосвязи между «зачетками» случайной функции в различные моменты времени. Если случайная функция действительно стационарна, то результаты начислений не зависят от выбора момента времени t , и будут зависеть только от абсолютной величины $|t|$.

В практическом случае корреляционную функцию $k_x(t)$ получают путем обработки данных измерений изображений и часто представляют в виде восходящих аналитических выражений типа

$$De^{-\alpha_1|t|}, \quad De^{-\alpha_2|t|}, \quad De^{-\alpha_3|t|} \cos \beta t, \quad De^{-\alpha_4|t|} \sin \beta t$$

в соответствии с подобранными значениями параметров D , α , β . Отметим, что в ходе такой обработки контролируется сила стационарность изучаемого процесса — по принципу взаимности математического описания произведений $\hat{\Phi}(t)\hat{\Phi}(t+t)$ от выбора значений t . Разумеется, что для настоящего стационарного случайного процесса корреляционную функцию можно определить как математическое ожидание произведения $\hat{\Phi}(0)\hat{\Phi}(t)$. Знание корреляционной функции при $t=0$ предоставляет собой математическую окантовку квадрата спектральной случайной функции, т. е. ее дисперсию $k_x(0)=D$.

При обсуждении динамических явлений ведут теория вынужденных колебаний в л. 5 § 5 и в л. 5 § 6 колебательный процесс был представлена в виде суммы гармонических колебаний различных частот. Разложение амплитуд по различным частотам (дискретный или непрерывный спектр) дает возможность судить о том, какого рода колебания доминируют в рассматриваемом процессе, какова его внутренняя структура. Такие спектральные представления могут относиться и к выпукнувшему слою, и к координатам системы $\varphi(t)$.

Аналогично этому стационарный случайный процесс также может быть описан суммой гармонических составляющих, но их амплитуды будут случайными величинами.

iii. Спектром стационарной случайной функции называют распределение дисперсий по всем частотам. Если спектр непрерывный, то его описывают функцией $S(\omega)$ — спектральную плотность дисперсии стационарной случайной функции (часто этого единственно в этом напоминают именуют). Между спектральной плотностью $S(\omega)$ и корреляционной функцией $k(t)$ существует соответствие

$$k(t) = \int_{-\infty}^{\infty} S(\omega) \cos \omega t \, d\omega, \quad (6.63)$$

$$S(\omega) = \frac{2}{\pi} \int_{0}^{\infty} k(t) \cos \omega t \, dt, \quad (6.64)$$

справедливое прямое и обратное косинус-преобразование Фурье.

Если в (6.63) подожать $t=0$, то для дисперсии стационарной случайной функции получается

$$D = k(0) = \int_{-\infty}^{\infty} S(\omega) \, d\omega. \quad (6.65)$$

Таким образом, если корреляционная функция $k_x(t)$ известна (задана, найдена), то по выражению (6.65) находится спектральная плотность $S_x(\omega)$ и можно перейти к определению колебаний механической системы, вызываемых действиями случайной силы. Здесь основным является соотношение

$$S_x(\omega) = |W|^2 S_x(\omega), \quad (6.66)$$

связывающее спектральную плотность колебаний системы $S_x(\omega)$ со спектральной плотностью вынужденной силы. В этом соотношении W — частотная характеристика системы, которая для пилотного возбуждения была дана выше выражением (6.29), так что

$$|W|^2 = \frac{1}{(\omega - \omega_0)^2 + (2\delta\omega)^2}. \quad (6.67)$$

После вычисления $S_1(u)$ по выражению (6.66) можно найти дисторсии обобщенной координаты

$$D_1 = \int_0^{\pi} S_1(u) du, \quad (6.68)$$

и, конец, среднеквадратическое значение выходит в:

$$c_1 = \sqrt{D_1}. \quad (6.69)$$

§ 7. Системы с одной степенью свободы при линейной восстанавливющей силе

1. Основные понятия. Нелинейность восстанавливющей силы существенно усложняет анализ колебаний и в этом параграфе будет рассмотрено действие только гармонической восстанавливющей силы; ниже в этом параграфе простым случаем приводится доказательство применения решения задачи. Характеристика линейной восстанавливющей силы будем считать симметричной:

$$F(q) = -F(-q), \quad (7.1)$$

а силы трения — отсутствующими.

При синусоидальном возбуждении дифференциальное уравнение движения имеет вид

$$\ddot{q} + F(q) = H \sin \omega t. \quad (7.2)$$

Необходимо сразу отметить, что функция

$$q = A \sin \omega t, \quad (7.3)$$

описывающая закон движения линейных систем, в данном случае не является точным решением задачи; если подставить (7.3) в уравнение (7.2), то это не может быть тождественно удовлетворено не при самом значении A . Естественно ожидать, что решения будут содержать также высшие гармоники с частотами 2ω , 3ω , ..., $n\omega$, возможно, и пятые гармоники с частотами $\omega/2$, $\omega/3$, ... и т.д. Известно, что это в самом деле так. Колебания с высшими по отношению к частотам гармониками — супергармоническими, колебания с наименьшими частотами — субгармоническими, а колебания с частотой ω — односинхронными.

В первом приближении можно ограничиться исследованием только основных колебаний: они чаще всего являются самыми яркими; этому посвящен следующий п. 2. Для

последнего уточнения можно получить, используя супергармонические колебания (см. п. 3) и субгармонические колебания (см. п. 4).

2. Основные колебания. Для нахождения основных колебаний приближение правил законов движения в виде (7.3) и воспользовавшись методом гармонического баланса (см. выше стр. 69—70). Образует периодическую функцию $F(A \sin \omega t)$ и, разложив ее в ряд Фурье, отбросив мысленно учетом одного первого члена:

$$F(A \sin \omega t) \approx b_1 \sin \omega t. \quad (7.4)$$

Здесь b_1 определяется выражением (3.18). Подставив выражение (7.3) в первый член уравнения (7.2) и выражение (7.4) — во второй член того же уравнения, получим приближенное соотношение

$$-\alpha A \omega^2 + \frac{1}{n} \int_0^{2\pi} F(A \sin \psi) \sin \psi d\psi = H, \quad (7.5)$$

из которого можно определить амплитуду A .

Пусть, например, характеристика восстанавливющей силы имеет вид

$$F(q) = c_0 q + \beta q^3. \quad (7.6)$$

Прондя все же находим

$$\int_0^{2\pi} F(A \sin \psi) \sin \psi d\psi =$$

$$= \int_0^{2\pi} (c_0 A \sin \psi + \beta A^3 \sin^3 \psi) \sin \psi d\psi = m_2 A + \frac{3}{4} \pi \beta A^3.$$

При этом уравнение (7.5) принимает форму

$$A \left(\frac{c_0}{n} + \frac{3}{4} \frac{\beta}{n} A^2 \right) = \frac{H}{n} + A \omega^2. \quad (7.7)$$

Для выяснения качественных свойств решения кубическое уравнение (7.7) можно воспользоваться графическим способом; по своей видности он, несомненно, приводит аналитическое решение.

Построим график зависимости левой части от амплитуды A (см. прямую $P_1(A)$ на рис. 7.1, а), а также правую часть $P_2(A)$, соответствующую правой части; если частоты

то и нейтрин, то прямая P_2 пересечет кривую P_1 в одной точке, абсолютная которой A_1 является единственным вещественным корнем уравнения (7.7). С увеличением частоты ω угла наклона прямой P_2 к оси абсцисс будет возрастать, а значение корня A_1 — уменьшаться. Наконец, при достаточно большом значении $\omega = \omega_p$ прямая P_2 пересечет кривую P_1 в третьем квадранте (рис. 7.1, б).

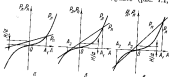


Рис. 7.1

а при дальнейшем увеличении ω будет пересекать кривую P_1 в трех точках (рис. 7.1, в).

Соответственно уравнению (7.8) при $\omega > \omega_p$ будет иметь три вещественных корня: A_1 , A_2 , A_3 . Изменение этих корней при постепенном увеличении частоты ω показано на рис. 7.2, а; здесь же приведены линии показания статистики края, выраженные следом между частотой ω и амплитудой свободных колебаний той же системы.

Полученная амплитудно-частотная зависимость напоминает разомкнутую кривую для линейной системы, однако разомкнутый шик несколько деформирован: соответственно нарушению статистической линии при местной характеристики. Для систем с местной характеристической амплитудно-частотной зависимостью имеет вид, изображенный рис. 7.2, б.

Хотя полученные решения приближенные, однако это дает, по крайней мере качественное, первое представление об изменении амплитуды вынужденных колебаний с изменением их частоты: при достаточно больших значениях частоты вынуждающей силы решение становится неоднозначным и одному значению частоты соответствуют три различные амплитуды A колебаний.

Дополнительные исследования (см. ниже § 9) показывают, что из трех возможных режимов движения при $\omega > \omega_p$

$$q = A_1 \sin \omega t, \quad q = A_2 \sin \omega t, \quad q = A_3 \sin \omega t, \quad (7.8)$$

устойчивы первый и второй, а третий режим неустойчив, — следуя узким максимумам этого решения приходит движение системы к первому или второму режиму. В связи с этим физически существуют только первый и второй стационарные режимы.

Если постепенно увеличивать от нуля частоту ω , то амплитуды увеличиваются, следуя зонам I (см. рис. 7.2, а).

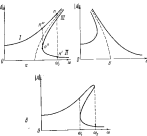


Рис. 7.2

Если при некотором значении частоты $\omega = \omega_1$ система испытывает достаточно большое избыточное возмущение, то происходит «рывок» амплитуды на зону II (точки ω и ω'). Если затем продолжить постепенное увеличение частоты ω , то амплитуда колебаний будет уменьшаться, следуя кривой II . Если же после срыва амплитуду частоты ω уменьшить, то будет происходить плавное возвращение амплитуды до точки ω' . При дальнейшем уменьшении частоты амплитуда резко увеличивается (точка ω'').

$(k_1^2 = \omega^2)$ в уравнении (7.15) принимают вид

$$\begin{aligned} (\delta_1^2 - \omega^2) A_1 + \frac{3}{4} \frac{\beta}{\alpha} (A_1^2 - A_{1/2}^2 A_2 + 2 A_1^2 A_0) &= \frac{R}{\alpha}, \\ (\delta_1^2 - 9\omega^2) A_2 + \frac{3}{4} \frac{\beta}{\alpha} \left(-\frac{1}{2} A_1^2 + 2 A_1^2 A_2 + A_0^2 \right) &= 0. \end{aligned} \quad (7.16)$$

Положим в первом уравнении $\beta = 0$, приближенное выражение для амплитуды основных колебаний:

$$A_1 = \frac{R}{\alpha (\delta_1^2 - \omega^2)}, \quad (7.17)$$

Сократив в последних сносках второго уравнение (7.16) только основное слагаемое $-\frac{1}{2} A_1^2$, также приближение получим амплитуду супергармонических колебаний

$$A_2 = \frac{\beta A_1^2}{4\delta_1^2 (\delta_1^2 - 9\omega^2)}.$$

т. е. малую величину порядка β . Если подставить найденные порядки приближения в оброшенному члену уравнения (7.16), то получим улучшенное значение A_1 и A_2 . Принятая поправка для A_1 будет иметь порядок β , а порядок для A_2 — порядок β^2 . Этот процесс последовательных приближений можно продолжить вдале.

Более отметить, что амплитуда супергармонических колебаний A_2 мала относительно с амплитудой A_1 основных колебаний (заметно, при условии, что ее мала разность $\delta_1^2 - 9\omega^2$).

4. Субгармонические колебания. Ограничимся случаем симметрической характеристики восстанавливющей силы вида (7.6) и для нахождения амплитуд субгармонических колебаний снова воспользуемся методом гармонического баланса.

Постоим, что основную гармонику с частотой ω и вынуждающей силы сопровождает субгармоника с частотой $\omega/3$:

$$q = A_1 \sin \omega t + A_{1/3} \sin \frac{\omega t}{3}. \quad (7.18)$$

Функция $F(A_1 \sin \omega t + A_{1/3} \sin \frac{\omega t}{3})$ имеет порядок $\delta\beta/\omega$, кроме большей основного периода T . Разлагаем ее в ряд

4.1. НЕЛИНЕЙНАЯ ВОССТАНОВЛЮЩАЯ СИЛА

623

Фурье и ограничимся двумя первыми членами, найдем

$$F\left(A_1 \sin \omega t + A_{1/3} \sin \frac{\omega t}{3}\right) = b_{1/3} \sin \frac{\omega t}{3} + b_1 \sin \omega t, \quad (7.19)$$

так

$$b_{1/3} = \frac{2}{3T} \int_0^{3T} F\left(A_1 \sin \omega t + A_{1/3} \sin \frac{\omega t}{3}\right) \sin \frac{\omega t}{3} dt, \quad (7.20)$$

$$b_1 = \frac{2}{3T} \int_0^{3T} F\left(A_1 \sin \omega t + A_{1/3} \sin \frac{\omega t}{3}\right) \sin \omega t dt.$$

Далее подставляем (7.18) и (7.19) в уравнение (7.2); сравниваем коэффициенты гармоники и субгармоники в правых и левых частях, приходим к двум подобийным уравнениям.

При характеристике (7.6) эти уравнения имеют вид

$$(\delta_1^2 - \omega^2) A_1 + \frac{1}{4} \frac{\beta}{\alpha} (3A_1^2 + 6A_{1/3} A_1 - A_{1/3}^2) = \frac{R}{\alpha}, \quad (7.21)$$

$$\left(\delta_1^2 - \frac{\omega^2}{9}\right) A_{1/3} + \frac{3}{4} \frac{\beta}{\alpha} (A_{1/3}^2 - A_{1/3}^2 A_1 + 2A_1^2 A_{1/3}) = 0.$$

Приближенное значение для амплитуды A_1 найдем из первого уравнения (7.21), положив в нем $\beta = 0$:

$$A_1 = \frac{R}{\alpha (\delta_1^2 - \omega^2)}. \quad (7.22)$$

Далее, предположим, что $A_{1/3} \neq 0$, преобразим второе уравнение (7.21) в виде

$$A_{1/3}^2 - A_{1/3} A_1 + 2A_1^2 + \frac{4(3\delta_1^2 - \omega^2)\alpha}{27\beta} = 0.$$

Отсюда следует выражение амплитуды субгармонических колебаний

$$A_{1/3} = \frac{A_1}{2} \left[1 \pm \sqrt{\frac{16(\omega^2 - 9\delta_1^2)\alpha}{27\beta} - 1} \right]. \quad (7.23)$$

Отметим, что при $\beta > 0$ для вещественности решения необходимо выполнение условия

$$\alpha > 2\delta_1 \sqrt{1 + \frac{27}{16} \frac{\beta}{\alpha} A_1^2}. \quad (7.24)$$

т. е. субгармонические колебания возможны лишь при достаточно больших (относительно основной частоты) значениях коэффициента β частоты возбуждения. Если $\beta < 0$, резонанс.

С учетом (7.22) приближенно получим

$$A_{1,0} = \frac{\pi}{2\omega(\omega_0^2 - \omega^2)} \left[1 \pm \sqrt{\frac{4(1 - \beta_0^2)(\omega_0^2 - \omega^2)^2}{\pi^2\beta_0^2}} - 1 \right]. \quad (7.25)$$

Исходя из первых приближений (7.22) и (7.25), можно получить с помощью основных уравнений (7.21) дальнейшие уточнения начальной амплитуды колебаний A_1 и $A_{1,0}$.

На рис. 7.3 показаны зависимости амплитуд колебаний A_1 и $A_{1,0}$ от частоты ω вынуждающей силы.

Таким образом, субгармонические колебания в системах с жесткой (мягкой) характеристикой зависят

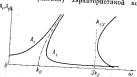


Рис. 7.3

лишь при достаточно больших (достаточно малых) значениях частоты ω вынуждающей силы; однако если субгармонические колебания возникают, то их амплитуды могут значительно превосходить амплитуды основных колебаний, происходящих с частотой ω .

В наших имплицитах мы не учитывали действие сил трения; более подробный анализ показывает, что эти силы не только уменьшают амплитуды субгармонических колебаний, но способны — при их достаточной интенсивности — полностью подавить субгармонические колебания.

3. Способ неподвижного интегрирования для кусочно-линейных систем. В отличие от ранее рассмотренных в этом

параграфе случаи задачи о вынужденных колебаниях систем с кусочно-линейными характеристиками в принципе допускают точное решение, которое соответствует сказанному в § 3, где речь шла о свободных колебаниях. Здесь, при анализе вынужденных колебаний такие нужно поочередно решать ряд линейных задач, соответствующих прямым участкам характеристики, расположенным

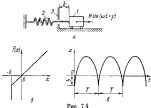


Рис. 7.4

между точками перегиба. Для определения постоянных интегрирования служат условия перехода от этапа к этапу, а также условия периодичности.

Применим применение этого способа на случае вынужденных колебаний системы, показанной на рис. 7.4, а. Это гироударная система (модель Ригамоя — Ларсона) состоит из груза L , упругого элемента b и одностороннего ограничителя b , установленного в защите b . На груз действует гармоническая вынуждающая сила, которая вызывает колебания, достаточно синхронные для того, чтобы происходили удары груза об ограничитель.

Отметим, что движение груза будет вести от положения, в котором пружина не деформирована. Начало отсчета времени совпадет с моментом, непосредственно после такого-либо удара груза об ограничитель. При этом гармоническую вынуждающую силу назовем в виде $M \sin(\omega t + \varphi)$, полагая B и ω известными, а начальную фазу φ неизвестной. Кусочно-линейная характеристика этой системы состоит из двух полупримых (рис. 7.4, б).

Примем, что при ударе груза об ограничитель скорость груза мгновенно изменяется, следуя соотношению

$$\dot{x}(0) = -R\dot{x}(-0), \quad (7.20)$$

где R — коэффициент восстановления; аргумент (-0) означает момент времени, непосредственно предшествующий удару.

По рассмотренному выше возможным движкам, исследуем возможность существования строго периодического режима перехода \bar{T} , равного периоду $2\pi/\omega$ вынуждающей силы. Еще до составления в решения уравнений задачи можно сказать, что движение будет происходить в общих терминах, как показано на рис. 1A, а; через равные промежутки времени \bar{T} происходят удары об ограничитель, спровоцирующие смешанный закон скорости.

Рассмотрим один период движения, в начале которого

$$x(0) = -\phi. \quad (7.21)$$

Кроме того, можно записать следующие условия начальных:

$$x(\bar{T}) = x(0), \quad (7.22)$$

$$\dot{x}(\bar{T}-0) = \dot{x}(-0). \quad (7.23)$$

Условия (7.22), (7.23) вместе с условием (7.21) позволяют найти все постоянные, которые войдут в решение задачи. Исключив скорость $\dot{x}(-0)$ из (7.23) с помощью соотношения (7.20); тогда получится связь между скоростями в начале периода и в его конце (т. е. непосредственно перед следующим ударом):

$$\dot{x}(0) = -R\dot{x}(\bar{T}-0). \quad (7.24)$$

Решение основного дифференциального уравнения, записанного для интервала времени между двумя ударами,

$$m\ddot{x} + cx = \frac{N \sin(\omega t + \gamma)}{\pi(k^2 - \omega^2)},$$

имеет вид

$$x = C_1 \sin kt + C_2 \cos kt + \frac{N \sin(\omega t + \gamma)}{\pi(k^2 - \omega^2)}. \quad (7.25)$$

Отсюда следует, что скорость меняется по закону

$$\dot{x} = C_1 k \cos kt - C_2 k \sin kt + \frac{N \omega \cos(\omega t + \gamma)}{\pi(k^2 - \omega^2)}. \quad (7.26)$$

Из условий (7.21), (7.22) и (7.24) находим

$$C_2 + \frac{N \sin \gamma}{\pi(k^2 - \omega^2)} = -b,$$

$$C_1 \sin k\bar{T} + C_2 \cos k\bar{T} + \frac{N \sin(\omega\bar{T} + \gamma)}{\pi(k^2 - \omega^2)} = -b,$$

$$C_1 k + \frac{N \omega \cos \gamma}{\pi(k^2 - \omega^2)} =$$

$$= R \left[C_1 k \cos k\bar{T} - C_2 k \sin k\bar{T} + \frac{N \cos(\omega\bar{T} + \gamma)}{\pi(k^2 - \omega^2)} \right].$$

В этих трех уравнениях содержатся три неизвестные величины: постоянные C_1 и C_2 , а также начальная фаза γ вынуждающей силы. Пусть, например, $b = 0$; тогда, учитывая, что $\sin(\omega\bar{T} + \gamma) = \sin \gamma$, $\cos(\omega\bar{T} + \gamma) = \cos \gamma$, после решения уравнений найдем

$$\tan \gamma = \frac{(1+R)}{(1-R)} \tan \frac{k\bar{T}}{2} \frac{\pi}{k},$$

$$C_1 = -\frac{N \sin \gamma}{\pi(k^2 - \omega^2)} \tan \frac{k\bar{T}}{2},$$

$$C_2 = -\frac{N \sin \gamma}{\pi(k^2 - \omega^2)}.$$

Теперь можно записать закон движения, определенный для интервала времени $0 < t < \bar{T}$ (на других интервалах времени движение полностью повторяется):

$$x = \frac{N}{\pi(k^2 - \omega^2)} \left[\sin(\omega t + \gamma) - \sin \gamma \cos kt - \right. \\ \left. - \sin \gamma \sin kt \tan \frac{k\bar{T}}{2} \right].$$

Конечно, произведенное исследование колебаний избирательной системы недостаточно полно. Во-первых, формально дана возможность режима колебаний с периодом \bar{T} еще не означает его физической осуществимости — для этого необходимо, чтобы такой режим был устойчивым. Во-вторых, в подобных системах перед нами изученным решением возможны переходные режимы с переходами из одних, второе и т. д. большими (убогармоническими), и следовательно бы также исследовать их существование и устойчивость. И конечно так стоят и решаются задачи о работе различных избирательных механизмов.

§ 8. Линейные системы с неоднородными степенями свободы

1. Общие уравнения. Если на линейную колебательную систему без троек с n степенями свободы действует внешняя сила, поддающаяся заданным функциям времени, то уравнения Лагранжа принимают вид

$$\frac{d}{dt} \left(\frac{\partial T}{\partial q_j} \right) - \frac{\partial T}{\partial q_j} + \frac{\partial V}{\partial q_j} = Q_j \quad (j = 1, 2, \dots, n), \quad (8.1)$$

где $Q_j = Q_j(t)$ — обобщенные вынуждающие силы, соответствующие избранным обобщенным координатам q_j . Получаем обобщенные выражения (4.2) для кинетической и потенциальной энергии, приходим согласно (8.1) к следующему системе дифференциальных уравнений:

$$\sum_{k=1}^n (a_{jk}\ddot{q}_k + c_{jk}q_k) = Q_j \quad (j = 1, 2, \dots, n). \quad (8.2)$$

Если обобщенные координаты выбраны так, что из (4.6), то $c_{jk} = 0$ при $j \neq k$, и система уравнений (8.2) упрощается:

$$a_{jj}\ddot{q}_j + \sum_{k=1}^n c_{jk}q_k = Q_j \quad (j = 1, 2, \dots, n). \quad (8.3)$$

К этим уравнениям, каждое из которых содержит по одному обобщенному ускорению, можно пройти с помощью прямого способа, не пользуясь уравнениями Лагранжа.

Если при соответствующем выборе обобщенных координат в кинетической форме применяется потенциальная энергия ($c_{jk} = 0$ при $j \neq k$), то уравнения (8.2) принимают вид

$$\sum_{k=1}^n (a_{jk}\ddot{q}_k + c_{jk}q_k) = Q_j \quad (j = 1, 2, \dots, n). \quad (8.4)$$

Каждое из уравнений (8.4) содержит по одной обобщенной координате; эти уравнения можно получить непосредственно по обратному способу.

Ниже мы остановимся на некоторых важных типах зависимостей обобщенных вынуждающих сил $Q_j(t)$ от

2. Действие вынуждающих сил, изменяющихся по гармоническому закону: неподрессированное решение. Предположим, что обобщенные вынуждающие силы изменяются по гармоническому закону

$$Q_j = H_j^0 \sin(\omega t + \delta_j) \quad (j = 1, 2, \dots, n), \quad (8.5)$$

т. е. имеют одинаковые частоты, но различные амплитуды и фазы. Вместо (8.5) можно записать:

$$Q^j = H_j^0 \cos \delta_j \sin \omega t + H_j^0 \sin \delta_j \cos \omega t. \quad (8.6)$$

Далее, можно разделить задачу на две задачи: одна из них относится к случаю действия синусоидальных вынуждающих сил

$$Q_j = H_j \sin \omega t \quad (8.7)$$

(здесь принято обозначение $H_j = H_j^0 \cos \delta_j$), а вторая — к случаю действия косинусоидальных вынуждающих сил

$$Q_j = G_j \cos \omega t \quad (8.8)$$

(здесь $G_j = H_j^0 \sin \delta_j$). Эти задачи совершенно одинаковы, поэтому ограничимся случаем действия синусоидальных сил (8.7). Тогда уравнения (8.2) записываются так:

$$\sum_{k=1}^n (a_{jk}\ddot{q}_k + c_{jk}q_k) = H_j \sin \omega t \quad (j = 1, 2, \dots, n). \quad (8.9)$$

Установившееся движение будем рассматривать в виде

$$q_j = A_j \sin \omega t \quad (j = 1, 2, \dots, n). \quad (8.10)$$

В этой записи видно, что все обобщенные координаты изменяются с единой частотой, равной частоте вынуждающих сил.

Подставив (8.10) в дифференциальные уравнения (8.9), приходим к следующей системе алгебраических уравнений для определения амплитуд колебаний A_j :

$$\sum_{k=1}^n (c_{jk} - \omega^2 a_{jk}) A_k = H_j \quad (j = 1, 2, \dots, n). \quad (8.11)$$

К такой же системе можно пройти, если в (8.9) известна правая часть $H_j e^{i\omega t}$ и разложить решение в виде $q_j = A_j e^{i\omega t}$.

Решение системы уравнений (8.11) имеет вид

$$A_j = \frac{\delta_j}{B} \quad (j = 1, 2, \dots, n). \quad (8.12)$$

Здесь B — определитель, составленный из коэффициентов системы (8.11).

$$B = \begin{vmatrix} c_{11} - a_{11}\omega^2 & c_{12} - a_{12}\omega^2 & \dots & c_{1n} - a_{1n}\omega^2 \\ c_{21} - a_{21}\omega^2 & c_{22} - a_{22}\omega^2 & \dots & c_{2n} - a_{2n}\omega^2 \\ \vdots & \vdots & \ddots & \vdots \\ c_{n1} - a_{n1}\omega^2 & c_{n2} - a_{n2}\omega^2 & \dots & c_{nn} - a_{nn}\omega^2 \end{vmatrix}, \quad (8.13)$$

и Δ_j — определитель, который получается из B путем замены j -го столбца правым частям системы (8.11). Сокращенность определителя A_j определяет форму поперечных колебаний, т. е. конфигурацию системы при ее избирательном отклонении от состояния равновесия.

Более симметричный определитель D (8.12) с частотами определителя (4.29), то можно заметить, что они совпадают при $\omega = k$. Но в этом случае определитель D обращается в нуль, так как именно из этого условия были найдены собственные частоты k_1, k_2, \dots, k_n .

Однако если $D = 0$, а $\delta_j \neq 0$, то, как это видно из формулы (8.12), все амплитуды A_j становятся неограниченными, т. е. возникает резонанс. Таким образом, можно сказать, что резонанс наступает при совпадении частоты вынуждающей силы с любой из собственных частот.

Возможны и противоположные случаи, когда при одинаковых значениях ω обращаются в нуль некоторые определители Δ_j (при этом $D \neq 0$). Тогда амплитуды A_j , соответствующие координатам φ_j , оказываются равными нулю, что соответствует об отсутствии колебаний по этим координатам. Это явление называется «затуханием колебаний».

Составим подробнее на случай системы с двумя степенями свободы. Из уравнений (8.11) можно получить следующие формулы для амплитуд A_1 и A_2 :

$$\begin{aligned} A_1 &= \frac{B_1(c_{11} - a_{11}\omega^2) - B_2(c_{12} - a_{12}\omega^2)}{(c_{11} - a_{11}\omega^2)(c_{22} - a_{22}\omega^2) - (c_{12} - a_{12}\omega^2)^2} \\ A_2 &= \frac{B_2(c_{12} - a_{12}\omega^2) - B_1(c_{22} - a_{22}\omega^2)}{(c_{11} - a_{11}\omega^2)(c_{22} - a_{22}\omega^2) - (c_{12} - a_{12}\omega^2)^2}. \end{aligned} \quad (8.14)$$

Показано, далее, что подстановка выбором координат достигнутое вышеупомянутое равенство $a_{11} = a_{22} = 0$ и, кроме того, задано $B_2 = 0$.

При этих условиях выражения (8.14) принимают вид

$$\begin{aligned} A_1 &= \frac{B_1(c_{11} - a_{11}\omega^2)}{(c_{11} - a_{11}\omega^2)(c_{22} - a_{22}\omega^2) - c_{12}^2}, \\ A_2 &= \frac{B_2 c_{12}}{(c_{11} - a_{11}\omega^2)(c_{22} - a_{22}\omega^2) - c_{12}^2}. \end{aligned} \quad (8.15)$$

Условие

$$(c_{11} - a_{11}\omega^2)(c_{22} - a_{22}\omega^2) - c_{12}^2 = 0 \quad (8.16)$$

определяет два возможных значения частоты вынуждающей силы; они равны собственным частотам k_1 и k_2 рассматриваемой системы с двумя степенями свободы.

Условие

$$c_{12} = a_{12}\omega^2 = 0 \quad (8.17)$$

определяет частоту интересующуюся. При этой частоте колебаний, соответствующих первой координате, полностью отсутствуют, а наибольшее значение второй координаты согласно (8.15) равно

$$A_2 = -\frac{B_2}{c_{12}}.$$

В этом результате содержится интересная возможность практической борьбы с колебаниями; ее используют в некоторых областях техники. Допустим, что имеется некоторая система с одной степенью свободы, подверженная действию гармонической вынуждающей силы. Установив систему путем добавления дополнительной массы на упругой связи в подчиненном положении листности и массы динамической части условия (8.17), можно избежать устрашения колебаний основной части системы; в этом случае дополнительная часть системы вынуждена динамически гаситься колебанием (динамическим гашением).

Следует иметь в виду, что такой гаситель эффективен лишь при строгом выполнении частоты ω вынуждающей силы; в противном случае он может оказаться даже нередким. Для смягчения этого недостатка обычно кидает в систему динамического гасителя силы трения, и т.к.

которые делают генераторы из среднему положению в достаточно широком диапазоне частот ω .

Пример 8.1. На линейную группу систем с двумя степенями свободы (рис. 8.1) действуют гармонические возмущения силы F_1 и F_2 . Найдем, при каких собственных частотах ω_1 и ω_2 правый груз имеет коэффициент неизменности c_1 , приводимый колебаниями левого груза, т. е. правый груз показывает линейческое сопротивление возмущениям. Коэффициент неизменности c_1 имеет формулу и тогда же, когда $\omega = \omega_1$ или $\omega = \omega_2$.

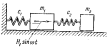


Рис. 8.1

Причтите на обобщенные координаты относительных движений, составьте дифференциальные уравнения:

$$\begin{aligned} M_1 \sin \omega t - c_1 x_1 + c_2 (x_2 - x_1) &= m_1 \ddot{x}_1, \\ -c_2 (x_2 - x_1) - m_2 \ddot{x}_2 &= m_2 \ddot{x}_2. \end{aligned}$$

Принеся эти уравнения в форму (8.1)

$$\begin{aligned} m_1 \ddot{x}_1 + (c_1 + c_2)x_1 - c_2 x_2 &= M_1 \sin \omega t, \\ m_2 \ddot{x}_2 - c_2 x_1 + c_2 x_2 &= 0, \end{aligned}$$

установим:

$$\begin{aligned} x_1 &= x_{10}, \quad x_2 = x_{20} = 0, \quad \ddot{x}_1 = \ddot{x}_{10}, \\ x_1 &= x_1 + x_{10}, \quad x_2 = x_2 - x_{20} = -x_2, \quad \ddot{x}_1 = \ddot{x}_1, \\ x_2 &= x_2 - x_{20} = x_2. \end{aligned}$$

Составим уравнение (8.1) для левого груза

$$\ddot{x}_1 - m_1 \omega^2 = 0,$$

т. е. изначальное сопротивление (среднее значение приведенного груза) имеет вид

$$\frac{\ddot{x}_1}{x_{10}} = \omega^2$$

и не зависит от значений x_1 и x_2 . На рис. 8.2 показано изменение амплитуд A_1 и A_2 в зависимости от частоты ω колебаний левого груза. При нестационарном гребении было предложено $M_1 = 10$ Н, $c_1 = c_2 = -10$ Н/рад, $m_1 = m_2 = 1000$ кг. При этом собственные частоты равны $\omega_1 = 0,628$ с⁻¹, $\omega_2 = 1,013$ с⁻¹, а коэффициенты амплитуды частота равна 1 с⁻¹.

Пример 8.2. На две монолитные коробчатые спиралевые группы, состоящие из двухступенчатой гармошки (рис. 8.3, а), массы групп одинаковы и равны M , жесткость EJ сечения балки постоянна. На средний груз действуют вынуждающие силы F_1 и F_2 .

Дифференциальные уравнения движения групп имеют следующий вид, если считать с начальными обратной способой. Пусть x_1 и x_2 — обобщенные координаты F_1 и F_2 — отклонения групп от положения равновесия:

т. е. системы с изначальными степенями свободы

105

равновесия, — имеем

$$\ddot{x}_1 = -\omega_1^2 x_1 - m_1 \ddot{F}_1 - m_2 \ddot{F}_2 + F \sin \omega t,$$

$$\ddot{x}_2 = -\omega_2^2 x_2 - m_2 \ddot{F}_2 - m_1 \ddot{F}_1 + F \sin \omega t,$$

$$\ddot{x}_1 = -\omega_1^2 x_1 - m_1 \ddot{F}_1 - m_2 \ddot{F}_2 + F \sin \omega t,$$

где ω_1 — коэффициенты колебаний (периодичные перемещения); из

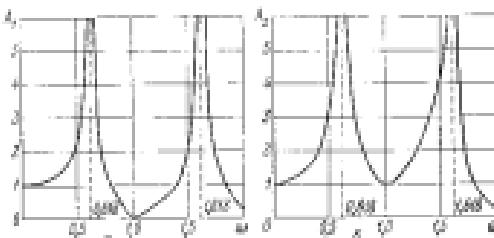


Рис. 8.2

получаемось по их начальным, приведем сразу окончательные значения:

$$\delta_{11} = \delta_{22} = \frac{73}{5}, \quad \delta_{12} = \delta_{21} = \delta_{13} = \delta_{31} = \frac{117}{5},$$

$$\delta_{23} = \frac{263}{5}, \quad \delta_{32} = \delta_{31} = \frac{51}{5}.$$

т. е. $\beta = 9 \cdot 120625/\pi^2$. С учетом этих значений, а также равности $m_1 = m_2 = m_3 = m$ дифференциальные уравнения преобразуются

$$117m\ddot{x}_1 + 117m\ddot{x}_2 + 33m\ddot{x}_3 + j_F = 117M \sin \omega t,$$

$$117m\ddot{x}_2 + 243m\ddot{x}_1 + 117m\ddot{x}_3 + j_F = 243M \sin \omega t,$$

$$33m\ddot{x}_3 + 117m\ddot{x}_1 + 117m\ddot{x}_2 + j_F = 117M \sin \omega t.$$

Теперь можно составить уравнение (8.1) для оценки амплитуд колебаний:

$$(1) - 12m\omega^2 A_1 - 117m\omega^2 A_2 - 33m\omega^2 A_3 = 117M,$$

$$-117m\omega^2 A_1 + (1 - 243m\omega^2)A_2 - 117m\omega^2 A_3 = 243M,$$

$$-33m\omega^2 A_1 - 117m\omega^2 A_2 + (1 - 73m\omega^2)A_3 = 117M;$$

отсюда находим

$$A_1 = A_2 = \frac{M}{5} \frac{117}{1 - 243m + 33m\omega^2},$$

$$A_3 = \frac{M}{5} \frac{243m}{1 - 243m + 33m\omega^2},$$

где $\omega = \omega_1 \omega^2$). Как видно, амплитуды колебаний зависят от характеристики параметра ω , то есть от сопротивления с изначальным частоты колебаний

демпф. При $\omega_0 = 0,00278$ и $\alpha_0 = 0,01111$ замкнутые изображения изгибов образуются в пульс. т. е. замкнутые колебания становятся изограниченными (разрывными) состояниями, когда частота изограничения совпадает с какой-либо собственной частотой рассматри-

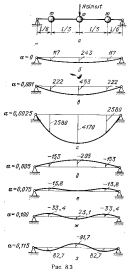


Рис. 8.3.

ваемой системы). На рис. 8.3, б — ω показаны формы изогнутой оси балки при $\delta/\delta_0 = 1$ и постоянных значениях параметров α (так как при изменении α значения A_1 и A_2 изменяются на величину

порядка), краяны построены в различных масштабах). Краяны на рис. б построены для $\alpha = 0$ (стационарные нагрузки). По форме от них мало отличаются краяны на рис. а, относящиеся к различному изогнувшему значению параметра α . Краяны на рис. б построены для исследований узловых и блочных и первой собственной формы. Краяны на рис. а относятся к многочастотным условиям $\alpha < 0,005$; сюда также нужно заметить, что изогнувшись изогнутые решения систем с одной степенью свободы, краяны на рис. а соответствуют изогнувшимся (для $\alpha = 0,0113$ значение $\Delta\delta$ обозначено в пульс.). На рис. ж показана краяна для частоты, первого нечетного, члене собственных частот, в краяне на рис. а — для частоты, четвертого промежуточного члена собственной частоты. Можно показать, что при дальнейшем возрастании параметра α изогнутые края в принципе будут такие, как на рис. а.

3. Действие произвольных вынуждающих сил; разложение по собственным формам. В случаях, когда вынуждающие силы изменяются не по гармоническому закону, цеплесообразно перейти к нормальным (плоским) координатам. При этом вместо системы дифференциальных уравнений (8.2) или системы (8.2) и (8.4) получается система линейных дифференциальных уравнений

$$\ddot{y}_j + k_j^2 y_j = Q_j^k \quad (j = 1, 2, \dots, 4), \quad (8.18)$$

в которой y_j — нормальные координаты, k_j — собственные частоты, Q_j^k — производные обобщенные силы. После того как обобщенные системы (8.18), дальнейшее решение сводится к исследованию членов ряда изогнувшихся систем с одной степенью свободы (см. п. 4 § 3).

Пусть обобщенные координаты первоначально записаны таким образом, что исходная система дифференциальных уравнений записывается в виде (8.3). Для требуемого периода и системы (8.18) нужно предварительно найти собственные частоты k_j и коэффициенты собственных форм x_{ij} . Далее положим

$$q_j := \sum_{i=1}^4 x_{ij} p_i. \quad (8.19)$$

Тогда (8.3) записывается в виде

$$a_{ij} \sum_{i=1}^4 x_{ij} \ddot{p}_i + \sum_{i=1}^4 c_{ji} \sum_{i=1}^4 x_{ij} p_i = Q_j. \quad (8.20)$$

Изменяя порядок суммирования во втором слагаемом:

$$\sum_{i=1}^4 c_{ji} \sum_{i=1}^4 x_{ij} p_i = \sum_{i=1}^4 q_j \sum_{i=1}^4 c_{ji} x_{ij},$$

и заметим, что векторы слоя суммы по k согласно (4.66) равны

$$\sum_{j=1}^k c_j \mathbf{x}_{j\alpha} = c_k \beta_{\alpha}^k \mathbf{x}_{j\alpha}.$$

Теперь уравнение (8.20) принимает вид

$$a_j \sum_{l=1}^k \mathbf{x}_{jl} (\ddot{\eta}_l + k_l^2 \eta_l) = Q_j. \quad (8.21)$$

Умножим это уравнение на \mathbf{x}_{im} и затем сложим их:

$$\sum_{j=1}^k \mathbf{x}_{jm} c_j \sum_{l=1}^k \mathbf{x}_{jl} (\ddot{\eta}_l + k_l^2 \eta_l) = \sum_{j=1}^k Q_j x_{jm},$$

или

$$\sum_{j=1}^k (\ddot{\eta}_j + k_j^2 \eta_j) \sum_{l=1}^k a_j x_{jl} x_{lm} = \sum_{j=1}^k Q_j x_{jm}. \quad (8.22)$$

Согласно свойству ортогональности собственных функций (4.65) разность между векторами в левой части суммы по j , кроме той, в которой индекс l совпадает с индексом m . Поэтому (8.22) можно записать в виде

$$(\ddot{\eta}_m + k_m^2 \eta_m) \sum_{j=1}^k a_j x_{jm} = \sum_{j=1}^k Q_j x_{jm}.$$

Окончательно получаем дифференциальные уравнения в нормальных координатах

$$\ddot{\eta}_m + k_m^2 \eta_m = Q_m^* \quad (m = 1, 2, \dots, s), \quad (8.23)$$

где

$$Q_m^* = \frac{\sum_{j=1}^k Q_j x_{jm}}{\sum_{j=1}^k a_j x_{jm}} \quad (m = 1, 2, \dots, s). \quad (8.24)$$

это производные амплитудные силы.

Если обобщенные координаты были выбраны так, что исходные дифференциальные уравнения записываются в виде (8.4), то аналогично можно привести и (8.23),

прине-

$$Q_m^* = \frac{c_m^2 \sum_{j=1}^k \theta_j x_{jm}}{\sum_{j=1}^k a_j x_{jm}}. \quad (8.25)$$

Таким образом, составленные уравнения (8.21) должны предшествовать определение собственных форм, т. е. коэффициентов a_{jl} , и собственных частот k_l ; затем обрабатываются выражения (8.24) или (8.25), и задача сводится к интегрированию линейных уравнений (8.23), каждое из которых описывает движение некоторой системы с одной степенью свободы. После интегрирования этих уравнений можно получить выражения для начальных избранных обобщенных координат φ , с помощью соотношений (8.19).

Пример 8.3. На жесткий груз рассматриваемой ранее системы с двумя степенями свободы (рис. 8.1) действует вынуждающая сила

$$Q_1 = M_1(1 - e^{-\omega t}).$$

(M_1 и ω — заданные величины). Найти движение системы.

Для этой системы при $c_1 = c_2 = r$, $m_1 = m_2 = m$ в § 4 было найдено

$$k_1^2 = 0,378 \frac{r}{m}, \quad k_2^2 = 2,038 \frac{r}{m},$$

$$x_{11} = 1,018, \quad x_{22} = -0,153,$$

По формуле (8.24) находим производные вынуждающей силы:

$$Q_1^* = \frac{Q_1}{m + m/0,378^2} = \frac{0,378 M_1}{m} (1 - e^{-\omega t}),$$

$$Q_2^* = \frac{Q_1}{m + m/2,038^2} = \frac{0,723 M_1}{m} (1 - e^{-\omega t}).$$

Теперь образуем оба уравнения (8.23):

$$\ddot{\eta}_1 + 0,378 \frac{r}{m} \eta_1 = \frac{0,378 M_1}{m} (1 - e^{-\omega t}),$$

$$\ddot{\eta}_2 + 2,038 \frac{r}{m} \eta_2 = \frac{0,723 M_1}{m} (1 - e^{-\omega t}).$$

Решение этих уравнений находим с помощью выражения (8.19):

$$\eta_1 = \frac{0,273B}{\varepsilon} \left[1 - \frac{1}{1 + \beta_1^2} e^{-\omega t} - \frac{\beta_1}{1 + \beta_1^2} (\sin \delta_1 t + \beta_1 \cos \delta_1 t) \right],$$

$$\eta_2 = \frac{0,222B}{\varepsilon} \left[1 - \frac{1}{1 + \beta_2^2} e^{-\omega t} - \frac{\beta_2}{1 + \beta_2^2} (\sin \delta_2 t + \beta_2 \cos \delta_2 t) \right].$$

Здесь $\beta_1 = \alpha/\delta_1$, $\beta_2 = \alpha/\delta_2$. Воспользовавшись (8.19) находим

$$\begin{aligned} x_1 &= \eta_1 + \eta_2 = \frac{B}{\varepsilon} \left[1 - \left(\frac{0,218}{1 + \beta_1^2} + \frac{0,172}{1 + \beta_2^2} \right) e^{-\omega t} - \right. \\ &\quad \left. - \frac{0,218}{1 + \beta_1^2} (\sin \delta_1 t + \beta_1 \cos \delta_1 t) - \frac{0,172}{1 + \beta_2^2} (\sin \delta_2 t + \beta_2 \cos \delta_2 t) \right], \end{aligned}$$

$$\begin{aligned} x_2 &= \eta_2 \eta_1 + \eta_2 \eta_2 = \frac{B}{\varepsilon} \left[0,312 - \left(\frac{0,112}{1 + \beta_1^2} + \frac{0,137}{1 + \beta_2^2} \right) e^{-\omega t} - \right. \\ &\quad \left. - \frac{0,112}{1 + \beta_1^2} (\sin \delta_1 t + \beta_1 \cos \delta_1 t) + \frac{0,137}{1 + \beta_2^2} (\sin \delta_2 t + \beta_2 \cos \delta_2 t) \right]. \end{aligned}$$

4. Действие периодических вынуждающих сил. В случаях, когда действующие на систему вынуждающие силы изменяются по периодическому закону, возможны два пути решения задачи — в существует те же, что и для случая с одной степенной свободой.

Первый путь основан на разложении периодических вынуждающих сил в ряды Фурье; после такого разложения определяются гармонические движение, вынужденные отдельными гармониками сил (см. выше п. 2 настоящего параграфа), и найденные результаты наддоминантическим образом складываются.

Второй путь основной на предварительном переходе к нормальным координатам, как это было изложено в гл. 3 этого параграфа. Это приводит к виду задач о колебаниях систем с одной степенной свободой и позволяет получить решение в замкнутой форме, как это было показано в § 5, гл. 3.

Хотя в расчетной практике также идут по первому пути (например, при исследовании круговых колебаний валов двигателей внутреннего горения), однако иногда предпочтительнее может оказаться второй путь, особенно в тех случаях, когда тригонометрические ряды, в которых разложены вынуждающие силы, медленно сходятся.

Глава III

ПАРАМЕТРИЧЕСКИЕ КОЛЕБАНИЯ

§ 9. Общие понятия

1. Основное дифференциальное уравнение. В рассмотренных выше задачах о колебаниях действующие силы можно было отнести к одной из трех категорий: постоянные (в частности, восстанавливающие) силы, зависящие только от обобщенных координат φ ; динамические силы, определяемые обобщенными скоростями $\dot{\varphi}$; вынуждающие силы, являющиеся заданными функциями времени t .

Однако существуют силы более сложной природы, в частности нестационарные возмущающие силы, которые зависят от координат φ , а также от времени t (в первом виде):

$$Q_i = Q_i(\varphi, \dot{\varphi}, \dots, \ddot{\varphi}, t) \quad (i = 1, 2, \dots, n), \quad (9.1)$$

и именно так, что их математическое представление в виде суммы двух слагаемых, одно из которых зависит только от координат, а другое — только от времени.

Согласно рассмотрением линейных систем с одной степенью свободы, когда при малых отклонениях от положения равновесия обобщенная сила определяется выражением

$$Q = -c\dot{\varphi}, \quad (9.2)$$

точно, в отличие от случаев действия стационарных восстанавливающих сил, параметр $c = c(t)$ является функцией времени.

Дифференциальное уравнение движения

$$a\ddot{\varphi} + c(t)\dot{\varphi} = 0 \quad (9.3)$$

содержит переменный коэффициент и описывает гармонические колебания.

Как мы увидим ниже, свойства движения, описываемого уравнением (9.3), существенно отличаются от свойств свободных колебаний, определяемых дифференциальными уравнениями с постоянными коэффициентами.

Важное значение имеют периоды возвращающихся в приведенных случаях периодического изменения параметра, когда

$$\varepsilon(t+T) = \varepsilon(t). \quad (9.4)$$

Соответствующие этим случаям колебания называются параметрически возбуждаемыми или, короче, параметрическими. Решением дифференциального уравнения (9.2) при условии (9.4) мы видим, что, во-первых, это значит, что амплитуды параметрических колебаний — в зависимости от начальных постоянных системы — либо

остаются ограниченными, либо возрастают во времени.

Окончную опасность представляют колебания с возрастающими амплитудами; это явление называют параметрическим резонансом. По некоторым признакам, с которыми будет сказано ниже, параметрический резонанс существенно отличается от обычного резонанса в определенном смысле опаснее последнего.

2. Параметрические колебания выше положения равновесия. Прежде чем обратиться к решению дифференциального уравнения (9.3) и исследованию возможности параметрического резонанса, рассмотрим некоторые простые механические системы, колебания которых являются параметрическими; в этих случаях часто параметрическими называют и саму систему.

В качестве первого примера рассмотрим симметричную модель жесткую балку длиной l со средней шарнирной подвижной опорой и двумя упругими опорами на концах. Коэффициенты жесткости упругих опор одинаковы и равны ε (рис. 9.1). К балке приложена перекосная гармоническая сила $P(t)$, заданная в виде периодической функции времени. В положении равновесия ось балки горизонтальна. При малых угловых перемещениях балки от положения равновесия (см. шариковую линию



Рис. 9.1

на рисунке) на нее действует момент сил упругости $-εφ^2$ и момент продольной силы $P(t)φ$; полный момент, представляющий собой обобщенную силу в данной задаче,

$$M = -[εφ^2 - P(t)φ].$$

Соответствующее фазике координатам φ и времени t. Соответствующее дифференциальное уравнение движения имеет вид

$$-[εφ^2 - P(t)]\ddot{\phi} = I\ddot{\varphi}$$

(где I — момент инерции балки относительно оси вращения), или

$$\frac{d}{dt}\left(\frac{εφ^2 - P(t)}{I}\right)\dot{\phi} = 0.$$

Оно относится к типу (9.3).

Другим примером может служить маятник с колеблющимся по вертикальной линии подвесом (рис. 9.2, а). Пусть l — длина маятника, m — масса груза, y = y(t) — заданный периодический закон движения точки подвеса. Дифференциальное уравнение маятика относительных колебаний маятника имеет вид

$$(-εy + my)\ddot{\varphi} = m\ddot{y}$$

($-εy$ — перекосная сила инерции), или

$$\frac{d}{dt}\left(\frac{εy + m\ddot{y}}{I}\right)\dot{\varphi} = 0; \quad (9.5)$$

как видно, эта система также относится к типу параметрических.

В качестве третьего примера рассмотрим вертикальный балансирный упругий стержень, л длиной l , показанный на рис. 9.2, б. С концами стержня связаны сосредоточенный груз 4. Верхней опорой служит шарнирный шарнир 2, а нижней опорой служит шарнир 3 с горизонтальной подвижностью. Если считать подвижник шарнирной опорой и пренебречь влиянием силы тяжести груза, то коэффициент жесткости балки определяется

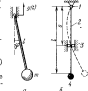


Рис. 9.2

формулой теории сопротивления материалов

$$\ddot{x} = \frac{3EJ}{\mu(1-\nu)^2}$$

где x — расстояние между опорами.

Вертикаль задано гармоническое движение около положения среднего положения, определяемого расстоянием x . Состояние равновесия соответствует положению груза на вертикаль и прямолинейная форма его стержня.

При измущении этого состояния груз отклоняется в стороны, если балка изгибается, и последующее движение груза описывается дифференциальным уравнением

$$\ddot{x} + \frac{3EJ}{\mu(1-\nu)^2} x = 0, \quad (9.6)$$

которое также относится к рассматриваемому здесь типу.

Исследование решения подобных дифференциальных уравнений позволяет судить об устойчивости состояния равновесия, около которого происходит колебание. Если параметрические изображимые колебания постепенно возрастают (или не в крайней мере не имеют тенденции к возрастанию), то состояние равновесия следует признать устойчивым; если же колебание происходит с возрастающими амплитудами (изоампметрический резонанс), то состояние равновесия неустойчиво. Поэтому в подобных случаях самым важным является выяснение основной тенденции параметрических колебаний.

3. Параметрические колебания около стационарного режима движения. К необходимости исследовать свойства решений дифференциальных уравнений с переменными коэффициентами приводят также задачи об устойчивости стационарных режимов движения. Обычно дело сводится к следующему.

Допустим, что после решения некоторой задачи о движении механической системы найден режим движения, определяемый функцией $\varphi = \varphi(t)$. Для исследования устойчивости этого режима необходимо предположить, что он в виде любой образа нарушен и возмущение движение описывается функцией $\varphi + \delta\varphi$, близкой к функции $\varphi(t)$; здесь $\delta\varphi(t)$ — вариация функции $\varphi(t)$, т. е. отклонение системы от исследуемого режима движения. Если функция $\delta\varphi$ с течением времени возрастает, то исследуемый режим $\varphi = \varphi(t)$ неустойчив; в случае постепенного затухания функции $\delta\varphi$ режим $\varphi = \varphi(t)$ устойчив,

Как оказывается, для функции $\delta\varphi(t)$ в ряде случаев можно получить дифференциальное уравнение типа (9.3). Характер решения этого уравнения позволяет сделать заключение об устойчивости режима движения $\varphi = \varphi(t)$.

Покажем склонное примером из области вынужденных колебаний систем с нелинейной восстанавливающей силой (см. гл. II, § 7). Дифференциальное уравнение колебаний такой системы имеет вид

$$\ddot{\varphi} + F(\varphi) = Q(t), \quad (9.7)$$

причем $F(\varphi)$ и $Q(t)$ — заданные функции координаты и времени. Как мы знаем, решение этого уравнения может быть неоднозначным и возможно существование нескольких стационарных режимов с различными амплитудами

$$\varphi_1 = \varphi_1(t), \quad \varphi_2 = \varphi_2(t), \quad \varphi_3 = \varphi_3(t).$$

Так как среди этих режимов физически осуществляются только устойчивые режимы, то никакого решения задачи о вынужденных колебаниях должно содержаться не только ненормированное (точнее, или приближенное) возможных режимов, но и анализ их устойчивости.

Для исследования устойчивости какого-либо из найденных режимов, например режима $\varphi_1 = \varphi_1(t)$, предположим, что он каким-либо образом измущен и, следовательно, движение системы будет описываться суммой $\varphi_1 + \delta\varphi$; здесь второй слагаемый, $\delta\varphi$, представляет собой возмущение функции φ .

Об устойчивости стационарного режима $\varphi_1 = \varphi_1(t)$ можно судить по характеру изменения со временем возмущения $\delta\varphi$. Если выясняется, что при $t \rightarrow \infty$ возмущение $\delta\varphi \rightarrow 0$ или остается ограниченным, то возмущенное движение будет стремиться к стационарному режиму или оставаться вблизи него; следовательно, последний устойчив. Если же при $t \rightarrow \infty$ вариация $\delta\varphi$ постепенно возрастает, то исследуемый стационарный режим неустойчив.

Решение $\varphi_1(t)$ должно удовлетворять дифференциальному уравнению (9.7):

$$\ddot{\varphi}_1 + F(\varphi_1) = Q(t); \quad (9.8)$$

во тому же дифференциальному уравнению (9.7) должно удовлетворять также функция $\varphi_1 + \delta\varphi$:

$$\ddot{\varphi}_1 + \ddot{\delta\varphi} + F(\varphi_1 + \delta\varphi) = Q(t).$$

Рассмотрим малые величины δq , мы можем принять $F(q_1 + \delta q_1) \approx F(q_1) + F'(q_1)\delta q_1$,

где первое «забывает» дифференцирование по координате q_1 , т. е.

$$\ddot{q}_1 + \alpha\dot{q}_1 + F(q_1) + F'(q_1)\delta q_1 = Q(t). \quad (9.9)$$

Вычитая уравнение (9.8) из уравнения (9.9), получим

$$\alpha\ddot{\delta q}_1 + F'(q_1)\delta q_1 = 0. \quad (9.10)$$

Но так как δq_1 представляет некоторую известную функцию времени (стационарный режим), то и $F'(q_1)$ также является функцией времени, т. е. дифференциальное уравнение (9.10) есть уравнение типа (9.3).

Пусть, например,

$$F(q) = \frac{1}{2}q^2, \quad Q(t) = H \sin \omega t,$$

и необходимо исследовать установившийся стационарный режим

$$q_1 = A_1 \sin \omega t,$$

который был найден в § 7 гл. II.

В данном случае

$$F'(q) = 3\delta q_1^2 = 3\delta A_1^2 \sin^2 \omega t$$

и для вариации стационарного режима получим дифференциальное уравнение

$$\ddot{\delta q}_1 + (3\delta A_1^2 \sin^2 \omega t) \delta q_1 = 0, \quad (9.11)$$

полностью соответствующее уравнению (9.3).

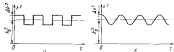


Рис. 9.3

В следующих двух параграфах будут рассмотрены решения дифференциальных уравнений типа (9.3), которое записано в виде

$$\ddot{q} + K^2(t)q = 0. \quad (9.12)$$

Однако сразу отметим, что интегрирование этого уравнения

§ 10. ПАРАМЕТРИЧЕСКОЕ ВОЛНОВОДНО-ПОСТОЯННОМУ ЗАКОНУ 177

или при производной периодической функции $K^2(t)$ весьма сложна. Поэтому ниже мы остановимся только на двух относительно простых случаях, когда изменение параметра следует периодическому кусочно-постоянному закону либо закону синуса (в обоих случаях с дополнительным изогнутым слагаемым — см. рис. 9.3).

§ 10. ПАРАМЕТРИЧЕСКОЕ ВОЛНОВОДНО-ПОСТОЯННОМУ ЗАКОНУ

1. Колебания при отсутствии трения. Рассмотрим случай, соответствующий случаю рис. 9.3, а. При этом дифференциальное уравнение (9.12) принимает вид

$$\ddot{q} + k_0^2(1 \pm \mu)q = 0, \quad (10.1)$$

где $\mu = \Delta k^2/k_0^2$.

Найду того, что в течение каждого полупериода $T/2 = \pi/k_0$ дифференциальное уравнение имеет постоянные коэффициенты, можно воспользоваться способом приведения к виду

Рассмотрим какой-либо период T изменения коэффициента k^2 в соответствии с началом этого периода начало отсчета времени. В первом полупериоде, когда $0 < t < \pi/k_0$, дифференциальное уравнение (10.1) имеет вид

$$\ddot{q}_1 + k_0^2(1 + \mu)q_1 = 0, \quad (10.2)$$

в то время полупериоде $T/2 < t < T$ соответственно будет

$$\ddot{q}_2 + k_0^2(1 - \mu)q_2 = 0. \quad (10.3)$$

Дифференциальные уравнения (10.2) и (10.3) с постоянными коэффициентами имеют решения

$$q_1 = C_1 \sin k_1 t + D_1 \cos k_1 t, \quad (10.4)$$

$$q_2 = C_2 \sin k_2 t + D_2 \cos k_2 t,$$

причем $k_1 = k_0 \sqrt{1 + \mu}$, $k_2 = k_0 \sqrt{1 - \mu}$. В этих выражениях содержатся четыре постоянные, C_1 , D_1 , C_2 , D_2 , для определения которых необходимы четыре условия. Для условия относится к моменту времени $t = T/2$, общими для обоих полупериодов, а указанный момент должен быть

$$q_1\left(\frac{T}{2}\right) = q_2\left(\frac{T}{2}\right), \quad \dot{q}_1\left(\frac{T}{2}\right) = \dot{q}_2\left(\frac{T}{2}\right). \quad (10.5)$$

Это дает следующие соотношения:

$$\begin{aligned} C_1 \sin \frac{k_1 T}{2} + D_1 \cos \frac{k_1 T}{2} &= C_2 \sin \frac{k_2 T}{2} + D_2 \cos \frac{k_2 T}{2}, \\ k_1 \left(C_1 \cos \frac{k_1 T}{2} - D_1 \sin \frac{k_1 T}{2} \right) &= k_2 \left(C_2 \cos \frac{k_2 T}{2} - D_2 \sin \frac{k_2 T}{2} \right). \end{aligned} \quad (10.6)$$

Запишем еще два соотношения:

$$\lambda q_1(0) = q_2(T), \quad \lambda q_1(0) = q_2(T), \quad (10.7)$$

в которых λ — некоторое, пока неизвестное число. Соотношениями (10.7) утверждается, что во времени рассматриваемого периода «обобщенная координата и обобщенная скорость изменяются в λ раз». Согласованно этому движение в следующем первом начнется при нимавших λ раз начальных условиях, т. е. будет повторять движение в рассмотреваемом первом, но в умноженном в λ раз масштабе.

Если $|\lambda| > 1$, то колебания в каждом следующем периоде будут усиливаться, а если $|\lambda| < 1$, то они будут постепенно затухать. Таким образом, устойчивость или неустойчивость системы определяется значениями модуля λ .

Представим решения (10.4) в соотношении (10.7), получим

$$\begin{aligned} AD_1 &= C_2 \sin k_2 T + D_2 \cos k_2 T, \\ M_2 k_1 &= C_2 k_2 \cos k_2 T - D_2 k_2 \sin k_2 T. \end{aligned} \quad (10.8)$$

Система уравнений (10.6) и (10.8) однородна относительно постоянных C_1, D_1, C_2, D_2 и имеет решение откуда решения только в том случае, если разен нулю определитель, составленный из ее коэффициентов:

$$\begin{vmatrix} \sin \frac{k_1 T}{2} & \cos \frac{k_1 T}{2} & -\sin \frac{k_2 T}{2} & -\cos \frac{k_2 T}{2} \\ k_1 \cos \frac{k_1 T}{2} & -k_1 \sin \frac{k_1 T}{2} & -k_2 \cos \frac{k_2 T}{2} & k_2 \sin \frac{k_2 T}{2} \\ 0 & \lambda & -\sin k_2 T & -\cos k_2 T \\ k_1 & 0 & -k_2 \cos k_2 T & k_2 \sin k_2 T \end{vmatrix} = 0.$$

Разделим на $k_1 k_2$ и умножим на -1 , получим следующее уравнение:

$$\lambda^2 - 2k_2 + 1 = 0, \quad (10.9)$$

которое называется по косоупостоянному закону 179

в котором для краткости обозначено

$$\begin{aligned} A &= \cos \frac{k_1 T}{2} \cos \frac{k_2 T}{2} - \frac{k_1^2 + k_2^2}{2k_1 k_2} \sin \frac{k_1 T}{2} \sin \frac{k_2 T}{2} = \\ &= \cos \operatorname{arctg} \sqrt{1 + \mu} \cos \operatorname{arctg} \sqrt{1 - \mu} - \\ &- \frac{1}{\sqrt{1 - \mu^2}} \sin \operatorname{arctg} \sqrt{1 + \mu} \sin \operatorname{arctg} \sqrt{1 - \mu}. \end{aligned} \quad (10.10)$$

причем $\mu = k_2 T / (2\pi)$ есть отношение среднего значения k_2 собственной частоты к частоте пульсации параметра. Корни уравнения (10.9) следующие:

$$\lambda_1 = A - \sqrt{A^2 - 1}, \quad \lambda_2 = A + \sqrt{A^2 - 1}. \quad (10.11)$$

Для того чтобы числа λ_1 и λ_2 были вещественными, них это предполагается по смыслу решений задачи, должно быть

$$|A| \geq 1, \quad (10.12)$$

т. е. либо $A \geq 1$, либо $A \leq -1$. Но в обоих этих случаях модуль одного из корней (10.11) больше единицы:

$$\begin{aligned} \text{если } A \geq 1, \text{ то } |\lambda_2| &\geq 1; \\ \text{если } A \leq -1, \text{ то } |\lambda_1| &\geq 1. \end{aligned}$$

Отсюда следует, что если выполнены неравенства (10.12), то колебания будут с каждым новым периодом усиливаться. Неравенство представляет собой не только условие неустойчивости множителя λ , но одновременно и условие возникновения параметрического резонанса.

Так как значение A зависит от двух постоянных величин α и μ , то их значения полностью определяют устойчивость системы.

На рис. 10.1 представлена построения с помощью условия (10.12) диаграмма устойчивости, на оси которой отложены значения $\alpha \omega^2$ и $2\pi\mu^2$. В неограниченных областях изменения параметров α и μ показано, что условие (10.12) выполняется, т. е. система неустойчива. Заштрихованые области диаграммы соответствуют устойчивым состояниям системы. С помощью такой диаграммы можно сразу судить об устойчивости по данным значением α и μ без знания дополнительных величин.

Прежде всего обратим внимание на те зоны областей неустойчивости, которые расположены обеими горизонталиами

тальной оси, т. е. соответствуют малым значениям параметра μ . Как видно, в этих зонах $\Phi^2 \approx \mu^2$, т. е.

$$\alpha \approx \frac{\mu}{2} \quad (\mu = 1, 2, \dots) \quad (10.13)$$

То же можно найти из (10.10), положив $\mu = 0$. В самом деле,

$$A = \cos^2 \varphi_0 - \sin^2 \varphi_0 = \cos 2\varphi_0,$$

т. е. при проекционных зонах с импом $|A| < 1$. Равство $|A| = 1$, соответствующее возникновению пар-

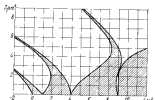


Рис. 10.1

амплитудного разрыва, возможно при условии, что аргумент $2\varphi_0$ удовлетворяет равенству

$$2\varphi_0 = \pi n \quad (n = 1, 2, \dots),$$

из которого также следует соотношение (10.13).

Таким образом, если выполняется условие (10.13), то параметрический разрыв возникает при сколь угодно малой глубине пульсации. При этом основное значение имеет случай $n = 1$, когда $\alpha = 1/2$, т. е. когда среднее значение собственной частоты однократно меньше частоты параметрического излучения.

При значительной глубине пульсации и замкнутом отключении μ от нуля параметрический разрыв возникает в тех областях значений α , расположенных nearest to значений (10.13); чем больше значение значения μ , тем шире эти области. По этой причине открытие от парамет-

рического разрыва труднее, чем от обычного резонанса: параметрический разрыв более опасен, чем обычный, еще и по той причине, что линейно деформированное (которое выше вообще не учитывалось) лишь несколько суживает область перегибов, то неспособно ограничить возрастание амплитуд колебаний в этих областях^{*)}.

Пример 10.1. Груз 1 массы m подвешен на линейчатой пружине 2 длины L ; коэффициент жесткости пружины равен c . Резонансная частота T гармонического обобщения частицы m , что движется между двумя поперечными оболочками, длина деформированной частицы обруча при обтекании L_0 (рис. 10.2). Найти изменения частоты \dot{T}_0 , при которых возникает параметрический разрыв.

Замечая, что первое изменение частоты $T = 2\pi/L_0$, в соответствии с глубиной пульсации, возможен разрыв параметрического разрыва:

$$\Theta = k_0 T / 2\pi = \pi/2 \quad (n = 1, 2, \dots).$$

Полагая сила $k_0 = \sqrt{cm}$, $T = 2\pi/L_0$, находим

$$L_0 = \frac{\pi c}{2} \sqrt{\frac{m}{c}},$$

последующее значение L_0 соответствует $n = 1$:

$$L_0 = \frac{\pi}{2} \sqrt{\frac{m}{c}},$$

т. е. шестидесятикратно меньше периода свободных колебаний груза.

2. Влияние линейного трения. При наличии линейного трения вместо дифференциального уравнения (10.4) имеем

$$\ddot{\theta} + 2\dot{\theta} + k_0^2(\delta \pm \mu)\theta = 0, \quad (10.14)$$

в котором во-первых $\delta = \frac{b}{\mu}$, где b — коэффициент трения, а — инерционный коэффициент. Рассуждая, как и в п. 1, находим решение для обоих полупериодов:

$$q_1 = C_1 e^{-\mu t} \sin k_0^2 t + D_1 e^{-\mu t} \cos k_0^2 t,$$

$$q_2 = C_2 e^{-\mu t} \sin k_0^2 t + D_2 e^{-\mu t} \cos k_0^2 t,$$

^{*)} При действии гравитационных сил трение изменяется из-за изгибающей ограниченности.

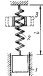


Рис. 10.2

$$k_1^* = \sqrt{k_1^2 - k^2} = \sqrt{(1 + \mu) k_0^2 - k^2},$$

$$k_2^* = \sqrt{k_2^2 - k^2} = \sqrt{(1 - \mu) k_0^2 - k^2}.$$

Условия в момент $t = T/2$ имеют вид

$$\dot{q}_1\left(\frac{T}{2}\right) = q_1\left(\frac{T}{2}\right), \quad \dot{q}_2\left(\frac{T}{2}\right) = q_2\left(\frac{T}{2}\right),$$

или

$$C_1 \sin \frac{k_1^* T}{2} + D_1 \cos \frac{k_1^* T}{2} = C_1 \sin \frac{k_0^* T}{2} + D_1 \cos \frac{k_0^* T}{2}, \quad (10.15)$$

$$\begin{aligned} C_1 \left(-h \sin \frac{k_1^* T}{2} + k_1^* \cos \frac{k_1^* T}{2} \right) - D_1 \left(h \cos \frac{k_1^* T}{2} + k_1^* \sin \frac{k_1^* T}{2} \right) \\ + k_1^* \sin \frac{k_1^* T}{2} = C_1 \left(-h \sin \frac{k_0^* T}{2} + k_0^* \cos \frac{k_0^* T}{2} \right) \\ - D_1 \left(h \cos \frac{k_0^* T}{2} + k_0^* \sin \frac{k_0^* T}{2} \right). \end{aligned}$$

Далее составлены два условия типа (10.7):

$$\lambda q_1(0) = q_2(T), \quad \lambda \dot{q}_1(0) = \dot{q}_2(T),$$

т. е.

$$\lambda D_1 = e^{-k_0^* T} (C_1 \sin k_1^* T + D_1 \cos k_1^* T),$$

$$\begin{aligned} \lambda (C_1 k_1^* - D_1 h) = e^{-k_0^* T} [C_1 (-h \sin k_1^* T + k_1^* \cos k_1^* T) \\ - D_1 (h \cos k_1^* T + k_1^* \sin k_1^* T)]. \end{aligned} \quad (10.16)$$

Четыре уравнения (10.15) и (10.16) образуют систему, однородную относительно постоянных C_1 , D_1 , C_2 , D_2 , отличные от нуля решения соответствуют другим, когда разы нулю определять, состоящий из коэффициентов системы, развернут второй, причем, аналогично (10.9), к квадратному уравнению

$$\lambda^2 - 2A(\lambda + B_1) = 0. \quad (10.17)$$

В каждом конкретном случае не заданным значениям k_0 , μ , h , T можно вычислить значения A_1 и B_1 , в которых спрятаны корни λ_1 и λ_2 квадратного уравнения (10.17). Признаком неустойчивости служит вещественность кор-

§ 11. ПАРАМЕТРИЧЕСКОЕ ВОЛНЕНИЕ

ней и неравенство $|A| > 1$ для наибольшего по модулю корня.

На основании наследственности колебаний корней, заметим, что для их вещественности (т. е. для неустойчивости системы) необходимо выполнение условия

$$|A_1| > t\bar{B}_1, \quad (10.18)$$

более жесткого, чем условие $|A| > 1$, получаемое выше для случая отсутствия тряски. В частности, при $h > 0$ и $\mu \rightarrow 0$ условие (10.18) не выполняется, т. е. параметрическое разложение невозможе. Это означает, что для колебаний парашютического рюкзака необходимы погоризонтальные, достаточно большие, глубины пульсации h . В целом тряска оказывает стабилизирующую действие и приводит к некоторому сужению областей неустойчивости.

§ 11. ПАРАМЕТРИЧЕСКОЕ ВОЛНЕНИЕ по закону синуса

1. Общие сведения. Этот случай изменения параметра иллюстрирован на рис. 9.3, б. Согласующее дифференциальное уравнение движения записано в виде

$$\ddot{q} + k_0^2(1 - \mu \cos \omega t)q = 0. \quad (11.1)$$

Как и в § 10, здесь k_0 — среднее значение собственной частоты, μ — относительная глубина пульсации переменного коэффициента. Дифференциальное уравнение с переменными коэффициентами (11.1) называется уравнением Матте. Обычно это уравнение записывают в форме

$$\frac{d^2q}{dt^2} + (a - 2\omega \cos 2t)q = 0, \quad (11.2)$$

и которой можно пройти, поменяв в уравнении (11.1)

$$at = 2t, \quad k_0^2 = \frac{\omega^2}{4}, \quad \mu = \frac{2\omega}{a}, \quad (11.3)$$

Решениями уравнения (11.2) служат специальные функции, называемые функциями Матте, свойства которых подробно изучены. Как и в случае рассмотренного в § 10 параметрического изобуждения, эти решения могут быть либо ограниченными, или неограниченными колебаниями. Найденные соответствующими этим случаям областей параметров a и μ приведены в диаграмме устойчивости, котор-

рал дана в готовом виде на рис. 11.1 (диаграма Адамса — Струтса); она сходна с диаграммой устойчивости, изображенной на рис. 10.1. Границы между областями устойчивости и неустойчивости соответствуют периодическим движениям. Диаграмма устойчивости симметрична

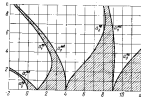


Рис. 11.1

относительно оси α , так как знак ϵ в уравнении (11.2) не имеет значения.

Форма дифференциального уравнения задача приведена к форме (11.2), то по данным значениям α и ϵ с помощью диаграммы устойчивости можно сразу сделать заключение об устойчивости или неустойчивости системы. Как и выше, результат может быть либо об устойчивости состояния равновесия ($\vartheta = \text{отклонение от этого состояния}$), либо об устойчивости некоторого первого свободного движения (в этом случае под ϑ следует понимать вариации координаты).

Для приближенного определения границ между областями устойчивости и неустойчивости в плоскости параметров α , ϵ может быть применен способ гармонического баланса. На границах черной области неустойчивости движение должно быть периодическим, причем период, как мы видели в § 10, идея больше портала изменения параметра. Но период изменения параметра в уравнении (11.2) равен π , так что указанное движение имеет период 2π и его можно представить в виде ряда $\vartheta = A_1 \sin t + B_1 \cos t + A_2 \sin 2t + B_2 \cos 2t + \dots$ (11.4)

Ограничимся первыми двумя членами, подставим их

сумму в уравнение (11.2); приравняв нуль коэффициенты при $\sin t$ и $\cos t$, получим два однородных уравнения

$$(a - \epsilon - 1)A_1 = 0, \quad (a + \epsilon - 1)B_1 = 0, \quad (11.5)$$

из которых следуют уравнения обеих границ:

$$\alpha_1^{\text{ст}} = 1 + \epsilon, \quad \alpha_2^{\text{ст}} = 1 - \epsilon. \quad (11.6)$$

Эти уравнения можно уточнить, приняв во внимание большее число членов ряда (11.4).

Приведем еще знания более точные уравнения для первых четырех областей неустойчивости, обозначенных a на границах α -й области неустойчивости через $\alpha_1^{\text{ст}}$ и $\alpha_2^{\text{ст}}$:

$$\begin{aligned} \alpha_1^{\text{ст}} &= -\frac{1}{2}\epsilon^2 + \frac{7}{120}\epsilon^4 - \dots \\ \alpha_1^{\text{ст}} &= 1 + \epsilon - \frac{1}{8}\epsilon^2 - \frac{1}{48}\epsilon^3 - \frac{1}{1920}\epsilon^4 + \dots \\ \alpha_2^{\text{ст}} &= 1 - \epsilon - \frac{1}{8}\epsilon^2 + \frac{1}{48}\epsilon^3 - \frac{1}{1920}\epsilon^4 - \dots \\ \alpha_1^{\text{ст}} &= 4 + \frac{5}{12}\epsilon^2 - \frac{503}{1920}\epsilon^4 + \dots \quad (11.7) \\ \alpha_2^{\text{ст}} &= 4 - \frac{5}{12}\epsilon^2 + \frac{5}{1920}\epsilon^4 - \dots \\ \alpha_1^{\text{ст}} &= 0 + \frac{1}{16}\epsilon^2 + \frac{1}{48}\epsilon^3 + \frac{13}{2880}\epsilon^4 + \dots \\ \alpha_2^{\text{ст}} &= 9 + \frac{1}{8}\epsilon^2 - \frac{1}{48}\epsilon^3 + \frac{13}{2880}\epsilon^4 - \dots \end{aligned}$$

В заключение заметим, что не упомянуто здесь внимание насколько сужают границы областей неустойчивости, подобно тому как это было показано в § 10.

2. Примеры.

Пример 11.1. Найдем условия устойчивости гармонического колебания размежевого обратного маятника (рис. 11.2), если точка его подвеса гармонически колебается подъя градусом по закону $\vartheta = A \sin \omega t + B \cos \omega t$ с частотой ω и амплитудой A . Длина маятника постоянна.

Шелестим, что при определении второй обратный маятник неустойчив; однако, как мы сейчас увидим, маятники второго порядка могут проявлять устойчивость только линейно. Составим дифференциальное уравнение относительного движения, необходимо учесть гармоническую силу второго — ω — и ω_0 — подвеса. Ее момент количества — $m\omega_0^2 R \cos \vartheta$, и уравнение момента выражается в форме

$$m\ddot{\vartheta} + m\omega_0^2 R \cos \vartheta = m\ddot{\vartheta}_0.$$

$$\ddot{\varphi} + \left(-\frac{d}{t} + \frac{Aa^2}{t^2} \cos \varphi \right) \dot{\varphi} = 0.$$

Для приведения уравнения к виду (11.2) положим

$$2t = at, \quad \varphi = -\frac{4\pi}{at^2}, \quad t = -\frac{2\pi}{Aa}.$$

Как видно, в первом приближении оба параметра a и t в отрицательном. Знак в изоболе роли не играет (об этом уже говорилось выше), и главной особенностью рассматриваемой системы является



Рис. 11.2

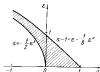


Рис. 11.3

стабильность изолинии a . Как видно из диаграммы устойчивости на рис. 11.1, устойчивость изолинии a при отрицательных значениях a , действительных, каждому значению a отвечают некоторый, довольно узкий интервал значений $t < 0$, в пределах которой существует равновесие устойчивое. Согласно (11.7) эти значения лежат в интервале $a_1^{(p)} < a < a_2^{(p)}$, т. е.

$$-\frac{1}{3}a^2 < a < 1 - a - \frac{1}{3}a^2$$

(рис. 11.2). При малых амплитудах колебаний A , т. е. при малых значениях параметра a , правое направление удовлетворяется при любых отрицательных значениях a и приводится к нулю правое направление $a > -\frac{1}{3}a^2$, т. д.

$$|a| < \frac{1}{2}a^2.$$

Подставив сюда выражения a и t , получим условие устойчивости в виде

$$\dot{a} > 12\pi^2.$$

Это неравенство определяет некий уровень максимальной спроти для изолиний точки подвеса, который обес печивает устойчивость сконструированного вынуждения; как видно, указанная скорость движе-

ния превышает скорость свободного падения тела с высоты, равной длине маятника.

Пример 11.3. Исследовать устойчивость режимов стационарного движения

$$\ddot{\vartheta}_1 + \left(2\omega_1^2 \sin^2 \vartheta_1 \right) \dot{\vartheta}_1 = 0,$$

в системе с полувинтовой восстанавливающей силой $F(\vartheta) = \beta \vartheta^2$.

Дифференциальное уравнение относительного движения $\dot{\vartheta}_1$ было составлено выше (см. (11.1)). Запишем его в виде

$$\ddot{\vartheta}_1 + \left(2\omega_1^2 \sin^2 \vartheta_1 \right) \dot{\vartheta}_1 = 0,$$

где коэффициенты и разные коэффициенты β , разделены на квадратные коэффициенты системы. Для того чтобы привести уравнение к форме (11.2), нужно ввести

$$ad = t, \quad \tau = \frac{2\pi \omega_1^2}{2\beta a^2}, \quad \theta = \frac{2\pi \vartheta_1}{a \omega_1^2}.$$

Таким образом, в данном случае $a = 2\pi$ и на диаграмме устойчивости изолиний пары значений a , и линия t есть, которая выходит из начала координат под углом $\arg \beta = \frac{\pi}{2}$ в ось t (см. скриншот на рис. 11.4). Построены изолинии A_1 , A_2 и A_3 , в

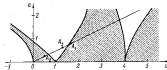


Рис. 11.4

изолинии a и t приводят к расположению точек, показанному на рис. 11.4, т. е. точки A_1 и A_2 соответствуют устойчивым, а точка A_3 — неустойчивым решениям. Этим подтверждается сказание в § 7 о том, что устойчивость изолиний так же различна в различных видах равновесий пружин.

Глава IV

УСТОЙЧИВОСТЬ СОСТОЯНИЙ РАВНОВЕСИЯ И АВТОКОЛЕБАНИЯ

§ 12. Устойчивость состояний равновесия

1. Вступительные замечания. Вопросы устойчивости состояний равновесия мы уже касались в главе I (см. стр. 35–40, 44), но поскольку она была посвящена свободным колебаниям, мы рассматривали только такие системы, в которых отсутствует приток энергии при их движении вблизи положения равновесия.

В настоящем параграфе рассматриваются более сложные случаи, относящиеся к нелинейным системам, при движении которых возможен приток энергии извне. Эти случаи связаны с конкретными ситуациями, которые несмотря на свой чисто линейный характер можно считать достаточно типичными. В каждой из рассмотренных здесь задач подается один соответствующий параметр, от которого зависит устойчивость или неустойчивость соответствующей механической системы, и задача сводится к определению критического значения этого параметра, при котором устойчивость сменяется неустойчивостью. Во всех изучаемых здесь случаях рассматриваются только малые отклонения системы от состояния равновесия, т. е. выделяются линейные задачи,— этого достаточно для того, чтобы судить о тенденции возможного движения в том самом сдвиге заимствовании об устойчивости (или неустойчивости) ее малом.

Сначала, в § 2, на двух примерах обсуждаются вопросы устойчивости систем с одной степенью свободы, связанные с аэродинамической неустойчивостью типа дивергенции и действием силы противоточного трения. Эти примеры позволяют выявить особые точки фазовой пло-

кости двух разновидностей называемых тангенциальными — неустойчивый рост и неустойчивый фокус.

В п. 3 рассматривается устойчивость систем с двумя степенями свободы без трения. Первый случай относится к аэродинамической неустойчивости типа флягет, в второй случай — к устойчивости вращающегося нала с индивидуально различными частями. В этих случаях задача сводится к анализу знаков вещественных частей корней биквадратного характеристического уравнения и поэтому относительно проста.

Несколько слов о решении вопроса об устойчивости систем с двумя степенями свободы при наличии трения, который приводит к анализу знаков вещественных частей корней полного уравнения четвертой степени. В п. 4 ставится приведенный вышеупомянутый в первых случаях критерий Рауха — Гурвица, а затем рассматривается конкретный пример (задача Цзепера).

2. Системы с одной степенью свободы.

а) Задача о дивергенции. Рассмотрим жесткую тонкую пластинку, упруго имущуюся на концах, и параллельно одному краю и параллельно противоположному краю. Пластинка находится в потоке газа (жидкости), скорость и которого направлена вдоль средней плоскости пластины в изотропном состоянии равновесия (рис. 12.1). В этом изложении нормодинамические силы разом нулю (если принять весьма малой силой трения потока о поверхность пластины) и пластина находится в равновесии под действием силы тяжести и реакций опор. Найти критическую скорость потока.

При отклонении пластины возникают аэrodинамические давления, зависящие от угла отклонения φ . Согласованные коэффициенты закономерности устанавливаются в квадратичном виде: мы приведем их в готовом виде. Равнодействующую давление можно разложить на составляющие (головное сопротивление и подъемную силу)

$$X = k_x \frac{p_0^2}{2} b \eta, \quad Y = k_y \frac{p_0^2}{2} b \eta, \quad (12.1)$$

где k_x, k_y — постоянные аэродинамические коэффициен-



Рис. 12.1

ты, ρ — плотность газа, b — размер пластинки подъя ветка (перпендикулярный плоскости рисунка размер приват разным единицам). Точки приложения разнонаправленных горизонтальных движений находятся на расстояниях b от оси ширинки, которую приближенно будем считать не зависящей от угла φ . Момент сил, возникающих при отклонении пластины относительно оси ширинки, равен

$$M = -c_2 b \dot{\varphi} + X b \dot{\varphi} + Y \dot{\varphi},$$

где c_2 — коэффициент жесткости упругой спирги. Подставив сюда (12.1), получим

$$M = -c_2 b \dot{\varphi} + k_x \frac{b^2}{2} \ddot{b} \dot{\varphi} + k_y \frac{b^2}{2} \ddot{b} \dot{\varphi}.$$

Обозначим через I момент инерции пластины относительно оси ширинки; тогда дифференциальное уравнение движения будет

$$\ddot{\varphi} + \left(c_2 I - k_x \frac{b^2}{2} \cdot b \right) \dot{\varphi} = 0$$

(спаянное, определяющее момент силы X , опущено знакомнее второй порядок малости).

Условие устойчивости имеет вид

$$c_2 I - k_x \frac{b^2}{2} \cdot b > 0,$$

а кратическое значение скорости равно

$$\omega_{\text{кр}} = \sqrt{\frac{2c_2 I}{k_x b^2}} \quad (12.2)$$

Отсюда, в частности, можно видеть, что с увеличением коэффициента жесткости упругой спирги кратическая скорость увеличивается. Задачи этого типа относятся к теории дарвиновской устойчивости; рассматриваемое нами потеря устойчивости называется дарвиновской, а выражение (12.2) определяет скорость дарвингения. В применении решения явление существенно схематизировано.

б) «Остригательское бретекс». Видно выше, что учитывая наличие зависимости от скорости силы, мы считали эти силы диссипативными; будучи выраженным впринципе соответствующими скоростям, они способствуют демпфированию колебаний. Однако в некоторых механических системах развиваются силы, такие, зависи-

мые от скоростей, но совпадающие с ними по направлению. Такие силы называют дестабилизирующей действием и способствуют раскачке колебаний, а не их демпфированию; иногда силы этого типа называют силами «противодействия трения».

Прежде всего остановимся на формальной стороне вопроса и покажем, что кроме восстанавливющих сил действуют силы, линейно зависящие от скорости и совпадающие с ней по направлению. Тогда вместо (2.6) имеем дифференциальное уравнение

$$a\ddot{\varphi} - b\dot{\varphi} + c\varphi = 0 \quad (12.3)$$

($b > 0$). При прежних обозначениях

$$\frac{b}{2} = h, \quad \frac{c}{a} = h^2, \quad \frac{c}{a} - b^2 = h_x^2,$$

решение дифференциального уравнения (12.3) записывается, подобно (2.9), в форме

$$\varphi = e^{ht} \left(\frac{i_0 - i_x h}{h_x} \sin h_x t + g_0 \cos h_x t \right),$$

где постоянные интегрирования выражены через начальные величины. Отсюда видно, что при этом участвуют малых начальных амплитудах i_0 и g_0 возникнут колебания, амплитуда которых будет возрастать по показательному закону (рис. 12.2, а), т. е. состоящие из колебаний системы неустойчивы. На рис. 12.2, б показана фазовая диаграмма; в этом случае состояние равновесия соответствует особая точка типа неустойчивый фокус. При весьма большом трении (большом критическом) фазовая диаграмма принимает вид, показанный на рис. 12.2, в; начальное координатное представление собой особую точку типа перегибающий дуга.

Примером механической системы, в которой при колебании может возникнуть силы «противодействия трения», служит система, изображенная на рис. 12.3, а. Она состоит из тела I , упруго закрепленного на пружинах 2 , в барabanе J , который приложен к телу I и вращается с постоянной угловой скоростью. Между барабаном и телом I действуют силы сухого трения R , характеристика которых показана на рис. 12.3, б. В отличие от обычной схематизации, эта характеристика отражает реальную наблюдаемую зависимость вращательной скорости спиралевидной машины

сили трения. Отметим, что в первом изображении характеристика состоит из двух участков: падающего при $0 < v < v_*$ и восходящего при $v > v_*$.

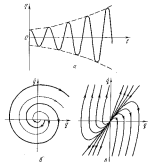


Рис. 12.1

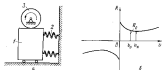


Рис. 12.2

Чтобы скорость скольжения при падении тела I равна \bar{v} , соответствует сила трения R_0 . Из уравнения равновесия

$$R_0 - c v_0 = 0$$

можно определить ускорение пружин в равновесном состоянии системы:

$$\ddot{x}_0 = R_0/c. \quad (12.4)$$

Рассмотрим теперь движение тела около этого состояния равновесия и обозначим через x дополнительное перемещение тела. При этом скорость скольжения перестает быть постоянной величиной и выражается равноточкой

$$\dot{v} = v_0 + \dot{x},$$

которая определяет такую выраженную силу трения R , отличающуюся от начальной величины R_0 . При малых колебаниях, когда скорость \dot{x} мало по сравнению с v_0 , можно пропустить

$$R = R_0 - R'_0 x \left(R'_0 = \frac{\partial R}{\partial v} \Big|_{v_0} \right). \quad (12.5)$$

Дифференциальное уравнение движения тела записывается в виде

$$\ddot{x} - c(\dot{x}_0 + x) = m \ddot{x},$$

или, с учетом (12.4) и (12.5),

$$m \ddot{x} + R'_0 x + cx = 0. \quad (12.6)$$

Отсюда видно, что при $c > R'_0$, когда $R'_0 > 0$, колебания будут затухающими; если же $R'_0 < 0$, то $R'_0 < 0$ и уравнение (12.6) принимает вид (12.3). Таким образом, если $v_0 > v_*$, то состояние равновесия устойчиво; если же $v_0 < v_*$, то после любого small擾乱а малого колебания в системе происходит самовозбуждение с колебаниями.

Следует иметь в виду, что выше решанье определяет лишь начальную тенденцию к устойчивому движению. С нарастанием амплитуд колебаний линейное приближение представления силы трения (12.5) будет становиться все менее точным, и для полного анализа этого последующего процесса необходимо учитывать действительную величину силы трения; об этом см. ниже § 13.

3. Системы в других степенях свободы без трения. Исследование устойчивости состояний равновесия механических систем с нестационарными ступенями свободы также состоит в изучении свойств изоморфных движений, т. е. того движения, которое будет происходить после пропадания силы уединяющего действия состояния равновесия. Называемые свойства определяются подъемом

корней соответствующего характеристического уравнения. Если среди корней $\lambda = \alpha + i\beta$ имеется хотя бы один с положительной вещественной частью $\alpha > 0$, то отвечающие ему движения будут «выходить» систему из состояния равновесия — либо монотонно (если $\beta = 0$), либо в виде гармонических колебаний (если $\beta \neq 0$). Поэтому исследование устойчивости рассматриваемых ниже систем с двумя степенями свободы сводится к анализу значений вещественных частей корней.

1) **Задача о флагштVOKE.** В п. 2а была рассмотрена возможность инверсий пластинки в потоке газа, причем применялось, что пластинка шарниром закреплена вдоль одного края, а вдоль другого края она упруго скреплена (см. выше рис. 12.1). При упругом опирании обоят краев (рис. 12.4) появляется еще одна опасность: возможная неустойчивость, связанная с инконсервативными

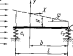


Рис. 12.4

свойствами рассматриваемой системы с двумя степенями свободы.

Обозначим: $y(t)$ — перемещение центра тяжести пластины, $\varphi(t)$ — угол поворота пластины, c_1 и c_2 — коэффициенты жесткости упругих зажимов, $mP/12$ — момент инерции пластины относительно оси, проходящей через центр тяжести пластины перпендикулярно плоскости чертежа, l — длина пластины вдоль потока, b — расстояние от точки приложения подъемной силы

$$Y = k_y \frac{b^2}{2} l \varphi$$

до правого края,

$$R_1 = c_1 \left(y + \frac{b^2}{2} \right), \quad R_2 = c_2 \left(y - \frac{b^2}{2} \right)$$

— упругие силы реакции.

Дифференциальные уравнения возмущенного движения имеют вид

$$\begin{aligned} -R_1 - R_2 + Y &= m \ddot{y}, \\ -R_1 \frac{l}{2} + R_2 \frac{l}{2} + Y \left(b - \frac{l}{2} \right) &= \frac{m l^2}{12} \ddot{\varphi}. \end{aligned}$$

Подставляя сюда выражения для Y , R_1 и R_2 , получим однородную систему

$$\begin{aligned} \ddot{y} + c_{11} y + c_{12} \varphi &= 0, \\ \ddot{\varphi} + c_{21} y + c_{22} \varphi &= 0, \end{aligned} \quad (12.7)$$

в которой

$$\begin{aligned} c_{11} &= \frac{c_1 + c_2}{m}, \quad c_{12} = \frac{(c_1 - c_2)l}{2m} - \frac{k_y}{m} \frac{b^2}{2} l, \\ c_{21} &= \frac{4(c_1 - c_2)}{ml}, \quad c_{22} = \frac{2(c_1 + c_2)}{m} + 6 \frac{k_y}{ml^2} \frac{b^2}{2} (l - 2b). \end{aligned}$$

Сразу отметим, что выражество $c_{11}c_{22} - c_{12}c_{21} \neq 0$ служит признаком инконсервативности системы; также мы непосредственно убеждаемся в том, что любая рассматриваемая система может с течением времени убывать (при малых скоростях потока) или возрастать (при достаточно больших скоростях потока). Принцип частичного решения системы (12.7) в виде

$$y = A_1 e^{i\omega t}, \quad \varphi = A_2 e^{i\omega t},$$

получаем

$$\begin{aligned} A_1(\lambda^2 + c_{11}) + A_2 c_{12} &= 0, \\ A_1 c_{21} + A_2(\lambda^2 + c_{22}) &= 0; \end{aligned}$$

отсюда следует характеристическое уравнение

$$\begin{vmatrix} \lambda^2 + c_{11} & c_{12} \\ c_{21} & \lambda^2 + c_{22} \end{vmatrix} = 0,$$

т. е.

$$\lambda^4 + \lambda^2(c_{11} + c_{22}) + c_{11}c_{22} - c_{12}c_{21} = 0.$$

Таким образом, корни характеристического уравнения имеют вид

$k_{1,2,3,4} =$

$$= \pm \sqrt{-\frac{c_{11} + c_{22}}{2}} \pm \sqrt{\left(\frac{c_{11} + c_{22}}{2}\right)^2 - (c_{11}c_{22} - c_{12}c_{21})}.$$
(12.8)

Если разность $c_{11} - c_{22}$ — будет отрицательна, то оба из корней (соответствующий двум линиям плоскости) окажутся вещественными и положительными; отвечающие этим

му первое движение представляет собой апериодический монотонный уход системы от состояния равновесия. Следовательно, это положение — неустойчивое.

Если же эта разность положительная и удовлетворяет неравенству

$$\epsilon_1 \omega_{\text{пл}} - \epsilon_2 \omega_{\text{пл}} > \left(\frac{\epsilon_{10} + \epsilon_{20}}{2} \right)^2,$$

то корни (12.8) оказываются комплексными:

$$\lambda_1 = \alpha + i\beta, \quad \lambda_2 = \alpha - i\beta, \quad \lambda_3 = -\alpha + i\beta, \quad \lambda_4 = -\alpha - i\beta,$$

где α и β — вещественные и взаимосвязанные. Первый пару этих корней соответствует движению

$$y = A_0 e^{\alpha t} + A_1 e^{\alpha t} = B_0 e^{\alpha t} \sin(\beta t + \gamma_1),$$

$$v = A_0 e^{\alpha t} + A_1 e^{\alpha t} = B_0 e^{\alpha t} \cos(\beta t + \gamma_2).$$

т. е. колебания с постоянными амплитудами. Отсюда ясно, что в рассматриваемом случае состояние равновесия также неустойчиво.

Таким образом, для того чтобы рассматриваемая система после возмущения возвращалась к состоянию равновесия, необходимо и достаточно выполнение равенства (что и принимается здесь за признак

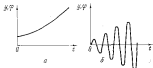


Рис. 12.3

устойчивости), необходимо, чтобы разность $\epsilon_1 \omega_{\text{пл}} - \epsilon_2 \omega_{\text{пл}}$ удовлетворяла двум неравенствам:

$$0 < \epsilon_1 \omega_{\text{пл}} - \epsilon_2 \omega_{\text{пл}} < \left(\frac{\epsilon_{10} + \epsilon_{20}}{2} \right)^2. \quad (12.9)$$

При нарушении первого неравенства возникает дивергенция (рис. 12.3, а), а при нарушении второго диверг-

сия — колебания с неизменными амплитудами (рис. 12.3, б); такие колебания называются флаттером.

Границы области устойчивости совместных значений $\omega_{\text{пл}}$ и (12.9). Если подставить в (12.9) выражение $\omega_{\text{пл}}$, то можно найти для критических значений $\omega_{\text{пл}}$ критическую скорость, которая служит параметром, определяющим устойчивость:

скорость дивергенции

$$v^{(1)} = \sqrt{\frac{2\epsilon_{10}^2}{\epsilon_{10}^2 (\epsilon_1 - \epsilon_0 + \epsilon_2^2)}}$$

и скорость флаттера

$$v^{(2)} = 2 \sqrt{\frac{1}{2\epsilon_{10}} \frac{\epsilon_1^2 - \epsilon_2 \epsilon_1 + \epsilon_2^2}{\epsilon_1 - \epsilon_2}}.$$

Отметим, что при малых значениях прямой скорости, когда $\epsilon_1 < \epsilon_0 \left(\frac{1}{2} - 1 \right)$, критическая скорость $v^{(1)}$ оказывается минимальной, т. е. дивергенция невозможна. Если, напротив, значение прямой скорости меньше критической скорости $v^{(2)}$, т. е. находимся в флаттере.

Флаттер представляет реальную опасность для многих конструкций, находящихся в потоке жидкости или газа (крылья или хвостовое оперение самолета, обшивка летательного аппарата, лопатки турбины и т. п.).

6) Устойчивость прерывающегося языка. Рассмотрим систему, состоящую из вертикального прерывного безынерционного языка 1, с горизонтальной жесткой частью 2, имеющей электрическое возбужденный язык 2, обладающий горизонтальной плоскостью симметрии. Язык с дисковым вращением внутри вертикальной оси с постоянной угловой скоростью ω (рис. 12.6, а).

Благодаря изгибу языка 1, разногоризонтально врашающуюся вокруг оси подформированный язык 1 входит в контакт с языком 2, что в совокупности с осью подформированного языка 1, осью 2, запирает параллельно своему направлению $s = AC$ (A — центр симметрии языка, C — центр тяжести языка), а ось 2 — перпендикулярно осям 1 и 2; орты осей 1 и 2 обозначены через i и j соответственно.— см. рис. 12.6, б. При таком выборе координатной

системы относительное движение диска, обусловленное изгибом вала, описывается поступательно.

Изследуем это относительное движение, обозначив x — радиус-вектор центра тяжести диска C , x, y, z — декартовы координаты точки C в подвижной координатной системе, r — радиус-вектор точки крепления A диска к валу (при этом $r \perp e = r$), c — коэффициент жесткости

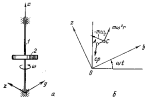


Рис. 12.4

вала (для изображенной схемы $c = 48EI/l^3$, где EJ — изгибная жесткость сечения вала, l — его длина).

При составлении дифференциальных уравнений относительного движения центра диска C нужно учесть силу упругости вала $-ce$, перенесенную сюда изверти $-m\ddot{w}_x$, и параллельную силу изверти $-m\ddot{w}_y$. Сила упругости приложена в точке A , а обе силы изверти — в точке C .

Силу упругости можно записать в виде

$$-ce = -cr + ce = -c[(y - c)] + ck.$$

Перенесенная сила изверти равна

$$-m\ddot{w}_y = m\omega^2r = m\omega^2(y + ck).$$

Для вертикальной силы изверти последовательно получим:

$$\begin{aligned} -m\ddot{w}_x &= 2m(v_x \times \omega_r) = 2m[(\dot{y}) + (ck) \times \omega] = \\ &= 2m\omega(\dot{y} - \dot{y}k). \end{aligned}$$

Проекции этих сил на оси подвижной координатной системы дадут в следующей таблице:

сила	Проекции силы	
	по оси y	по оси z
Сила упругости	$-c(y - c)$	$-ce$
Перенесенная сила изверти	$m\omega^2r$	$m\omega^2z$
Перенесенная сила изверти	$2m\omega$	$-2m\omega y$

Соответственно данным таблицы дифференциальные уравнения относительного движения центра диска C имеют вид

$$m\ddot{y} = -c(y - c) + m\omega^2y + 2m\omega,$$

$$m\ddot{z} = -ce + m\omega^2z - 2m\omega.$$

Подставив сюда $\dot{y} = c\dot{z}$ (k — собственная частота изогнутых колебаний неизвращающейся системы), получим при $m \neq k$

$$\begin{aligned} \ddot{y} - 2\omega\dot{z} + (k^2 - \omega^2)y &= k^2c, \\ \ddot{z} + 2\omega\dot{y} + (k^2 - \omega^2)z &= 0. \end{aligned} \quad (12.10)$$

Эта неоднородная система уравнений допускает решение $\dot{y}_0 = \frac{c}{1 - \omega^2/k^2}$; $z_0 = 0$; ему соответствует начальный закон изменения изгиба вала во временной плоскости yz . Для того чтобы исследовать устойчивость этого решения, предположим, что он каким-либо образом был нарушен и возникло изомодальное движение, описываемое функциями

$$y = y_0 + Y, \quad z = Z,$$

где $Y(t)$ и $Z(t)$ — малые отклонения от режима, устойчивость которого исследуется. Подставив y , z в (12.10), получим систему уравнений, которая при учете выражений y_0 и z_0 приводится к однородному виду

$$Y - 2\omega Z + (k^2 - \omega^2)Y = 0,$$

$$Z + 2\omega Y + (k^2 - \omega^2)Z = 0.$$

Полагая, как и выше

$$Y = A_1 e^{i\theta}, \quad Z = A_2 e^{i\theta},$$

подставив одновременно вместо A_1 и A_2 систему уравнений:

$$\begin{aligned} A_1\lambda^2 - 2\alpha\lambda + (\omega^2 - \alpha^2)A_1 &= 0, \\ A_2\lambda^2 + 2\alpha\lambda A_1 + (\omega^2 - \alpha^2)A_2 &= 0. \end{aligned}$$

Они имеют отрицательные от нуля корни только в том случае, когда разность между определителями

$$\left| \begin{array}{cc} \omega^2 - \alpha^2 + \lambda^2 & -2\alpha\lambda \\ 2\alpha\lambda & \omega^2 - \alpha^2 + \lambda^2 \end{array} \right| = 0,$$

в результате получим характеристическое уравнение

$$(\omega^2 - \alpha^2 + \lambda^2)^2 + (2\alpha\lambda)^2 = 0.$$

При $\lambda \neq 0$ все корни характеристического уравнения минимы.

$$\lambda_{1,2} = \pm (k \pm i)\omega.$$

Это означает, что при $k \neq 0$ система устойчива: когда любое начальное возмущение она будет совершать гармонические колебания с частотами $k\pi/\omega$ и $k - \omega$ (последнее отрицательно, что эти частоты отличаются от собственной частоты наследственной изолированной системы). Лишь в особом случае, когда $\omega = k$, возникает пурпурный (двойной) корень, которому соответствует неустойчивость системы. Впрочем, с приближением угловой скорости ω к значению k само значение ρ_s неизменно возрастает. Угловую скорость $\omega = k$ называют краевой скоростью; некоторый дополнительный запас угловой скорости, близкий к краевому значению, в экспериментальных установках называется запасом устойчивости. Более того, что при $\omega > k$ система вновь устойчива!

4. Системы с двумя степенями свободы с трением. В общих рассматриваемых к п. 3 примерах характеристическое уравнение оказалось биквадратным и найти его корни было легко. В более сложных случаях, например для такого уравнения четвертой степени, определение корней осложняется гораздо более трудной задачей. Однако для судейства о звуковых испытаниях частот корней нет необходимости решать характеристическое уравнение — Раус — Гурвиц указали условия, которые должны удовлетворять коэффициенты характеристического уравнения, для того чтобы вещественные части всех корней были отрицательными; правило условия Рауса — Гурвица без вывода.

Пусть характеристическое уравнение задано в виде

$$b_0\lambda^n + b_1\lambda^{n-1} + b_2\lambda^{n-2} + \dots + b_n = 0;$$

для того, чтобы среди его корней не было ни одного с положительной вещественной частью, необходимо и достаточно выполнение неравенства

$$b_0 > 0, \quad b_1 > 0, \quad \begin{vmatrix} b_1 & b_2 \\ b_0 & b_1 \end{vmatrix} > 0, \dots$$

$$\begin{vmatrix} b_1 & b_2 & b_3 & \dots & 0 \\ b_2 & b_3 & b_4 & \dots & 0 \\ 0 & b_3 & b_4 & \dots & 0 \\ 0 & b_4 & b_5 & \dots & 0 \\ \vdots & \vdots & \vdots & \ddots & \vdots \\ 0 & 0 & 0 & \dots & b_n \end{vmatrix} > 0.$$

В частности, для характеристического уравнения третьей степени условия Рауса — Гурвица имеют вид

$$b_0 > 0, \quad b_1 > 0, \quad b_2 > 0, \quad b_3 > 0, \quad (12.11)$$

$$b_0b_2 - b_1b_3 > 0,$$

а для уравнения четвертой степени — нет

$$b_0 > 0, \quad b_1 > 0, \quad b_2 > 0, \quad b_3 > 0, \quad b_4 > 0,$$

$$b_1b_3 - b_0b_4 - b_2b_4 > 0. \quad (12.12)$$

В качестве примера рассмотрим плоскую систему типа двойного маятника (рис. 12.7) с антикориутином шарниром в точках B и L . Массы системы будем считать сосредоточенными в точках I и Z . В точке Z на систему действует солидная сила P , направление которой совпадает с осью стержня $I-Z$ при любых положениях системы. Обозначим δ и ε — коэффициенты плавности и жесткости шарниров, $m_1 = 2m$ и $m_2 = m$ — массы, сосредоточенные в точках I и Z , l — длина первого из стержней, φ_I и φ_Z — углы отклонения стержней от положения равновесия, принимаемые за обобщенные координаты. Силы тяжести для упрощения задачи считывать не будем.

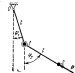


Рис. 12.7

Очевидно, что при вертикальном положении обеих якорей система находится в состоянии равновесия. Требуется выяснить его устойчивость зависимости от величины силы P и определить притягивающее значение силы (момента Цильтера).

Существенными особенностями этой системы служат неизменность силы P . Поэтому в дифференциальных уравнениях Лагранжа для возмущенного движения

$$\frac{d}{dt} \left(\frac{\partial L}{\partial \dot{q}_j} \right) + \frac{\partial L}{\partial q_j} = Q_j \quad (j = 1, 2)$$

потенциальная энергия P определяется моментами силы тяжести в центрах θ и $\bar{\theta}$, а обобщенные координаты — силы Q_1 — следящий силой P и моментами взаимного трения в центрах.

Кинетическая энергия записывается в виде

$$T = \frac{m\dot{\theta}^2}{2} [3\dot{\theta}_1^2 + 2\dot{\theta}_1\dot{\theta}_2 + \dot{\theta}_2^2].$$

Потенциальная энергия

$$P = \frac{1}{2} [2c\dot{\theta}_1^2 - 2c\dot{\theta}_1\dot{\theta}_2 + c\dot{\theta}_2^2].$$

Обобщенные потенциальные силы равны

$$Q_1 = P(\dot{\theta}_1 - \dot{\theta}_2) - b(2\dot{\theta}_1 - \dot{\theta}_2), \quad Q_2 = b(\dot{\theta}_1 - \dot{\theta}_2).$$

Теперь запишем уравнения Лагранжа

$$\begin{aligned} m\ddot{\theta}_1'' + m\ddot{\theta}_2'' + 2\dot{\theta}_1\dot{\theta}_2 - b\dot{\theta}_2 + (2c - P)\dot{\theta}_1 + \\ + (P - c)\dot{\theta}_2 = 0; \end{aligned} \quad (12.13)$$

$$m\ddot{\theta}_1'' + m\ddot{\theta}_2'' - b\dot{\theta}_1 + b\dot{\theta}_2 - c\dot{\theta}_1 + c\dot{\theta}_2 = 0.$$

Перетасовка сюда

$$\dot{\theta}_1 = A_1 e^{i\omega t}, \quad \dot{\theta}_2 = A_2 e^{i\omega t},$$

приходим к характеристическому уравнению четвертой степени

$$b_4\lambda^4 + b_3\lambda^3 + b_2\lambda^2 + b_1\lambda + b_0 = 0, \quad (12.14)$$

в котором

$$b_4 = 2mP^2, \quad b_1 = 7m^2b,$$

$$b_2 = 7m^2c - 2mP^2 + b^2, \quad (12.15)$$

$$b_3 = 2bc, \quad b_0 = c^2.$$

§ 13. СТАЦИОНАРНЫЕ РЕЖИМЫ И ПРЕДЕЛЬНЫЕ ЧИСЛА

В данном случае условие Раусса — Гурвица (12.12) приводят к следующим неравенствам:

$$1) \quad b > 0; \quad 2) \quad P < \frac{4b}{33} \frac{c}{T} + \frac{1}{2} \frac{b}{m^2};$$

$$3) \quad P < \frac{4b}{23} \frac{c}{T} + \frac{1}{2} \frac{b}{m^2}; \quad 4) \quad c^2 > 0.$$

Первое и четвертое неравенства выполняются автоматически, а из двух оставшихся неравенств более нестремим является третье. Оно позволяет найти критическую значение силы

$$P_{cr} = \frac{4b}{23} \frac{c}{T} + \frac{1}{2} \frac{b}{m^2}$$

и если $b = 0$, то $P_{cr} = 1,464$ сН.

В заключение отметим, что если бы в данной задаче с самого начала возьмать $b = 0$, и определять критическую силу по формуле тому, как это было сделано в п. 3 (из анализа биквадратного уравнения), то для критической силы получится иное (излишне) значение

$$P_{cr} = 2,086 \frac{c}{T}.$$

Это несомненно составляет содержание так называемого квадрата Цильтера, на обсуждение которого мы здесь останавливаться не будем.

§ 13. СТАЦИОНАРНЫЕ РЕЖИМЫ И ПРЕДЕЛЬНЫЕ ЧИСЛА

1. Общие понятия. Для суждения об устойчивости состояний равновесия выше мы пользовались линеаризованными уравнениями, определяющими малые движения в окрестности этих состояний. Такой анализ позволяет указать начальные тенденции возмущенных движений; но — в случаях неустойчивости — не позволяет проследить дальнейшее развитие процесса движения при возникновении отклонения.

Изследование движения «в большом» в принципе невозможно с помощью линеаризованных уравнений: малые члены уравнений, будучи преобразованы малыми при малых изменениях состояния из состояния равновесия, начинают играть все более заметную роль при увеличении отклонений; при этом вид инвариантности существенно влияет на развитие процесса с возникновением зре-

меня. В частности, во многих случаях возрастание кубической постоянной вымодливости и движение стремится к некоторому стационарному режиму — режиму автоколебаний. В общих чертах природу этого явления можно понять с помощью качественных соображений, не прибегая к количественному исследованию.

Рассмотрим, например, колебательную систему с трением, когда характеристика граничной амплитуды полиномиальной функции скорости $\dot{H}(\dot{\varphi}) = -b\dot{\varphi} + b_0\dot{\varphi}^2$ (рис. 13.1, а). Дифференциальное уравнение движения (уравнение Радея) имеет вид

$$\ddot{\varphi} + b\dot{\varphi} + b_0\dot{\varphi}^2 + c\varphi = 0 \quad (13.1)$$

($a > 0$, $b_0 > 0$, $b_0 > 0$, $c > 0$).

При малых отклонениях от состояния равновесия основное значение имеет линейный член силы трения, который в данном случае оказывает дестабилизирующее действие; из-за этого состоящее развижение неустойчиво, и сквозь малые начальные возмущения выходит постоянное нарастающее колебание (об этом языке в связи с уравнением (12.3)). Но при этом будут увеличиваться демпфирующие влияния кубического члена, так что рост колебаний станет замедляться и движение будет стремиться к режиму автоколебаний, характеризующему нестационарным значением амплитуды; в целом движение будет развиваться так, как это показано на рис. 13.1, б.

При достаточно больших начальных возмущениях рассматриваемой системы демпфирующее действие кубического члена станет доминирующим, тем дестабилизирующее действие линейного члена, т. е. замедление

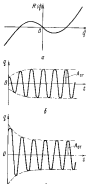


Рис. 13.1

в начальном процессе будет замедлять. Однако с уменьшением полиномиального члена кубического закона будет также убывать, т. е. движение станет стремиться к тому же стациональному режиму, который характеризуется большими противоположными пиками (рис. 13.1, в).

Этот для случая движений удобно иллюстрировать на фазовой плоскости (рис. 13.2, а). Кривая J соответствует движению, возникающему после малых начальных возмущений, кривая H — движению, начавшемуся после значительных возмущений; обе эти кривые описывают переходный процесс. Заключая кривую L , к которой ограничение приближаются кривые типа J и H , описывает стационарный режим автоколебаний и является условным предельным циклом. Вообще устойчивыми предельными циклами называются замкнутые фазовые траектории, к которым неограниченно приближаются все рассматриваемые в их окрестности другие фазовые траектории.

Составная демпфирующая и дестабилизирующая плюсина, мы, в сущности, имеем в виду постепенное изменение энергии системы за счет затраты работы, совершающей различными составляющими силы трения. Дестабилизирующую слагающую совершают полиномиальную работу и увеличивают энергию системы, а демпфирующую слагающую совершают отрицательную работу, т. е. уменьшают энергию системы. На рис. 13.2, б, схематически показаны вклады обоих слагаемых, рассчитанные за один период: E_0 — приращение энергии, вызываемое действием линейной составляющей силы трения, E_1 — абсолютное значение изменения энергии, вызываемого действием кубического слагающего силы трения. Как видно, эти вклады, впротивоположной мере, зависят от амплитуды колебаний. При малых амплитудах имеет место пор-

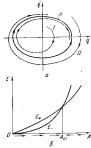


Рис. 13.2

помощью $E_+ > E_-$, т. е. происходит приток энергии в систему и амплитуды возрастают, пока не будет достигнут стационарный режим, характеризуемый амплитудой A_* . Если вследствие больших начальных возмущений колебания начинаются с амплитудами, большими, чем A_* , то расход $E_+ - E_-$ отрицательный, и колебания убывают, стремясь к тому же стационарному режиму. Возможные тенденции движения показаны стрелками под осью абсцисс.

Такими же свойствами обладает и система, описываемая дифференциальными уравнениями Ван дер Поля:

$$\ddot{\varphi} - \mu(1 - q^2)\dot{\varphi} + q = 0 \quad (13.2)$$

(φ — постоянная). Положим, что диски некоторого малого начального возмущения начальными колебаниями с малыми амплитудами. Пока колебания мальы и выполняется неравенство $q^2 < 1$, второе слагаемое уравнения (13.2) оказывает, несомненно, дестабилизирующее действие, и колебания будут возрастать. Но с их увеличением указанное неравенство станет нарушаться и неэффективен при q будет демпфирующим в тех интервалах времени, в которых $q^2 > 1$. В этих интервалах времени второе слагаемое первой части (13.2) будет оказывать демпфирующее влияние. При дальнейшем возрастании колебаний демпфирующее действие будет усиливаться и движение системы станет приближаться к стациональному режиму, которому соответствует конечная насыщация дестабилизирующего и демпфирующего влияний. В целом процесс установления будет протекать соответственно рис. 13.1, б и в, а также рис. 13.2, а и б.

Подобные случаи, когда возрастание колебаний происходит после сквозь угадку малых начальных возмущений состояния равновесия, называются случаем медленного самовозбуждения.

Наряду с этим существуют системы с противоположными свойствами. Такие, например, системы, описываемые дифференциальными уравнениями

$$\ddot{\varphi} + \delta_1\dot{\varphi} - \delta_2\varphi^2 + cq = 0 \quad (13.3)$$

($c > 0$, $\delta_1 > 0$, $\delta_2 > 0$, $c > 0$). Здесь знаки слагаемых симметрически противоположны тем, что в уравнении (13.1). Поэтому если начальные возмущения мальы, то колебания будут затухать (начало координат является устойчивым фокусом), но если начальные возмущения достаточно

4.11. СТАЦИОНАРНЫЕ РЕЖИМЫ И ПРЕКИПЫЩАЩИЕ ЦИКЛЫ 207

по величине, то амплитуды колебаний будут экспоненциально увеличиваться. В этом случае фазовая диаграмма имеет вид, показанный на рис. 13.3, а. Здесь также существует предельный цикл A_* , однако он неустойчив, так как все осями фазовые траектории удаляются от

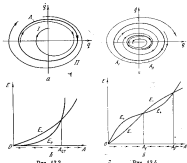


Рис. 13.3

Рис. 13.4

него — либо внутрь, и начину изогибаясь, либо влево (в зависимости от расположения начальной изображающей точки). Эти траектории на рис. 13.3, а обозначены цифрами I и II. Вообще меротропными предельными циклами называются такие изолированные замкнутые фазовые траектории, от которых удаляются все распределенные в их окрестности другие фазовые траектории.

Прямо, характеризующие приток энергии E_+ и извергательские потери E_- , показаны на рис. 13.3, б; здесь же severalны показаны тенденции движения при различных амплитудах колебаний. Такие системы могут служить примером систем с местным самовозбуждением, поскольку возрастание колебаний возникает лишь после достаточно больших начальных возмущений.

В более сложных случаях возможно существование нескольких предельных циклов. Так, для системы, описываемой дифференциальными уравнениями

$$\dot{x}_1 = b_1 \dot{\phi} + b_2 x_1^2 - b_3 x_1^3 + c x_1 = 0 \quad (13.4)$$

($a > 0$, $b_1 > 0$, $b_2 > 0$, $b_3 > 0$, $c > 0$), фазовая диаграмма имеет вид, показанный на рис. 13.4, а, в квартальной системе координаты на рис. 13.4, б.

Во всех рассмотренных случаях можно заметить чередование устойчивых и неустойчивых стационарных состояний: на рис. 13.2, а неустойчивая особая точка окружена устойчивым предельным циклом, на рис. 13.3, а устойчивая особая точка окружена неустойчивыми предельными циклами, на рис. 13.4, а неустойчивая особая точка окружена устойчивым циклом A_1 , который в свою очередь расположается внутри неустойчивого предельного цикла A_2 (для последнего случая на рис. 13.4, б, показана энергетическая кривая). Можно сказать, что устойчивые состояния привлекают и устойчивые предельные циклы притягиваются к себе лежащие в их окрестности фазовые траектории и по этому существенному признаку называются аттракторами (от английского глагола to attract — привлекать). Ниже, в § 16 будет рассмотрен аттрактор этого рода со всеми удивительными свойствами, что его называют странным аттрактором.

Каждому аттрактору на фазовой плоскости соответствует определенная область притяжения, причем границами между этими областями служат неустойчивые предельные циклы (иногда такие циклы, а также неустойчивые состояния, развеивающиеся, называются репеллерами — от английского глагола to repel — отталкивать). Для пары подобных тем, как на земной поверхности природа между берегами рек проходит ее линии водораздела.

При простой структуре фазовых диаграмм, когда существует единственный аттрактор — устойчивое состояние разномассное или на рис. 13.2, или устойчивый предельный цикл или на рис. 13.3 — областью притяжения служит вся фазовая плоскость. В более сложных случаях стремление возмущенного движения к тому или иному аттрактору зависит от того, в какой из областей притяжения оказались изображающая точка при начальном возмущении. Так, для системы с двумя предельными циклами (рис. 13.4) часть фазовой плоскости, расположенная внутри неустойчивого предельного цикла A_2 , из-

дается областью притяжения к отраслику A_1 , а часть фазовой плоскости, расположенную вне предельного цикла A_2 , можно считать областью притяжения к бесконечности.

Несимметричные предельные циклы относятся к автономным системам с одной степенью свободы, но могут быть распространены на более сложные системы путем перехода от фазовой плоскости к фазовому пространству более высокой размерности. В частности, для неавтономных систем с одной степенью свободы используются представления о трехмерном фазовом пространстве, причем изображающей точке служат величины φ , $\dot{\varphi}$ и t . Фазовое пространство для автономной системы в двумя степенями свободы оказывается четырехмерным и т. д. Конечно, в этих и еще более сложных случаях представления о фазовых диаграммах лишаются престижа и плавгладкости, которыми обладают эти диаграммы на фазовой плоскости.

Дальнейшее содержание настоящего параграфа показано способом определения стационарных режимов; анализ устойчивости (неустойчивости) таких режимов, т. е. выделение аттракторов и репеллеров, рассматривается в следующем параграфе.

2. Способ численного интегрирования для кусочно-линейных систем. Как мы видели выше, в линейных системах с кусочно-линейными характеристиками удобно решать весь процесс движения по последовательность интегриров, в каждом из которых дифференциальное уравнение линейно и легко решается в замкнутом виде. Тогда задача сводится к последовательному решению нескольких дифференциальных уравнений и присоединению найденных решений путем сопоставления значений координат и скорости на границах интервалов.

В качестве первого примера рассмотрим систему с двумя граничес, на которую в моменты прозодрания через них совершаются разрывы с постоянной скоростью ($\gamma = 0$, $\dot{\varphi} > 0$) действуют мгновенные импульсы δ , направленные в сторону движения (см., например, рис. 0.2.6). В промежутках времени между двумя последовательными импульсами движение системы описывается дифференциальными уравнениями (2.6), решение которых приведено в формуле (2.7). Видимые сюда постоянные определяются условиями в начальном рассматриваемого

и то променутся $\dot{q}(t) = 0$, $\ddot{q}(t) = q_0^+$:

$$C_1 = \dot{q}_0^+ / k_0, \quad C_2 = 0.$$

Таким образом, для q и \dot{q} находим

$$\begin{aligned} q &= \left(\dot{q}_0^+ / k_0 \right) e^{-kt} \sin k_0 t, \\ \dot{q} &= \dot{q}_0^+ e^{-kt} [\cos k_0 t - (k/k_0) \sin k_0 t]. \end{aligned} \quad (13.5)$$

В последний момент перед приложением очередного $(n+1)$ -го импульса, т. е. при $t = 2\pi/k_0$, обобщенная скорость равна

$$\dot{q}_{n+1}^+ = \dot{q}_0^+ e^{-2\pi k_0 / k}.$$

Следовательно, непосредственно после приложения очередного импульса

$$\dot{q}_{n+1}^+ = \dot{q}_{n+1}^- + \frac{\beta}{\alpha} = \dot{q}_0^+ e^{-2\pi k_0 / k} + \frac{\beta}{\alpha}, \quad (13.6)$$

В стационарном режиме, т. е. при движении по предельному циклу, должно быть $\dot{q}_{n+1}^+ = \dot{q}_0^+$; из этого условия периодичности следует выражение для обобщенной скорости сразу после приложения любого из неподвижных импульсов:

$$\dot{q}^+ = \frac{\beta}{\alpha (1 - e^{-2\pi k_0 / k})}.$$

Соответственно для обобщенной координаты находим

$$q_{\text{max}} \approx \frac{\beta}{\alpha k_0 (1 - e^{-2\pi k_0 / k})}.$$

Заметим, рассмотренная в рассмотренной системе за время свободного движения между двумя последовательными импульсами, миграция воспроизводится благодаря скачку скорости и момент приложения импульса.

Сходными антиизобарическими свойствами обладают системы, в которых наряду с обычной силой циклического трения действует сила отрицательного кулонова трения. Характеристика трения показана на рис. 13.5, а, так что дифференциальное уравнение движения имеет вид

$$a\ddot{q} + b\dot{q} - R_0 \operatorname{sign} \dot{q} + cq = 0, \quad (13.7)$$

§ 12. СТАЦИОНАРНЫЕ РЕЖИМЫ И ПРЕДЕЛЬНЫЕ ЦИКЛЫ 211

Здесь критической самоизбуждение изолебий служит отрицательная сила кулонова трения. При малых стационарных системах от состояния равновесия вспомогательной силы землетрясения демпфирующее влияние силы циклического трения в состоянии равновесия неустойчиво. Однако при дальнейшем развитии колебаний эта система сравнивается и устанавливается стационарный режим изолебий (рис. 13.5, б). После большого начального

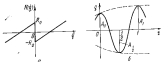


Рис. 13.5

отклонения (рис. 13.1, а) постепенно устанавливается тот же стационарный режим.

Рассмотрим какой-либо интервал времени, в котором координата убывает (см. на рис. 13.5, б) интервал, отмеченный числами Φ и $1/2$; на этом интервале дифференциальное уравнение (13.7) принимает форму

$$a\ddot{q} + b\dot{q} + cq = -R_0,$$

и его решение при начальных условиях $\dot{q}_0 = A_0$, $\ddot{q}_0 = 0$ имеет вид

$$q = \left(A_0 + \frac{R_0}{c} \right) e^{-kt} \left(\cos k_0 t + \frac{b}{k_0} \sin k_0 t \right) - \frac{R_0}{c}.$$

Далее находим скорость

$$\dot{q} = - \left(A_0 + \frac{R_0}{c} \right) e^{-kt} \frac{k^2}{k_0^2} \sin k_0 t$$

(обозначение соответствует правилам в § 2). В точке $1/2$ скорость обращается в нуль, и этому моменту соответствует равенство

$$k_0 t_{1/2} = \pi,$$

принимает значение

$$q = A_{10} = -A_{1g} \frac{\frac{R_0}{c}}{s} + \frac{R_0}{c} \left(1 + e^{-\frac{R_0}{k_0 s}} \right). \quad (13.8)$$

На следующем интервале времени $t/2 - t$ скорость положительна, и из уравнения (13.7) имеем

$$a\ddot{q} + b\dot{q} + cq = R_0. \quad (13.9)$$

Для этого интервала времени при сжатии в точку $1/2$ начале отсчета получим

$$\begin{aligned} q &= \left(A_{10} - \frac{R_0}{c} \right) e^{-bt} + \left(\cos k_0 t + \frac{b}{k_0} \sin k_0 t \right) + \frac{R_0}{c}, \\ \dot{q} &= -\left(A_{10} - \frac{R_0}{c} \right) e^{-bt} \frac{b^2}{k_0^2} \sin k_0 t. \end{aligned}$$

В состоянии 1, когда $\dot{q}_1 = 0$,

$$k_0 \dot{q}_1 = 0,$$

изодинаты q равны

$$q = A_1 = -A_{1g} \frac{\frac{R_0}{c}}{s} + \frac{R_0}{c} \left(1 + e^{-\frac{R_0}{k_0 s}} \right).$$

Подставив сюда выражение (13.8), найдем сиюже значение двух последовательных положительных отклонений:

$$A_1 = A_{1g} \frac{\frac{R_0}{c}}{s} + \frac{R_0}{c} \left(1 + e^{-\frac{R_0}{k_0 s}} \right)^2. \quad (13.10)$$

Продолжительность одного цикла (период колебаний) составляет $2\pi/k_0$. В стационарном режиме должно быть $A_1 = A_0 = A_{1g}$. Отсюда находим

$$A_{1g} = \frac{R_0}{c} \frac{(1 + e^{-R_0/c})^2}{1 - e^{-2\pi k_0/c}}. \quad (13.11)$$

При малых начальных отклонениях $k_0 \dot{q}_1$ можно пренебречь

$$A_{1g} = \frac{2R_0}{c}.$$

В качестве третьего примера рассмотрим систему, изображенную на рис. 13.6, а. Она состоит из равномерно движущегося переднего колеса 1, приводимого через пружину 2 движению груза 3. Между грузом и поверх-

ностью, по которой он скользит, развивается сила сухого трения; характеристика трения имеет вид, показанный на рис. 13.6, б, и схематически изображает изменение изгибающих моментов различия между предельной силой трения покоя и силой трения движения.

Надо обозначить: v — скорость подушки покоя, c — коэффициент жесткости пружины, m — масса груза,

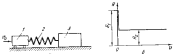


Рис. 13.6

$b = \sqrt{c/m}$, R_0 — предельная сила трения покоя, R_0 — сила трения движения.

Очевидно, возможны также движение рассматриваемой системы, при котором скорость груза 3 также равна v . При этом пружина 2 сжата постоянной силой R_0 , разной силы трения движения R_0 . Однако, как мы убедимся, этот режим может оказаться неустойчивым и при определенных обстоятельствах около него возникнут автоколебания.

Если скорость v мала, то какие-либо случайные пропуски могут оказаться достаточными для остановки груза на некоторое кратковремя.

Водитель засек, продолжил движение газами, будет сжимать пружину до тех пор, пока сила сжатия R не сравняется с силой трения покоя R_0 . Далее после этого произойдет срыв груза, пружина сила трения мгновенно увеличится до значения R_0 . Но сила сжатия пружины в первый момент начавшегося движения будет по-прежнему равна R_0 , и, следовательно, равновесное сия же действует на груз, нарушая его.

Соединим с момента срыва начала отсчета времени $t = 0$ и заметим, что в этот момент размы пулю как изодинаты x , так и скорость \dot{x} :

$$x(0) = 0, \quad \dot{x}(0) = 0 \quad (13.12)$$

(отсчет перемещений будем вести от места остановки груза).

Рассмотрим теперь процесс последующего движения. К некоторому моменту времени $t > 0$ длина пружины измениется на отрезок $x - R_1$ и соответствующим сдвигом упругости пружины уменьшится до значения

$$P(t) = R_1 - c(x - R_1). \quad (13.13)$$

Таким образом, дифференциальное уравнение движения груза изменяется в виде

$$R_1 - c(x - R_1) - R_2 = m\ddot{x},$$

или

$$\ddot{x} + kx = k^2f + \frac{R_1 - R_2}{m}.$$

Решение этого уравнения, удовлетворяющее начальным условиям (13.12), имеет вид

$$x = v_0 f - \frac{v_0}{k} \sin kt + \frac{R_1 - R_2}{c} (1 - \cos kt). \quad (13.14)$$

Первое слагаемое правой части выражает равномерное движение со скоростью недущего звена, а остальные слагаемые — дополнительные колебания груза.

Скорость груза меняется по закону

$$\dot{x} = v_0 - v_0 \cos kt + \frac{k(R_1 - R_2)}{c} \sin kt$$

и в некоторый момент времени может вновь обратиться в нуль. Условие новой остановки груза приводит к уравнению

$$v_0 - v_0 \cos kt_1 + \frac{k(R_1 - R_2)}{c} \sin kt_1 = 0,$$

в котором t_1 — время от момента срыва до момента новой остановки. Введем безразмерный параметр

$$\alpha = \frac{k(R_1 - R_2)}{v_0}.$$

Теперь условие остановки принимает вид

$$\alpha \sin kt_1 - \cos kt_1 = 1.$$

Решив это уравнение, найдем

$$\sin kt_1 = -\frac{\alpha}{1+\alpha^2}, \quad \cos kt_1 = \frac{1-\alpha^2}{1+\alpha^2}. \quad (13.15)$$

Модули полученных выражений всегда меньше единицы, так что из (13.15) всегда следует вещественное значение t_1 . Получив это значение t_1 , можно по формуле (13.14) определить координату x груза в момент новой остановки, т. е. путь, проходимый грузом за время t_1 :

$$x_1 = v_0 t_1 - \frac{v_0}{k} \sin kt_1 + \frac{R_1 - R_2}{c} (1 - \cos kt_1) = v_0 t_1 + \frac{2\alpha v_0}{k},$$

С учетом выражения (13.15) найдем по соотношению (13.13) силу сжатия пружин и момент остановки:

$$P(t_1) = 2R_2 - R_1.$$

Отсюда видно, что $P(t_1) < R_1$ (так как $R_2 < R_1$). Следовательно, после остановки груз некоторое время будет оставаться на месте, пока сила сжатия пружины пока не достигнет максимальной предельной силы трения звена. После этого произойдет новый спуск груза в начальную следующий цикл, под действием сопротивления с предыдущим. Таким образом, рассматриваемый процесс представляет собой стационарные автоколебания.

За время, в течение которого груз покоялся, сила сжатия постоянно возрастает на величину

$$\Delta P = R_1 - P(t_1) = 2(R_2 - R_1),$$

и соответствующим дополнительным укорочением пружины составит

$$\Delta l = \frac{\Delta P}{c} = \frac{2(R_1 - R_2)}{c}.$$

Этой же величине равен путь, проходимый недущим звеном за время остановки груза. Следовательно, длительность состояния покоя груза равна

$$t_2 = \frac{\Delta l}{v_0} = \frac{2(R_1 - R_2)}{cv_0} = \frac{2\alpha}{k}. \quad (13.16)$$

(Тот же результат можно найти из условия $v_0(t_1 + t_2) = -x_1$, выражавшего равенство перемещений груза и недущего звена за один полный цикл рассматриваемого процесса.)

Таким образом, период автоколебаний определяется формулой

$$T = t_1 + t_2.$$

для колебаний которых считала нужно найти \dot{x}_1 из выражения (13.15), а затем \dot{x}_2 из формул (13.16).

Чем меньше скорость ведущего звена, тем более равно выражено процесс автоколебаний. Действительно, при малых значениях k_2 бегущий волновой фронт x становится весьма близким к из выражению (13.15) следует приближение

$$\sin k_2 t \rightarrow 0, \quad \cos k_2 t \rightarrow 1, \quad \text{т. е.} \quad \dot{x}_1 = \frac{\pi}{k_2}.$$

Соответственно (13.16) это приводит к следующей формуле для периода автоколебаний:

$$T = \frac{\pi + 2\pi}{k_2}.$$

Здесь явно видно, что реальная второго слагаемого в числовом возрастает с уменьшением скорости g .

Зависимости движения при двух различных малых значениях k_2 графически показаны на рис. 13.7, а; на

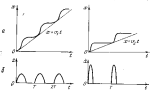


Рис. 13.7

рис. 13.7, б показаны соответствующие записи изменения скорости. С уменьшением скорости период автоколебаний растет.

3. Метод энергетического баланса. Этот метод, который мы опишем ниже при исследовании свободных колебаний систем с нелинейными тряпками (в гл. 5, 2) позволяет получить приближенное решение задачи о стационарных автоколебаниях квазилинейных систем, движение которых описывается дифференциальным уравнением

$$\ddot{x} + k_2 \dot{x} = f(x, \dot{x}). \quad (13.17)$$

Здесь, как указывалось, $f(x, \dot{x})$ — функция, состоящая из малых квазилинейных членов. Поскольку эти члены малы, естественно принять $k = k_2$ и искать решение в виде

$$\vartheta = A \cos(k_2 t - \psi), \quad (13.18)$$

где A и ψ — постоянные. В этой записи существование предположение о том, что частота автоколебаний k равна собственной частоте лифференциальной системы. Выражение (13.18) не может строго удовлетворять уравнению (13.17); этому может привести часть $f(x, \dot{x})$, которая после подстановки (13.18) принимает вид

$$f_x(k_2 t - \psi) = f(A \cos(k_2 t - \psi), -Ak_2 \sin(k_2 t - \psi)) \quad (13.19)$$

и тем самым в втулке не обращается. После умножения на интегрирующий коэффициент a прямая часть будет представлять собой некоторую неуравновешенную силу в втулье. В соответствии с единой идеей энергетического метода потребуем, чтобы работа этой силы за период $2\pi/k_2$ равнялась нулю. Работа силы f_x на элементарном перемещении $d\vartheta$ равна $f_x d\vartheta = a f_x d\vartheta$. При учете соотношений (13.18) и (13.19) условие энергетического баланса записывается в виде

$$-ak_2 \int_0^{2\pi/k_2} f(A \cos(k_2 t - \psi), -Ak_2 \sin(k_2 t - \psi)) \times \sin(k_2 t - \psi) dt = 0. \quad (13.20)$$

Обозначив

$$k_2 t - \psi = \phi,$$

$$\Phi(A) = - \int_0^{\pi} f(A \cos \phi, -Ak_2 \sin \phi) a \sin \phi d\phi, \quad (13.21)$$

получим условие для определения стационарной амплитуды автоколебаний в виде ^{*}

$$\Phi(A) = 0. \quad (13.22)$$

В качестве примера найдем амплитуду автоколебаний для системы, описанной дифференциальными урав-

^{*} Отметим, что выражение (13.21) тесно связывает с выражением (2.42), которое было получено в § 2 методом метода максимального канонита. Отличие между ними для стационарных колебаний вида (13.18) заключается в том, что в выражении (2.42) в правой части отсутствует член $a f_x d\vartheta$.

иением (13.7); выше эта задача была также решена способом поставленного интегрирования (приводим again).

В данном случае

$$f(q, \dot{q}) = -\frac{\mu}{a} \dot{q} + \frac{R_2}{2} \operatorname{sign} \dot{q}$$

и

$$f(A \cos \psi - Ak_2 \sin \psi) = \frac{Ak_2}{a} \sin \psi + \frac{R_2}{a} \operatorname{sign}(-\sin \psi),$$

т. е.

$$f(A \cos \psi - Ak_2 \sin \psi) = \begin{cases} \frac{Ak_2}{a} \sin \psi - \frac{R_2}{a} & \text{при } 0 < \psi < \pi, \\ \frac{Ak_2}{a} \sin \psi + \frac{R_2}{a} & \text{при } \pi < \psi < 2\pi. \end{cases}$$

Согласно формуле (13.21) находим

$$\Phi(\phi) = - \int_{-\pi}^{\phi} \left(\frac{Ak_2}{a} \sin \psi - \frac{R_2}{a} \right) \sin \psi d\psi + \\ + \int_{-\pi}^{\phi} \left(\frac{Ak_2}{a} \sin \psi + \frac{R_2}{a} \right) \sin \psi d\psi = -\frac{\pi Ak_2}{a} + \frac{R_2}{a}. \quad (13.23)$$

Теперь из условия (13.22) находим для амплитуды колебаний выражение (13.11).

4. Матрицы малого параметра. Как и в методе энергетического моделирования амплитуд, нужно прежде всего выделить из заданной функции $F(q, \dot{q})$ линейную часть и представить ее в виде дифференциального уравнения в виде

$$\ddot{q} + k_2^2 q = R(q, \dot{q}). \quad (13.24)$$

Для изолированных систем колебательную функцию $f(q, \dot{q})$ можно представить в виде $\mu f(q, \dot{q})$, где μ — заранее заданный параметр. Однако в подобных случаях можно поступить и по-другому — формально звать в правую часть (13.24) множитель $\mu = 1$ и записать уравнение (13.24) в виде

$$\ddot{q} + k_2^2 q = \mu f(q, \dot{q}). \quad (13.25)$$

Тогда в последующих выкладках буква μ будет служить лишь «сигналом»ности» того компонента, около ко-

торого она стоит; если в этих выкладках возникнут степени буквы μ (т. е. μ^2 , μ^3 и т. д.), то они будут как бы отвечать величинам первого, второго и третьего и т. д. порядков малости. Резумируя, что при таком формальном введении параметра μ , в окончательных результатах нужно иметь ввиду, что $\mu = 1$.

Согласно основной идеи рассматриваемого метода, решением уравнения (13.25) является в виде ряда по степеням малого параметра μ

$$q(t) = q_0(t) + \mu q_1(t) + \mu^2 q_2(t) + \dots, \quad (13.26)$$

в котором $q_0(t)$, $q_1(t)$, $q_2(t)$, ... — пока неизвестные функции. Поскольку частота изученного процесса движущего, обозначенного выше через k_2 , может не совпадать с собственной частотой линеаризованной системы A_0 , применяется аналогичное разложение

$$k_2 = k_2^0 + \mu k_2^1 + \mu^2 k_2^2 + \dots, \quad (13.27)$$

где k_2^0 , k_2^1 — постоянные, такие же как приведенные.

Теперь выражения (13.26) и (13.27) подставляются в обе части основного уравнения (13.25). Следимо получившееся равенство будет пропорциональны различиям степеней малого параметра μ , и следовательно, после группировки схожих равенству можно предать вид

$$D_0 + \mu D_1 + \mu^2 D_2 + \dots = 0. \quad (13.28)$$

Здесь D_0 , D_1 , D_2 , ... — некоторою комплексы выражений, не содержащие малого параметра. Так как соотношение (13.28) должно выполняться при любом значении μ , необходимо, чтобы оно было выполнено для D_0 , D_1 , D_2 , ...

При этом получается система уравнений следующего вида:

$$\begin{aligned} \bar{q}_0 + k_2^2 q_0 &= 0, \\ \bar{q}_1 + k_2^2 q_1 &= P_1(q_0(0), \dot{q}_0(0)), \\ \bar{q}_2 + k_2^2 q_2 &= P_2(q_1(0), \dot{q}_1(0)). \end{aligned} \quad (13.29)$$

Конкретный вид выражений P_1 , P_2 , ... зависит от того, каким заданы функции $f(q, \dot{q})$; конечно, в разрывные выражения P_1 , P_2 , ... будут такие постоянные T_1 , T_2 , ...

Для последовательно, одно за другим, решаются уравнения (13.29), причем постоянные $\gamma_0, \gamma_1, \dots$ определяются из условия отсутствия в решениях некоих (резонансных) членов, т. е. таких, которые содержат время t или знаков тригонометрических функций; те же условия позволяют также найти и амплитуду автоколебаний.

Не останавливаясь на обсуждении выводов в общем случае, обратимся к задаче об автоколебаниях системы, описываемой уравнением Ван дер Пола (13.2), которое записем в виде

$$\ddot{q} + q = \mu(1 - q^2)\dot{q}. \quad (13.30)$$

Отметим, что в данном случае $k_0^2 = 1$; поэтому коэффициент при \dot{q} в левой части уравнения (13.30) нужно представить в виде (13.27):

$$1 = k^2 + \mu\gamma_1 + \mu^2\gamma_2 + \dots$$

Ограничимся учетом слагаемых по первому порядку малости, подставив в (13.30)

$$1 = k^2 + \mu\gamma_1, \quad q = q_0 + \mu\dot{q}, \quad (13.31)$$

При этом получается

$$(q_0 + \mu\dot{q}) + (k^2 + \mu\gamma_1)(q_0 + \mu\dot{q}) = \mu[1 - (q_0 + \mu\dot{q})^2](\dot{q}_0 + \mu\dot{\dot{q}}),$$

или, объединив члены одного порядка малости,

$$\ddot{q}_0 + k^2q_0 + \mu(q_0 + \mu\dot{q}_0 + \mu\ddot{q}_0 - \dot{q}_0 + \mu\dot{\dot{q}}) + \dots = 0, \quad (13.32)$$

где малоточечное обозначает слагаемые второго и высших порядков малости. Из (13.32) получаем уравнение вида (13.29):

$$\ddot{q}_0 + k^2q_0 = 0, \quad (13.33)$$

$$\dot{q}_0 + \mu\dot{q}_0 = -\gamma_0\dot{q}_0 + \dot{q}_0 - \frac{\mu}{k}\dot{k}^2. \quad (13.34)$$

Будем вести отсчет времени от момента, когда координата q достигла максимума; начальную амплитуду автоколебаний обозначим через A . В начальный момент скорость \dot{q} равна нулю, так что можно записать $q(0) = A$, $\dot{q}(0) = 0$, или,

второму соотношению (13.31),

$$q_0(0) + \mu\dot{q}_0(0) = A,$$

$$\dot{q}_0(0) + \mu\dot{\dot{q}}_0(0) = 0.$$

Для того чтобы эти соотношения удовлетворялись при любых значениях μ , должны быть

$$q_0(0) = A, \quad \dot{q}_0(0) = 0, \quad (13.35)$$

$$\dot{q}_0(0) = 0, \quad \ddot{q}_0(0) = 0. \quad (13.36)$$

Теперь можно записать решение уравнения (13.33), удовлетворяющее начальным условиям (13.35),

$$q_0 = A \cos kt, \quad (13.37)$$

и затем перейти к уравнению (13.34), которое с учетом (13.37) получает вид

$$\ddot{q}_0 + k^2q_0 = -\gamma_0 A \cos kt - Ak \sin kt + A^2k \sin kt \cos^2 kt.$$

Сделав замену $\sin kt \cos^2 kt = \frac{1}{4}(\sin 3kt + \sin kt)$, имеем

$$\begin{aligned} \ddot{q}_0 + k^2q_0 &= -\gamma_0 A \cos kt - At \left(1 - \frac{A^2k}{4}\right) \sin kt + \frac{A^2k}{4} \sin 3kt. \end{aligned} \quad (13.38)$$

Для того чтобы в решении этого уравнения отсутствовали никакие слагаемые, необходимо, чтобы коэффициенты при $\cos kt$ и $\sin kt$ различались нулю. Первое условие имеет $\gamma_0 = 0$; согласно (13.37) получаем, что $k^2 = k_0^2 = 1$, т. е. в данном случае частота автоколебаний совпадает с собственной частотой линеаризованной системы. Теперь из второго условия $1 - \frac{A^2k}{4} = 0$ находим амплитуду автоколебаний $A = 2$.

Следует обратить внимание на то, что полученная амплитуда оказалась не зависящей от малого параметра μ , входящего в заданное уравнение (13.30). Однако это означает, что это значение вообще не существует для рассматриваемой системы. Значение μ определяет быстроту приближения системы к движению по предельному циклу — чем больше μ , тем быстрее происходит это приближение. Кроме того, значение μ влияет на подробности движения по предельному циклу.

В самом деле, из (13.38) при начальных условиях (13.36) можно найти

$$\varphi_1 = \frac{A^0}{\omega} (\sin M - \sin M_0).$$

Следовательно, с учетом (13.37), получаем

$$\varphi = \varphi_1 + \varphi_{21} = A_0 \cos M + \frac{\mu A^0}{\omega k} (\sin M - \sin M_0).$$

Т. о. движение зависит от изменения μ .

§ 14. Переходные процессы и устойчивость стационарных режимов

1. Вступительные замечания. Для анализа переходных процессов также могут быть применены различные методы; в частности, для кусочно-линейных систем целесообразно использовать способ постепенного интегрирования, а для нелинейных систем со слабой нелинейностью — энергетический метод или метод медленно меняющихся амплитуд.

Полученные с помощью указанных методов результаты показали еще и в том отношении, что они позволяют исследовать устойчивость стационарных режимов.

2. Способ постепенного интегрирования для кусочно-линейных систем. Идея способа была впервые дана в *сообществе применения в задачах исследование переходных процессов* можно проследить на примере системы, описанной дифференциальным уравнением (13.10).

На повторяющих выкладках, приводим в качестве исходного соотношение (13.10), которое связывает две последовательные амплитуды A_n и A_{n+1} :

В § 13 при нахождении стационарных режимов амплитуды полагались неизменными, однако здесь, при определении переходного процесса необходимо учитывать различие между ними.

Введем обозначения

$$\alpha = e^{-\omega k_0 t} + \beta^2, \quad \beta = e^{-\omega k_0 t} \omega; \quad (14.1)$$

тогда для любой n -й амплитуды можно записать

$$A_n = \beta A_{n-1} + \alpha R_0/c, \quad (14.2)$$

С помощью последнего рекуррентного соотношения можно найти любую амплитуду через предыдущую и, если потребуется, оценить быстроту приближения переходного процесса к стациональному режиму.

Решение может быть существенно упрощено, если, как и выше (см. § 2, п. 2), вместо дискретной совокупности единиц рассматривать непрерывную функцию $A(t)$ («обобщенную»). Для такого перехода нужно заменить конечную разность $\Delta A = A_n - A_{n-1}$ выражением

$$\Delta A = \frac{2\pi}{k_0} \frac{dA}{dt}.$$

Тогда с помощью (14.2) получим дифференциальное уравнение для «обобщенной»

$$\frac{2\pi}{k_0} \frac{dA}{dt} = (\beta - 1) A + \alpha \frac{R_0}{c},$$

После интегрирования найдем при начальном условии $A = A(0)$ при $t = 0$

$$A = \left[A(0) - \frac{\alpha R_0}{(1-\beta)c} \right] e^{-t/\omega k_0} + \frac{\alpha R_0}{(1-\beta)c}, \quad (14.3)$$

или, с учетом выражения (13.11),

$$A = [A(0) - A_{cr}] e^{-t/\omega k_0} + A_{cr}$$

При достаточно малых значениях коэффициента αk_0 член R_0/c можно принять ≈ 0 ; $\beta \approx 1 - 2\alpha k_0$. При этом получится

$$A = [A(0) - A_{cr}] e^{-t/\omega k_0} + A_{cr} \quad (14.4)$$

то есть согласно (13.11)

$$A_n = 2R_0 k_0 / (\omega c k_0). \quad (14.5)$$

Для того чтобы убедиться в достаточно высокой точности полученных выражений, рассмотрим пример, под论证, что $k_0/k_{cr} = 0.05$. В таблице представлены безразмерные значения первых 15 амплитуд, вычисленных по рекуррентной формуле (14.2) и по приближенному уравнению (14.4) (для того чтобы найти амплитуды A_n , нужно воспользоваться таблицей числа умножить на величину R_0/c). Значение $A(0)$ является равным нулю, а значение A_{cr} , соответствующее $\alpha = \infty$, определяется по выражениям (13.11) и (14.5).

Номер колебательного цикла n	Значение бифуркационных параметров $\langle A_0 \rangle_{\text{кр}}$	
	по формуле (13.31)	по формуле (13.4)
0	0	0
1	3,440	3,433
2	5,963	5,960
3	7,287	7,771
4	9,127	9,309
5	10,006	10,089
6	10,821	10,789
7	11,544	11,329
8	11,725	11,701
9	12,003	11,979
10	12,207	12,182
11	12,396	12,321
12	12,494	12,489
13	12,544	12,518
14	12,692	12,598
15	12,644	12,638
16	12,758	12,732

3. Метод энергетического баланса. При исследовании стационарных решений в § 13 мы исходили из того, что сила A_0 совершает за один период работу, равную нулю. Здесь при исследовании переходных процессов необходимо учесть, что энергия системы за период изменения, так как работа силы A_0 , отлична от нуля; поэтому (13.20) имеет

$$-\omega A k_0 \int_0^{\omega t_0} f(A \cos(k_0 t - \varphi)) - A k_0 \sin(k_0 t - \varphi) \times \\ \times \sin(k_0 t - \varphi) dt = \Delta \Pi. \quad (14.6)$$

Здесь первая часть представляет собой работу называемой силы за один период, а вторая часть — приращение энергии системы за то же время. Это приращение можно определить по выражению

$$\Delta \Pi = \frac{\omega A^2 (\Gamma)}{2} - \frac{\omega A^2 (\Theta)}{2} \approx \omega A \Delta A.$$

Подставив это в уравнение энергетического баланса (14.6) и пользуясь формулой (13.21), получим

$$\Delta A = \frac{\Phi(A)}{k_0^2}, \quad (14.7)$$

Будем рассматривать зависимость $A = A(t)$ как непрерывную функцию времени; тогда можно приближенно принять

$$\frac{d}{dt} \Delta A = \frac{dA}{dt}.$$

Вместо (14.7) получим дифференциальное уравнение

$$\frac{dA}{dt} = \frac{\Phi(A)}{2 \omega k_0^2}, \quad (14.8)$$

соппадающее с уравнением (2.41). Интегрируя это дифференциальное уравнение при начальном условии $A = A(0)$ при $t = 0$, найдем уравнение огибающей:

В качестве примера найдем переходный процесс для системы, рассмотренной в п. 2. В данном случае по формуле (13.21) находим

$$\Phi(A) = -\frac{\pi k_0^2}{2} A + \frac{4 \pi}{2}$$

и дифференциальное уравнение (14.8) преобразует вид

$$\frac{dA}{dt} = \frac{4 \pi - \pi k_0^2 A}{2 \omega k_0^2}.$$

Остается после интегрирования следующий результат (14.5), справедливый для случая малого трения.

4. Метод моделирования амплитуды. Для определения переходного процесса по этому методу непосредственно используются выражения в § 2 упрощенные уравнения (2.41).

В качестве примера рассмотрим уравнение Бан-дер Поля (13.30):

$$\dot{\varphi} + q = \mu(1 - q^2)\varphi.$$

По первому из уравнений (2.42) находим

$$\Phi(A) = -\mu \int_0^{\varphi} (1 - A^2 \cos^2 \psi) (-A \sin \psi) \sin \psi d\psi = \\ = \mu \pi A \left(1 - \frac{A^2}{4}\right). \quad (14.9)$$

Теперь составляем уравнение (2.41):

$$\dot{A} = \frac{\mu A}{2} \left(1 - \frac{A^2}{4}\right)$$

и интегрируем это при начальном условии $A = A_0$ при $t = 0$:

$$A = 2A_0 \left(|4 - A_0^2| e^{-\omega t} + A_0^2 - 4 \right)^{-1/2}.$$

Отсюда видно, как в течение времени амплитуда от начального значения A_0 постепенно приближается к стационарному значению $A = 2$ (см. также стр. 221).

Полученное выражение достаточно ясно характеризует переходный процесс и, в частности, тем, что его приближение к стационарному режиму. Поэтому обычно опускают последние изменения фазы φ (широким, это сделать совсем не трудно; в рассматриваемой задаче можно найти, что $\varphi = 0$).

5. Метод точечных отображений. Примеры, рассмотренные в гл. 2–4, показывают, что для описания колебательных процессов в системах с одной степенью свободы не обязательно знать закон движения $q = q(t)$; практически достаточно рекуррентные соотношения между последовательными амплитудами (см., например, (14.2)). Как мы видели, для того чтобы сложить значения двух последовательных амплитуд, нужно выделить типовой промежуток времени, на концах которого изменения системы достигают максимума, и скорость размахов целиком. Далее изучается движение за этот промежуток времени и определяется амплитуда \bar{A} в конце промежутка через амплитуду A в начале, т. е. образуется соотношение

$$\bar{A} = f(A), \quad (14.10)$$

которое можно рассматривать как функциональную зависимость \bar{A} от A . Для зависимости (14.2) график (14.10) показан на рис. 14.1, а. В данном случае график представляет собой прямую, потому что за типовой промежуток времени механической системы определяется линейная дифференциальная уравнение. В более общих случаях график (14.10) оказывается неприводимым, как это показано на рис. 14.1, б.

Для того чтобы найти амплитуду стационарного режима начальной (соответствующей предыдущему циклу), нужно в (14.10) положить $\bar{A} = A$ и решать уравнение

$$A = f(A). \quad (14.11)$$

Графическое решение этого уравнения показано на рис. 14.1, в. Здесь кроме графика правой части (14.11), соответствующего рис. 14.1, б, проведена биссектриса ко-

ординатного угла, служащая графиком левой части (14.11). Абсцисса A_0 , точка пересечения определяет исходную амплитуду стационарного режима.

Такие графики позволяют не только найти амплитуду стационарного режима, но и найти переходный процесс. Для этого пользуются построением Кеппига – Памерса,

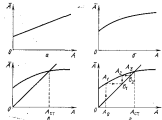


Рис. 14.1

которое состоит в следующем. Задавшись первоначальным значением амплитуды A_0 , нужно отложить это на оси абсцисс, а затем построить ломаную $A_0, A_1, B_1, A_2, B_2, \dots$, как это показано на рис. 14.1, г для случая, когда начальное отклонение мало ($A_0 < A_{st}$). Как видно, эта ломаная в конце концов приходит в точку пересечения графиков — стационарному режиму. Можно убедиться, что если $A_0 > A_{st}$, то переходный процесс постепенно приближается к тому же стационарному режиму.

6. Устойчивость стационарных режимов. Наищий из разобранных выше способов определения переходных процессов дает непосредственную возможность выяснить устойчивость (неустойчивость) стационарного режима или состояние равновесия.

Проще всего оставаться на системе с полиномиальным тряпцем, характеристика которого показана на рис. 13.5, а. Для этой системы стационарная амплитуда определяется выражением (13.11) в виде $A_{st} = \omega B_0 / [c(1 - \beta)]$, а по-

результатом процесса — состоянию (14.2). Для того чтобы проверить устойчивость стационарного режима, полагаем, что он некоторым образом нарушен, так что амплитуда колебаний приобрела значение $A_0 + \delta_0$, где δ_0 — начальное возмущение стационарной амплитуды. Тогда (14.2) можно записать в виде

$$A_{\text{ст}} + \delta_0 = \beta(A_{\text{ст}} + \delta_0) + \alpha R_0/c,$$

где δ_0 — возмущение последующей амплитуды. В дальнейшем движения амплитуды колебаний будут определяться соотношением

$$A_{\text{ст}} + \delta_t = \beta(A_{\text{ст}} + \delta_{t-1}) + \alpha R_t/c, \quad (14.12)$$

в котором δ_{t-1} и δ_t — для последовательных значений возмущения амплитуды. Из (14.12) находим

$$\delta_t = \beta\delta_{t-1}.$$

Отсюда видно, что поскольку $\beta < 1$, то $\delta_t < \delta_{t-1}$; убывание возмущенной амплитуды означает, что стационарный режим устойчив.

Если для той же системы решение найдено методом точечных изображений, то об устойчивости стационарного режима можно судить с помощью построения Кеннига — Ламмерса (см. рис. 14.2) в окрестности абсциссы $A_{\text{ст}}$.

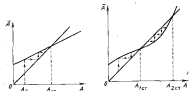


Рис. 14.2

Здесь интересующее видно, что возмущенное движение постепенно приближается к движению по прямой линии.

Для систем с двумя предельными циклами (см. рис. 13.4, a) построение Кеннига — Ламмерса и принцип

выглядят, как показано на рис. 14.3. Вид линий отчетливо обнаруживает устойчивость первого стационарного режима и неустойчивость второго.

В некоторых случаях может оказаться не достаточно знать амплитуду, а последовательность (такие динамические) максимальных значений скорости, такую, как, например, были найдены выше в виде (13.5). Применительно к этой зависимости возможное движение будет описываться соотношением

$$\dot{q}^+ + A_n = (\dot{q}^+ + \Delta_{n-1}) e^{-\omega_n t_n} + \delta/n,$$

в котором Δ_{n-1} и Δ_n — последовательные значения возмущения скорости \dot{q}^+ . Учитывая найденное выше значение \dot{q}^+ , из записанного соотношения следует

$$\Delta_n = \Delta_{n-1} e^{-\omega_n t_n},$$

т. е. $\Delta_n < \Delta_{n-1}$ — стационарный режим устойчив.

Если стационарный режим найден методом методом или методом Бан дер Пола из условия $\Phi(A) = 0$ (см. выражение (2.42)), то наряду с этим режимом нужно рассмотреть, называемый режимом, т. е. системе движения, характеризующее амплитудами $A_{\text{ст}} + \delta A$; здесь δA — вариация амплитуды, являющаяся шагом функции времени. Характер изменения δA с течением времени позволяет судить об устойчивости последующего режима. Поскольку возмущенный режим определяется соотношением (14.8), — помимо, с заменой A на $A_{\text{ст}} + \delta A$, — имеем

$$\frac{d}{dt}(A_{\text{ст}} + \delta A) = \frac{\Phi'(A_{\text{ст}} + \delta A)}{2\pi\omega_0}. \quad (14.13)$$

Заметим, что

$$\frac{d}{dt}(A_{\text{ст}} + \delta A) = \frac{d(\delta A)}{dt},$$

$$\Phi(A_{\text{ст}} + \delta A) \approx \Phi(A_{\text{ст}}) + \Phi'(A_{\text{ст}})\delta A = \Phi'(A_{\text{ст}})\delta A,$$

поскольку $\Phi'(A_{\text{ст}}) = 0$.

Таким образом, соотношение (14.13) принимает вид

$$\frac{d(\delta A)}{dt} = \frac{\Phi'(A_{\text{ст}})\delta A}{2\pi\omega_0}.$$

Отсюда очевидно находим

$$\delta A = \delta A_0 e^{\frac{\Phi'(A_{\text{ст}})t}{2\pi\omega_0}},$$

где δA_0 — начальная амплитуда амплитуды стационарного режима. Если

$$\Phi'(A_0) < 0, \quad (14.14)$$

то возмущения амплитуды будут асимметрически стремиться к нулю, т. е. движение будет приближаться к изначальному стационарному режиму и последний является устойчивым. Если же $\Phi'(A_0) > 0$, то возмущение будет возрастать с течением времени и движение будет все больше отклоняться от исходного стационарного режима; в этом случае стационарный режим неустойчив.

Таким образом, соотношение (14.14) представляет собой условие устойчивости стационарного режима.

Так, например, для системы, описываемой уравнением Бан дер Поля (13.30), было найдено выражение $\Phi(A)$ в виде (14.8). Следовательно, $\Phi'(A) = \pi \alpha \left(1 - \frac{3}{4} A^2\right)$; при $A = A_m = 2$ имеем $\Phi'(2) = -2\pi\alpha < 0$, т. е. условие устойчивости (14.14) выполнено — найденный предельный цикл устойчив. Иной результат получится, если дифференциальное уравнение движения механической системы имеет вид

$$a\ddot{\varphi} - b\dot{\varphi} + B_0 \operatorname{sign} \dot{\varphi} + c\varphi = 0. \quad (14.15)$$

В отличие от упомянутого примера, рассмотренного в начале п. 2 § 13 (см. уравнение (13.5)), в данном случае действующей является сила отрицательного квадратного трения, а сила пружины трения деформирует изобилии.

Принеся уравнению (14.15) в виду (2.32), получим

$$J(\varphi, \dot{\varphi}) = \frac{b}{a} \dot{\varphi}^2 - \frac{B_0}{a} \operatorname{sign} \dot{\varphi}.$$

Теперь по первой из формул (2.42) находим

$$\Phi(A) = \frac{ab}{a} A - \frac{4B_0}{a}.$$

Применив этот результат к циклу, определили амплитуду стационарных колебаний:

$$A_{00} = \frac{4B_0}{ab}.$$

Однако этот режим неустойчив, так как производная $\Phi'(A_0)$ не удовлетворяет условию (14.14):

$$\Phi'(A_0) = \frac{ab}{a} > 0.$$

При любом возмущении такого стационарного режима система либо будет стремиться к устойчивому в малом состоянию равновесия ($A = 0$), либо неизраниченно удаляться от стационарного режима ($A \rightarrow \infty$) — в зависимости от начального начального возмущения.

§ 15. Явление синхронизации

1. Вступительные замечания. Всюду выше в этой главе обсуждались явления, происходящие в автономных системах, когда движение происходит под действием сил, зависящих только от самого движения. Определенный интерес представляет свойства движения автономобилейской системы, если на нее действуют некоторые заданные вынуждающие силы.

Рассмотрим ниже в п. 2 случай действия гармонической вынуждающей силы, мы установим, что при достаточно близости периода вынуждающей силы к автоколебанию происходит синхронизация — движение происходит с периодом вынуждающей силы, а автоколебательная составляющая движения оказывается быстрее или медленнее; существенно, что синхронизация происходит при силье угида малой амплитуды вынуждающей силы. Иначе говоря, синхронизация является захватыванием.

В п. 3 мы рассмотрим еще один случай синхронизации, когда вынуждающая сила действует на автономобилейскую систему, а на колесную систему, способную совершать субъектские движения.

2. Синхронизация автономобилейской системы. Рассмотрим случай, когда из кинематической автономобилейской системы в одной степени свободы действует гармоническая вынуждающая сила, причем частота с силой близка к собственной частоте ω_0 автономобилейской системы. Дифференциальное уравнение задачи имеет вид

$$\ddot{\vartheta} + K_0 \vartheta = f(\vartheta, \dot{\vartheta}) + \frac{P}{a} \sin \omega t. \quad (15.1)$$

Поставим задачу определения условий существования периодических движений с частотой коммутирующей силы ω .

Для того чтобы воспроизводился ранее полученный спектропономии, найдем коэффициент расстройки

$$\varepsilon = \frac{\omega_0^2}{\omega^2} - 1. \quad (15.2)$$

Т. 4. ПРИМЕР

$$E_0^2 = \omega^2 (1 + \varphi),$$

считая, что значение φ мало по сравнению с единицей.

Тогда можно переписать уравнение (15.1) в виде

$$\ddot{\psi} + \omega^2 \psi = f(\varphi, \dot{\varphi}) - \omega^2 \varphi + \frac{P}{\omega} \sin \omega t, \quad (15.2)$$

и, пользуясь основной идеей метода нахождения макромаксимумов амплитуд, попытаемся решить это уравнение в виде (2.34), учитывая прежние условия (2.35). При этом мы приведем соотношения типа (2.30), но — соответственно правой части уравнения (15.2) — они будут иметь несколько иной вид:

$$\begin{aligned} \dot{A} &= -\frac{1}{\omega} / [A \cos(\omega t - \varphi) - A \sin(\omega t - \varphi)] \sin(\omega t - \varphi) + \\ &+ \omega \sin(\omega t - \varphi) \cos(\omega t - \varphi) - \frac{P}{\omega} \sin \omega t \sin(\omega t - \varphi), \end{aligned}$$

$$\begin{aligned} \dot{\psi} &= \frac{1}{\omega A} / [A \cos(\omega t - \varphi) - A \sin(\omega t - \varphi)] \cos(\omega t - \varphi) - \\ &- \omega \cos^2(\omega t - \varphi) + \frac{P}{\omega A} \sin \omega t \cos(\omega t - \varphi) \end{aligned}$$

Соответственно вместо упрощенных уравнений типа (2.41) получим

$$\begin{aligned} \dot{A} &= \frac{\Phi(A)}{2\omega} - \frac{P \sin \varphi}{2\omega}, \\ \dot{\psi} &= \frac{\Psi(A)}{2\omega A} - \frac{\omega}{2} + \frac{P \sin \varphi}{2\omega A}, \end{aligned} \quad (15.4)$$

В рассматриваемом случае стационарного режима обе эти производные должны быть равны нулю:

$$\frac{\Phi(A)}{2\omega} - \frac{P \sin \varphi}{2\omega} = 0, \quad \frac{\Psi(A)}{2\omega A} - \frac{\omega}{2} + \frac{P \sin \varphi}{2\omega A} = 0. \quad (15.5)$$

Наиболее интерес представляют значения амплитуды A . Для их определения пешком из уравнений (15.5) — тогда получим

$$\Phi^2(A) + [\Psi(A) - \omega A \sin^2 \varphi]^2 = \left(\frac{P \varphi}{\omega}\right)^2. \quad (15.6)$$

График получаемой отсюда зависимости $A = A(\varphi)$ иногда называют разомкнутой кривой.

ГЛ. IV. УСЛОВИЯ СОСТОЯНИЯ РАВНОВЕСИЯ

Вернемся к первому примеру к. 2 § 13, когда на систему действует вынуждающая сила $P \sin \omega t$, частота которой близка к собственной частоте линеаризованной си-

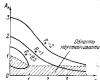


Рис. 15.1

стемы. В соответствии с (15.7) (см. также рис. 13.5, а) для этой системы

$$f(\varphi, \dot{\varphi}) = -\frac{b}{\omega} \dot{\varphi} + \frac{B}{\omega} \operatorname{sign} \dot{\varphi},$$

и по формуле (2.42) находим

$$\Phi(A) = -\frac{\omega b}{\omega} A + \frac{B}{\omega} \varphi,$$

$$\Psi(A) = 0.$$

Следовательно, соотношение (15.6) принимает вид

$$\left(\frac{4B\varphi}{\omega} - \frac{\omega b}{\omega} A\right)^2 + (\omega A \sin^2 \varphi)^2 = \left(\frac{P \varphi}{\omega}\right)^2.$$

Удобно писать безразмерные величины

$$e_0 = \varphi \frac{\omega}{b}, \quad A_0 = A \frac{\sin \varphi}{\sqrt{B\omega}}, \quad P_0 = P \frac{\varphi}{\sqrt{B\omega}}.$$

Тогда получим

$$(1 - A_0)^2 + (x_0 A_0)^2 = P_0^2.$$

Отсюда находим

$$A_0 = \frac{1 \pm \sqrt{P_0^2(1 + x_0^2) - 1}}{1 + x_0^2}.$$

На рис. 15.1 показаны графики зависимости безразмерной амплитуды A_0 от параметра расстройки x_0 , при

трех значений биорамерной силы: $P_0 = 0,5; 1; 2$. За-штрихованной областью соответствуют неустойчивые решения, когда синхронизация не осуществляется (см. изложение устойчивости здесь опущено).

3. Синхронизация маятника. Рассмотрим маятник с вертикально колеблющейся точкой подвеса (см. рис. 9.2, а), движение которой задано законом

$$\varphi = A \sin \omega t. \quad (15.7)$$

В главе III мы исследовали малые колебания такого маятника около положения равновесия; в частности, отмечалось, что в этой системе никакое положение равновесия может оказаться неустойчивым, и переходное движение — устойчивым.

Здесь мы не будем заниматься изучением малых колебаний, а исследуем возможность непрерывного вращения маятника, поддерживаемого колебанием оси. Вращение со средней угловой скоростью α , и рабочей частотой колебаний оси, и представляет явление синхронизации в рассматриваемой системе: взаимодействие воздушного (колебания оси) приносит свой ритм движению системы.

Таким образом, предполагаемый стационарный синхронизированный режим описывается законом

$$\varphi = \alpha t - \alpha, \quad (15.8)$$

где φ — угол отклонения маятника, α — наименьший сдвиг фаз.

Обратимся к составлению дифференциального уравнения относительного движения, и затем с помощью этого уравнения выясним, возможен ли режим движений (15.8). В уравнении Момент относительного колеблющейся оси zweid момента силы тяжести $-mg \sin \varphi$ и момент линейного трения $-b\dot{\varphi}$. Кроме того, в уравнение момента следует внести также момент перекосной силы инерции. Эта сила и является причиной синхронизации: она направлена по вертикали, и ее проекция по оси у равна

$$-m\ddot{\varphi} = m\alpha^2 \sin \alpha t.$$

Момент перекосной силы инерции относительно оси маятника составляет $m\alpha^2 \sin \alpha t$. Таким образом, дифференциальное уравнение относительного движения

имеет вид

$$m\ddot{\varphi} = -mg \sin \varphi - b\dot{\varphi} + m\alpha^2 \sin \alpha t. \quad (15.9)$$

Для проверки возможности синхронизированного про-цесса маятника попробуем подставить (15.8) в диффе-ренциальное уравнение (15.9):

$$m\ddot{\varphi} \sin(\alpha t - \alpha) (A \alpha^2 \sin \alpha t - g) = b\dot{\varphi}. \quad (15.10)$$

Так как здесь левая часть первоначала, а правая часть постоянна, то получившееся уравнение тождественно не удовлетворяется. Это означает, что функция (15.8) не является точным решением дифференциального уравнения (15.9), т. е. что разномерное вращение маятника неизбежно.

Однако можно принять (15.8) в качестве приближенного решения задачи и, отказавшись от требования о тождественном выполнении решения (15.9), ограничиться более слабыми требованиями о выполнении его в среднем. Именно в этом можно видеть применение той же идеи, которая лежит в основе метода медленных из-меняющихся амплитуд. Найдя среднее значение левой час-ти соотношения (15.10)

$$\frac{m\ddot{\varphi}}{2\pi} \int_{-\pi}^{\pi} \sin(\alpha t - \alpha) (A \alpha^2 \sin \alpha t - g) dt = \frac{m A \alpha^3}{2} \cos \alpha, \quad$$

приравняв его правой части того же соотношения. После этого получим

$$\cos \alpha = \frac{2b}{m A \alpha^3}. \quad (15.11)$$

Выражение (15.11) позволяет найти сдвиг фаз; но еще более важно, что из этого выражения следует условие синхронизации (захвативания)

$$\frac{2b}{m A \alpha^3} < 1. \quad (15.12)$$

Как видно, чем больше добавлено маятнику $m\ddot{\varphi}$ и мож-ливее скорость $A\alpha$ колебаний оси маятника, тем легче осуществляется синхронизация. Важный фактор, который может воспрепятствовать синхронизации, — это трение в системе, характеризуемое коэффициентом b ; чем больше трение, тем труднее достигается синхро-низация.

§ 16. Странные аттракторы

1. Генераторы стохастичности. До недавнего времени считалось, что единственной причиной слу́чайных колебаний механических систем служат те или иные внешние (внешние) воздействия — случайные вынуждающие силы (см., например, стр. 144—148), слу́чайное изменение параметров системы в процессе ее движения и т. п. При этом механические системы представляются как линейные трансформаторы стохастичности, преобразующие случайность на входе в случайность на выходе; полагалось как бы очевидным, что с изменением слу́чайности на входе и стремлением к нулю дисперсии внешнего воздействия исчезает слу́чайность и на выходе, а дисперсия на выходе также стремится к нулю. Соответственно изучение случайных колебаний сводится к определению связи между вероятностными характеристиками выхода с вероятностными характеристиками входа (см., например, соотношение (6.66))⁴⁾.

Однако совсем недавно выяснилось, что иногда слу́чайные колебания могут происходить в циркуляции детерминированных механических систем, которые таким образом оказываются уже не трансформаторами, а генераторами стохастичности. Колебания в таких системах предполагаемы в точном смысле этого слова, но допускают описание с помощью вероятностных характеристик.

Возникновение стохастичности в детерминированной системе — парадоксальный факт, возможность которого трудно соглашаться с традиционными представлениями. Тем не менее эта возможность твердо установлена на средствах строгой теории, так и убедительными экспериментами; выяснило также, в каких случаях механическая система может оказаться генератором стохастичности (отметим, в частности, что генераторы стохастичности — это всегда подвижные системы, но, разумеется, не любые). Обнаружение генераторов стохастичности по его значению для науки и практики спроектировано уходящим открытием регулируемых автоколебаний.

⁴⁾ Такие трактовки взаимоотношения стохастичности относятся к детерминированным системам любой природы — электромагнитным, радиотехническим, биологическим, химическим и т. п.

С появлением нового понятия несколько расширились представления о таках аттракторах в фазовом пространстве. Прежде считалось, что в фазовом пространстве любой динамической (в частности механической) системы могут существовать аттракторы только двух видов: устойчивые типы — устойчивые особые точки (устойчивый фокус, устойчивый узел) и устойчивые предельные циклы. Теперь установлено, что наряду с ними в некоторых случаях существуют аттракторы обобщего рода — не точки или линии, а некоторыми способами в зоне фазового пространства, и которым представляются фазовые траектории, находящиеся в пересечении таких зон; эти зоны принято называть странными аттракторами.

Фазовые траектории, начинавшиеся в области притяжения странного аттрактора, постепенно приближаются к нему, притянут изображающей точки, попав в зону странного аттрактора, далее уже не выходят из нее, во вместо повторяющегося дрожания, типичного для предельного цикла, совершают в этой зоне хаотическое движение, лишенное свойства периодичности. В понятии странного аттрактора причудливо сочетаются свойства неустойчивости и устойчивости. С одной стороны, движение изображающей точки в зоне странного аттрактора неустойчиво, с другой стороны, уединено можно сказать, что сколько в зоне странного аттрактора обладает свойством устойчивости в целом: если после некоторого изначального возмущения изображающая точка вышла за пределы странного аттрактора, но осталась в области его притяжения, то фазовая траектория вернется к энтропии (тем более, если изображающая точка после начального возмущения не вылезла за пределы странного аттрактора, то она в целом будет оставаться в этих пределах).

Дальнейшее изложение предложено разбить на конкретных примеров.

В п. 2 рассматривается простейший и весьма пасыненный пример, когда странний аттрактор обнаруживается в фазовой плоскости; в некотором смысле — это исключительный случай, потому что, как правило, страны аттракторы возможны при условии, что фазовое пространство системы имеет размерность не менее трех.

В п. 3 приводятся примеры странних аттракторов в трехмерном фазовом пространстве (для неизотонических систем с одной степенью свободы).

2. Хаотический симплекстор Неймара. В § 13 (стр. 206) была рассмотрена предельно упрощенная модель чисто — упругой системы с линейным трением, демонстрирующая способность которой определяется действием неподвижных колебательных импульсов, присущих системе в моменты ее прохождения через положение равновесия с положительной скоростью. Рассматриваемый здесь аттрактор Неймара включает правоугольную в упругой системе, обладающей противогравитационными свойствами — ее движение сопровождается действием консервативной силы от гравитативного влияния трения и конечных неподвижных импульсов, направленных против движения. Импульсы прикладываются в моменты, когда система подходит к положению $\dot{\varphi} = 0$ (достаточно большой положительной скорости $\dot{\varphi} \gg v$ (v — заданное значение скорости, знако $+$ и $-$) и другие обозначения соответствуют сказанному в § 13).

Так как при $\dot{\varphi} < v$ импульсы не возникают, то, после смены угла малого начального колебания состояния равновесия, под действием отрицательного трения будут происходить распространяющиеся колебания, причем $\dot{\varphi}_{n+1} = -\dot{\varphi}_n e^{\pm i\omega_n t}$ (здесь $\hbar > 0$ соответствует дифференциальному уравнению $\ddot{\varphi} - 2\hbar\dot{\varphi} + \hbar^2\varphi = 0$ для системы с отрицательным трением). Распространение колебаний будет продолжаться до тех пор, пока в конце некоторого чисто колебаний скорость $\dot{\varphi}_n$ достигнет значения v (или превысит это значение). Тогда на систему воздействует импульс S , и скорость чистоупруго уменьшится до значения

$$\dot{\varphi}_n^+ = \dot{\varphi}_n^- - S/\hbar,$$

которое окажется начальным для последующего ($n+1$)-го цикла. В конце ($n+1$)-го цикла скорость станет равной

$$\dot{\varphi}_{n+1}^- = \dot{\varphi}_n^+ e^{\pm i\omega_n t},$$

При достаточно большом значении импульса S этот результат окажется ошибочным, тем S , т. е. выше возможного описанной выше прямой распространения колебаний и отсутствие демаркирующих импульсов, который будет проходить до тех пор, пока $\dot{\varphi} < v$. После того как будет выполнено условие $\dot{\varphi} \geq v$, произойдет новое сингулярное уменьшение скорости и т. д. В целом можно сказать, что устанавливаются процесс, вновь напоминающий

бумаги, когда этапы возрастания амплитуды чередуются с этапами их убывания. Как будет показано на следующем примере, эти представления верны, но обнаруживающиеся в системе «бумаги» не обладают свойством периодичности.

Отметим, что в рассматриваемой системе возможен стационарный режим движения (пределный цикл), которому соответствует равенство $\dot{\varphi}_{n+1}^- = \dot{\varphi}_n^+ = \dot{\varphi}_0$. Подставляя сюда найденные выше выражения, найдем

$$\dot{\varphi}_0^+ = \frac{S}{\pi(\sqrt{v^2 + \hbar^2} - 1)}.$$

Однако этот предельный цикл неустойчив, в том можно убедиться, в частности, с помощью построения Кенитса — Ламорса. То же построение позволяет обнаружить и странного аттрактор в рассматриваемой системе. Для этой цели будем пользоваться початочным преобразованием

$$\dot{\varphi}_0^+ = \begin{cases} q^+ e^{\pm i\omega_n t} - \frac{S}{\hbar} & \text{при } q^+ > 0, \\ q^- e^{\pm i\omega_n t}, & \text{при } q^- < 0, \end{cases}$$

которое показано на рис. 16.1, а. Здесь предположено, что импульс S достаточно большой и точка C (соответствующая неустойчивому стационарному режиму) расположена выше точки A , т. е. $\dot{\varphi}_0 > v$. (Отметим, что при малых значениях S точка C может оказаться ниже точки A , но в этом случае странний аттрактор не существует.) На рис. 16.1, б бункер D отмечен произвольно принятой начальной значением скорости $\dot{\varphi}$ и показан первый («сходящийся») марш путьами Кенитса — Ламорса DB . На рис. 16.1, в показан следующий («выходящий») марш доставки Кенитса — Ламорса BF , и в общих чертах становятся ясными дальнейшее развитие процесса колебаний с последовательным чередованием маршей вверх — вниз, однако подчеркнем, что такое чередование не означает установление периодического процесса и что движение $\dot{\varphi}$ не могут быть монотонные орбиты точки B в бункере однажды точки A . Соответственно этому зона странного аттрактора определяется нестационарным, застригнутым на рис. 16.1, г, в области где притяжения располагаются в промежутке значений $0 < \dot{\varphi} < \dot{\varphi}_0$. Если движение

системы начинаются вне отмеченной зоны устойчивости, когда начальная скорость превосходит значение \dot{q}_m , то ступени логистики Конигса — Ламорса будут нестабильны и уходить вправо вверх.

Иллюстрируем схематичными рисунками величинах для случая, когда $b/h_0 = -0,01517$, $v = 2 \text{ м/c}$, $S/a = 0,21 \text{ м/c}$.

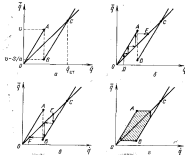


Рис. 16.1

При этих данных координаты точек, лежащих в зоне странного аттрактора, находятся в пределах от 1,79 м/c (уровень нижней границы зоны) до 2 м/c (уровень верхней границы зоны); теми же числами мы представляем ограничения зон, в которых лежат начальные точки. Точка C , определяющая неустойчивый предельный цикл, расположена относительно близко к зоне странного аттрактора, обе ее координаты равны 2,1 м/c. В качестве начального значения скорости \dot{q}^+ принят 1,6 м/c. В таблице приводятся результаты вычислений пятидесяти последовательных занятых скоростей \dot{q}^+ . Хотя вычисления выполнялись с точностью до десяти знаков после запятой, для засече-

ния места в таблицу занесены значения \dot{q}^+ после округления до трех знаков после запятой. Из-за этого значения при $n = 2, 3, \dots, 7$ входят сопараллельные со зоной

n	\dot{q}^+ \dot{q}_n	n	\dot{q}^+ \dot{q}_n	n	\dot{q}^+ \dot{q}_n	n	\dot{q}^+ \dot{q}_n		
1	1,76	11	1,907	21	1,987	31	1,987	41	1,986
2	1,926	12	1,924	22	1,976	32	1,988	42	1,910
3	1,930	13	1,939	23	1,983	33	1,987	43	1,900
4	1,902	14	1,933	24	1,950	34	1,965	44	1,880
5	1,882	15	1,906	25	1,935	35	1,955	45	1,868
6	1,860	16	1,886	26	1,913	36	1,938	46	1,855
7	1,838	17	1,885	27	1,896	37	1,930	47	1,840
8	1,809	18	1,813	28	1,889	38	1,903	48	1,824
9	1,766	19	1,818	29	1,888	39	1,882	49	1,808
10	1,717	20	1,807	30	1,880	40	1,880	50	1,807

чениями при $n = 36, 37, \dots, 41$. В действительности этого соглашения нет. (Подробнее об этом см. в § 4.) Углубленное изучение этого аттрактора показывает, что при $t \rightarrow \infty$ одна из логистик Конигса — Ламорса плотно занимает всю защищированную на рис. 16.1, a зону.

Фазовую диаграмму рассматриваемой системы можно представить себе, если взять за осику изображенную на рис. 16.4, a фазовую диаграмму автоколебательной системы и заменить здесь линию A_2 (устойчивый предельный цикл) пальцевой зоной изоконтинуальности.

Прежде всего отметим, что начало координат на фазовой плоскости — неустойчивый фокус. Главная отличительная особенность фазовой диаграммы — упомянутая изоконтинуальность зоны, которая и является странным аттрактором. Наконец, существенным элементом фазовой диаграммы является неустойчивый предельный цикл — замкнутые линии, окружающие в некотором поколении зону странного аттрактора (см. краю A_2 на рис. 16.4, a) и служащие границей области притяжения к странному аттрактору. Фазовые траектории, начинавшиеся внутри этой области, не только притягиваются к странному аттрактору, но, можно сказать, «западают» в него. Остановившись внутри зоны странного аттрактора, изображенная точка не выходит из нее и далее совершает здесь хаотическое движение. Если после достаточно большого времени начальная изображенная точка оказывается за границей зоны странного аттрактора, то

пределами изолированной области притяжения, то фазовая траектория будет раскручиваться, но больше удаляться от границы области.

При малой толщине колыванной зоны (и соответственно малых размерах изображенного на рис. 16.1, а) свойства системы будут близки к свойствам изолированной стационарной системы, которой соответствует рис. 16.4, а.

3. Примеры стационарных атTRACTоров в нелинейных системах. На рис. 16.2, а показан скользящий, потерявший устойчивость упругий стаканчик, на который действует в первом приближении вынуждающая сила $P = \sin \omega t$. Если амплитуда этой силы мала, то стаканчик будет совершать малые колебания около положения на рисунке изолированного равновесия. В противоположность этому, если амплитуда силы весьма значительна, то устанавливаются большие колебания — такие, что в течение каждого цикла стаканчик будет проходить все три положения равновесия: 1) изображенное на рисунке сплошной линией; 2) положение, симметричное первому (при прокосе стаканчик вверх); 3) среднее положение, отмеченное на рисунке штриховой

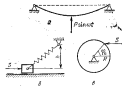


Рис. 16.2

линией. Обнаружено, что в некотором пределах изменения $P_1 < P < P_2$ колебания имеют хаотический характер, а в фазовом пространстве системы существует странный атTRACTор (при $P > P_2$ колебания снова приобретают упрощенный характер). Эти результаты не только были найдены путем эксперимента, но получены подтверждение на специальной экспериментальной установке (см. [33]).

Совершенно такие же свойства обладает система, показанная на рис. 16.2, б. Упругая пружина в изображен-

ном ее расущие деформированном состоянии имеет длину \bar{l} , большую l , так что система обладает тремя положениями равновесия. Система испытывает действие вынуждающих импульсов S , прикладываемых к грузу с периодом T . Дифференциальное уравнение движения груза здесь горизонтальной направляющей имеет вид

$$m\ddot{x} + kx + c(x - \bar{x}) \left[\frac{1}{\sqrt{(x - \bar{x})^2 + \delta^2}} - 1 \right] = \sum_{n=1}^{\infty} S \delta(t - nT). \quad (16.1)$$

Здесь обозначено: m — масса груза, x — его координата, отчитываемая от изображенного на рис. 16.2, б положения равновесия, k — коэффициент линейного трения между грузом и направляющей, c — коэффициент жесткости пружины, $\bar{l} = l^2 - \delta^2$ — проекция радиуса \bar{l} на горизонтальное направление.

Отметим, что при мальных отклонениях груза от положения равновесия, когда $x \ll \bar{x}$, уравнение допускает линеаризацию и принимает вид

$$m\ddot{x} + kx + \frac{c\delta^2}{l^2} x = \sum_{n=1}^{\infty} S \delta(t - nT).$$

Подробный анализ изменения после решения дифференциального уравнения (16.1) на ЭВМ приводит к следующим заключениям. При низких значениях S происходит малые колебания около изолированного на рисунке положения равновесия, затем в некотором диапазоне значений S колебания имеют хаотический характер, а при еще больших значениях вынуждающих ваков устанавливаются периодические колебания, но с очень большой амплитудой.

Еще один пример системы, в фазовом пространстве которой изображен скользящий атTRACTор, показан на рис. 16.2, в. Она представляет собой свободно врачающийся на оси постоянной скорости, в фиксированной точке которой с заданным периодом T прикладываются горизонтальные вынуждающие импульсы S . Пусть непосредственно перед n -м ударом положение ударимой точки определяется углом φ_n , а угловая скорость ротора равна ω . Вследствие приложения импульса угловая скорость приобретает импульсное прерывание $(2R/T)\omega_n \varphi_n$ (R — момент инерции ротора относительно оси вращения) и перед

($n + 1$)-м ударом состояние ротора будет определяться углом φ_{n+1} и угловой скоростью ω_{n+1} :

$$\varphi_{n+1} = \varphi_n + \omega_{n+1}T, \quad \omega_{n+1} = \omega_n + (2H/T)\sin\varphi_n.$$

С помощью этих рекуррентных соотношений можно проследить развитие процесса во времени. Как установлено, в соразмерении (размером m) диапазон значений $2H/T$ (записи m , образуют хаотическую последовательность, причем хаотизации движения не может начинаться силы трения, хотя соответствующий диапазон значений $2H/T$ оказывается пасьюлью зеркала.

4. Заключительные замечания. Среди различных способов вычисления странных аттракторов в конкретных динамических системах одним из основных следует считать численное интегрирование соответствующих дифференциальных уравнений. Именно так были получены результаты, приведенные в табл. на с. 240. Там было отмечено, что вычисления производились с точностью до десятого знака после запятой, но для большей компактности представляемой таблицы в нее занесены значения скорости, округленные до третьего знака. При этом особо подчеркивалось, что совпадают некоторые побочных значений скорости (например, при $m = 7$ и $m = 42$) — лишь потому что последующие значения скорости (в том же примере начиная с $m = 8$ и $m = 42$) расходятся уже в третьем знаке. Тем самым обнаруживается некая неустрядоченность движения, которую можно трактовать как признак хаотичности и наличие странных аттракторов (рассуждаем, что признак недостаточно убедителен, хотя бы потому, что вычисления охватили лишь первые пятьдесят шагов процесса).

Допустим теперь, что в процессе вычислений tandem-то два значения скорости при $m = n_1$ и $m = n_2$ точно совпадут. Тогда диапазон на интервале между шагами n_1 и n_2 представляет собой зеркаль, возможно весьма длительный цикл, который затем будет повторяться. Такая повторяемость, казалось бы, свидетельствует об устрядоченности и отсутствии хаоса. Однако когда вычисления выполняются с конечным числом знаков, то раньше или позже совпадение обязательно произойдет. Так, например, при начальном значении целой части результатов и учете десяти знаков после запятой можно получить за более дюжины различных результатов, следовательно, совпадение небольшое произойдет не ранее чем через миллиард

шагов. Таким образом, при вычислениях по ЭВМ всякое движение рассматриваемого типа формально выглядит как устрядочный процесс. Нужно предупредить читателя, что к этому заключению следует относиться с осторожностью. С практической точки зрения исследование движения, цикличность которого обнаруживается лишь после десятка или сотен миллиона шагов, естественно трактовать как случайный процесс. С теоретической же точки зрения существование цикла вообще остатки подозрениями из-за ограниченной точности вычислений.

12. Бутаков И. В., Неймарк Ю. Н., Фуфова Н. А. Введение в теорию нелинейных колебаний.—2-е изд.—М.: Наука, 1967.
13. Майдан Н. Г. Некоторые задачи теории нелинейных колебаний.—М.: Гостехиздат, 1954.
14. Магнуссон Ю. А. Проблемы асимптотической теории нелинейных колебаний.—М.: Наука, 1964.
- Более детально исследование этой темы можно найти в книгах:
15. Баландар О. Аналisis колебательных систем/Пер. с англ.—М.: Мир, 1969.
16. Бутаков И. В. Задачи по теории нелинейных колебаний.—Л.: Судостроение, 1962.
17. Ковалевская В. Введение в теорию нелинейных систем/Пер. с англ.—М.: Энергиздат, 1962.
18. Теодорески Н. Ф. Амплексобестабильные системы.—3-е изд.—М.: Наука, 1965.
19. Халлас Т. Нелинейные колебания в физических системах.—М.: Мир, 1968.
- Вопросы, связанные с параметрическими колебаниями и динамической неустойчивостью колебательных систем, изложены в книгах:
20. Болотов В. И. Динамическая устойчивость гармонических систем.—М.: Гостехиздат, 1956.
21. Болотов В. И. Неизолированные задачи упругой устойчивости.—М.: Физматлит, 1961.
- Другие современные задачи теории нелинейных колебаний изложены в книгах:
22. Шмидт Г. Параметрические колебания.—М.: Мир, 1958.
23. Блохин И. И. Симметрическая в природе и технике.—М.: Наука, 1961.
24. Булыгин И. И., Колесников М. З. Нелинейные задачи динамики машин.—Л.: Машгизоиздат, 1968.
25. Гапонов Г. Ф., Коновалко В. О. Колебания твердых тел.—М.: Наука, 1976.
26. Колесников М. З. Нелинейная теория вибрации систем.—М.: Наука, 1966.
27. Колесников В. О. Нелинейные системы с прятывающимися нелинейностями.—М.: Наука, 1964.
- Проблемы случайных колебаний разбираются в книгах:
28. Болотов В. В. Случайные колебания упругих систем.—М.: Наука, 1979.

29. Светлицкий В. А. Случайные колебания.— М.: Машиностроение, 1976.
30. Случайные колебания/Пер. с англ. Под ред. С. Крещенда.— М.: Мир, 1967.

Остальных авторах см. [3], а также в книге:

31. Неймарк Н. И., Левда П. С. Статистические и стохастические колебания.— М.: Наука, 1968.

32. Габиловский М. И., Трубецков Д. И. Вибрации и шумы колебаний и волн.— М.: Наука, 1974.

33. Шустер Г. Детерминированые колебания/Пер. с англ.— М.: Мир, 1988.

Общие вопросы теории механических колебаний, а также различные практические аспекты проблем вибраций посвящены систематическим спрашиваниям:

34. Вибрации в технике/Под ред. В. Н. Челомея.— М.: Машиностроение, 1971.

ПРЕДМЕТНЫЙ УКАЗАТЕЛЬ

- Автомобилизм 60
— стационарные 125
- Автомобильно-системы 17
- Аналогичные системы 10
- Амплитуда 26
— колебаний 133
- Амплитудно-частотная характеристика 107
- Антирезонанс 162
- Аппликатор 208
- стационарный 208, 334—344
- Аэродинамическая 150
- Баланская система 81
- Банки 86
- Векторный анализ 109
- Вектор собственный 83
- Избирательность динамическая 163
- Избирательность пространственная 8
- Избирательность математическая 9
- Вестивиляционные ямы 3
- Вынуждающие силы 9, 305
- Вынужденные колебания 8, 101
- Гамма-функции 43
- Гасящий колебаний динамический 162
- Генераторы стационарности 233
- Гистерезис 54, 562
- Гравитационные 77, 207
- Границные условия 30
- Дискретные стационарные 104, 405
- Дискретные гетероциклические 42
- Дискретные гетероциклические функции времени 144
- Димитров Айна — Сирета 193
- роботизация 179
- фазовая 20
- Динамическая 168
- Динамическая способность 107
— колебаний 133
- Динамическая способность колебаний 163
- Дискретных функция Розен 41
- Диссипативные силы 17, 190
- Дифференциальные уравнения для откликов 48
- Добротность (системы) 124
- Единичные перемещения 78
— разности 19
- Избирательное самообуздание 207
- Избирательность динамическая колебаний 133
— стационарная 20
- Задача классификации 145
— обратная 145
— в гравитации 189
— в гидрогеологии 194
— стационарные 145
— циркуль 145
— статика 145
— Цандера 189, 203
- Задачи сохранения энергии 60
- Затухание кратическое 44
- Затухающие колебания 42
- Заполнение 231
- Значение краевое (параметра) 30
- собственные матрицы 29

- Наглядное представление 30
 Информативные точки 18
 Иерархическая решетка 111
 Импульсные переносчиковые 131
 Инерционные коэффициенты 13
 Интервал Фурье 133
 Интегральное квадратическое
 уравнение 12
 Интерпретация коэффициентов 63,
 155

Каноническая форма 76
Квадратическое троичное 43
 Квантитативная характеристика
 53
 Квазиизуальный коэффициент 24
 Квазиизотропное гравиметрическое
 решение 30
 Квазиизотропное изобиодиаграмма 9
 Колебание изогипотез 8
 — азимутальное 42
 — изобиодиаграмма 30
 — изогипотезическое 107
 — изогипсов 248
 — параметрическое 40
 — пределы 38
 — свободные 8
 — структурное 148, 154
 — структурогравиметрическое 148, 152
 усложненные изогипотезы 207
 Комплексная амплитуда 123
 — динамическая плотность 123
 — подчиненность 123
 — обобщенная града 122
 Комплексное обобщенное пере-
 менное 123
 Координатные функции 14
 Координатные системы 77, 167
 нормализации 77
 Переопределенные функции 148
 Обобщенное изображение для ве-
 роятностной 76
 — восстановление 158
 — динамическая 107, 124
 — изогипотезы 23
 — изогипс 24
 — обобщенный коэффициент 44
 — плотности 24
 — прецессии сдвиги 127
 — распределение 231
 — сопоставленной формой 87
 — структурный изогипс
 троичного 114

Коррекция смещения 593
Корреляция Рябова — Гуревича 201
 — Сильвестра 73
 Критериев устойчивости скорости
 200
 Критический изогипс 44
 — значение параметра 36
 Кумулятивное троичное 43

Логарифмизация приема 67
 Логарифмическое сопротивление 133
Логарифмический разрезинг 43

Макс обобщенного 33
 — пределы 23
Математическая модель 146
 Метод дифференциации 33
 — локальной 12
 — нации 20
Метод горизонтального баланса
 19
 — малого параметра 218
 — методика минимизации эллип-
 тария 20, 226
 — Рябова 14, 22—25
 — структурного изогипса 238
 — структурогравиметрического 148,
 150, 156, 234
 Мозжайский Русланов — Харланова
 157

Математические коэффициенты
 103

Математическое изображение 206

Нестационарные — постстационарные
 симы 171

Нестационарный предельный трех-
 троичный 207

— троич 160, 201
 — Фурье 160, 201

Нормальные координаты 77, 167

Область приложения 206

Обобщенные симы 23

— сима линейного троичного 40

Обобщенное изогипсодиаграмма си-
 ма 16

— постстационарные симы 15

— сима троич 16

Обобщенный коэффициент воз-
 раста 41

— локальности 34

- Обратный способ составления системы уравнений 74
 Однородная система 62
 Ортогональность собственных форм 80
 Оптимальный способ составления системы уравнений 73
 Особые точки 21
 Оператор Лапласа Найвигара 236
 Относительное погрешение 104, 105
 Отрицательная заслойка 26
 Отрицательное время 160

 Переходные характеристики Цибулера 203
 Параметрические колебания 2
 Параметрический резонанс 10, 172
 Переходные единичные 73
 Переходный процесс 203
 Переходные колебания 26
 Переходные изотропии 181
 Переходные изменения параметра 172
 Полоса гашения 64
 Плотность фазовая 19
 Планетария интегрирования 167
 Периодическая сила 189
 Портрет фазовый 30
 Построение Нероука — Ламорса 227, 228
 Потенциальное интегрирование 126
 Преобразование Фурье 118
 Применение киселев 23
 Принципы вынужденных сдвигов 187
 Применение 63, 209
 Продолжение колебаний 33
 Примесь нейтронной 265
 Принцип локализации 64
 Прямой способ составления системы уравнений 74

 Решение единичные 78
 Решение интегрируемое 211
 Решение определенное 211
 Решение 108, 115
 периодического 10, 172
 Резонанс 208
 Роторизационные динамики 60

 Самоизбуждающиеся колебания 103
 — частот 207
 — матрицы 206
 Свободные колебания 8
 Среда 49
 Сила купола тяжести 49
 — обобщенная кинематика тяжести 60
 — полученная 189
 — чисто геометрическая 63
 Сильные граничные условия 26
 Сингулярные возмущения 16
 — выпуклование 9
 — дислокации 17, 180
 — дисторсионные возмущения 171
 — обобщенные выпуклование 15
 — превращение выпуклование 161
 — стационарного параметра 11
 Система Галюзина 81
 — однородная 82
 Системы антиподобствования 67
 Спектральная кривая 150
 Способ динамических 180, 197
 — критический 200
 — фазового 197
 Собственные формы 87
 — частот 26
 Собственные значения 29
 Собственный вектор 89
 — Сопряженные собственные 189
 Спектр собственных частот 63
 Симметрическое погрешность 147
 Синхронное гашение систем Уравнений обратных 74
 — — единичных 78
 — — прямой 14
 — полного интегрирования 203, 205, 209
 — прямой интегрирования 67
 Способы приближенного определения частот свободных колебаний 66
 Среднеквадратическое значение 143
 Стационарные случайные функции 150
 Стационарный резонанс 211
 — — азимутальный 227
 — — угловой 227
 Стационарный изотроп 228, 229, 234
 Субдискретика 154

- Субдиаграммы комбинации 148, 151
Супердиаграммы комбинации 148, 152
- Точки изображения 18
Точки особые 18
Траектории фазовых 18, 33
Треки квадратичные 49
— куполные 49
— линейные 49
— торусообразные 49
- Угловые Частоты 26
Узел неустойчивый 190, 191
— устойчивый 44
- Умножение интегральных пред-
разделов 63
- Управление в кинематике разно-
стей 43
— Нар. дер. Панк 320
— деформационное для от-
боков 43
— Лагранжа 73
— Маттеи 183
— Рэлея 204
— частоты 43
- Узловые синхронизации 236
Устойчивость 190
Устойчивые 30
— динамические Траектории
30
— начальные 63
— переходы 63
— периодичности 63, 163, 210
— склонные троичные 30
Устойчивость предикаторного за-
да 197
— равновесия 85
— спиралевидные разрезы 222,
227
- Устойчивый предельный цикл
205
— узла 44, 207
— фокус 44, 207
- Фазовая диаграмма 20
— Видимость 63
— траектории 18, 33
- Фазовый портрет 20
Флагшор 136
Фокусы пустынных 190, 191
— резонансные 24
- Форма вынужденных колебаний 166
— гиперболическая гипотенузная
эллипса 76
— гипотенузальная квадрат 76
— решетка квадратов 163
— седловина 63
- Функции времени дегенераци-
онные 144
— случайные 144
— координатные 14
— Matrix 183
- Функции диссипативных Гами-
льтон 41
— нормализации 146
— Октигрификации 146
- Фурье-изображение 138
— преобразование 138
- Характеристический оператор Ней-
марка 236
- Характеристики амплитудно-
частотные 107
— интенсивности 53
— спектрограммы 53
— частотные 123
- Центрированные функции 146
Цикл предельный 205
— — неустойчивый 207
— — резонансный 205
- Частота собственная 24
— Узелки 26
- Частотные характеристики 83
Частотное уравнение 83
- Эйлеровы матрицы второго рода 43
- Эквивалентный коэффициент
амплитудного троичного 141

Учебные издания

ДАНОВО Вад. Геннадьевич

ВВЕДЕНИЕ В ТЕОРИЮ МЕХАНИЧЕСКИХ ВОЛНЕВЫХ

Заведующий разделом Л. А. Рудаков
Редактор А. Г. Федорова
Художественный редактор Е. Н. Попелько
Технический редактор Г. М. Аверченко, О. Н. Шварц
Корректор Г. С. Байдарова

МГУ им. Д. И. Менделеева

Статья в разделе 10.00.00. Выполнена по номеру 29.31.21. Формат 84х108/16. Друкъ. Типография № 2. Гравюра обложки и золотой логотип. Цена 1 выпуск. 700 руб. в 12 ч. Цена 1 выпуск. 1000 руб. в 12 ч. Тираж 1000 экз. Цена 24 руб. Цена 1 р. 10 к.

Издательско-торговое объединение «Наука»
Главный редактор Физико-математическая литература
ИДФМ МГУ им. Д. И. Менделеева, Москва, 101990

Издательско-изделийное управление «Наука»
Московское, 117812, Москва, 10, Станиславского, 22

Contents**Chapter 1. Free oscillations**

1. Frictionless systems with one degree of freedom
2. Systems with one degree of freedom in case of friction present
3. Systems with one degree of freedom in case of non-linear restoring force
4. Linear systems with several degrees of freedom

Chapter 2. Forced oscillations

5. Frictionless systems with one degree of freedom
6. Systems with one degree of freedom in case of friction present
7. Systems with one degree of freedom in case of non-linear restoring force
8. Linear systems with several degrees of freedom

Chapter 3. Parametric oscillations

9. General notions
10. Parametrical exciting in form of rectangular waves
11. Parametrical exciting in form of pulses

Chapter 4. Stability of equilibrium and self-excited oscillations

12. Stability of equilibrium
13. Stationary motions and limit cycles
14. Transitional processes and stability of stationary motions
15. Phenomenon of synchronization
16. Strange attractors

References

The list of references contains 35 items, mainly monographs, giving more detailed exposition of the subject.

SYNOPSIS

Introduction into the theory of mechanical oscillations (3rd revised edition, Moscow, Nauka, 1976)
by Ya. G. Panovko

About the author

The author of the present book, professor at Leningrad Shipbuilding Institute, corresponding member of Latvian SSR Academy of Sciences, doctor of technical sciences is also member of several USSR Scientific Councils, Soviet National Committees for theoretical and applied mechanics, USSR Academy of Sciences scientific committee on problems of general mechanics, Soviet Scientific Methodological Council on teaching theoretical mechanics.

He is a well-known specialist in the field of mechanics, in particular, in the domain of dynamics of elastic systems. Professor Panovko has written numerous books and papers published in the USSR and abroad. For example, two Russian editions of his book *Stability and oscillations of elastic systems* were translated into English and published in USA in 1953 and 1955. (Prof. W. Flügge, Stanford University, said in his forward to first American edition of the book: "May the book bring many a reader the same enjoyment and intellectual enrichment which it has brought the writer of these lines".

The present book, summarizing author's more than half-a-century's experience in teaching mechanics was written for students of technical colleges trying to deepen their knowledge of mechanical oscillations and for a long time has been a successfull aid for them (the first edition in the USSR appeared in 1921, the second one—in 1930, the present, third edition in published in 1960).

Comparative exposition of the foundations of the mechanical oscillations theory in based upon general course of theoretical mechanics and illustrated with number of expressive examples.

On a basis with clear description of numerical procedures the author reveals physical essence of the considered phenomena both in linear and non-linear systems—in particular, in self-excited systems.

Particular attention is given to analysis of the motions of the systems by means of phase plane. Several examples of strange attractors are given.

One can judge the main features of the book by its contents,